



# Geodetische formules en tafels ten gebruike bij de triangulatie van het eiland Sumatra

<https://hdl.handle.net/1874/189125>

GEODETISCHE FORMULES EN TAFELS.

gec

od u 1749

# GEODETISCHE FORMULES EN TAFELS

## TEN GEBRUIKE BIJ DE

## TRIANGULATIE

VAN HET EILAND

## S U M A T R A.

Gedrukt voor rekening van het Ministerie van Koloniën.

UTRECHT,  
J. VAN BOEKHoven.  
1884.

STERREWACHT ZONNENBURG  
UTRECHT.

RIJKSUNIVERSITEIT TE UTRECHT



1971 5584

Stoomdruk van J. VAN BOEKHOVEN — Utrecht.

## I N H O U D.

---

	Bldz.
I. INLEIDING . . . . .	I
I. VERSCHILLENDEN OPGAVEN . . . . .	5
II. ALGEMEENE GEODETISCHE FORMULES EN TAFELS . . . . .	10
III. DE BEREKENINGEN OP DE ELLIPSOÏDE . . . . .	23
IV. DE CONFORME OVERBRENGING EN DE BEREKENINGEN IN HET PLATTE VLAK . . . . .	58
V. DE POLYEDERPROJECTIE . . . . .	97
AANHANGSEL . . . . .	110

## VERBETERINGEN EN BIJVOEGSELS.

Bldz. 3, regel 12 v.b. te lezen:

*Dolok Dsaoed*  $X = -133785,13$  M.,  $Y = +210129,14$  M.

" 3, regel 19 v.b. te lezen:

*Siboga-Dolok Dsaoed* . . . . . 4,6125977,9.

" 9, regel 16 v.b. staat: [9,8510435], moet zijn: [9,8510435 - 10].

" 11, regel 9 v.b. staat: 0,0032 - 10, moet zijn: 0,0323 - 10.

" 11, regel 18 v.o. staat: - 10, moet zijn: - 20.

" 11, regel 14 v.o. staat: - 10, moet zijn: - 20.

" 11, regel 11 v.o. te lezen:

$$\log \frac{1}{\pi} M e^2 10^7 \text{ hoog}^2 r'' \cos 2 \varphi_m = [\text{VII}].$$

" 11, regel 9 v.o. bij te voegen:

Met behulp van de waarde [VII] vindt men den correctieterm uitgedrukt in eenheden van de *zevente* decimaal van den logarithmus.

" 15, eerste kolom, regel 21 v.o. staat: 440', moet zijn: 4<sup>0</sup>40'.

" 45, regel 7 v.b. staat: 0,02, moet zijn: 0,02.

" 54, laatste kolom, regel 2 v.o. staat: iog, moet zijn: log.

" 56, laatste kolom, regel 1 v.o. staat: - 16, moet zijn: - 10.

" 60, regel 15 v.o. staat: "waarin:", dit te laten volgen op de formule voor  $\varphi$ .

" 60, regel 7 v.o. te lezen:

$$B_1 = 0'',03256042231.$$

" 62, regels 10 en 11 v.b. te lezen:

In deze formules is, wanneer men den correctieterm van  $\log s_{1,2}$  uitdrukt in eenheden van de *zevente* decimaal:

$$[x] = \frac{M}{24 a^2} 10^7.$$

" 63, na regel 6 v.b. als nieuwe alinea bij te voegen:

De waarden van  $m$ , behorende bij de verschillende waarden van  $\varphi$  van 0° tot 6°, telkens opklimmende met 10 minuten, zijn tot in *zes* decimalen opgegeven in *Tafel Vc*. Deze zijn berekend door toepassing van de formule:

$$m = \frac{1}{W \cos \varphi}.$$

" 83, achter het argument 415 staat: 2 43 42,387, moet zijn: 3 43 42,387.

" 83, derde kolom, regel 19 v.o. staat: 1,51258, moet zijn: 1,51268.

" 91, derde kolom, regel 20 v.o. staat: 1,51182, moet zijn: 1,51180.

" 93, eerste kolom, regel 18 v.o. staat: 513, moet zijn: 523.

" 96, *Tafel Vd*, derde kolom, regel 3 v.o. staat: 1,01028, moet zijn: 1,51028.

" 109, *Tafel VIIb*, achter het argument 3°30', kolom voor  $\log |c|$ , staat: 1,67919, moet zijn: 1,67920.

## INLEIDING.

---

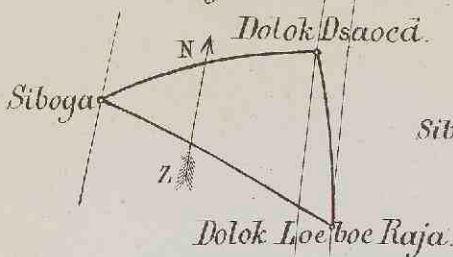
De in deze verzameling voorkomende *formules* zijn voor het grootste gedeelte te danken aan ontwikkelingen van den Heer Ch. M. SCHOTIS, Hoogleeraar in de Geodesie aan de Polytechnische School te Delft, aan wien gedurende het cursusjaar 1882—1883 de opleiding was opgedragen van twee officieren van het Nederlandsch-Indisch leger, bestemd om bij de uitvoering der triangulatie van het eiland Sumatra op te treden als sectiechefs.

Voor zoover de berekeningen worden uitgevoerd op het oppervlak der aardellipsoïde hebben de formules betrekking op *normale doorsneden* en zijn de azimuts dus allen astronomische. Deze worden geteld uit het Noorden door het Oosten — dus rechts omgaande — van  $0^\circ$  tot  $360^\circ$ . Voor het driehoeksnet der eerste orde worden de azimuts genomen tot in twee, de geographische lengten en breedten tot in drie decimalen der secunden; de formules geven deze decimalen nog scherp voor een maximumafstand van 100000 M. op de breedte van  $6^\circ$ , de grootste welke zowel noordelijk als zuidelijk bij de triangulatie van het eiland Sumatra voorkomt. Voor het tellen der lengten is aangenomen, dat de eerste meridiaan loopt over den Apenberg nabij Padang, ongeveer  $100^\circ 20' 13''$  Oosterlengte van Greenwich; ter weerszijden van dezen strekt het driehoeksnet zich ook niet verder dan  $6^\circ$  uit.

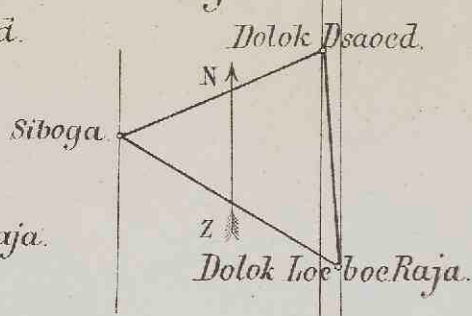
De *tafels* zijn allen door twee personen, onafhankelijk van elkander, berekend, telkens vergeleken en de verschillen verbeterd, totdat volkomen overeenstemming was verkregen. Bij die berekening zijn overal twee decimalen meer genomen, dan in de tabellen voorkomen; voor het geval dat deze juist 5 o waren, zijn er zooveel meer berekend, als noodig was om de onzekerheid bij de afronding weg te nemen. De fout in de laatste decimaal van de in de tafels voorkomende getallen is dus nergens groter dan 0.5 eenheden van die decimaal.

De bijgevoegde *voorbeelden* zijn allen fictief, doch de gevallen zoo gekozen, als zij zich bij de triangulatie werkelijk kunnen voordoen. Voor

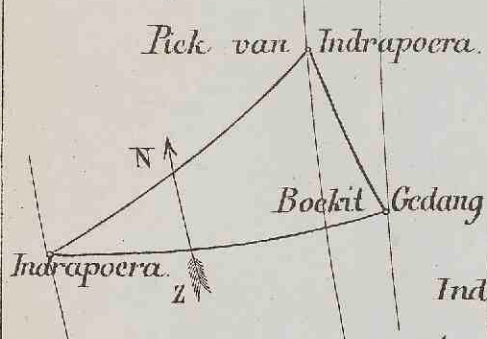
*Fig. 1.a.*



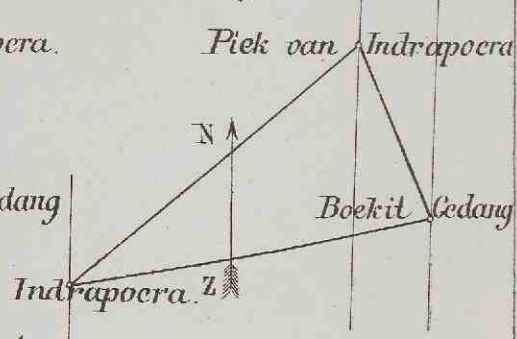
*Fig. 1.b.*



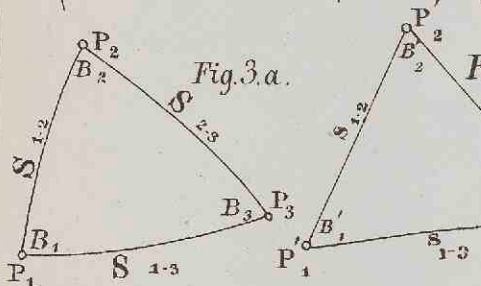
*Fig. 2.a.*



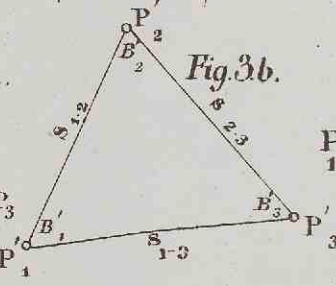
*Fig. 2.b.*



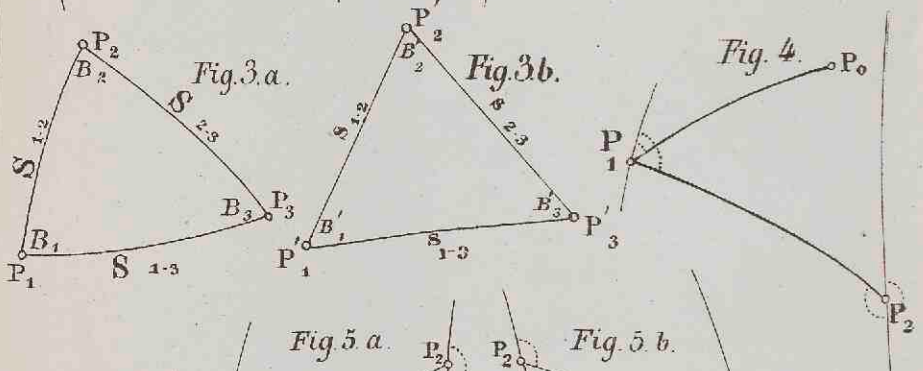
*Fig. 3.a.*



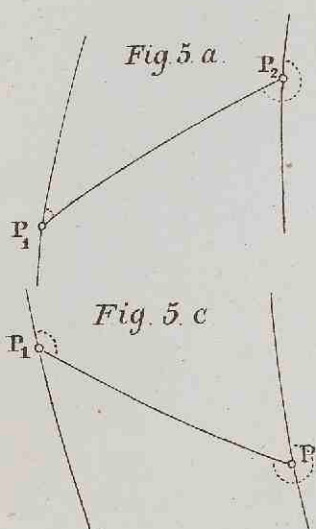
*Fig. 3.b.*



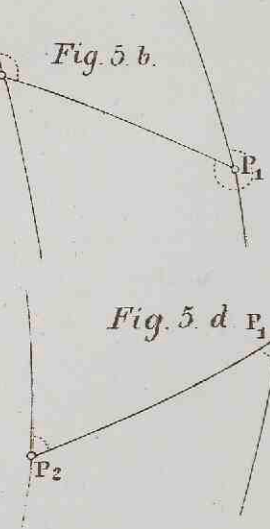
*Fig. 4.*



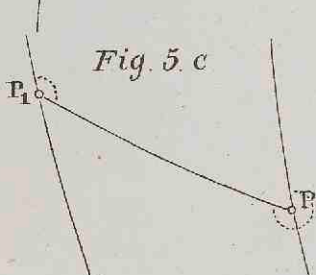
*Fig. 5.a.*



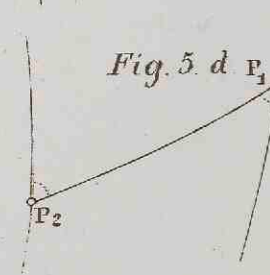
*Fig. 5.b.*



*Fig. 5.c*



*Fig. 5.d*



het grootste gedeelte hebben zij betrekking op twee driehoeken, één ten Noorden en één ten Zuiden van den evenaar, waarvan de elementen, zoowel op het aardoppervlak als in de conforme overbrenging, hieronder worden opgegeven. Uit die voorbeelden blijkt tevens, op welke wijze de gedrukte schema's voor het uitvoeren der verschillende berekeningen kunnen worden ingericht.

De in de voorbeelden voorkomende logarithmen met zeven of acht decimalen zijn ontleend aan de tafels met zeven decimalen van SCHRÖN, 12<sup>de</sup> afdruk, Brunswijk, FRIEDRICH VIEWEG & ZOON, 1873, of van BREMIKER, 15. Abdruck, Berlin, WEIDMANNSCHE Buchhandlung, 1871; de achtste decimaal is verkregen uit de evenredige delen, en bij het gebruik der tafels van SCHRÖN met inachtneming van het al of niet onderstreept zijn der zevende decimaal in de tafel. De kleine verschillen in de achtste decimaal tusschen de waarden, die langs verschillende wegen voor eenzelfde grootheid zijn gevonden, spruiten daaruit voort. Als regel is aangenomen achter den wijzer een decimaalkomma te plaatsen, en de zevende en achtste decimalen van elkander te scheiden door een punt. De logarithmen van negatieve grootheden zijn aangegeven door een er achter geplaatste *n*. Het toevoegsel — 10 achter logarithmen van eigenlijke tiendeelige breuken is in de voorbeelden weggelaten, daar uit den wijzer onmiddelijk blijkt, of men met een breuk te doen heeft of niet.

### I. Driehoek Siboga - Dolok Loeboe Raja - Dolok Dsaoed.

1. Op het aardoppervlak (zie Figuur 1 *a*).

Lengten en breedten der driehoekspunten:

<i>Siboga</i> . . . . .	lengte: $1^{\circ} 32' 28''$ ,477 W.	breedte: $1^{\circ} 45' 32''$ ,407 N.
<i>Dolok Loeboe Raja</i> . . . . .	$1^{\circ} 10' 4$ ,298 W.	$1^{\circ} 32' 16$ ,831 N.
<i>Dolok Dsaoed</i> . . . . .	$1^{\circ} 12' 7$ ,026 W.	$1^{\circ} 54' 10$ ,385 N.

Hoeken:

<i>Siboga</i> . . . . .	$53^{\circ} 18' 56''$ ,31
<i>Dolok Loeboe Raja</i> . . . . .	$54^{\circ} 9' 42$ ,29
<i>Dolok Dsaoed</i> . . . . .	$72^{\circ} 31' 25$ ,44
Spherisch excs. . . . .	$4'',64$

Logarithmen der zijden:

<i>Siboga - Dolok Loeboe Raja</i> . . . . .	4,6830089,6
<i>Siboga - Dolok Dsaoed</i> . . . . .	4,6123773,7
<i>Dolok Dsaoed - Dolok Loeboe Raja</i> . . . . .	4,6076727,5

A z i m u t s :

<i>Siboga - Dolok Loeboe Raja . . .</i>	$120^{\circ} 27' 25'',32$
<i>Dolok Loeboe Raja - Siboga . . .</i>	$300 28 3,99$
<i>Siboga - Dolok Dsaoed . . . .</i>	$67 8 29,01$
<i>Dolok Dsaoed - Siboga . . . .</i>	$247 9 8,03$
<i>Dolok Dsaoed - Dolok Loeboe Raja</i>	$174 37 42,59$
<i>Dolok Loeboe Raja - Dolok Dsaoed</i>	$354 37 46,28$

2. In de conforme projectie (zie Figuur 1 b).

C o ö r d i n a t e n d e r d r i e h o e k s p u n t e n :

<i>Siboga . . . . .</i>	$X = -171550,55$ M.	$Y = +194512,69$ M.
<i>Dolok Loeboe Raja</i>	$X = -129990,56$ M.	$Y = +170068,59$ M.
<i>Dolok Dsaoed . . . .</i>	$X = -133785,14$ M.	$Y = +210429,13$ M.

H o e k e n :

<i>Siboga . . . . .</i>	$53^{\circ} 18' 56'',83$
<i>Dolok Loeboe Raja . . . .</i>	$54 9 59,41$
<i>Dolok Dsaoed . . . .</i>	$72 31 3,76$

L o g a r i t h m e n d e r z i j d e n :

<i>Siboga - Dolok Loeboe Raja . . . .</i>	$4,6831878,2$
<i>Siboga - Dolok Dsaoed . . . .</i>	$4,6125977,7$
<i>Dolok Dsaoed - Dolok Loeboe Raja . .</i>	$4,6078680,2$

A z i m u t s :

<i>Siboga - Dolok Loeboe Raja . . . .</i>	$120^{\circ} 27' 45'',09$
<i>Siboga - Dolok Dsaoed . . . .</i>	$67 8 48,26$
<i>Dolok Dsaoed - Dolok Loeboe Raja</i>	$174 37 44,50$

II. Driehoek Indrapoera - Boekit Gedang - Piek van Indrapoera.

1. Op het aardoppervlak (zie Figuur 2 a).

L e n g t e n e n b r e e d t e n d e r d r i e h o e k s p u n t e n :

<i>Indrapoera . . .</i> lengte: $0^{\circ} 32' 17'',394$ O.	breedte: $2^{\circ} 2' 15'',638$ Z.
<i>Boekit Gedang . . .</i> » $1 8 16,358$ O.	» $1 55 18,374$ Z.
<i>Piek van Indrapoera . . .</i> » $1 0 26,165$ O.	» $1 36 27,186$ Z.

H o e k e n :

<i>Indrapoera . . . .</i>	$31^{\circ} 28' 13'',77$
<i>Boekit Gedang . . . .</i>	$78 11 5,01$
<i>Piek van Indrapoera</i>	$70 20 47,61$
Spherisch excess . . . .	$6'',39$

Logarithmen der zijden:

*Indrapoera - Boekit Gedang . . . . .* 4,8320748,1  
*Indrapoera - Piek van Indrapoera . . . . .* 4,8488421,9  
*Boekit Gedang - Piek van Indrapoera* 4,5758560,4

Azimuts:

*Indrapoera - Boekit Gedang . . . . .*  $79^{\circ} 8' 11'',72$   
*Boekit Gedang - Indrapoera . . . . .* 259 6 57 ,14  
*Indrapoera - Piek van Indrapoera . . . . .* 47 39 57 ,95  
*Piek van Indrapoera - Indrapoera . . . . .* 227 39 4 ,24  
*Boekit Gedang - Piek van Indrapoera.* 337 18 2 ,15  
*Piek van Indrapoera - Boekit Gedang.* 157 18 16 ,63

2. In de conforme projectie (zie Figuur 2 b).

Coördinaten der driehoekspunten:

*Indrapoera . . . . . X = + 59901,31 M. Y = - 225341,23 M.*  
*Boekit Gedang . . . . . X = + 126653,24 M. Y = - 212518,40 M.*  
*Piek van Indrapoera . . . . . X = + 112115,58 M. Y = - 177760,45 M.*

Hoeeken:

*Indrapoera . . . . .*  $31^{\circ} 28' 4'',04$   
*Boekit Gedang . . . . .* 78 10 35 ,55  
*Piek van Indrapoera* 70 21 20 ,41

Logarithmen der zijden:

*Indrapoera - Boekit Gedang . . . . .* 4,8323324,7  
*Indrapoera - Piek van Indrapoera . . . . .* 4,8490615,4  
*Boekit Gedang - Piek van Indrapoera* 4,5760613,0

Azimuts:

*Indrapoera - Boekit Gedang . . . . .*  $79^{\circ} 7' 34'',06$   
*Indrapoera - Piek van Indrapoera . . . . .* 47 39 30 ,02  
*Boekit Gedang - Piek van Indrapoera* 337 18 9 ,61

## I.

## VERSCHILLENDEN OPGAVEN.

## Geodetische Constanten.

Tot grondslag voor de berekening van de in deze verzameling voorkomende tafels zijn gebezigt de afmetingen der aardellipsoïde volgens BESSEL. Deze zijn ontleend aan het *Berliner Astronomisches Jahrbuch* voor 1850, waarin door ENCKE wordt opgegeven:

de halve groote as der aarde = 3.272077,14 Toisen

$n$  (zie beneden) = 0,001674184767.

Met behulp van de *Tables portatives de logarithmes* van FRANÇOIS CALLET, tirage 1829, zijn hieruit de volgende constanten en hunne logarithmen berekend, waarbij 1 Toise =  $\frac{864}{443,296}$  Meter is genomen.

De halve groote as der aarde

$a = 6.377397,15441$  Meters;

de halve kleine as der aarde

$b = 6.356078,96266$  Meters.

Noemt men verder  $\rho$  de *asplattung*,  $e$  de *excentriciteit*,  $m$ ,  $n$  en  $q$  veelvuldig gebezigtde *hulpgrootheden*, dan is:

$$\rho = \frac{a - b}{a} = 1 - \sqrt{1 - e^2} = \frac{1}{299,1528} \\ = 0,0033427731141727$$

$$e^2 = \frac{a^2 - b^2}{a^2} = 2\rho - \rho^2 = 0,0066743720962526$$

$$m = \frac{a^2 - b^2}{a^2 + b^2} = \frac{e^2}{2 - e^2} = 0,0033483601488993$$

$$n = \frac{a - b}{a + b} = \frac{\rho}{2 - \rho} = 0,0016741847670000$$

$$q = \frac{a^2 - b^2}{b^2} = \frac{e^2}{1 - e^2} = 0,0067192186617975$$

$$1 - e^2 = (1 - \rho)^2 = \frac{1 - m}{1 + m} = \left(\frac{1 - n}{1 + n}\right)^2 = \frac{1}{1 + q}$$

$$\begin{aligned}
 \log a &= 6,80464.34636.54437.5 \\
 \log b &= 6,80318.92838.83809.7 \\
 \log \rho &= 7,52410.69004.91250.9 - 10 \\
 \log e^2 &= 7,82441.04149.11607.7 - 10 \\
 \log m &= 7,52483.21644.54908.4 - 10 \\
 \log n &= 7,22380.33860.70894.1 - 10 \\
 \log q &= 7,82731.87744.52863.3 - 10 \\
 \log (1 - e^2) &= 9,99709.16404.58744.4 - 10 \\
 \log (1 + m) &= 0,00145.17452.07282.0 \\
 \log (1 - m) &= 9,99854.33856.66026.4 - 10 \\
 \log (1 + n) &= 0,00072.64812.43624.4 \\
 \log (1 - n) &= 9,99927.23014.72996.6 - 10
 \end{aligned}$$

Uit bovenstaande grootheden volgt verder:

de omtrek der aarde langs den aequator: 40.070368 M.

de omtrek der aarde langs een meridiaan: 40.003423 M.

het oppervlak der aarde: 509.950714 K.M.<sup>2</sup>.

de inhoud der aarde: 1.082841.322500 K.M.<sup>3</sup>.

de straal van een bol, die hetzelfde oppervlak heeft als de aarde:  
6.370289,5 M.

de straal van een bol, die denzelfden inhoud heeft als de aarde:  
6.370283,2 M.

### Mathematische Constanten.

$$\pi = 3,14159265359 \quad \log \pi = 0,4971498.727$$

$$\frac{1}{\pi} = 0,31830988618 \quad \log \frac{1}{\pi} = 9,5028501.273 - 10$$

Aantal graden, minuten en secunden begrepen op den straal als éénheid:

$$\varrho^\circ = 57^\circ,2957795131 \quad \log \varrho^\circ = 1,7581226.324$$

$$\varrho' = 3437',74677078 \quad \log \varrho' = 3,5362738.828$$

$$\varrho'' = 206264'',806247 \quad \log \varrho'' = 5,3144251.332$$

$$\log \text{boog } 1^\circ = 8,2418773.676 - 10$$

$$\log \text{boog } 1' = 6,4637261.172 - 10$$

$$\log \text{boog } 1'' = 4,6855748.668 - 10$$

De basis van het Neperiaansche logarithmenstelsel:

$$e = 2,71828182846.$$

De modulus van het Briggiaansche logarithmenstelsel:

$$M = 0,43429448190$$

$$\log M = 9,6377843.113 - 10 \quad \log \frac{1}{e} M = 8,8596330.6 - 10$$

$$\log \frac{1}{e} M = 9,3367543.2 - 10 \quad \log \frac{1}{\pi} M = 8,7926862.7 - 10$$

$$\log \frac{1}{\pi} M = 9,1606630.6 - 10 \quad \log \frac{1}{\pi} M = 8,7346943.2 - 10$$

$$\log \frac{1}{\pi} M = 9,0357243.2 - 10 \quad \log \frac{1}{\pi} M = 8,6835418.0 - 10$$

$$\log \frac{1}{\pi} M = 8,9388143.1 - 10 \quad \log \frac{1}{\pi} M = 8,5586030.7 - 10$$

### Logarithmische en goniometrische reeksen.

$$\left. \begin{array}{l} \log(1+x) = M\left(x - \frac{x^2}{2} + \frac{x^3}{3} - \frac{x^4}{4} + \frac{x^5}{5} - \frac{x^6}{6} + \dots\right) \\ \log(1-x) = -M\left(x + \frac{x^2}{2} + \frac{x^3}{3} + \frac{x^4}{4} + \frac{x^5}{5} + \frac{x^6}{6} + \dots\right) \\ \log \frac{1+x}{1-x} = 2M\left(x + \frac{x^3}{3} + \frac{x^5}{5} + \dots\right) \end{array} \right\} \quad 0 < x < 1$$

$$\sin x = x - \frac{x^3}{1 \cdot 2 \cdot 3} + \frac{x^5}{1 \cdot 2 \cdot 3 \cdot 4 \cdot 5} - \frac{x^7}{1 \cdot 2 \cdot 3 \cdot 4 \cdot 5 \cdot 6 \cdot 7} + \dots$$

$$\cos x = 1 - \frac{x^2}{1 \cdot 2} + \frac{x^4}{1 \cdot 2 \cdot 3 \cdot 4} - \frac{x^6}{1 \cdot 2 \cdot 3 \cdot 4 \cdot 5 \cdot 6} + \dots$$

$$\tan x = x + \frac{x^3}{1 \cdot 3} + \frac{2x^5}{1 \cdot 3 \cdot 5} + \frac{17x^7}{1 \cdot 3 \cdot 5 \cdot 7 \cdot 3} + \dots$$

$$\log \sin x = \log x - M\left(\frac{x^2}{2 \cdot 3} + \frac{x^4}{4 \cdot 9 \cdot 5} + \frac{x^6}{9 \cdot 5 \cdot 7 \cdot 9} + \dots\right)$$

$$\log \cos x = -M\left(\frac{x^2}{2} + \frac{x^4}{3 \cdot 4} + \frac{x^6}{5 \cdot 9} + \dots\right)$$

$$\log \tan x = \log x + M\left(\frac{x^2}{3} + \frac{7x^4}{9 \cdot 10} + \frac{62x^6}{5 \cdot 7 \cdot 8 \cdot 1} + \dots\right)$$

Is  $q$  de lengte van den boog uitgedrukt in graden, minuten of secunden, dan is:  $x = \frac{q^\circ}{q^\circ} = \frac{q'}{q'} = \frac{q''}{q''}$ .

### Secanten-formules voor kleine bogen.

FORMULES.	6 DECIMALEN.		7 DECIMALEN.		8 DECIMALEN.	
	log x	x	log x	x	log x	x
1 <sup>o</sup> . Gegeven: log x.						
log sin x = log x - $\frac{1}{2}$ log sec x	8,9286	4° 52'	8,6786	2° 44'	8,4286	1° 32'
log tang x = log x + $\frac{1}{2}$ log sec x	8,9286	4 52	8,6786	2 44	8,4286	1 32
2 <sup>o</sup> . Gegeven: log sin x.	log sin x	x	log sin x	x	log sin x	x
log x = log sin x + $\frac{1}{2}$ log sec x	8,9286	4° 52'	8,6786	2° 44'	8,4286	1° 32'
log tang x = log sin x + log sec x	—	—	—	—	—	—
3 <sup>o</sup> . Gegeven: log tang x.	log tang x	x	log tang x	x	log tang x	x
log x = log tang x - $\frac{1}{2}$ log sec x	8,9286	4° 52'	8,6786	2° 44'	8,4286	1° 32'
log sin x = log tang x - log sec x	—	—	—	—	—	—

Achter elke formule is aangegeven de grootste waarde van  $\log f(x)$  en van  $x$ , waarvoor zij nog mag worden toegepast bij het gebruik van 6, 7 en 8 decimalen van den logarithmus.

### De interpolatie-formule van Newton.

Is het eerste verschil  $A_1$ ,

$$\begin{array}{ll} \rightarrow \text{tweede} & \rightarrow A_2 \\ \rightarrow \text{derde} & \rightarrow A_3 \text{ enz.} \end{array}$$

en is  $x$  de waarde waarvoor moet worden geïnterpoloerd, wanneer men het interval der tafel als eenheid neemt, zoodat  $x$  een breuk is, dan is de interpolatie-formule:

$$x A_1 - \frac{x(1-x)}{2} A_2 + \frac{x(1-x)(2-x)}{2 \cdot 3} A_3 - \dots$$

De tweede term verkrijgt zijn maximumwaarde voor  $x = 0,5$  en bedraagt dan:

$$0,125 A_2.$$

Het tweede verschil mag dus worden verwaarloosd als  $A_2 \leq 4$ .

De derde term verkrijgt zijn maximumwaarde voor  $x = 0,42$  en bedraagt dan:

$$0,064 A_3.$$

Het derde verschil mag dus worden verwaarloosd als  $A_3 < 8$ .

### T A F E L

van de waarden der coëfficiënten bij interpolatie voor tiende delen van het interval.

$x$	$\frac{x(1-x)}{2}$	$\frac{x(1-x)(2-x)}{2 \cdot 3}$
0,1	0,045	0,0285
0,2	0,080	0,0480
0,3	0,105	0,0595
0,4	0,120	0,0640
0,5	0,125	0,0625
0,6	0,120	0,0560
0,7	0,105	0,0455
0,8	0,080	0,0320
0,9	0,045	0,0165

### Lengte- en vlaktematen.

- 1 Geographische mijl = 7,420439 K.M. [0,8704296].
- 1 K.M. = 0,134763 Geographische mijl [9,1295704 — 10].
- 1 Zeemijl = 1,851852 K.M. [0,2676063].
- 1 K.M. = 0,540000 Zeemijl [9,7323937 — 10].
- 1 Paal = 400 Rijnl. roeden = 1,506943 K.M. [0,1780969].
- 1 K.M. = 0,663595 Paal [9,8219031 — 10].

- 1 Toise = 1,949036 M. [0,2898199].  
 1 M. = 0,513074 Toise [9,7101801 — 10].  
 1 Parijsche voet = 0,3248394 M. [9,5116687 — 10].  
 1 M. = 3,078444 Parijsche voet [0,4883313].  
 1 Engelsche voet = 0,3047973 M. [9,4840111 — 10].  
 1 M. = 3,280869 Engelsche voet [0,5159889].  
 1 Rijnlandsche voet = 0,3139465 M. [9,4968557 — 10].  
 1 M. = 3,185256 Rijnlandsche voet [0,5031443].  
 1 Par. duim = 27,0700 m.M. 1 Par. lijn = 2,2558 m.M.  
 1 Eng. duim = 25,3998 m.M. 1 Eng. lijn = 2,1166 m.M.  
 1 Rijnl. duim = 26,1622 m.M. 1 Rijnl. lijn = 2,1802 m.M.  
  
 1 □ Geographische mijl = 55,062915 K.M<sup>2</sup>. [1,7408592].  
 1 K.M<sup>2</sup>. = 0,018161 □ Geographische mijl [8,2591408 — 10].  
 1 □ Paal = 320 Bahoe = 2,270878 K.M<sup>2</sup>. [0,3561938].  
 1 K.M<sup>2</sup>. = 0,440358 □ Paal [9,6438062 — 10].  
 1 Bahoe = 0,709649 Hectare [9,8510435].  
 1 Hectare = 1,409147 Bahoe [0,1489565].

De getallen tusschen haakjes zijn de logarithmen van de getallen waar zij onmiddellijk achter zijn geplaatst.

#### Tafel voor de herleiding van minuten en graden tot secunden.

1'	60''	13'	780''	25'	1500''	37'	2220''	49'	2940''	1°	3600''
2	120	14	840	26	1560	38	2280	50	3000	2	7200
3	180	15	900	27	1620	39	2340	51	3060	3	10800
4	240	16	960	28	1680	40	2400	52	3120	4	14400
5	300	17	1020	29	1740	41	2460	53	3180	5	18000
6	360	18	1080	30	1800	42	2520	54	3240	6	21600
7	420	19	1140	31	1860	43	2580	55	3300	7	25200
8	480	20	1200	32	1920	44	2640	56	3360	8	28800
9	540	21	1260	33	1980	45	2700	57	3420	9	32400
10	600	22	1320	34	2040	46	2760	58	3480	10	36000
11	660	23	1380	35	2100	47	2820	59	3540	11	39600
12	720	24	1440	36	2160	48	2880	60	3600	12	43200

## II.

ALGEMEENE GEODETISCHE FORMULES  
EN TAFELS.

---

Is  $\varphi$  de *breedte* van een punt  $P$ , gelegen op het oppervlak der aarde, en stelt men de uitdrukking

$$\frac{1}{\sqrt{1 - e^2 \sin^2 \varphi}} = W,$$

dan bestaan de volgende betrekkingen:

1°.  $x$ , de *afstand* van het punt tot de *kleine as* der aarde,

$$x = a W \cos \varphi.$$

2°.  $y$ , de *afstand* van het punt tot het *vlak van den aequator*,

$$y = a(1 - e^2) W \sin \varphi.$$

3°.  $N$ , de *lengte* van het deel der *normaal* op de ellipsoïde in het punt  $P$ , begrepen tusschen dat punt en het snijpunt met de kleine as der aarde, bepaaldeelijk «*de normaal*» genoemd,

$$N = a W.$$

4°.  $d$ , de *afstand* van het *snijpunt der normaal* met de kleine as der aarde tot aan het *middelpunt*,

$$d = e^2 N \sin \varphi = a e^2 W \sin \varphi.$$

5°.  $R$ , de *kromtestraal* van den *meridiaan* in het punt  $P$ ,

$$R = a(1 - e^2) W^3.$$

6°. de *kromtestraal* der *normale doorsnede* gaande door het punt  $P$ , welker vlak *loodrecht* staat op dat van den meridiaan (*de dwarskromtestraal*) is gelijk aan de *normaal*  $N$ .

7°. de *gemiddelde kromtestraal* in het punt  $P$ ,

$$\sqrt{NR} = a \sqrt{1 - e^2} W^3 - b W^4.$$

8°.  $r$ , de *straal* van den *parallelcirkel* in het punt  $P$ ,

$$r = x = N \cos \varphi = a W \cos \varphi.$$

9°.  $R_A$ , de *kromtestraal* in het punt  $P$  van de *normale doorsnede*, gaande door dat punt, en waarvan het azimut in dat punt =  $A$ ,

$$R_A = \frac{N}{1 + q \cos^2 \varphi \cos^2 A}$$

De waarde van

$$\log W = \log \sqrt{\frac{1}{1 - e^2 \sin^2 \varphi}}$$

voor de verschillende waarden van  $\varphi$  wordt voor kleine breedten het gemakkelijkst berekend door middel van de formule:

$$\log W = \frac{1}{2} M e^2 \sin^2 \varphi + \frac{1}{4} M e^4 \sin^4 \varphi + \frac{1}{6} M e^6 \sin^6 \varphi + \frac{1}{8} M e^8 \sin^8 \varphi + \dots,$$

waarin:

$$\log \frac{1}{2} M e^2 = 7,1611647,305 - 10$$

$$\log \frac{1}{4} M e^4 = 4,6845451 - 10$$

$$\log \frac{1}{6} M e^6 = 2,33286 - 10$$

$$\log \frac{1}{8} M e^8 = 0,0032 - 10.$$

De waarden van  $\log W$  tot in *elf* decimalen voor de waarden van  $\varphi$  van  $0^\circ$  tot  $6^\circ$ , telkens opklimmende met 1 minuut, zijn opgenomen in *Tafel Ia*.

De waarden van  $\log N$  en  $\log R$  in *acht*, en van  $\log \sqrt{NR}$  en  $\log r$  in *zes* decimalen, voor de waarden van  $\varphi$  van  $0^\circ$  tot  $6^\circ$ , telkens opklimmende met 1 minuut, zijn opgenomen in *Tafel Ib*.

De *lengte* van een *boog* van den *meridaan* begrepen tusschen twee punten, welker geographische breedten  $\varphi_1$  en  $\varphi_2$  zijn, wordt voor afstanden van 100000 M. nog in millimeters nauwkeurig gevonden uit de formule:

$$S = \beta R_m \text{boog } 1'' [1 + \frac{1}{2} \beta^2 e^2 \text{boog } 2 \text{ } 1'' \cos 2 \varphi_m],$$

waarin:

$$\beta = \varphi_2 - \varphi_1, \text{ uitgedrukt in secunden},$$

$$\varphi_m = \frac{1}{2} (\varphi_1 + \varphi_2),$$

$R_m$ , de meridiaan-kromtestraal voor de breedte  $\varphi_m$ ,

$$\log \frac{1}{2} e^2 \text{boog } 2 \text{ } 1'' = 6,29247 - 10.$$

Voor de berekening van den logarithmus tot in *acht* decimalen nauwkeurig, heeft men de formule:

$$\log S = \log \beta R_m \text{boog } 1'' + \frac{1}{2} M \beta^2 e^2 \text{boog } 2 \text{ } 1'' \cos 2 \varphi_m.$$

$$\log \frac{1}{2} M e^2 \text{boog } 2 \text{ } 1'' = 5,93025 - 10.$$

De waarden van

$$\log R_m \text{boog } 1'' = [\text{VI}],$$

$$\log \frac{1}{2} M e^2 \text{boog } 2 \text{ } 1'' \cos 2 \varphi_m = [\text{VII}]$$

zijn voor de waarden van  $\varphi_m$  van  $0^\circ$  tot  $6^\circ$  te vinden in *Tafel IV* (Afdeeling III).

De *lengte* van een *boog* van den *parallelcirkel* begrepen tusschen twee punten, wier lengteverschil uitgedrukt in secunden gelijk is aan  $\lambda$ , wordt gevonden uit de formule:

$$S = r \lambda \text{boog } 1''.$$

De *inhoud* van een *trapeziumvormig deel* van het aardoppervlak, dat begrensd wordt door twee *bogen van meridianen* en twee *bogen van parallellelen*, is te berekenen uit de formule:

$$I = 2 \lambda \text{boog } 1'' [A_1 \cos \varphi_m \sin \frac{1}{2} \beta - A_3 \cos 3 \varphi_m \sin \frac{3}{2} \beta + A_5 \cos 5 \varphi_m \sin \frac{5}{2} \beta - \dots].$$

waarin:

$$A_1 = a^2 \left( 1 - \frac{e^2}{2} - \frac{e^4}{8} - \dots \right)$$

$$A_3 = a^2 \left( \frac{e^2}{6} + \frac{e^4}{48} + \dots \right)$$

$$A_5 = a^2 \left( \frac{3e^4}{80} + \dots \right);$$

en in getallenwaarden:

$$\log A_1 = 7,60783275$$

$$\log A_3 = 4,655908$$

$$\log A_5 = 1,8341$$

$$\log 2 \text{ boog } 1'' = 4,98660486 - 10,$$

terwijl  $\lambda$  moet worden uitgedrukt in secunden en  $I$  in vierkante Kilometers wordt gevonden.

De lengten van bogen groot  $10'$  langs de *parallellellen*, voor de waarden van  $\varphi$  van  $0^\circ$  tot  $6^\circ$ , telkens opklimmende met  $10$  minuten, benevens de lengten der opvolgende bogen groot  $10'$  van den *meridiaan*, van af  $0^\circ$  tot aan  $6^\circ$  breedte, zijn tot in *decimeters* opgegeven in *Tafel Ic*.

Verder zijn in *Tafel Ic* opgegeven tot in *drie decimalen* der K.M.<sup>2</sup>, de inhouden der opvolgende *trapeziums*, begrepen tusschen twcc meridianen, wier lengteverschil  $10'$  bedraagt, en tusschen twee parallellellen, op afstanden van  $10'$  van elkaar, beginnende bij  $0^\circ$  en eindigende bij  $6^\circ$  breedte.

Ten slotte vindt men nog in *Tafel Ic* de lengten van bogen groot  $1^\circ$ ,  $1'$  en  $1''$  langs *parallel* en *meridiaan*, de graden tot in *Meters*, de minuten tot in *centimeters* en de secunden tot in *tiende deelen* van *millimeters*, voor de waarden van  $\varphi$  — respectievelijk  $q_m$  — van  $0^\circ$  tot  $6^\circ$ , telkens opklimmende met  $1$  graad.

φ	log W	A <sub>1</sub>	A <sub>2</sub>	φ	log W	A <sub>1</sub>	A <sub>2</sub>
$0^\circ 0'$	0,0000000.000 <sub>0</sub>	+	+	$1^\circ 0'$	0,0000044.144	+	+
1	0.001 <sub>2</sub>	1 <sub>2</sub>	2 <sub>3</sub>	1	4.562 <sub>8</sub>	148 <sub>4</sub>	2 <sub>4</sub>
2	0.004 <sub>3</sub>	3 <sub>7</sub>	2 <sub>4</sub>	2	4.713 <sub>6</sub>	150 <sub>3</sub>	2 <sub>5</sub>
3	0.011 <sub>0</sub>	6 <sub>1</sub>	2 <sub>5</sub>	3	4.866 <sub>9</sub>	153 <sub>3</sub>	2 <sub>4</sub>
4	0.019 <sub>6</sub>	8 <sub>6</sub>	2 <sub>5</sub>	4	5.022 <sub>6</sub>	155 <sub>7</sub>	2 <sub>4</sub>
5	0,0000000.030 <sub>7</sub>	11 <sub>1</sub>	2 <sub>4</sub>	5	0,000005.180 <sub>7</sub>	160 <sub>6</sub>	2 <sub>5</sub>
6	0.044 <sub>2</sub>	13 <sub>1</sub>	2 <sub>4</sub>	6	5.341 <sub>3</sub>	163 <sub>1</sub>	2 <sub>5</sub>
7	0.060 <sub>1</sub>	15 <sub>0</sub>	2 <sub>5</sub>	7	5.504 <sub>4</sub>	165 <sub>5</sub>	2 <sub>4</sub>
8	0.078 <sub>5</sub>	18 <sub>4</sub>	2 <sub>4</sub>	8	5.669 <sub>9</sub>	168 <sub>0</sub>	2 <sub>5</sub>
9	0.099 <sub>3</sub>	20 <sub>8</sub>	2 <sub>5</sub>	9	5.837 <sub>9</sub>	170 <sub>4</sub>	2 <sub>4</sub>
$0^\circ 10'$	0,0000000.122 <sub>6</sub>	23 <sub>3</sub>	2 <sub>5</sub>	$1^\circ 10'$	0,000006.008 <sub>3</sub>	172 <sub>9</sub>	2 <sub>5</sub>
11	0.148 <sub>4</sub>	25 <sub>4</sub>	2 <sub>4</sub>	11	6.181 <sub>2</sub>	175 <sub>3</sub>	2 <sub>5</sub>
12	0.176 <sub>6</sub>	28 <sub>2</sub>	2 <sub>5</sub>	12	6.356 <sub>5</sub>	177 <sub>8</sub>	2 <sub>4</sub>
13	0.207 <sub>3</sub>	30 <sub>7</sub>	2 <sub>4</sub>	13	6.534 <sub>3</sub>	180 <sub>2</sub>	2 <sub>5</sub>
14	0.240 <sub>4</sub>	33 <sub>1</sub>	2 <sub>4</sub>	14	6.714 <sub>3</sub>	182 <sub>7</sub>	2 <sub>5</sub>
15	0,0000000.275 <sub>9</sub>	35 <sub>5</sub>	2 <sub>5</sub>	15	0,000006.897 <sub>2</sub>	185 <sub>1</sub>	2 <sub>4</sub>
16	0.313 <sub>9</sub>	38 <sub>0</sub>	2 <sub>5</sub>	16	7.082 <sub>3</sub>	187 <sub>6</sub>	2 <sub>4</sub>
17	0.354 <sub>4</sub>	40 <sub>5</sub>	2 <sub>4</sub>	17	7.269 <sub>9</sub>	190 <sub>0</sub>	2 <sub>5</sub>
18	0.397 <sub>3</sub>	42 <sub>9</sub>	2 <sub>5</sub>	18	7.459 <sub>0</sub>	192 <sub>5</sub>	2 <sub>4</sub>
19	0.442 <sub>7</sub>	45 <sub>4</sub>	2 <sub>4</sub>	19	7.652 <sub>4</sub>	194 <sub>9</sub>	2 <sub>4</sub>
$0^\circ 20'$	0,0000000.490 <sub>5</sub>	47 <sub>8</sub>	2 <sub>5</sub>	$1^\circ 20'$	0,000007.847 <sub>3</sub>	197 <sub>4</sub>	2 <sub>5</sub>
21	0.540 <sub>8</sub>	50 <sub>3</sub>	2 <sub>5</sub>	21	8.044 <sub>7</sub>	199 <sub>3</sub>	2 <sub>4</sub>
22	0.593 <sub>6</sub>	52 <sub>8</sub>	2 <sub>4</sub>	22	8.244 <sub>5</sub>	202 <sub>3</sub>	2 <sub>5</sub>
23	0.648 <sub>3</sub>	55 <sub>2</sub>	2 <sub>4</sub>	23	8.446 <sub>8</sub>	204 <sub>1</sub>	2 <sub>4</sub>
24	0.706 <sub>4</sub>	57 <sub>6</sub>	2 <sub>5</sub>	24	8.651 <sub>5</sub>	207 <sub>1</sub>	2 <sub>4</sub>
25	0,0000000.766 <sub>3</sub>	60 <sub>1</sub>	2 <sub>5</sub>	25	0,000008.858 <sub>6</sub>	209 <sub>6</sub>	2 <sub>5</sub>
26	0.829 <sub>1</sub>	62 <sub>6</sub>	2 <sub>4</sub>	26	9.068 <sub>2</sub>	212 <sub>1</sub>	2 <sub>4</sub>
27	0.894 <sub>1</sub>	65 <sub>0</sub>	2 <sub>4</sub>	27	9.280 <sub>3</sub>	214 <sub>3</sub>	2 <sub>5</sub>
28	0.961 <sub>5</sub>	67 <sub>4</sub>	2 <sub>5</sub>	28	9.494 <sub>8</sub>	217 <sub>0</sub>	2 <sub>4</sub>
29	1.031 <sub>4</sub>	69 <sub>9</sub>	2 <sub>4</sub>	29	9.711 <sub>8</sub>	219 <sub>4</sub>	2 <sub>4</sub>
$0^\circ 30'$	0,0000001.103 <sub>7</sub>	72 <sub>3</sub>	2 <sub>5</sub>	$1^\circ 30'$	0,000009.931 <sub>2</sub>	221 <sub>9</sub>	2 <sub>5</sub>
31	1.178 <sub>3</sub>	74 <sub>8</sub>	2 <sub>5</sub>	31	10.153 <sub>1</sub>	224 <sub>3</sub>	2 <sub>4</sub>
32	1.255 <sub>3</sub>	77 <sub>3</sub>	2 <sub>4</sub>	32	10.377 <sub>4</sub>	226 <sub>8</sub>	2 <sub>4</sub>
33	1.335 <sub>5</sub>	79 <sub>7</sub>	2 <sub>4</sub>	33	10.604 <sub>2</sub>	229 <sub>2</sub>	2 <sub>5</sub>
34	1.417 <sub>6</sub>	82 <sub>1</sub>	2 <sub>5</sub>	34	10.833 <sub>1</sub>	231 <sub>7</sub>	2 <sub>4</sub>
35	0,000001.502 <sub>2</sub>	84 <sub>6</sub>	2 <sub>5</sub>	35	0,0000011.065 <sub>1</sub>	234 <sub>1</sub>	2 <sub>4</sub>
36	1.589 <sub>3</sub>	87 <sub>1</sub>	2 <sub>4</sub>	36	11.299 <sub>2</sub>	236 <sub>6</sub>	2 <sub>5</sub>
37	1.678 <sub>8</sub>	89 <sub>5</sub>	2 <sub>5</sub>	37	11.535 <sub>8</sub>	239 <sub>0</sub>	2 <sub>4</sub>
38	1.770 <sub>8</sub>	92 <sub>0</sub>	2 <sub>4</sub>	38	11.774 <sub>8</sub>	241 <sub>4</sub>	2 <sub>5</sub>
39	1.865 <sub>2</sub>	94 <sub>4</sub>	2 <sub>5</sub>	39	12.016 <sub>3</sub>	243 <sub>9</sub>	2 <sub>5</sub>
$0^\circ 40'$	0,000001.962 <sub>1</sub>	96 <sub>0</sub>	2 <sub>4</sub>	$1^\circ 40'$	0,0000012.260 <sub>1</sub>	246 <sub>4</sub>	2 <sub>5</sub>
41	2.061 <sub>4</sub>	99 <sub>3</sub>	2 <sub>5</sub>	41	12.506 <sub>5</sub>	248 <sub>8</sub>	2 <sub>4</sub>
42	2.163 <sub>2</sub>	101 <sub>8</sub>	2 <sub>4</sub>	42	12.755 <sub>3</sub>	251 <sub>3</sub>	2 <sub>4</sub>
43	2.267 <sub>4</sub>	104 <sub>2</sub>	2 <sub>5</sub>	43	13.006 <sub>6</sub>	253 <sub>7</sub>	2 <sub>4</sub>
44	2.374 <sub>1</sub>	106 <sub>7</sub>	2 <sub>4</sub>	44	13.260 <sub>3</sub>	256 <sub>1</sub>	2 <sub>4</sub>
45	0,000002.483 <sub>2</sub>	109 <sub>1</sub>	2 <sub>5</sub>	45	0,0000013.516 <sub>4</sub>	258 <sub>6</sub>	2 <sub>5</sub>
46	2.594 <sub>8</sub>	111 <sub>6</sub>	2 <sub>5</sub>	46	13.775 <sub>0</sub>	261 <sub>1</sub>	2 <sub>4</sub>
47	2.708 <sub>9</sub>	114 <sub>1</sub>	2 <sub>4</sub>	47	14.036 <sub>1</sub>	263 <sub>5</sub>	2 <sub>4</sub>
48	2.825 <sub>4</sub>	116 <sub>5</sub>	2 <sub>4</sub>	48	14.299 <sub>6</sub>	265 <sub>9</sub>	2 <sub>5</sub>
49	2.944 <sub>3</sub>	118 <sub>9</sub>	2 <sub>5</sub>	49	14.565 <sub>5</sub>	268 <sub>4</sub>	2 <sub>5</sub>
$0^\circ 50'$	0,000003.065 <sub>7</sub>	121 <sub>4</sub>	2 <sub>5</sub>	$1^\circ 50'$	0,0000014.833 <sub>9</sub>	270 <sub>9</sub>	2 <sub>5</sub>
51	3.189 <sub>6</sub>	123 <sub>9</sub>	2 <sub>4</sub>	51	15.104 <sub>5</sub>	273 <sub>3</sub>	2 <sub>4</sub>
52	3.315 <sub>9</sub>	126 <sub>3</sub>	2 <sub>4</sub>	52	15.378 <sub>1</sub>	275 <sub>7</sub>	2 <sub>5</sub>
53	3.444 <sub>6</sub>	128 <sub>7</sub>	2 <sub>5</sub>	53	15.653 <sub>4</sub>	278 <sub>2</sub>	2 <sub>4</sub>
54	3.575 <sub>3</sub>	131 <sub>2</sub>	2 <sub>4</sub>	54	15.932 <sub>0</sub>	280 <sub>6</sub>	2 <sub>4</sub>
55	0,000003.709 <sub>4</sub>	133 <sub>6</sub>	2 <sub>5</sub>	55	0,0000016.212 <sub>6</sub>	283 <sub>1</sub>	2 <sub>5</sub>
56	3.845 <sub>5</sub>	136 <sub>1</sub>	2 <sub>5</sub>	56	16.495 <sub>7</sub>	285 <sub>5</sub>	2 <sub>4</sub>
57	3.984 <sub>1</sub>	138 <sub>6</sub>	2 <sub>4</sub>	57	16.781 <sub>2</sub>	288 <sub>0</sub>	2 <sub>5</sub>
58	4.125 <sub>1</sub>	141 <sub>0</sub>	2 <sub>4</sub>	58	17.069 <sub>2</sub>	290 <sub>4</sub>	2 <sub>4</sub>
59	4.268 <sub>5</sub>	143 <sub>4</sub>	2 <sub>5</sub>	59	17.359 <sub>6</sub>	292 <sub>9</sub>	2 <sub>5</sub>
$1^\circ 0'$	0,000004.414 <sub>4</sub>	145 <sub>9</sub>	2 <sub>5</sub>	$2^\circ 0'$	0,0000017.652 <sub>5</sub>	24	

## T A F E L I a.

 $\varphi$  van  $2^{\circ} 0'$  tot  $4^{\circ} 0'$ .

$\varphi$	log $W$	$A_1$	$A_2$	$\varphi$	log $W$	$A_1$	$A_2$
$2^{\circ} 0'$	0,0000017.6525	+	+	$3^{\circ} 0'$	0,0000039.6981	+	+
1	17.9478	2953	2 <sub>3</sub>	1	40.1400	4419	2 <sub>4</sub>
2	18.2456	2973	2 <sub>4</sub>	2	40.5843	4443	2 <sub>5</sub>
3	18.5458	3002	2 <sub>4</sub>	3	41.0311	4468	2 <sub>4</sub>
4	18.8484	3023	2 <sub>5</sub>	4	41.4803	4492	2 <sub>5</sub>
5	0,0000019.1535	3051	2 <sub>3</sub>	5	0,0000041.9320	4511	2 <sub>4</sub>
6	19.4611	3073	2 <sub>4</sub>	6	42.3861	4541	2 <sub>4</sub>
7	19.7711	3100	2 <sub>4</sub>	7	42.8426	4565	2 <sub>5</sub>
8	20.0835	3121	2 <sub>5</sub>	8	43.3016	4590	2 <sub>4</sub>
9	20.3984	3142	2 <sub>4</sub>	9	43.7630	4614	2 <sub>4</sub>
$2^{\circ} 10'$	0,0000020.7157	3173	2 <sub>5</sub>	$3^{\circ} 10'$	0,0000044.2268	4633	2 <sub>5</sub>
11	21.0355	3193	2 <sub>4</sub>	11	44.6931	4663	2 <sub>4</sub>
12	21.3577	3222	2 <sub>5</sub>	12	45.1618	4687	2 <sub>5</sub>
13	21.6824	3241	2 <sub>4</sub>	13	45.6330	4712	2 <sub>4</sub>
14	22.0095	3271	2 <sub>4</sub>	14	46.1066	4736	2 <sub>5</sub>
15	0,0000022.3390	3293	2 <sub>5</sub>	15	0,0000046.5827	4761	2 <sub>4</sub>
16	22.6710	3320	2 <sub>4</sub>	16	47.0612	4785	2 <sub>4</sub>
17	23.0054	3341	2 <sub>5</sub>	17	47.5421	4809	2 <sub>5</sub>
18	23.3423	3363	2 <sub>4</sub>	18	48.0253	4834	2 <sub>4</sub>
19	23.6816	3393	2 <sub>5</sub>	19	48.5113	4853	2 <sub>5</sub>
$2^{\circ} 20'$	0,0000024.0234	3413	2 <sub>4</sub>	$3^{\circ} 20'$	0,0000048.9996	4883	2 <sub>3</sub>
21	24.3676	3442	2 <sub>5</sub>	21	49.4902	4906	2 <sub>5</sub>
22	24.7143	3461	2 <sub>4</sub>	22	49.9833	4931	2 <sub>4</sub>
23	25.0634	3491	2 <sub>5</sub>	23	50.4788	4953	2 <sub>5</sub>
24	25.4150	3510	2 <sub>4</sub>	24	50.9768	4980	2 <sub>4</sub>
25	0,0000025.7690	3540	2 <sub>5</sub>	25	0,0000051.4772	5004	2 <sub>4</sub>
26	26.1255	3563	2 <sub>4</sub>	26	51.9800	5023	2 <sub>5</sub>
27	26.4844	3583	2 <sub>4</sub>	27	52.4853	5053	2 <sub>4</sub>
28	26.8451	3613	2 <sub>5</sub>	28	52.9930	5071	2 <sub>5</sub>
29	27.2095	3633	2 <sub>4</sub>	29	53.5032	5102	2 <sub>4</sub>
$2^{\circ} 30'$	0,0000027.5757	3662	2 <sub>5</sub>	$3^{\circ} 30'$	0,0000054.0158	5126	2 <sub>4</sub>
31	27.9444	3683	2 <sub>4</sub>	31	54.5308	5150	2 <sub>4</sub>
32	28.3155	3711	2 <sub>5</sub>	32	55.0482	5174	2 <sub>5</sub>
33	28.6891	3736	2 <sub>4</sub>	33	55.5681	5190	2 <sub>4</sub>
34	29.0651	3760	2 <sub>4</sub>	34	56.0904	5223	2 <sub>5</sub>
35	0,0000029.4435	3784	2 <sub>5</sub>	35	0,0000056.6152	5243	2 <sub>4</sub>
36	29.8244	3803	2 <sub>4</sub>	36	57.1424	5272	2 <sub>4</sub>
37	30.2077	3833	2 <sub>5</sub>	37	57.6720	5296	2 <sub>5</sub>
38	30.5935	3853	2 <sub>4</sub>	38	58.2041	5321	2 <sub>4</sub>
39	30.9817	3882	2 <sub>4</sub>	39	58.7386	5343	2 <sub>4</sub>
$2^{\circ} 40'$	0,0000031.3723	3906	2 <sub>5</sub>	$3^{\circ} 40'$	0,0000059.2755	5369	2 <sub>4</sub>
41	31.7654	3931	2 <sub>4</sub>	41	59.8148	5393	2 <sub>5</sub>
42	32.1609	3953	2 <sub>5</sub>	42	60.3566	5418	2 <sub>4</sub>
43	32.5589	3980	2 <sub>4</sub>	43	60.9008	5443	2 <sub>5</sub>
44	32.9593	4004	2 <sub>5</sub>	44	61.4475	5467	2 <sub>4</sub>
45	0,0000033.3622	4023	2 <sub>4</sub>	45	0,0000061.9966	5491	2 <sub>4</sub>
46	33.7675	4053	2 <sub>4</sub>	46	62.5481	5515	2 <sub>5</sub>
47	34.1752	4071	2 <sub>5</sub>	47	63.1021	5540	2 <sub>4</sub>
48	34.5854	4102	2 <sub>4</sub>	48	63.6585	5564	2 <sub>4</sub>
49	34.9980	4126	2 <sub>5</sub>	49	64.2173	5588	2 <sub>5</sub>
$2^{\circ} 50'$	0,0000035.4131	4151	2 <sub>4</sub>	$3^{\circ} 50'$	0,0000064.7786	5613	2 <sub>3</sub>
51	35.8303	4173	2 <sub>5</sub>	51	65.3422	5636	2 <sub>5</sub>
52	36.2506	4200	2 <sub>4</sub>	52	65.9083	5661	2 <sub>4</sub>
53	36.6730	4224	2 <sub>4</sub>	53	66.4763	5685	2 <sub>5</sub>
54	37.0973	4248	2 <sub>5</sub>	54	67.0478	5710	2 <sub>4</sub>
55	0,0000037.5251	4273	2 <sub>4</sub>	55	0,0000067.6212	5734	2 <sub>4</sub>
56	37.9543	4297	2 <sub>5</sub>	56	68.1970	5758	2 <sub>4</sub>
57	38.3870	4322	2 <sub>4</sub>	57	68.7752	5782	2 <sub>5</sub>
58	38.8216	4346	2 <sub>4</sub>	58	69.3550	5807	2 <sub>4</sub>
59	39.2583	4370	2 <sub>5</sub>	59	69.9390	5831	2 <sub>5</sub>
$3^{\circ} 0'$	0,0000039.6981	4395	2 <sub>4</sub>	$4^{\circ} 0'$	0,0000070.5246	5856	2 <sub>4</sub>

φ	log W	A <sub>1</sub>	A <sub>2</sub>	φ	log W	A <sub>1</sub>	A <sub>2</sub>
4° 0'	0,0000070.524 <sub>6</sub>	+	+	5° 0'	0,0000110.095 <sub>1</sub>	+	+
1	71.112 <sub>6</sub>	588 <sub>0</sub>	2 <sub>4</sub>	1	110.828 <sub>4</sub>	733 <sub>3</sub>	2 <sub>5</sub>
2	71.703 <sub>0</sub>	590 <sub>4</sub>	2 <sub>4</sub>	2	111.564 <sub>2</sub>	735 <sub>8</sub>	2 <sub>3</sub>
3	72.295 <sub>8</sub>	592 <sub>8</sub>	2 <sub>5</sub>	3	112.302 <sub>3</sub>	738 <sub>1</sub>	2 <sub>5</sub>
4	72.891 <sub>1</sub>	595 <sub>3</sub>	2 <sub>4</sub>	4	113.042 <sub>9</sub>	740 <sub>6</sub>	2 <sub>4</sub>
5	0,0000073.488 <sub>3</sub>	597 <sub>7</sub>	2 <sub>4</sub>	5	0,0000113.785 <sub>9</sub>	743 <sub>0</sub>	2 <sub>4</sub>
6	74.088 <sub>9</sub>	600 <sub>1</sub>	2 <sub>4</sub>	6	114.531 <sub>3</sub>	747 <sub>8</sub>	2 <sub>4</sub>
7	74.691 <sub>4</sub>	602 <sub>5</sub>	2 <sub>5</sub>	7	115.279 <sub>1</sub>	750 <sub>2</sub>	2 <sub>4</sub>
8	75.296 <sub>4</sub>	605 <sub>0</sub>	2 <sub>4</sub>	8	116.029 <sub>3</sub>	752 <sub>7</sub>	2 <sub>5</sub>
9	75.903 <sub>8</sub>	607 <sub>4</sub>	2 <sub>5</sub>	9	116.782 <sub>0</sub>	755 <sub>0</sub>	2 <sub>3</sub>
4° 10'	0,0000076.513 <sub>7</sub>	609 <sub>0</sub>	2 <sub>3</sub>	5° 10'	0,0000117.537 <sub>0</sub>	757 <sub>5</sub>	2 <sub>5</sub>
11	77.125 <sub>9</sub>	612 <sub>2</sub>	2 <sub>5</sub>	11	118.294 <sub>5</sub>	759 <sub>9</sub>	2 <sub>4</sub>
12	77.740 <sub>6</sub>	614 <sub>1</sub>	2 <sub>4</sub>	12	119.054 <sub>4</sub>	762 <sub>3</sub>	2 <sub>4</sub>
13	78.357 <sub>7</sub>	617 <sub>1</sub>	2 <sub>4</sub>	13	119.816 <sub>7</sub>	764 <sub>1</sub>	2 <sub>4</sub>
14	78.977 <sub>2</sub>	622 <sub>0</sub>	2 <sub>5</sub>	14	120.581 <sub>4</sub>	767 <sub>1</sub>	2 <sub>4</sub>
15	0,0000079.599 <sub>2</sub>	624 <sub>1</sub>	2 <sub>4</sub>	15	0,0000121.348 <sub>5</sub>	769 <sub>5</sub>	2 <sub>4</sub>
16	80.223 <sub>6</sub>	626 <sub>8</sub>	2 <sub>4</sub>	16	122.118 <sub>0</sub>	772 <sub>0</sub>	2 <sub>5</sub>
17	80.850 <sub>4</sub>	629 <sub>2</sub>	2 <sub>4</sub>	17	122.890 <sub>0</sub>	774 <sub>3</sub>	2 <sub>3</sub>
18	81.479 <sub>6</sub>	631 <sub>7</sub>	2 <sub>5</sub>	18	123.664 <sub>3</sub>	776 <sub>9</sub>	2 <sub>5</sub>
19	82.111 <sub>3</sub>	634 <sub>1</sub>	2 <sub>4</sub>	19	124.441 <sub>1</sub>	779 <sub>2</sub>	2 <sub>4</sub>
4° 20'	0,0000082.745 <sub>4</sub>	636 <sub>5</sub>	2 <sub>4</sub>	5° 20'	0,0000125.220 <sub>3</sub>	781 <sub>6</sub>	2 <sub>4</sub>
21	83.381 <sub>9</sub>	638 <sub>9</sub>	2 <sub>4</sub>	21	126.001 <sub>9</sub>	784 <sub>0</sub>	2 <sub>4</sub>
22	84.020 <sub>8</sub>	641 <sub>4</sub>	2 <sub>5</sub>	22	126.785 <sub>9</sub>	786 <sub>4</sub>	2 <sub>4</sub>
23	84.662 <sub>2</sub>	643 <sub>8</sub>	2 <sub>4</sub>	23	127.572 <sub>3</sub>	788 <sub>8</sub>	2 <sub>4</sub>
24	85.306 <sub>0</sub>	646 <sub>2</sub>	2 <sub>4</sub>	24	128.361 <sub>1</sub>	791 <sub>2</sub>	2 <sub>4</sub>
25	0,0000085.952 <sub>2</sub>	648 <sub>6</sub>	2 <sub>1</sub>	25	0,0000129.152 <sub>3</sub>	793 <sub>1</sub>	2 <sub>5</sub>
26	86.600 <sub>9</sub>	651 <sub>0</sub>	2 <sub>4</sub>	26	129.946 <sub>0</sub>	796 <sub>0</sub>	2 <sub>3</sub>
27	87.251 <sub>8</sub>	653 <sub>5</sub>	2 <sub>3</sub>	27	130.742 <sub>0</sub>	798 <sub>5</sub>	2 <sub>3</sub>
28	87.905 <sub>3</sub>	655 <sub>9</sub>	2 <sub>4</sub>	28	131.540 <sub>5</sub>	800 <sub>9</sub>	2 <sub>4</sub>
29	88.561 <sub>2</sub>	658 <sub>4</sub>	2 <sub>5</sub>	29	132.341 <sub>4</sub>	803 <sub>3</sub>	2 <sub>4</sub>
4° 30'	0,0000089.219 <sub>6</sub>	660 <sub>7</sub>	2 <sub>3</sub>	5° 30'	0,0000133.144 <sub>7</sub>	805 <sub>1</sub>	2 <sub>4</sub>
31	89.880 <sub>3</sub>	663 <sub>2</sub>	2 <sub>5</sub>	31	133.950 <sub>4</sub>	808 <sub>1</sub>	2 <sub>4</sub>
32	90.543 <sub>5</sub>	665 <sub>6</sub>	2 <sub>4</sub>	32	134.758 <sub>5</sub>	810 <sub>5</sub>	2 <sub>4</sub>
33	91.209 <sub>1</sub>	668 <sub>0</sub>	2 <sub>4</sub>	33	135.569 <sub>0</sub>	812 <sub>9</sub>	2 <sub>4</sub>
34	91.877 <sub>1</sub>	670 <sub>3</sub>	2 <sub>5</sub>	34	136.381 <sub>9</sub>	815 <sub>3</sub>	2 <sub>4</sub>
35	0,0000092.547 <sub>6</sub>	672 <sub>8</sub>	2 <sub>3</sub>	35	0,0000137.197 <sub>2</sub>	817 <sub>1</sub>	2 <sub>4</sub>
36	93.220 <sub>4</sub>	675 <sub>3</sub>	2 <sub>5</sub>	36	138.014 <sub>9</sub>	820 <sub>1</sub>	2 <sub>5</sub>
37	93.895 <sub>7</sub>	677 <sub>7</sub>	2 <sub>4</sub>	37	138.835 <sub>0</sub>	822 <sub>6</sub>	2 <sub>3</sub>
38	94.573 <sub>4</sub>	680 <sub>1</sub>	2 <sub>4</sub>	38	139.657 <sub>6</sub>	824 <sub>9</sub>	2 <sub>3</sub>
39	95.253 <sub>5</sub>	682 <sub>6</sub>	2 <sub>5</sub>	39	140.482 <sub>5</sub>	827 <sub>3</sub>	2 <sub>4</sub>
4° 40'	0,0000095.936 <sub>1</sub>	684 <sub>9</sub>	2 <sub>3</sub>	5° 40'	0,0000141.309 <sub>8</sub>	829 <sub>8</sub>	2 <sub>5</sub>
41	96.621 <sub>0</sub>	687 <sub>4</sub>	2 <sub>5</sub>	41	142.139 <sub>6</sub>	832 <sub>2</sub>	2 <sub>4</sub>
42	97.308 <sub>4</sub>	689 <sub>8</sub>	2 <sub>4</sub>	42	142.971 <sub>8</sub>	834 <sub>5</sub>	2 <sub>3</sub>
43	97.998 <sub>2</sub>	692 <sub>3</sub>	2 <sub>5</sub>	43	143.806 <sub>3</sub>	837 <sub>0</sub>	2 <sub>5</sub>
44	98.690 <sub>5</sub>	694 <sub>7</sub>	2 <sub>4</sub>	44	144.643 <sub>3</sub>	839 <sub>4</sub>	2 <sub>4</sub>
45	0,0000099.385 <sub>2</sub>	697 <sub>0</sub>	2 <sub>3</sub>	45	0,0000145.482 <sub>7</sub>	841 <sub>8</sub>	2 <sub>4</sub>
46	100.082 <sub>2</sub>	699 <sub>4</sub>	2 <sub>4</sub>	46	146.324 <sub>5</sub>	844 <sub>2</sub>	2 <sub>4</sub>
47	100.781 <sub>6</sub>	701 <sub>9</sub>	2 <sub>3</sub>	47	147.168 <sub>7</sub>	846 <sub>5</sub>	2 <sub>3</sub>
48	101.483 <sub>5</sub>	704 <sub>3</sub>	2 <sub>4</sub>	48	148.015 <sub>2</sub>	849 <sub>0</sub>	2 <sub>5</sub>
49	102.187 <sub>3</sub>	706 <sub>8</sub>	2 <sub>5</sub>	49	148.864 <sub>2</sub>	851 <sub>4</sub>	2 <sub>4</sub>
4° 50'	0,0000102.894 <sub>6</sub>	709 <sub>1</sub>	2 <sub>3</sub>	5° 50'	0,0000149.715 <sub>6</sub>	853 <sub>8</sub>	2 <sub>4</sub>
51	103.603 <sub>7</sub>	711 <sub>6</sub>	2 <sub>5</sub>	51	150.569 <sub>4</sub>	856 <sub>2</sub>	2 <sub>4</sub>
52	104.315 <sub>3</sub>	714 <sub>0</sub>	2 <sub>4</sub>	52	151.425 <sub>6</sub>	858 <sub>6</sub>	2 <sub>4</sub>
53	105.029 <sub>3</sub>	716 <sub>5</sub>	2 <sub>5</sub>	53	152.284 <sub>2</sub>	861 <sub>0</sub>	2 <sub>4</sub>
54	105.745 <sub>5</sub>	718 <sub>9</sub>	2 <sub>4</sub>	54	153.145 <sub>2</sub>	863 <sub>4</sub>	2 <sub>4</sub>
55	0,0000106.464 <sub>1</sub>	721 <sub>2</sub>	2 <sub>3</sub>	55	0,0000154.008 <sub>6</sub>	865 <sub>8</sub>	2 <sub>4</sub>
56	107.185 <sub>9</sub>	723 <sub>6</sub>	2 <sub>4</sub>	56	154.874 <sub>4</sub>	868 <sub>2</sub>	2 <sub>4</sub>
57	107.909 <sub>5</sub>	726 <sub>1</sub>	2 <sub>5</sub>	57	155.742 <sub>6</sub>	870 <sub>6</sub>	2 <sub>4</sub>
58	108.635 <sub>6</sub>	728 <sub>5</sub>	2 <sub>4</sub>	58	156.613 <sub>2</sub>	873 <sub>0</sub>	2 <sub>4</sub>
59	109.364 <sub>1</sub>	731 <sub>0</sub>	2 <sub>5</sub>	59	157.486 <sub>2</sub>	875 <sub>4</sub>	2 <sub>4</sub>
5° 0'	0,0000110.095 <sub>1</sub>			6° 0'	0,0000158.361 <sub>6</sub>		

## T A F E L I b.

 $\varphi$  van  $0^\circ 0'$  tot  $1^\circ 0'$ .

$\varphi$	$\log N$	$A$	$\log R$	$A$	$\log \sqrt{NR}$	$\log r$	$A$
$0^\circ 0'$	6,8046434.6	+	6,8017351.0	+	6,803189	6,804643	-
1	6,8046434.6	0.0	6,8017351.0	0.0	6,803189	6,804643	0
2	6,8046434.6	0.0	6,8017351.1	0.1	6,803189	6,804643	0
3	6,8046434.6	0.0	6,8017351.1	0.0	6,803189	6,804643	0
4	6,8046434.7	0.0	6,8017351.1	0.0	6,803189	6,804643	0
5	6,8046434.7	0.0	6,8017351.1	0.1	6,803189	6,804643	0
6	6,8046434.7	0.0	6,8017351.2	0.0	6,803189	6,804643	0
7	6,8046434.7	0.0	6,8017351.2	0.1	6,803189	6,804643	1
8	6,8046434.7	0.0	6,8017351.3	0.0	6,803189	6,804642	0
9	6,8046434.7	0.1	6,8017351.3	0.1	6,803189	6,804642	0
$0^\circ 10'$	6,8046434.8	0.0	6,8017351.4	0.1	6,803189	6,804642	1
11	6,8046434.8	0.0	6,8017351.5	0.1	6,803189	6,804641	0
12	6,8046434.8	0.0	6,8017351.6	0.1	6,803189	6,804641	1
13	6,8046434.8	0.1	6,8017351.7	0.1	6,803189	6,804640	0
14	6,8046434.9	0.0	6,8017351.8	0.1	6,803189	6,804640	1
15	6,8046434.9	0.1	6,8017351.9	0.1	6,803189	6,804639	0
16	6,8046435.0	0.0	6,8017352.0	0.1	6,803189	6,804639	1
17	6,8046435.0	0.0	6,8017352.1	0.1	6,803189	6,804638	0
18	6,8046435.0	0.1	6,8017352.2	0.2	6,803189	6,804638	1
19	6,8046435.1	0.0	6,8017352.4	0.1	6,803189	6,804637	1
$0^\circ 20'$	6,8046435.1	0.1	6,8017352.5	0.2	6,803189	6,804636	1
21	6,8046435.2	0.0	6,8017352.7	0.1	6,803189	6,804635	0
22	6,8046435.2	0.1	6,8017352.8	0.2	6,803189	6,804635	1
23	6,8046435.3	0.0	6,8017353.0	0.2	6,803189	6,804634	1
24	6,8046435.3	0.1	6,8017353.2	0.1	6,803189	6,804633	1
25	6,8046435.4	0.1	6,8017353.3	0.2	6,803189	6,804632	1
26	6,8046435.5	0.0	6,8017353.5	0.2	6,803189	6,804631	1
27	6,8046435.5	0.1	6,8017353.7	0.2	6,803189	6,804630	1
28	6,8046435.6	0.1	6,8017353.9	0.2	6,803189	6,804629	1
29	6,8046435.7	0.0	6,8017354.1	0.3	6,803189	6,804628	1
$0^\circ 30'$	6,8046435.7	0.1	6,8017354.4	0.2	6,803190	6,804627	1
31	6,8046435.8	0.1	6,8017354.6	0.2	6,803190	6,804626	1
32	6,8046435.9	0.1	6,8017354.8	0.2	6,803190	6,804625	1
33	6,8046436.0	0.1	6,8017355.0	0.3	6,803190	6,804624	2
34	6,8046436.1	0.0	6,8017355.3	0.2	6,803190	6,804622	1
35	6,8046436.1	0.1	6,8017355.5	0.3	6,803190	6,804621	1
36	6,8046436.2	0.1	6,8017355.8	0.3	6,803190	6,804620	2
37	6,8046436.3	0.1	6,8017356.1	0.3	6,803190	6,804618	1
38	6,8046436.4	0.1	6,8017356.4	0.2	6,803190	6,804617	1
39	6,8046436.5	0.1	6,8017356.6	0.3	6,803190	6,804616	2
$0^\circ 40'$	6,8046436.6	0.1	6,8017356.9	0.3	6,803190	6,804614	1
41	6,8046436.7	0.1	6,8017357.2	0.3	6,803190	6,804613	2
42	6,8046436.8	0.1	6,8017357.5	0.3	6,803190	6,804611	1
43	6,8046436.9	0.1	6,8017357.8	0.4	6,803190	6,804610	2
44	6,8046437.0	0.1	6,8017358.2	0.3	6,803190	6,804608	1
45	6,8046437.1	0.1	6,8017358.5	0.3	6,803190	6,804607	2
46	6,8046437.2	0.1	6,8017358.8	0.4	6,803190	6,804605	2
47	6,8046437.3	0.2	6,8017359.2	0.3	6,803190	6,804603	2
48	6,8046437.5	0.1	6,8017359.5	0.4	6,803190	6,804601	1
49	6,8046437.6	0.1	6,8017359.9	0.3	6,803190	6,804600	2
$0^\circ 50'$	6,8046437.7	0.1	6,8017360.2	0.4	6,803190	6,804598	2
51	6,8046437.8	0.2	6,8017360.6	0.4	6,803190	6,804596	2
52	6,8046438.0	0.1	6,8017361.0	0.4	6,803190	6,804594	2
53	6,8046438.1	0.1	6,8017361.4	0.4	6,803190	6,804592	2
54	6,8046438.2	0.1	6,8017361.8	0.4	6,803190	6,804590	2
55	6,8046438.3	0.2	6,8017362.2	0.4	6,803190	6,804588	2
56	6,8046438.5	0.1	6,8017362.6	0.4	6,803190	6,804586	2
57	6,8046438.6	0.2	6,8017363.0	0.4	6,803190	6,804584	2
58	6,8046438.8	0.1	6,8017363.4	0.4	6,803190	6,804582	2
59	6,8046438.9	0.2	6,8017363.8	0.4	6,803190	6,804580	2
$1^\circ 0'$	6,8046439.1	0.2	6,8017364.3	0.5	6,803190	6,804578	

$\varphi$	$\log N$	$A$	$\log R$	$A$	$\log \sqrt{NR}$	$\log r$	$A$
$1^{\circ} 0'$	6,8046439.1	+	6,8017364.3	+	6,803190	6,804578	
1	6,8046439.2	0.1	6,8017364.7	0.4	6,803190	6,804576	2
2	6,8046439.4	0.2	6,8017365.2	0.5	6,803190	6,804573	3
3	6,8046439.5	0.1	6,8017365.6	0.4	6,803190	6,804571	2
4	6,8046439.7	0.2	6,8017366.1	0.5	6,803190	6,804569	
5	6,8046439.8	0.1	6,8017366.6	0.5	6,803190	6,804566	3
6	6,8046440.0	0.2	6,8017367.1	0.5	6,803190	6,804564	2
7	6,8046440.1	0.1	6,8017367.6	0.5	6,803190	6,804562	
8	6,8046440.3	0.2	6,8017368.1	0.5	6,803190	6,804559	3
9	6,8046440.5	0.2	6,8017368.6	0.5	6,803190	6,804557	
$1^{\circ} 10'$	6,8046440.6	0.1	6,8017369.1	0.5	6,803190	6,804554	
11	6,8046440.8	0.2	6,8017369.6	0.5	6,803191	6,804551	3
12	6,8046441.0	0.2	6,8017370.1	0.5	6,803191	6,804549	2
13	6,8046441.2	0.2	6,8017370.6	0.5	6,803191	6,804546	
14	6,8046441.4	0.1	6,8017371.2	0.5	6,803191	6,804544	3
15	6,8046441.5	0.2	6,8017371.7	0.6	6,803191	6,804541	
16	6,8046441.7	0.2	6,8017372.3	0.6	6,803191	6,804538	3
17	6,8046441.9	0.2	6,8017372.9	0.6	6,803191	6,804535	
18	6,8046442.1	0.2	6,8017373.4	0.5	6,803191	6,804532	2
19	6,8046442.3	0.2	6,8017374.0	0.6	6,803191	6,804530	
$1^{\circ} 20'$	6,8046442.5	0.2	6,8017374.6	0.6	6,803191	6,804527	
21	6,8046442.7	0.2	6,8017375.2	0.6	6,803191	6,804524	3
22	6,8046442.9	0.2	6,8017375.8	0.6	6,803191	6,804521	
23	6,8046443.1	0.2	6,8017376.4	0.6	6,803191	6,804518	3
24	6,8046443.3	0.2	6,8017377.0	0.6	6,803191	6,804515	
25	6,8046443.5	0.2	6,8017377.6	0.6	6,803191	6,804512	
26	6,8046443.7	0.2	6,8017378.2	0.7	6,803191	6,804508	4
27	6,8046443.9	0.2	6,8017378.9	0.6	6,803191	6,804505	
28	6,8046444.1	0.2	6,8017379.5	0.6	6,803191	6,804502	3
29	6,8046444.3	0.2	6,8017380.2	0.7	6,803191	6,804499	
$1^{\circ} 30'$	6,8046444.6	0.3	6,8017380.8	0.7	6,803191	6,804496	
31	6,8046444.8	0.2	6,8017381.5	0.7	6,803191	6,804492	4
32	6,8046445.0	0.2	6,8017382.2	0.7	6,803191	6,804489	
33	6,8046445.2	0.2	6,8017382.9	0.7	6,803191	6,804486	3
34	6,8046445.5	0.2	6,8017383.5	0.6	6,803191	6,804482	
35	6,8046445.7	0.2	6,8017384.2	0.7	6,803191	6,804479	
36	6,8046445.9	0.2	6,8017384.9	0.7	6,803192	6,804475	4
37	6,8046446.2	0.3	6,8017385.6	0.7	6,803192	6,804472	
38	6,8046446.4	0.2	6,8017386.4	0.8	6,803192	6,804468	4
39	6,8046446.7	0.3	6,8017387.1	0.7	6,803192	6,804465	
$1^{\circ} 40'$	6,8046446.9	0.2	6,8017387.8	0.7	6,803192	6,804461	
41	6,8046447.1	0.2	6,8017388.6	0.8	6,803192	6,804457	4
42	6,8046447.4	0.3	6,8017389.3	0.7	6,803192	6,804454	
43	6,8046447.6	0.2	6,8017390.1	0.8	6,803192	6,804450	4
44	6,8046447.9	0.3	6,8017390.8	0.7	6,803192	6,804446	
45	6,8046448.2	0.3	6,8017391.6	0.8	6,803192	6,804442	
46	6,8046448.4	0.2	6,8017392.4	0.7	6,803192	6,804438	4
47	6,8046448.7	0.3	6,8017393.1	0.8	6,803192	6,804434	
48	6,8046448.9	0.2	6,8017393.9	0.8	6,803192	6,804430	3
49	6,8046449.2	0.3	6,8017394.7	0.8	6,803192	6,804427	
$1^{\circ} 50'$	6,8046449.5	0.2	6,8017395.5	0.9	6,803192	6,804423	
51	6,8046449.7	0.3	6,8017396.4	0.8	6,803192	6,804419	4
52	6,8046450.0	0.3	6,8017397.2	0.8	6,803192	6,804415	
53	6,8046450.3	0.3	6,8017398.0	0.8	6,803192	6,804410	5
54	6,8046450.6	0.2	6,8017398.8	0.9	6,803192	6,804406	
55	6,8046450.8	0.3	6,8017399.7	0.8	6,803193	6,804402	4
56	6,8046451.1	0.3	6,8017400.5	0.9	6,803193	6,804398	
57	6,8046451.4	0.3	6,8017401.4	0.8	6,803193	6,804394	4
58	6,8046451.7	0.3	6,8017402.2	0.9	6,803193	6,804389	5
59	6,8046452.0	0.3	6,8017403.1	0.9	6,803193	6,804385	
$2^{\circ} 0'$	6,8046452.3	0.3	6,8017404.0	0.9	6,803193	6,804381	

$\varphi$	$\log N$	$A$	$\log R$	$A$	$\log \sqrt{NR}$	$\log r$	$A$
$2^{\circ} 0'$	6,8046452.3	+	6,8017404.0	+	6,803193	6,804381	-
1	6,8046452.6	0.3	6,8017404.9	0.9	6,803193	6,804376	5
2	6,8046452.9	0.3	6,8017405.8	0.9	6,803193	6,804372	4
3	6,8046453.2	0.3	6,8017406.7	0.9	6,803193	6,804367	5
4	6,8046453.5	0.3	6,8017407.6	0.9	6,803193	6,804363	4
5	6,8046453.8	0.3	6,8017408.5	0.9	6,803193	6,804358	5
6	6,8046454.1	0.3	6,8017409.4	1.0	6,803193	6,804354	5
7	6,8046454.4	0.3	6,8017410.4	0.9	6,803193	6,804349	5
8	6,8046454.7	0.3	6,8017411.3	0.9	6,803193	6,804344	4
9	6,8046455.0	0.3	6,8017412.2	0.9	6,803193	6,804340	4
$2^{\circ} 10'$	6,8046455.4	0.4	6,8017413.2	1.0	6,803193	6,804335	-
11	6,8046455.7	0.3	6,8017414.1	0.9	6,803193	6,804330	5
12	6,8046456.0	0.3	6,8017415.1	1.0	6,803194	6,804325	5
13	6,8046456.3	0.3	6,8017416.1	1.0	6,803194	6,804321	4
14	6,8046456.6	0.4	6,8017417.1	1.0	6,803194	6,804316	5
15	6,8046457.0	0.3	6,8017418.1	1.0	6,803194	6,804311	-
16	6,8046457.3	0.3	6,8017419.1	1.0	6,803194	6,804306	5
17	6,8046457.6	0.3	6,8017420.1	1.0	6,803194	6,804301	5
18	6,8046458.0	0.4	6,8017421.1	1.0	6,803194	6,804296	5
19	6,8046458.3	0.3	6,8017422.1	1.0	6,803194	6,804291	5
$2^{\circ} 20'$	6,8046458.7	0.4	6,8017423.1	1.0	6,803194	6,804286	-
21	6,8046459.0	0.3	6,8017424.1	1.0	6,803194	6,804281	5
22	6,8046459.4	0.4	6,8017425.2	1.1	6,803194	6,804275	6
23	6,8046459.7	0.3	6,8017426.2	1.0	6,803194	6,804270	5
24	6,8046460.1	0.4	6,8017427.3	1.1	6,803194	6,804265	5
25	6,8046460.4	0.3	6,8017428.3	1.1	6,803194	6,804260	5
26	6,8046460.8	0.4	6,8017429.4	1.1	6,803195	6,804254	6
27	6,8046461.1	0.3	6,8017430.5	1.1	6,803195	6,804249	5
28	6,8046461.5	0.4	6,8017431.6	1.1	6,803195	6,804244	5
29	6,8046461.8	0.3	6,8017432.7	1.1	6,803195	6,804238	6
$2^{\circ} 30'$	6,8046462.2	0.4	6,8017433.8	1.1	6,803195	6,804233	-
31	6,8046462.6	0.4	6,8017434.9	1.1	6,803195	6,804227	6
32	6,8046463.0	0.3	6,8017436.0	1.1	6,803195	6,804222	5
33	6,8046463.3	0.4	6,8017437.1	1.1	6,803195	6,804216	6
34	6,8046463.7	0.4	6,8017438.2	1.2	6,803195	6,804210	5
35	6,8046464.1	0.4	6,8017439.4	1.1	6,803195	6,804205	6
36	6,8046464.5	0.3	6,8017440.5	1.2	6,803195	6,804199	6
37	6,8046464.8	0.4	6,8017441.7	1.1	6,803195	6,804193	5
38	6,8046465.2	0.4	6,8017442.8	1.2	6,803195	6,804188	6
39	6,8046465.6	0.4	6,8017444.0	1.2	6,803195	6,804182	6
$2^{\circ} 40'$	6,8046466.0	0.4	6,8017445.2	1.1	6,803196	6,804176	-
41	6,8046466.4	0.4	6,8017446.3	1.2	6,803196	6,804170	6
42	6,8046466.8	0.4	6,8017447.5	1.2	6,803196	6,804164	6
43	6,8046467.2	0.4	6,8017448.7	1.2	6,803196	6,804158	6
44	6,8046467.6	0.4	6,8017449.9	1.2	6,803196	6,804152	6
45	6,8046468.0	0.4	6,8017451.1	1.2	6,803196	6,804146	6
46	6,8046468.4	0.4	6,8017452.3	1.2	6,803196	6,804140	6
47	6,8046468.8	0.4	6,8017453.6	1.3	6,803196	6,804134	6
48	6,8046469.2	0.4	6,8017454.8	1.2	6,803196	6,804128	6
49	6,8046469.6	0.4	6,8017456.0	1.2	6,803196	6,804122	6
$2^{\circ} 50'$	6,8046470.1	0.5	6,8017457.3	1.3	6,803196	6,804116	-
51	6,8046470.5	0.4	6,8017458.5	1.2	6,803196	6,804110	6
52	6,8046470.9	0.4	6,8017459.8	1.3	6,803197	6,804103	7
53	6,8046471.3	0.4	6,8017461.1	1.3	6,803197	6,804097	6
54	6,8046471.7	0.5	6,8017462.3	1.2	6,803197	6,804091	7
55	6,8046472.2	0.4	6,8017463.6	1.3	6,803197	6,804084	6
56	6,8046472.6	0.4	6,8017464.9	1.3	6,803197	6,804078	7
57	6,8046473.0	0.4	6,8017466.2	1.3	6,803197	6,804071	6
58	6,8046473.5	0.5	6,8017467.5	1.3	6,803197	6,804065	7
59	6,8046473.9	0.4	6,8017468.8	1.3	6,803197	6,804058	7
$3^{\circ} 0'$	6,8046474.3	0.4	6,8017470.1	1.3	6,803197	6,804052	6

$\psi$	$\log N$	$A$	$\log R$	$A$	$\log \sqrt{NR}$	$\log r$	$A$
$3^{\circ} 0'$	6,8046474.3	+	6,8017470.1	+	6,803197	6,804052	-
1	6,8046474.8	0.5	6,8017471.5	1.4	6,803197	6,804045	7
2	6,8046475.2	0.4	6,8017472.8	1.3	6,803197	6,804039	6
3	6,8046475.7	0.5	6,8017474.1	1.3	6,803197	6,804032	7
4	6,8046476.1	0.4	6,8017475.5	1.4	6,803198	6,804025	7
5	6,8046476.6	0.5	6,8017476.8	1.3	6,803198	6,804018	7
6	6,8046477.0	0.4	6,8017478.2	1.4	6,803198	6,804012	6
7	6,8046477.5	0.5	6,8017479.6	1.4	6,803198	6,804005	7
8	6,8046477.9	0.4	6,8017480.9	1.3	6,803198	6,803998	7
9	6,8046478.4	0.5	6,8017482.3	1.4	6,803198	6,803991	7
$3^{\circ} 10'$	6,8046478.9	0.5	6,8017483.7	1.4	6,803198	6,803984	7
11	6,8046479.3	0.4	6,8017485.1	1.4	6,803198	6,803977	7
12	6,8046479.8	0.5	6,8017486.5	1.4	6,803198	6,803970	7
13	6,8046480.3	0.5	6,8017487.9	1.4	6,803198	6,803963	7
14	6,8046480.7	0.4	6,8017489.4	1.5	6,803199	6,803956	7
15	6,8046481.2	0.5	6,8017490.8	1.4	6,803199	6,803949	7
16	6,8046481.7	0.5	6,8017492.2	1.5	6,803199	6,803942	7
17	6,8046482.2	0.5	6,8017493.7	1.4	6,803199	6,803935	7
18	6,8046482.7	0.5	6,8017495.1	1.4	6,803199	6,803928	7
19	6,8046483.1	0.4	6,8017496.6	1.5	6,803199	6,803920	8
$3^{\circ} 20'$	6,8046483.6	0.5	6,8017498.0	1.4	6,803199	6,803913	7
21	6,8046484.1	0.5	6,8017499.5	1.5	6,803199	6,803906	7
22	6,8046484.6	0.5	6,8017501.0	1.5	6,803199	6,803898	8
23	6,8046485.1	0.5	6,8017502.5	1.5	6,803199	6,803891	7
24	6,8046485.6	0.5	6,8017504.0	1.5	6,803199	6,803883	8
25	6,8046486.1	0.5	6,8017505.5	1.5	6,803200	6,803876	7
26	6,8046486.6	0.5	6,8017507.0	1.5	6,803200	6,803868	8
27	6,8046487.1	0.5	6,8017508.5	1.5	6,803200	6,803861	7
28	6,8046487.6	0.5	6,8017510.0	1.5	6,803200	6,803853	7
29	6,8046488.1	0.6	6,8017511.6	1.5	6,803200	6,803846	8
$3^{\circ} 30'$	6,8046488.7	0.5	6,8017513.1	1.5	6,803200	6,803838	8
31	6,8046489.2	0.5	6,8017514.6	1.6	6,803200	6,803830	7
32	6,8046489.7	0.5	6,8017516.2	1.5	6,803200	6,803823	8
33	6,8046490.2	0.5	6,8017517.7	1.6	6,803200	6,803815	8
34	6,8046490.7	0.6	6,8017519.3	1.6	6,803201	6,803807	8
35	6,8046491.3	0.5	6,8017520.9	1.6	6,803201	6,803799	8
36	6,8046491.8	0.5	6,8017522.5	1.6	6,803201	6,803791	8
37	6,8046492.3	0.5	6,8017524.1	1.6	6,803201	6,803783	8
38	6,8046492.8	0.6	6,8017525.7	1.6	6,803201	6,803775	7
39	6,8046493.4	0.6	6,8017527.3	1.6	6,803201	6,803768	9
$3^{\circ} 40'$	6,8046493.9	0.5	6,8017528.9	1.6	6,803201	6,803759	8
41	6,8046494.5	0.5	6,8017530.5	1.6	6,803201	6,803751	8
42	6,8046495.0	0.5	6,8017532.1	1.6	6,803201	6,803743	8
43	6,8046495.5	0.6	6,8017533.7	1.7	6,803201	6,803735	8
44	6,8046496.1	0.5	6,8017535.4	1.6	6,803202	6,803727	8
45	6,8046496.6	0.6	6,8017537.0	1.7	6,803202	6,803719	8
46	6,8046497.2	0.5	6,8017538.7	1.6	6,803202	6,803711	9
47	6,8046497.7	0.6	6,8017540.3	1.7	6,803202	6,803702	8
48	6,8046498.3	0.6	6,8017542.0	1.7	6,803202	6,803694	8
49	6,8046498.9	0.5	6,8017543.7	1.7	6,803202	6,803686	9
$3^{\circ} 50'$	6,8046499.4	0.6	6,8017545.4	1.7	6,803202	6,803677	8
51	6,8046500.0	0.5	6,8017547.1	1.7	6,803202	6,803669	9
52	6,8046500.5	0.6	6,8017548.8	1.7	6,803202	6,803660	8
53	6,8046501.1	0.6	6,8017550.5	1.7	6,803203	6,803652	9
54	6,8046501.7	0.6	6,8017552.2	1.7	6,803203	6,803643	8
55	6,8046502.3	0.5	6,8017553.9	1.7	6,803203	6,803635	9
56	6,8046502.8	0.6	6,8017555.6	1.8	6,803203	6,803626	9
57	6,8046503.4	0.6	6,8017557.4	1.7	6,803203	6,803617	8
58	6,8046504.0	0.6	6,8017559.1	1.7	6,803203	6,803609	9
59	6,8046504.6	0.6	6,8017560.9	1.8	6,803203	6,803600	9
$4^{\circ} 0'$	6,8046505.2	0.6	6,8017562.6	1.7	6,803203	6,803591	9

## TAFEL Ib.

 $\varphi$  van  $4^{\circ} 0'$  tot  $5^{\circ} 0'$ .

$\varphi$	$\log N$	$A$	$\log R$	$A$	$\log \sqrt{NR}$	$\log r$	$A$
$4^{\circ} 0'$	6,8046505.2	0.5	6,8017562.6	1.8	6,803203	6,803591	-
1	6,8046505.7	0.6	6,8017564.4	1.8	6,803204	6,803582	9
2	6,8046506.3	0.6	6,8017566.2	1.7	6,803204	6,803574	9
3	6,8046506.9	0.6	6,8017567.9	1.8	6,803204	6,803565	9
4	6,8046507.5	0.6	6,8017569.7	1.8	6,803204	6,803556	9
5	6,8046508.1	0.6	6,8017571.5	1.8	6,803204	6,803547	9
6	6,8046508.7	0.6	6,8017573.3	1.8	6,803204	6,803538	9
7	6,8046509.3	0.6	6,8017575.1	1.8	6,803204	6,803529	9
8	6,8046509.9	0.6	6,8017576.9	1.9	6,803204	6,803520	9
9	6,8046510.5	0.7	6,8017578.8	1.8	6,803204	6,803511	9
$4^{\circ} 10'$	6,8046511.2	0.6	6,8017580.6	1.8	6,803205	6,803502	-
11	6,8046511.8	0.6	6,8017582.4	1.9	6,803205	6,803493	10
12	6,8046512.4	0.6	6,8017584.3	1.8	6,803205	6,803483	9
13	6,8046513.0	0.6	6,8017586.1	1.9	6,803205	6,803474	9
14	6,8046513.6	0.6	6,8017588.0	1.9	6,803205	6,803465	9
15	6,8046514.2	0.7	6,8017589.8	1.9	6,803205	6,803456	10
16	6,8046514.9	0.6	6,8017591.7	1.9	6,803205	6,803446	9
17	6,8046515.5	0.6	6,8017593.6	1.9	6,803205	6,803437	10
18	6,8046516.1	0.6	6,8017595.5	1.9	6,803206	6,803427	9
19	6,8046516.7	0.7	6,8017597.4	1.9	6,803206	6,803418	10
$4^{\circ} 20'$	6,8046517.4	0.6	6,8017599.3	1.9	6,803206	6,803408	-
21	6,8046518.0	0.6	6,8017601.2	1.9	6,803206	6,803399	10
22	6,8046518.7	0.7	6,8017603.1	1.9	6,803206	6,803389	9
23	6,8046519.3	0.6	6,8017605.0	1.9	6,803206	6,803380	10
24	6,8046519.9	0.6	6,8017607.0	2.0	6,803206	6,803370	10
25	6,8046520.6	0.7	6,8017608.9	1.9	6,803206	6,803360	-
26	6,8046521.2	0.6	6,8017610.8	1.9	6,803207	6,803351	10
27	6,8046521.9	0.7	6,8017612.8	2.0	6,803207	6,803341	10
28	6,8046522.5	0.6	6,8017614.8	2.0	6,803207	6,803331	10
29	6,8046523.2	0.7	6,8017616.7	1.9	6,803207	6,803321	10
$4^{\circ} 30'$	6,8046523.9	0.6	6,8017618.7	2.0	6,803207	6,803311	-
31	6,8046524.5	0.7	6,8017620.7	2.0	6,803207	6,803302	10
32	6,8046525.2	0.6	6,8017622.7	2.0	6,803207	6,803292	10
33	6,8046525.8	0.7	6,8017624.7	2.0	6,803208	6,803282	10
34	6,8046526.5	0.7	6,8017626.7	2.0	6,803208	6,803272	10
35	6,8046527.2	0.7	6,8017628.7	2.0	6,803208	6,803262	10
36	6,8046527.9	0.6	6,8017630.7	2.0	6,803208	6,803252	11
37	6,8046528.5	0.7	6,8017632.7	2.1	6,803208	6,803241	10
38	6,8046529.2	0.7	6,8017634.8	2.0	6,803208	6,803231	10
39	6,8046529.9	0.7	6,8017636.8	2.0	6,803208	6,803221	10
$4^{\circ} 40'$	6,8046530.6	0.7	6,8017638.8	2.1	6,803208	6,803211	-
41	6,8046531.3	0.6	6,8017640.9	2.1	6,803209	6,803201	11
42	6,8046531.9	0.7	6,8017643.0	2.0	6,803209	6,803190	10
43	6,8046532.6	0.7	6,8017645.0	2.1	6,803209	6,803180	10
44	6,8046533.3	0.7	6,8017647.1	2.1	6,803209	6,803170	11
45	6,8046534.0	0.7	6,8017649.2	2.1	6,803209	6,803159	10
46	6,8046534.7	0.7	6,8017651.3	2.1	6,803209	6,803149	11
47	6,8046535.4	0.7	6,8017653.4	2.1	6,803209	6,803138	10
48	6,8046536.1	0.7	6,8017655.5	2.1	6,803210	6,803128	11
49	6,8046536.8	0.7	6,8017657.6	2.1	6,803210	6,803117	10
$4^{\circ} 50'$	6,8046537.5	0.7	6,8017659.7	2.2	6,803210	6,803107	11
51	6,8046538.2	0.8	6,8017661.9	2.1	6,803210	6,803096	11
52	6,8046539.0	0.7	6,8017664.0	2.1	6,803210	6,803085	10
53	6,8046539.7	0.7	6,8017666.1	2.2	6,803210	6,803075	11
54	6,8046540.4	0.7	6,8017668.3	2.1	6,803210	6,803064	11
55	6,8046541.1	0.7	6,8017670.4	2.2	6,803211	6,803053	11
56	6,8046541.8	0.7	6,8017672.6	2.2	6,803211	6,803042	11
57	6,8046542.5	0.8	6,8017674.8	2.1	6,803211	6,803031	10
58	6,8046543.3	0.7	6,8017676.9	2.1	6,803211	6,803021	11
59	6,8046544.0	0.7	6,8017679.1	2.2	6,803211	6,803010	11
$5^{\circ} 0'$	6,8046544.7	0.7	6,8017681.3	2.2	6,803211	6,802999	11

$\varphi$	$\log N$	$A$	$\log R$	$A$	$\log \sqrt{NR}$	$\log r$	$A$
$5^{\circ} 0'$	6,8046544.7	+	6,8017681.3	+	6,803211	6,802999	-
1	6,8046545.5	0.8	6,8017683.5	2.2	6,803211	6,802988	11
2	6,8046546.2	0.7	6,8017685.7	2.2	6,803212	6,802977	11
3	6,8046546.9	0.7	6,8017687.9	2.2	6,803212	6,802966	12
4	6,8046547.7	0.8	6,8017690.2	2.3	6,803212	6,802954	11
5	6,8046548.4	0.7	6,8017692.4	2.2	6,803212	6,802943	11
6	6,8046549.2	0.8	6,8017694.6	2.3	6,803212	6,802932	11
7	6,8046549.9	0.7	6,8017696.9	2.2	6,803212	6,802921	11
8	6,8046550.7	0.8	6,8017699.1	2.3	6,803212	6,802910	11
9	6,8046551.4	0.7	6,8017701.4	2.3	6,803213	6,802898	12
$5^{\circ} 10'$	6,8046552.2	0.8	6,8017703.7	2.3	6,803213	6,802887	11
11	6,8046552.9	0.7	6,8017705.9	2.3	6,803213	6,802876	11
12	6,8046553.7	0.8	6,8017708.2	2.3	6,803213	6,802864	12
13	6,8046554.5	0.8	6,8017710.5	2.3	6,803213	6,802853	12
14	6,8046555.2	0.7	6,8017712.8	2.3	6,803213	6,802841	11
15	6,8046556.0	0.8	6,8017715.1	2.3	6,803214	6,802830	12
16	6,8046556.8	0.7	6,8017717.4	2.3	6,803214	6,802818	12
17	6,8046557.5	0.8	6,8017719.7	2.3	6,803214	6,802807	11
18	6,8046558.3	0.8	6,8017722.0	2.3	6,803214	6,802795	12
19	6,8046559.1	0.8	6,8017724.4	2.4	6,803214	6,802783	11
$5^{\circ} 20'$	6,8046559.9	0.7	6,8017726.7	2.3	6,803214	6,802772	12
21	6,8046560.6	0.8	6,8017729.0	2.4	6,803214	6,802760	12
22	6,8046561.4	0.8	6,8017731.4	2.4	6,803215	6,802748	12
23	6,8046562.2	0.8	6,8017733.8	2.4	6,803215	6,802736	11
24	6,8046563.0	0.8	6,8017736.1	2.3	6,803215	6,802725	12
25	6,8046563.8	0.8	6,8017738.5	2.4	6,803215	6,802713	12
26	6,8046564.6	0.8	6,8017740.9	2.4	6,803215	6,802701	12
27	6,8046565.4	0.8	6,8017743.3	2.4	6,803215	6,802689	12
28	6,8046566.2	0.8	6,8017745.7	2.4	6,803216	6,802677	12
29	6,8046567.0	0.8	6,8017748.1	2.4	6,803216	6,802665	12
$5^{\circ} 30'$	6,8046567.8	0.8	6,8017750.5	2.4	6,803216	6,802653	12
31	6,8046568.6	0.8	6,8017752.9	2.4	6,803216	6,802641	12
32	6,8046569.4	0.8	6,8017755.3	2.4	6,803216	6,802629	13
33	6,8046570.2	0.8	6,8017757.7	2.5	6,803216	6,802616	12
34	6,8046571.0	0.8	6,8017760.2	2.4	6,803217	6,802604	12
35	6,8046571.8	0.9	6,8017762.6	2.5	6,803217	6,802592	12
36	6,8046572.7	0.8	6,8017765.1	2.4	6,803217	6,802580	13
37	6,8046573.5	0.8	6,8017767.5	2.5	6,803217	6,802567	12
38	6,8046574.3	0.8	6,8017770.0	2.5	6,803217	6,802555	12
39	6,8046575.1	0.8	6,8017772.5	2.5	6,803217	6,802543	12
$5^{\circ} 40'$	6,8046575.9	0.9	6,8017775.0	2.5	6,803218	6,802530	13
41	6,8046576.8	0.8	6,8017777.5	2.5	6,803218	6,802518	12
42	6,8046577.6	0.8	6,8017780.0	2.5	6,803218	6,802505	13
43	6,8046578.4	0.9	6,8017782.5	2.5	6,803218	6,802493	12
44	6,8046579.3	0.8	6,8017785.0	2.5	6,803218	6,802480	13
45	6,8046580.1	0.9	6,8017787.5	2.5	6,803218	6,802467	12
46	6,8046581.0	0.9	6,8017790.0	2.5	6,803219	6,802455	13
47	6,8046581.8	0.8	6,8017792.5	2.5	6,803219	6,802442	13
48	6,8046582.7	0.9	6,8017795.1	2.6	6,803219	6,802429	12
49	6,8046583.5	0.8	6,8017797.6	2.5	6,803219	6,802417	12
$5^{\circ} 50'$	6,8046584.4	0.9	6,8017800.2	2.6	6,803219	6,802404	13
51	6,8046585.2	0.8	6,8017802.7	2.6	6,803219	6,802391	13
52	6,8046586.1	0.9	6,8017805.3	2.6	6,803220	6,802378	13
53	6,8046586.9	0.8	6,8017807.9	2.6	6,803220	6,802365	13
54	6,8046587.8	0.9	6,8017810.5	2.6	6,803220	6,802352	13
55	6,8046588.6	0.9	6,8017813.1	2.6	6,803220	6,802339	13
56	6,8046589.5	0.9	6,8017815.7	2.6	6,803220	6,802326	13
57	6,8046590.4	0.9	6,8017818.3	2.6	6,803220	6,802313	13
58	6,8046591.3	0.8	6,8017820.9	2.6	6,803221	6,802300	13
59	6,8046592.1	0.9	6,8017823.5	2.6	6,803221	6,802287	13
$6^{\circ} 0'$	6,8046593.0	0.9	6,8017826.1	2.6	6,803221	6,802274	13

## T A F E L Ic.

$\varphi$	$1^{\circ}$ langs parall. M.	$10'$ langs merid. M.	Trapezium $10' l. \times 10' b.$ K.M. <sup>2</sup> .	$\varphi$	$1^{\circ}$ langs parall. M.	$10'$ langs merid. M.	Trapezium $10' l. \times 10' b.$ K.M. <sup>2</sup> .
$0^{\circ} 0'$	18551,1	18427,3	341,843	$3^{\circ} 0'$	18525,8	18427,8	341,362
10	18551,0	18427,3	341,840	10	18523,0	18427,9	341,308
20	18550,8	18427,3	341,835	20	18519,9	18427,9	341,252
30	18550,4	18427,3	341,826	30	18516,7	18428,0	341,193
40	18549,9	18427,3	341,815	40	18513,4	18428,1	341,131
50	18549,1	18427,3	341,801	50	18509,9	18428,1	341,066
$1^{\circ} 0'$	18548,3	18427,3	341,784	$4^{\circ} 0'$	18506,2	18428,2	340,999
10	18547,3	18427,4	341,764	10	18502,4	18428,3	340,928
20	18546,1	18427,4	341,742	20	18498,4	18428,4	340,855
30	18544,8	18427,4	341,716	30	18494,3	18428,5	340,779
40	18543,3	18427,5	341,688	40	18490,0	18428,5	340,701
50	18541,7	18427,5	341,657	50	18485,6	18428,6	340,619
$2^{\circ} 0'$	18539,9	18427,5	341,623	$5^{\circ} 0'$	18481,0	18428,7	340,535
10	18537,9	18427,6	341,587	10	18476,2	18428,8	340,448
20	18535,8	18427,6	341,548	20	18471,3	18428,9	340,358
30	18533,6	18427,7	341,505	30	18466,3	18429,0	340,265
40	18531,1	18427,7	341,460	40	18461,0	18429,1	340,169
50	18528,6	18427,8	341,412	50	18455,7	18429,2	340,071
$3^{\circ} 0'$	18525,8			$6^{\circ} 0'$	18450,1		
Langs de parallel:				Langs den meridiaan:			
$\varphi$	$1^{\circ}$ in K.M.	$1'$ in M.	$1''$ in M.	$\varphi_m$	$1^{\circ}$ in K.M.	$1'$ in M.	$1''$ in M.
0°	111,307	1855,11	30,9185	0°	110,564	1842,73	30,7121
1	111,290	1854,83	30,9138	1	110,564	1842,73	30,7122
2	111,239	1853,99	30,8998	2	110,565	1842,75	30,7125
3	111,155	1852,58	30,8764	3	110,567	1842,78	30,7130
4	111,037	1850,62	30,8437	4	110,569	1842,82	30,7136
5	110,886	1848,10	30,8016	5	110,572	1842,87	30,7145
6	110,701	1845,01	30,7503	6	110,576	1842,93	30,7155

## III.

## DE BEREKENINGEN OP DE ELLIPSOÏDE.

## A.

## Formules voor de berekening der driehoeken.

(Zie Figuur 3.)

## 1.

*Berekening van het spherisch excess.*Zijn de *lengten* der *zijden* van den driehoek  $P_1 P_2 P_3$ , $S_{1 \cdot 2}, S_{1 \cdot 3}, S_{2 \cdot 3}$ ,zijn de *overstaande hoeken* respectievelijk $B_3, B_2, B_1$ en noemt men het *spherisch excess*  $\epsilon$ , dan is

$$B_1 + B_2 + B_3 = 180^\circ + \epsilon,$$

$$\epsilon = [\alpha] S_{1 \cdot 2} S_{1 \cdot 3} \sin B_1,$$

$$\epsilon = [\alpha] \frac{S_{2 \cdot 3}^2 \sin B_2 \sin B_3}{\sin B_1},$$

waarin  $[\alpha] = \frac{1}{2NR \text{ boog } 1''}$  is te nemen voor de gemiddelde breedte der hoekpunten van den driehoek.Tafel van  $\log [\alpha]$ .

$\varphi$	$\log [\alpha]$
0°	1,40702 — 10
1	1,40701 — 10
2	1,40701 — 10
3	1,40700 — 10
4	1,40699 — 10
5	1,40697 — 10
6	1,40695 — 10

Is de maximumwaarde van  $S$  10000 M. en verlangt men  $\epsilon$  slechts te kennen tot in *twee* decimalen der secunden, dan zijn voor de berekening logarithmen met *vier* decimalen voldoende en kan men tot  $6^\circ$  breedte de constante waarde nemen:

$$\log [\alpha] = 1,4070 - 10.$$

## 2.

### *Berekening van de lengten der zijden.*

#### *a. De additamenten methode.*

Stelt men:

$$\log L_{1 \cdot 2} = \log S_{1 \cdot 2} - [\text{Ad. } S_{1 \cdot 2}]$$

$$\log L_{1 \cdot 3} = \log S_{1 \cdot 3} - [\text{Ad. } S_{1 \cdot 3}]$$

$$\log L_{2 \cdot 3} = \log S_{2 \cdot 3} - [\text{Ad. } S_{2 \cdot 3}]$$

waarin:

$$[\text{Ad. } S_{1 \cdot 2}] = \frac{1}{6} M \frac{S_{1 \cdot 2}^2}{NR}$$

$$[\text{Ad. } S_{1 \cdot 3}] = \frac{1}{6} M \frac{S_{1 \cdot 3}^2}{NR}$$

$$[\text{Ad. } S_{2 \cdot 3}] = \frac{1}{6} M \frac{S_{2 \cdot 3}^2}{NR}$$

dan is

$$\frac{L_{1 \cdot 2}}{\sin B_3} = \frac{L_{1 \cdot 3}}{\sin B_2} = \frac{L_{2 \cdot 3}}{\sin B_1} = M_a$$

en

$$\log S_{1 \cdot 2} = \log L_{1 \cdot 2} + [\text{Ad. } L_{1 \cdot 2}]$$

$$\log S_{1 \cdot 3} = \log L_{1 \cdot 3} + [\text{Ad. } L_{1 \cdot 3}]$$

$$\log S_{2 \cdot 3} = \log L_{2 \cdot 3} + [\text{Ad. } L_{2 \cdot 3}]$$

waarin:

$$[\text{Ad. } L_{1 \cdot 2}] = \frac{1}{6} M \frac{L_{1 \cdot 2}^2}{NR}$$

$$[\text{Ad. } L_{1 \cdot 3}] = \frac{1}{6} M \frac{L_{1 \cdot 3}^2}{NR}$$

$$[\text{Ad. } L_{2 \cdot 3}] = \frac{1}{6} M \frac{L_{2 \cdot 3}^2}{NR}$$

Is dus b.v.  $S_{1 \cdot 2}$  de gegeven zijde, dan is de berekening van  $S_{1 \cdot 3}$  en  $S_{2 \cdot 3}$  als volgt:

$$\log L_{1 \cdot 2} = \log S_{1 \cdot 2} - [\text{Ad. } S_{1 \cdot 2}]$$

$$\log M_a = \log L_{1 \cdot 2} - \log \sin B_3$$

$$\log L_{1 \cdot 3} = \log M_a + \log \sin B_2$$

$$\log L_{2 \cdot 3} = \log M_a + \log \sin B_1$$

$$\log S_{1 \cdot 3} = \log L_{1 \cdot 3} + [\text{Ad. } L_{1 \cdot 3}]$$

$$\log S_{2 \cdot 3} = \log L_{2 \cdot 3} + [\text{Ad. } L_{2 \cdot 3}].$$

Bij een reeks van driehoeken wordt de geheele berekening uitgevoerd met behulp van de grootheden  $L$  en ten slotte bij elk van deze het additament gevoegd.

Stelt men  $\frac{1}{i} M \frac{1}{NR} 10^7 = [\beta]$

dan heeft men, de additamenten uitdrukkende in éenheden van de *zevende* decimaal van den logarithmus,

$$[\text{Ad. } S] = [\beta] S^2$$

$$[\text{Ad. } L] = [\beta] L^2$$

waarin  $[\beta]$  moet worden genomen voor de gemiddelde breedte der hoekpunten van den driehoek.

### Tafel van $\log [\beta]$

$\varphi$	$\log [\beta]$
0°	2,25325 — 10
1	2,25325 — 10
2	2,25325 — 10
3	2,25324 — 10
4	2,25323 — 10
5	2,25321 — 10
6	2,25319 — 10

De waarde van  $[\text{Ad. } S]$  of  $[\text{Ad. } L]$  uitgedrukt in éenheden van de *zevende* decimaal van den logarithmus is tot  $S$  of  $L$  gelijk aan 100000 M., dus  $\log S$  of  $\log L$  gelijk aan 5,00, te vinden in *Tafel II*. Bij de berekening van deze is voor  $\log \frac{1}{NR}$  genomen de waarde 6,3935932 — 20, welke geldt voor  $\varphi = 4^\circ$ .

Voor  $S = 100000$  M. is de juiste waarde van het additament

$$\begin{array}{lll} \text{bij } \varphi = 0^\circ & 179.166 \text{ of } 179.2 \\ 4 & 179.154 & 179.2 \\ 6 & 179.139 & 179.1 \end{array}$$

De maximumfout welke men bij het gebruik van de tafel kan begaan is derhalve 0.061 éenheden van de *zevende* decimaal van den logarithmus.

### b. De methode van LEGENDRE.

Stelt men:

$$C_1 = B_1 - \frac{1}{3} \epsilon$$

$$C_2 = B_2 - \frac{1}{3} \epsilon$$

$$C_3 = B_3 - \frac{1}{3} \epsilon,$$

dan is

$$\frac{S_{1 \cdot 2}}{\sin C_3} = \frac{S_{1 \cdot 3}}{\sin C_2} = \frac{S_{2 \cdot 3}}{\sin C_1} = M.$$

## VOORBEELDEN.

1. Berekening van het sferisch excess.

Eerste methode.

Driehoek:	$P_1$ $P_2$ $P_3$	Dolok Dsaoed Siboga Dolok Loeboe Raja		Boekit Gedang Piek van Indrapoera Indrapoera	
	$B_3$	54° 9' 40"		31° 28' 15"	
	log [z]	1,4070	1,4070	1,4070	1,4070
	log $S_{1 \cdot 3}$	4,6077		4,8321	
	log $S_{2 \cdot 3}$	4,6830		4,8488	
	log sin $B_3$	9,9089		9,7177	
	log ε	0,6066		0,8056	
	ε	4'',04		6'',39	

Tweede methode.

Driehoek:	$P_1$ $P_2$ $P_3$	Dolok Dsaoed Siboga Dolok Loeboe Raja		Boekit Gedang Piek van Indrapoera Indrapoera	
	log $S_{2 \cdot 3}$	4,6830		4,8488	
	$B_1$	72° 31' 25"		78° 11' 5"	
	$B_2$	53° 19' 0		70° 20' 50	
	$B_3$	54° 9' 40		31° 28' 15	
	log [z]	1,4070	1,4070	1,4070	1,4070
	2 log $S_{2 \cdot 3}$	9,3660		9,6976	
	log sin $B_2$	9,9042		9,9739	
	log sin $B_3$	9,9089		9,7177	
		0,5861		0,7962	
	log sin $B_1$	9,9795		9,9907	
	log ε	0,6066		0,8055	
	ε	4'',04		6'',39	

2. Berekening van de lengten der driehoekslijden.

a. Additamenten methode.

I. Driehoek: Dolok Dsaoed - Siboga - Dolok Loeboe Raja.

Gegeven zijde: Siboga - Dolok Loeboe Raja.

$$\begin{array}{r} \log S \ 4,6830089.6 \\ - \text{Ad.} \quad \quad \quad 41.6 \\ \hline \log L \ 4,6830048.0 \end{array}$$

II. Driehoek: Boekit Gedang - Piek van Indrapoera - Indrapoera.

Gegeven zijde: Piek van Indrapoera - Indrapoera.

$$\begin{array}{r} \log S \ 4,8488421.9 \\ - \text{Ad.} \quad \quad \quad 89.3 \\ \hline \log L \ 4,8488332.6 \end{array}$$

N° van den driehoek.	Hoekpunten.	Hoeken $B$	$\log \sin B$	$\log L$	Ad.	$\log S$ (overstaande zijden)	Lengten der overstaande zijden. Meters
I	Dolok Dsaoed Siboga Dol. Loeboe R.	$72^\circ 31' 25'',44$ $53 18 56 ,31$ $54 9 42 ,29$ $180^\circ 0' 4'',04$	$9,9794761.9$ $9,9041412.0$ $9,9088457.6$ $4,7035286.1$	$4,6830048.0$ $4,6076698.1$ $4,6123743.7$ $= \log M_a$	41.6 29.4 30.0	$4,6830089.6$ $4,6076727.5$ $4,6123773.7$	48195,78 40520,31 40961,64
						$= \log M_a$	
II	Boekit Gedang Piek v. Indrap. Indrapoera	$78^\circ 11' 5'',01$ $70 20 47 ,61$ $31 28 13 ,77$ $180^\circ 0' 6'',39$	$9,9906996.5$ $9,9739329.3$ $9,7177198.9$ $4,8581336.1$	$4,8488332.6$ $4,8320665.4$ $4,5758535.0$ $= \log M_a$	89.3 82.7 25.4	$4,8488421.9$ $4,8320748.1$ $4,5758560.4$	70606,92 67932,06 37657,89

## b. Methode van LEGENDRE.

I. Driehoek: Dolok Dsaoed - Siboga - Dolok Loeboe Raja.

Gegeven zijde: Siboga - Dolok Loeboe Raja

$$\log S = 4,6830089.6.$$

II. Driehoek: Boekit Gedang - Piek van Indrapoera - Indrapoera.

Gegeven zijde: Piek van Indrapoera - Indrapoera

$$\log S = 4,8488421.9.$$

N° van den driehoek.	Hoekpunten.	Hoeken $B$	$\frac{1}{3} \epsilon$	Hoeken $C$	$\log \sin C$	$\log S$ (overstaande zijden)	Lengten der overstaande zijden. Meters
I	Dolok Dsaoed Siboga Dol. Loeboe Raja	$72^\circ 31' 25'',44$ $53 18 56 ,31$ $54 9 42 ,29$ $180^\circ 0' 4'',04$	$1'',34$ $,35$ $,35$ $,00$	$72^\circ 31' 24'',10$ $53 18 54 ,96$ $54 9 40 ,94$ $180^\circ 0' 0'',00$	$9,9794753.0$ $9,9041390.9$ $9,9088437.0$ $4,7035336.6$	$4,6830089.6$ $4,6076727.5$ $4,6123773.6$ $= \log M_t$	48195,78 40520,31 40961,64
						$= \log M_t$	
II	Boekit Gedang Piek van Indrap. Indrapoera	$78^\circ 11' 5'',01$ $70 20 47 ,61$ $31 28 13 ,77$ $180^\circ 0' 6'',39$	$2'',13$ $,13$ $,13$ $,00$	$78^\circ 11' 2'',88$ $70 20 45 ,48$ $31 28 11 ,64$ $180^\circ 0' 0'',00$	$9,9906987.1$ $9,9739313.4$ $9,7177125.7$ $4,8581434.8$	$4,8488421.9$ $4,8320748.2$ $4,5758560.5$ $= \log M_t$	70606,92 67932,06 37657,89

## T A F E L II.

$\log S$ of $\log L$	Addit.	$\Delta$	$\log S$ of $\log L$	Addit.	$\Delta$
<b>3,0</b>	0.02	+	3,5	0.18	+
3,1	0.03	0.01	3,6	0.28	0.10
3,2	0.05	0.02	3,7	0.45	0.17
3,3	0.07	0.04	3,8	0.71	0.26
3,4	0.11	0.07	3,9	1.13	0.42
3,5	0.18		<b>4,0</b>	1.79	0.66

Voor  $\log S$  of  $\log L$  kleiner dan 3,22286 is het additament te verwaarlozen.

$\log S$ of $\log L$	Addit.	$\Delta$	$\log S$ of $\log L$	Addit.	$\Delta$	$\log S$ of $\log L$	Addit.	$\Delta$	$\log S$ of $\log L$	Addit.	$\Delta$
<b>4,00</b>	1.8	+	4,25	5.7	+	<b>4,50</b>	17.9	+	4,75	56.7	+
4,01	1.9	0.1	4,26	5.9	0.2	4,51	18.8	0.9	4,76	59.3	2.6
4,02	2.0	0.1	4,27	6.2	0.3	4,52	19.6	0.8	4,77	62.1	2.8
4,03	2.1	0.1	4,28	6.5	0.3	4,53	20.6	1.0	4,78	65.0	2.9
4,04	2.2	0.1	4,29	6.8	0.3	4,54	21.5	0.9	4,79	68.1	3.1
		0.1			0.3			1.1			3.2
4,05	2.3	0.1	<b>4,30</b>	7.1	0.4	4,55	22.6	<b>4,80</b>	71.3		
4,06	2.4	0.1	4,31	7.5	0.4	4,56	23.6	1.0	4,81	74.7	3.4
4,07	2.5	0.1	4,32	7.8	0.3	4,57	24.7	1.1	4,82	78.2	3.5
4,08	2.6	0.1	4,33	8.2	0.4	4,58	25.9	1.2	4,83	81.9	3.7
4,09	2.7	0.1	4,34	8.6	0.4	4,59	27.1	1.2	4,84	85.7	3.8
		0.1			0.4			1.3			4.1
<b>4,10</b>	2.8	0.2	4,35	9.0	0.4	<b>4,60</b>	28.4	4,85	89.8		
4,11	3.0	0.1	4,36	9.4	0.5	4,61	29.7	1.3	4,86	94.0	4.2
4,12	3.1	0.1	4,37	9.9	0.5	4,62	31.1	1.4	4,87	98.5	4.5
4,13	3.3	0.2	4,38	10.3	0.4	4,63	32.6	1.5	4,88	103.1	4.6
4,14	3.4	0.1	4,39	10.8	0.5	4,64	34.1	1.5	4,89	108.0	4.9
		0.2			0.5			1.6			5.0
4,15	3.6	0.1	<b>4,40</b>	11.3	0.5	4,65	35.7	<b>4,90</b>	113.0		
4,16	3.7	0.1	4,41	11.8	0.6	4,66	37.4	1.7	4,91	118.4	5.4
4,17	3.9	0.2	4,42	12.4	0.6	4,67	39.2	1.8	4,92	123.9	5.5
4,18	4.1	0.2	4,43	13.0	0.6	4,68	41.0	1.8	4,93	129.8	5.9
4,19	4.3	0.2	4,44	13.6	0.6	4,69	43.0	2.0	4,94	135.9	6.1
		0.2			0.6			2.0			6.4
<b>4,20</b>	4.5	0.2	4,45	14.2	0.7	<b>4,70</b>	45.0	4,95	142.3		
4,21	4.7	0.2	4,46	14.9	0.7	4,71	47.1	2.1	4,96	149.0	6.7
4,22	4.9	0.3	4,47	15.6	0.7	4,72	49.3	2.2	4,97	156.0	7.0
4,23	5.2	0.2	4,48	16.3	0.8	4,73	51.7	2.4	4,98	163.4	7.4
4,24	5.4	0.2	4,49	17.1	0.8	4,74	54.1	2.4	4,99	171.1	7.7
		0.3			0.8			2.6			8.1
4,25	5.7		<b>4,50</b>	17.9		4,75	56.7	<b>5,00</b>	179.2		

## B.

**Formules voor de berekening van de geographische lengten en breedten der hoekpunten en van de azimuts der zijden van het driehoeksnet.**

(Zie Figuur 4.)

Gegeven:  $\varphi_1$  de *geographische breedte* van het punt  $P_1$ , zoowel noordelijk als zuidelijk *positief* genomen;

$l_1$  de *geographische lengte* van het punt  $P_1$ , zoowel oostelijk als westelijk *positief* genomen;

$S$  de *lengte* der driehoekszijde  $P_1 P_2$ ;

$A_{1 \cdot 2}$  het *azimut* der driehoekszijde  $P_1 P_2$  in het punt  $P_1$ .

Gevraagd:  $\varphi_2$  de *geographische breedte* van het punt  $P_2$ ;

$l_2$  de *geographische lengte* van het punt  $P_2$ ;

$A_{2 \cdot 1}$  het *azimut* der driehoekszijde  $P_2 P_1$  in het punt  $P_2$ .

a. Het punt  $P_1$  heeft noordelijke breedte:

$$\begin{aligned} b_0 &= [\text{I}] S \cos A_{1 \cdot 2} \\ \log b &= \log b_0 - [\text{III}] b_0 + [\text{IV}] (S \sin A_{1 \cdot 2})^2 - [\text{I}] [\text{Z}] b_0^2 \\ \varphi' &= \varphi_1 + b \\ c_0 &= [\text{II}] S \sin A_{1 \cdot 2} \\ \log c &= \log c_0 - [\text{I}] b_0^2 \\ t_0 &= c \tan \varphi' \quad \lambda_0 = c \sec \varphi' \\ \log t &= \log t_0 - [\text{I}] \lambda_0^2 \\ \log \lambda &= \log \lambda_0 - 2[\text{I}] t_0^2 \\ b' &= [\text{Z}] c t_0 \quad t' = [\text{A}] b c \\ \varphi_2 &= \varphi' - b' \\ l_2 &= l_1 \pm \lambda \quad \left\{ \begin{array}{l} \text{oostelijke lengte} + \\ \text{westelijke lengte} - \end{array} \right. \\ A_{2 \cdot 1} &= A_{1 \cdot 2} + t - t' \pm 180^\circ. \end{aligned}$$

b. Het punt  $P_1$  heeft zuidelijke breedte:

$$\begin{aligned} b_0 &= [\text{I}] S \cos A_{1 \cdot 2} \\ \log b &= \log b_0 + [\text{III}] b_0 + [\text{IV}] (S \sin A_{1 \cdot 2})^2 - [\text{I}] [\text{Z}] b_0^2 \\ \varphi' &= \varphi_1 - b \\ c_0 &= [\text{II}] S \sin A_{1 \cdot 2} \\ \log c &= \log c_0 - [\text{I}] b_0^2 \\ t_0 &= c \tan \varphi' \quad \lambda_0 = c \sec \varphi' \\ \log t &= \log t_0 - [\text{I}] \lambda_0^2 \\ \log \lambda &= \log \lambda_0 - 2[\text{I}] t_0^2 \\ b' &= [\text{Z}] c t_0 \quad t' = [\text{A}] b c \\ \varphi_2 &= \varphi' - b' \end{aligned}$$

$$\begin{aligned} l_2 &= l_1 + \lambda && \left\{ \begin{array}{l} \text{oostelijke lengte} + \\ \text{westelijke lengte} - \end{array} \right. \\ A_{2,1} &= A_{1,2} - t - t' \pm 180^\circ. \end{aligned}$$

Heeft het punt  $P_1$  <sup>noordelijke</sup><sub>zuidelijke</sub> breedte, <sup>oostelijke</sup><sub>westelijke</sub> lengte, en vindt men door toepassing dezer formules de waarde van  $q_2$ ,  $l_2$ , negatief, dan heeft het punt  $P_2$  <sup>zuidelijke</sup><sub>noordelijke</sub> breedte, <sup>westelijke</sup><sub>oostelijke</sub> lengte.

In dcze formules beteckenen de coëfficiënten tuischen [], wanneer men de correctietermen der logarithmen uitdrukt in eenheden van de zevende decimaal:

$$\begin{aligned} [I] &= \frac{1}{R \text{boog } 1''} \text{ voor de breedte } q_1 \\ [II] &= \frac{1}{N \text{boog } 1''} \text{ voor de breedte } \varphi' \\ [III] &= \frac{3}{8} M e^2 10^7 \text{boog } 1'' \sin 2 \varphi_1 \\ [IV] &= \frac{1}{8} M \sqrt{1 - e^2} \frac{1}{R^2} 10^7 \text{ voor de breedte } q_1. \end{aligned}$$

De logarithmen dezer grootheden voor de verschillende waarden van  $\varphi$  zijn te vinden in *Tafel IIIa* en *Tafel IIIb*; daaruit moet men dus nemen:

- log [I] met het argument  $\varphi_1$
- log [II] met het argument  $\varphi'$
- log [III] en log [IV] met het argument  $\varphi_1$ .

In *Tafel IIIa* vindt men voor de waarden van  $\varphi$  van  $0^\circ$  tot  $6^\circ$  opklimmende van minuut tot minuut log [I] en log [II] in *acht* decimalen, log [III] van  $\varphi = 0^\circ 10'$  tot  $\varphi = 1^\circ 30'$  in *drie* en verder tot  $\varphi = 6^\circ$  in *vier* decimalen en log [IV] in *vijf* decimalen.

Voor de waarden van  $\varphi$  kleiner dan  $0^\circ 10'$ , waarvoor log [III] zeer sterk veranderlijk is, geeft *Tafel IIIb* log [III] met een kleiner interval, en wel van 5 tot 5 secunden tot  $\varphi = 30''$  en verder van 10 tot 10 secunden, tot  $\varphi = 5'$  in *twee* en verder in *drie* decimalen. Voor waarden van  $\varphi$  kleiner dan  $15''$  is de term die [III] tot coëfficiënt heeft te verwaarlozen.

Verder is

$$\begin{aligned} [1] &= \frac{1}{8} M 10^7 \text{boog}^2 1'' & \log [1] &= 5,23078 - 10 \\ [2] &= 3 e^2 \cos 2 \varphi_1 & \log 3 e^2 &= 8,30153 - 10 \\ [3] &= [4] \frac{N}{R} \text{ voor de breedte } \varphi' \\ [4] &= \frac{1}{8} \text{boog } 1'' & \log [4] &= 4,38454 - 10. \end{aligned}$$

Voor waarden van  $S$  tot 100000 M. zijn de formules toe te passen bij het gebruik van logarithmen met *acht* decimalen voor de berekening van de lengte en breedte tot in *vier* en van het azimut tot in *drie* decimalen der secunden.

Voor de berekening van de lengte en breedte tot in *drie* en van het azimut tot in *twee* decimalen der secunden kan men in de formules stellen:

$$[2] = 3 e^2 \cos 8^\circ \quad \log [2] = 8,300 - 10$$

$$[3] = \frac{1}{1 - e^2} \text{boog } 1'' \quad \log [3] = 4,38744 - 10.$$

De fout ontstaande door het invoeren dezer constanten is voor  $S = 100000$  M. in  $b$  hoogstens  $0'',0003$  en in  $b'$  hoogstens  $0'',0002$ .

De *gang der berekening* is als volgt (zie de bijgevoegde voorbeelden en Figuur 4):

$A_{1,0}$  het bekende azimut eenner zijde  $P_1 P_0$  in het punt  $P_1$  en de hoek  $P_0 P_1 P_2$ , geteld van  $P_0$  rechts omgaande naar  $P_2$ ,  $\varphi_1$ ,  $\lambda_1$  en  $\log S$  worden in het schema ingevuld;

$A_{1,2}$  wordt door optelling van hoek  $P_0 P_1 P_2$  bij  $A_{1,0}$  gevonden;  $\log [I]$ ,  $\log [III]$  en  $\log [IV]$  worden met het argument  $\varphi_1$  in *Tafel IIIa* of *IIIb* opgezocht;

$\log \cos A_{1,2}$  en  $\log \sin A_{1,2}$  worden in de logarithmentafel opgezocht;  $b_0$  en  $S \sin A_{1,2}$  worden berekend en met afronding tot op het vereischte aantal decimalen in de kolom voor de correctietermen ingevuld;

$\log (1)$ ,  $\log (2)$ ,  $\log (3)$  en  $\log (4)$  worden berekend, (1), (2), (3) en (4) worden opgezocht en ingevuld;

$\log b$  wordt berekend, opgezocht en  $\varphi'$  bepaald;

$\log [II]$  wordt in *Tafel IIIa* opgezocht met het argument  $\varphi'$ ;

$\log c$  wordt berekend;

$\log \sec \varphi'$  en  $\log \tan \varphi'$  worden in de logarithmentafel opgezocht;

$\log \lambda_0$  en  $\log t_0$  worden berekend;

$\log (5)$  en  $\log (6)$  worden berekend, (5) en (6) opgezocht en ingevuld;

$\log b'$  en  $\log t'$  worden berekend;

$\lambda$ ,  $t$ ,  $b'$  en  $t'$  worden opgezocht en ingevuld;

$A_{1,2}$ ,  $\varphi_2$  en  $\lambda_2$  worden berekend.

Een staatje aangevende de *teekens* der verschillende termen, zooals die bij de berekening worden gevonden, afhankelijk van het kwadrant waarin de hoek  $A_{1,2}$  is gelegen, bevindt zich aan het einde van *Tafel IIIb*. Aldaar is ook opgegeven, wanneer bij de berekening van de geografische lengte en breedte tot in *drie* en van het azimut tot in *twee* decimalen der secunden, de verschillende correctietermen kunnen worden verwaarloosd.

## VOORBE

## a. Noordelijke

1 2 3 4

$P_1$	<i>Siboga</i>	<i>Dolok Loeboe Raja</i>	<i>Dolok Dsaoed</i>	<i>Goenoeng Ophir</i>
$P_2$	<i>Dolok Loeboe Raja</i>	<i>Dolok Dsaoed</i>	<i>Siboga</i>	<i>Boekit Paoe</i>
Hoek $P_0 P_1 P_2$				
$A_{1 \cdot 0}$				
$A_{1 \cdot 2}$	$120^\circ 27' 25''$ ,32	$354^\circ 37' 46''$ ,28	$247^\circ 9' 8''$ ,03	$127^\circ 16' 26''$ ,13
$+ t$	$+ 36 ,08$	$- 4 ,08$	$- 37 ,49$	$- 4 ,70$
$- t'$	$+ 2 ,59$	$+ 0 ,39$	$- 1 ,53$	$+ 3 ,20$
	$180^\circ$	$180^\circ$	$180^\circ$	$180^\circ$
$A_{2 \cdot 1}$	$300^\circ 28' 3''$ ,99	$174^\circ 37' 42''$ ,59	$67^\circ 8' 29''$ ,01	$307^\circ 16' 24''$ ,63
$+ b$	$1^\circ 45' 32''$ ,407 N.	$1^\circ 32' 16''$ ,831 N.	$1^\circ 54' 10''$ ,385 N.	$0^\circ 4' 26''$ ,678 N.
$- b'$	$- 13 15 ,458$	$+ 21 53 ,555$	$- 8 37 ,866$	$- 16 45 ,367$
$\varphi_2$	$1^\circ 32' 16''$ ,949	$1^\circ 54' 10''$ ,386	$1^\circ 45' 32''$ ,519	$0^\circ 12' 18''$ ,689
	$- 0 ,118$	$- 0 ,001$	$- 0 ,112$	$+ 0 ,015$
$O.L. + \lambda$	$1^\circ 32' 16''$ ,831 N.	$1^\circ 54' 10''$ ,385 N.	$1^\circ 45' 32''$ ,407 N.	$0^\circ 12' 18''$ ,674 Z.
$W.L. -$				
$l_1$	$1^\circ 32' 28''$ ,477 W.	$1^\circ 10' 4''$ ,298 W.	$1^\circ 12' 7''$ ,026 W.	$0^\circ 19' 48''$ ,383 W.
	$- 22 24 ,179$	$+ 2 2 ,728$	$+ 20 21 ,451$	$- 21 52 ,148$
$l_2$	$1^\circ 10' 4''$ ,298 W.	$1^\circ 12' 7''$ ,026 W.	$1^\circ 32' 28''$ ,477 W.	$0^\circ 2' 3''$ ,765 O.
Arg. $\varphi_1$	$\log S$	4,6830089.6	4,6076727.5	4,6123773.7
	$\log [I]$	8,5126859.3	8,5126869.0	8,5126852.3
	$\log \cos A_{1 \cdot 2}$	9,7049155.2 n	9,9980893.6	9,5891495.2 n
	$\log b_0$	2,9006104.1 n	3,1184490.1	2,7142121.2 n
	$- (1)$	$+ 5.15$	$- 7.43$	$+ 3.97$
	$+ (2)$	$+ 62.05$	$+ 0.52$	$+ 51.23$
	$- (4)$	$- 0.22$	$- 0.59$	$- 0.09$
	$\log b$	2,9006171.1 n	3,1184481.6	2,7142176.3 n
Arg. $\varphi'$	$\log S$	4,6830089.6	4,6076727.5	4,6123773.7
	$\log \sin A_{1 \cdot 2}$	9,9355120.8	8,9712541.5 n	9,9645140.7 n
	$\log S \sin A_{1 \cdot 2}$	4,6185210.4	3,5789269.0 n	4,5768914.4 n
	$\log [II]$	8,5097806.2	8,5097800.7	8,5097803.0
	$- (3)$	$- 10.8$	$- 29.4$	$- 4.6$
	$\log c$	3,1283005.8	2,0887040.3 n	3,0866712.8 n
	$\log \sec \varphi'$	1565.6	2395.6	2046.9
	$\log \lambda_0$	3,1284571.4	2,0889435.9 n	3,0868759.7 n
	$- (5)$			
	$\log \lambda$	3,1284571.4	2,0889435.9 n	3,0868759.7 n
	$\log c$	3,1283006	2,0887040 n	3,0866713 n
	$\log \tang \varphi'$	8,4289351	8,5214497	8,4872884
	$\log t_0$	1,5572357	0,6101537 n	1,5739597 n
	$- (6)$	$- 31$		$- 25$
	$\log t$	1,5573326	0,6101537 n	1,5739572 n
				$0,6720155 n$

## ELDEN.

## Breedte.

	1	2	3	4
	Siboga Dolok Loeboe Raja	Dolok Loeboe Raja Dolok Dsaoed	Dolok Dsaoed Siboga	Goenoeng Ophir Boekit Paoc
Arg. $\varphi_1$	log [III]	7,8107	7,7525	7,8849
	log $b_0$	2,9007 n	3,1184	2,7142 n
	log (1)	0,7114 n	0,8709	0,5991 n
Arg. $\varphi_1$	log [IV]	2,55573	2,55573	2,55574
	$z \log S \sin A_{1-2}$	9,23704	7,15785	9,21640
	log (2)	1,79277	9,71358	1,77214
	log [1]	5,23078	5,23078	5,23078
	$z \log b_0$	5,80142	6,23690	6,00463
	log (3)	1,03220	1,46768	1,23541
	log [2]	8,300	8,300	8,300
	log (4)	9,332	9,768	9,535
	log $z$ [1]	5,532	5,532	5,532
	$z \log t_0$	—	—	—
	log (5)	—	—	—
	log [1]	5,231	5,231	5,231
	$z \log \lambda_0$	6,257	6,174	6,236
	log (6)	1,488	—	1,467
	log [3]	4,38744	4,38744	4,38744
	log $c$	3,12830	2,08870 n	3,11798
	log $t_0$	1,55723	0,61015 n	0,67202 n
	log $b'$	9,07297	7,08629	8,17744 n
	log [4]	4,38454	4,38454	4,38454
	log $b$	2,90072 n	3,11845	3,00232 n
	log $c$	3,12830	2,08870 n	3,11798
	log $t'$	0,41356 n	9,59169 n	0,50484 n

## b. Zuidelijke

1 2 3 4

$P_1$	<i>Indrapoera</i>	<i>Boekit Gedang</i>	<i>Piek v. Indrapoera</i>	<i>Boekit Paoe</i>
$P_2$	<i>Boekit Gedang</i>	<i>Piek v. Indrapoera</i>	<i>Indrapoera</i>	<i>Goenoeng Ophir</i>
$A_{1,0}$ Hock $P_0 P_1 P_2$				
$A_{1,2}$ $- t$ $- t'$	$79^{\circ} 8' 11'', 72$ $- 1^{\circ} 12', 40$ $- 2, 18$	$337^{\circ} 18' 2'', 15$ $+ 1^{\circ} 13', 19$ $+ 1, 29$	$227^{\circ} 39' 4'', 24$ $+ 1^{\circ} 0', 05$ $- 6, 34$	$307^{\circ} 16' 24'', 63$ $- 1, 70$ $+ 3, 20$
	$180^{\circ}$	$180^{\circ}$	$180^{\circ}$	$180^{\circ}$
$A_{2,1}$	$259^{\circ} 6' 57'', 14$	$157^{\circ} 18' 16'', 63$	$47^{\circ} 39' 57'', 95$	$127^{\circ} 16' 26'', 13$
$\varphi_b$	$2^{\circ} 2' 15'', 638 Z$ $- 6 56, 883$	$1^{\circ} 55' 18'', 374 Z$ $- 18 51, 173$	$1^{\circ} 36' 27'', 186 Z$ $+ 25 48, 699$	$0^{\circ} 12' 18'', 674 Z$ $- 16 45, 357$
$\varphi_v$	$1^{\circ} 55' 18'', 755$ $- 0, 381$	$1^{\circ} 36' 27'', 201$ $- 0, 015$	$2^{\circ} 2' 15'', 885$ $- 0, 247$	$- 0^{\circ} 4' 26'', 683$ $+ 0, 005$
$\varphi_2$	$1^{\circ} 55' 18'', 374 Z$	$1^{\circ} 36' 27'', 186 Z$	$2^{\circ} 2' 15'', 638 Z$	$0^{\circ} 4' 26'', 678 N$
$I_1$ O.L. $+$ $\lambda$ W.L. $-$	$0^{\circ} 32' 17'', 394 O$ $+ 35 58, 964$	$1^{\circ} 8' 16'', 358 O$ $- 7 50, 193$	$1^{\circ} 0' 26'', 165 O$ $- 28 8, 771$	$0^{\circ} 2' 3'', 765 O$ $- 21 52, 148$
$I_2$	$1^{\circ} 8' 16'', 358 O$	$1^{\circ} 0' 26'', 165 O$	$0^{\circ} 32' 17'', 394 O$	$0^{\circ} 19' 48'', 383 W$
Arg. $\varphi_1$ $\log [I]$ $\log \cos A_{1,2}$	$4,8320748.1$ $8,5126845.4$ $9,2752383.9$	$4,5758560.4$ $8,5126851.4$ $9,9649862.3$	$4,8488421.9$ $8,5126866.1$ $9,8284294.8 n$	$4,7074239.6$ $8,5126899.8$ $9,7822005.8$
$\log b_0$ $+ (1)$ $+ (2)$ $- (4)$	$2,6199977.4$ $+ 3.12$ $+ 166.00$ $- 0.06$	$3,0535274.1$ $+ 8.00$ $+ 7.65$ $- 0.43$	$3,1899582.8 n$ $- 9.16$ $+ 97.90$ $- 0.82$	$3,0023145.2$ $+ 0.76$ $+ 59.17$ $- 0.34$
$\log b$	$2,6200140.5$	$3,0535289.3$	$3,1899670.7 n$	$3,0023204.8$
Arg. $\varphi'$ $\log [II]$ $- (3)$	$4,8320748.1$ $9,9921465.4$	$4,5758560.4$ $9,5864707.9 n$	$4,8488421.9$ $9,8686781.6 n$	$4,7074239.6$ $9,9007785.9 n$
$\log S \sin A_{1,2}$ $\log S \sin A_{1,2}$ $\log \sec \varphi'$	$4,8242213.5$ $8,5097800.4$ $- 3.0$	$4,1623268.3 n$ $8,5097805.3$ $- 21.8$	$4,7175203.5 n$ $8,5097798.3$ $- 40.8$	$4,6082025.5 n$ $8,5097816.7$ $- 17.2$
$\log c$ $\log \sec \varphi'$	$3,3340010.9$ $2443.8$	$2,6721051.8 n$ $1709.6$	$3,2272961.0 n$ $2747.2$	$3,1179825.0 n$ $3.3$
$\log \lambda_0$ $- (5)$	$3,3342454.7$ $- 0.2$	$2,6722761.4 n$ $-$	$3,2275708.2 n$ $- 0.1$	$3,1179828.3 n$ $-$
$\log \lambda$	$3,3342454.5$	$2,6722761.4 n$	$3,2275708.1 n$	$3,1179828.3 n$
$\log c$ $\log \tang \varphi'$ $\log I_0$ $- (6)$	$3,3340011$ $8,5257657$ $1,8597668$ $- 79$	$2,6721052 n$ $8,4481574$ $1,1202626 n$ $- 4$	$3,2272961 n$ $8,5512104$ $1,7785065 n$ $- 49$	$3,1179825 n$ $7,1115704 n$ $0,2295529$ $- 29$
$\log t$	$1,8597589$	$1,1202622 n$	$1,7785016 n$	$0,2295500$

## Breedte.

I                    2                    3                    4

	<i>Indrapoera</i> <i>Boekit Gedang</i>	<i>Boekit Gedang</i> <i>Piek v. Indrapoera</i>	<i>Piek v. Indrapoera</i> <i>Indrapoera</i>	<i>Boekit Pave</i> <i>Goenoeng Ophir</i>	
Arg. $\varphi_1$	log [III] log $b_0$ log (1)	7,8745 2,6200 0,4945	7,8491 3,0535 0,9026	7,7717 3,1900 n 0,9617 n	6,878 3,002 9,880
Arg. $\varphi'$	log [IV] $z \log S \sin A_{1,2}$ log (2)	2,55573 9,64844 2,20417	2,55573 8,32465 0,88038	2,55573 9,43504 1,99077	2,55574 9,21640 1,77214
	log [1] $z \log b_0$ log (3) log [2] log (4)	5,23078 5,23999 0,47077 8,300 8,771	5,23078 6,10705 1,33783 8,300 9,638	5,23078 6,37992 1,61070 8,300 9,911	5,23078 6,00463 1,23541 8,300 9,535
	log $z$ [1] $z \log t_0$ log (5)	5,532 3,720 9,252	5,532 — —	5,532 3,557 9,089	5,532 — —
	log [1] $z \log \lambda_0$ log (6)	5,231 6,668 1,899	5,231 5,345 0,576	5,231 6,455 1,686	5,231 6,236 1,467
	log [3] log $c$ log $t_0$ log $b'$	4,38744 3,33400 1,85977 9,58121	4,38744 2,67211 n 1,12026 n 8,17981	4,38744 3,22730 n 1,77851 n 9,39325	4,38744 3,11798 n 0,22955 7,73497 n
	log [4] log $b$ log $c$ log $t'$	4,38454 2,62001 3,33400 0,33855	4,38454 3,05353 2,67211 n 0,11018 n	4,38454 3,18997 n 3,22730 n 0,80181	4,38454 3,00232 3,11798 n 0,50484 n

## TAFEL IIIa.

 $\varphi$  van  $0^\circ 0'$  tot  $1^\circ 0'$ .

$\varphi$	log [I]	$A$	log [II]	$A$	log [III]	$A$	log [IV]	Evenredige deelen.				
								26	25	23	21	19
$0^\circ 0'$	8,5126900.3	0.0	8,5097816.7	—			2,55574					
1	8,5126900.3	0.0	8,5097816.7	0.0			2,55574	6''	2.6	2.5	2.3	2.1
2	8,5126900.3	0.0	8,5097816.7	0.0			2,55574	7	3.0	2.9	2.7	2.5
3	8,5126900.3	0.1	8,5097816.7	0.0			2,55574	8	3.5	3.3	3.1	2.8
4	8,5126900.2	0.0	8,5097816.7	0.0			2,55574	9	3.9	3.8	3.5	3.2
5	8,5126900.2	0.0	8,5097816.7	0.0			2,55574	10	4.3	4.2	3.8	3.5
6	8,5126900.2	0.1	8,5097816.7	0.1			2,55574	20	8.7	8.3	7.7	7.0
7	8,5126900.1	0.0	8,5097816.6	0.0			2,55574	30	13.0	12.5	11.5	10.5
8	8,5126900.1	0.1	8,5097816.6	0.0			2,55574	40	17.3	16.7	15.3	14.0
9	8,5126900.0	0.1	8,5097816.6	0.0			2,55574	50	21.7	20.8	19.2	17.5
$0^\circ 10'$	8,5126899.9	0.1	8,5097816.6	0.1	6,788		2,55574		18	17	16	15
11	8,5126899.8	0.0	8,5097816.5	0.0	6,829	41	2,55574					
12	8,5126899.8	0.1	8,5097816.5	0.0	6,867	38	2,55574	6''	1.8	1.7	1.6	1.4
13	8,5126899.7	0.1	8,5097816.5	0.0	6,902	35	2,55574	7	2.1	2.0	1.9	1.8
14	8,5126899.6	0.1	8,5097816.5	0.1	6,934	32	2,55574	8	2.4	2.3	2.1	1.9
15	8,5126899.5	0.2	8,5097816.4	0.0	6,964	28	2,55574	9	2.7	2.6	2.4	2.3
16	8,5126899.3	0.1	8,5097816.4	0.1	6,992	26	2,55574	10	3.0	2.8	2.7	2.5
17	8,5126899.2	0.1	8,5097816.3	0.0	7,018	25	2,55574	20	6.0	5.7	5.3	5.0
18	8,5126899.1	0.1	8,5097816.3	0.0	7,043	23	2,55574	30	9.0	8.5	8.0	7.5
19	8,5126899.0	0.2	8,5097816.3	0.1	7,066	23	2,55574	40	12.0	11.3	10.7	10.0
$0^\circ 20'$	8,5126898.8	0.1	8,5097816.2	0.0	7,089	21	2,55574	50	15.0	14.2	13.3	12.5
21	8,5126898.7	0.2	8,5097816.2	0.1	7,110	20	2,55574					
22	8,5126898.5	0.2	8,5097816.1	0.1	7,130	19	2,55574	13	12	11	10	9
23	8,5126898.3	0.1	8,5097816.0	0.0	7,149	19	2,55574	6''	1.3	1.2	1.1	1.0
24	8,5126898.2	0.2	8,5097816.0	0.1	7,168	18	2,55574	7	1.5	1.4	1.3	1.2
25	8,5126898.0	0.2	8,5097815.9	0.0	7,186	17	2,55574	8	1.7	1.6	1.5	1.4
26	8,5126897.8	0.2	8,5097815.9	0.1	7,203	16	2,55574	9	2.0	1.9	1.8	1.7
27	8,5126897.6	0.2	8,5097815.8	0.1	7,219	16	2,55574	10	2.2	2.1	2.0	1.9
28	8,5126897.4	0.2	8,5097815.7	0.0	7,235	15	2,55574	20	5.7	5.3	5.0	4.7
29	8,5126897.2	0.2	8,5097815.7	0.1	7,250	15	2,55574	30	9.0	8.5	8.0	7.5
$0^\circ 30'$	8,5126897.0	0.2	8,5097815.6	0.1	7,265	14	2,55574	40	12.0	11.3	10.7	10.0
31	8,5126896.8	0.2	8,5097815.5	0.1	7,279	14	2,55574	50	15.0	14.2	13.3	12.5
32	8,5126896.5	0.3	8,5097815.4	0.0	7,293	13	2,55574					
33	8,5126896.3	0.3	8,5097815.4	0.1	7,306	13	2,55574	13	12	11	10	9
34	8,5126896.0	0.2	8,5097815.3	0.1	7,319	13	2,55574	6''	1.3	1.2	1.1	1.0
35	8,5126895.8	0.3	8,5097815.2	0.1	7,332	12	2,55574	7	1.5	1.4	1.3	1.2
36	8,5126895.5	0.3	8,5097815.1	0.1	7,344	12	2,55574	8	1.7	1.6	1.5	1.4
37	8,5126895.3	0.2	8,5097815.0	0.1	7,356	11	2,55574	9	2.0	1.9	1.8	1.7
38	8,5126895.0	0.3	8,5097814.9	0.1	7,367	11	2,55574	10	2.2	2.1	2.0	1.9
39	8,5126894.7	0.3	8,5097814.8	0.1	7,378	11	2,55574	20	4.3	4.0	3.7	3.3
$0^\circ 40'$	8,5126894.4	0.3	8,5097814.7	0.1	7,389	11	2,55574	30	6.5	6.0	5.5	5.0
41	8,5126894.1	0.3	8,5097814.6	0.1	7,400	11	2,55574	40	8.7	8.0	7.3	6.7
42	8,5126893.8	0.3	8,5097814.5	0.1	7,411	10	2,55574	50	10.8	10.0	9.2	8.3
43	8,5126893.5	0.3	8,5097814.4	0.1	7,421	10	2,55574					
44	8,5126893.2	0.4	8,5097814.3	0.1	7,431	10	2,55574	13	12	11	10	9
45	8,5126892.8	0.3	8,5097814.2	0.1	7,441	9	2,55574	6''	0.8	0.7	0.6	0.5
46	8,5126892.5	0.3	8,5097814.1	0.1	7,450	10	2,55574	7	0.9	0.8	0.7	0.6
47	8,5126892.2	0.3	8,5097814.0	0.1	7,460	9	2,55574	8	1.1	1.0	0.9	0.8
48	8,5126891.8	0.4	8,5097813.9	0.1	7,469	9	2,55574	9	1.2	1.1	1.0	0.9
49	8,5126891.5	0.3	8,5097813.8	0.2	7,478	8	2,55574	10	1.3	1.2	1.1	1.0
$0^\circ 50'$	8,5126891.1	0.4	8,5097813.6	0.1	7,486	9	2,55574	13	12	11	10	9
51	8,5126890.7	0.4	8,5097813.5	0.1	7,495	8	2,55574	6''	0.8	0.7	0.6	0.5
52	8,5126890.3	0.3	8,5097813.4	0.1	7,503	9	2,55574	7	0.9	0.8	0.7	0.6
53	8,5126890.0	0.4	8,5097813.3	0.2	7,512	8	2,55574	8	1.1	1.0	0.9	0.8
54	8,5126889.6	0.4	8,5097813.1	0.1	7,520	8	2,55574	9	1.2	1.1	1.0	0.9
55	8,5126889.2	0.4	8,5097813.0	0.2	7,528	8	2,55574	10	1.3	1.2	1.1	1.0
56	8,5126888.8	0.5	8,5097812.8	0.1	7,536	7	2,55574	20	2.7	2.3	2.1	2.0
57	8,5126888.3	0.4	8,5097812.7	0.1	7,543	8	2,55574	30	4.0	3.5	2.5	2.0
58	8,5126887.9	0.4	8,5097812.6	0.2	7,551	7	2,55574	40	5.3	4.7	3.3	2.7
59	8,5126887.5	0.5	8,5097812.4	0.1	7,558	8	2,55574	50	6.7	5.8	4.2	3.3
$1^\circ 0'$	8,5126887.0	0.5	8,5097812.3		7,566		2,55574					

Achter deze logarithmen moet worden gevoegd: — 10.

$$\begin{aligned} \log [1] &= 5,23078 - 10 \\ \log [2] &= 5,532 - 10 \\ \log [3] &= 8,300 - 10 \\ \log [4] &= 4,38744 - 10 \\ \log [5] &= 4,38454 - 10. \end{aligned}$$

Bij het interpoleren van  $\log [1]$  en  $\log [2]$  wordt het decimaalpunt in de evenredige deelen een cijfer naar de linkerhand verplaatst.

$\varphi$	log [I]	$A$	log [II]	$A$	log [III]	$A$	log [IV]	Evenredige delen.				
								48	47	46	45	44
$1^{\circ} 0'$	8,5126887.0	—	8,5097812.3	—	7,566	—	2,55574					
1	8,5126886.6	0.4	8,5097812.1	0.1	7,573	7	2,55574					
2	8,5126886.1	0.5	8,5097812.0	0.2	7,580	7	2,55574					
3	8,5126885.7	0.4	8,5097811.8	0.1	7,587	7	2,55574					
4	8,5126885.2	0.5	8,5097811.7	0.2	7,594	6	2,55574					
5	8,5126884.7	0.4	8,5097811.5	0.1	7,600	7	2,55574	6''	4.8	4.7	4.6	4.5
6	8,5126884.3	0.5	8,5097811.4	0.2	7,607	7	2,55574	7	5.6	5.5	5.4	5.3
7	8,5126883.8	0.5	8,5097811.2	0.2	7,614	6	2,55574	8	6.4	6.3	6.1	5.9
8	8,5126883.3	0.5	8,5097811.0	0.1	7,620	6	2,55574	9	7.2	7.1	6.9	6.8
9	8,5126882.8	0.5	8,5097810.9	0.2	7,626	6	2,55574	10	8.0	7.8	7.7	7.5
$1^{\circ} 10'$	8,5126882.3	0.6	8,5097810.7	0.2	7,632	7	2,55574	20	16.0	15.7	15.3	15.0
11	8,5126881.7	0.5	8,5097810.5	0.2	7,639	6	2,55573	30	24.0	23.5	23.0	22.5
12	8,5126881.2	0.5	8,5097810.3	0.1	7,645	6	2,55573	40	32.0	31.3	30.7	30.0
13	8,5126880.7	0.5	8,5097810.2	0.2	7,651	6	2,55573	50	40.0	39.2	38.3	37.5
14	8,5126880.1	0.5	8,5097810.0	0.2	7,657	5	2,55573		43	42	41	40
15	8,5126879.6	0.6	8,5097809.8	0.2	7,662	6	2,55573		4.3	4.2	4.1	4.0
16	8,5126879.0	0.5	8,5097809.6	0.2	7,668	6	2,55573		5.0	4.9	4.8	4.7
17	8,5126878.5	0.6	8,5097809.4	0.2	7,674	6	2,55573		5.7	5.6	5.5	5.4
18	8,5126877.9	0.6	8,5097809.2	0.2	7,680	5	2,55573		6.5	6.3	6.2	5.9
19	8,5126877.3	0.6	8,5097809.0	0.2	7,685	5	2,55573		7.2	7.0	6.8	6.7
$1^{\circ} 20'$	8,5126876.7	0.5	8,5097808.8	0.1	7,691	5	2,55573		14.3	14.0	13.7	13.3
21	8,5126876.2	0.6	8,5097808.7	0.2	7,696	5	2,55573		21.5	21.0	20.5	19.5
22	8,5126875.6	0.6	8,5097808.5	0.3	7,701	5	2,55573		28.7	28.0	27.3	26.7
23	8,5126875.0	0.7	8,5097808.2	0.2	7,706	5	2,55573		35.8	35.0	34.2	32.5
24	8,5126874.3	0.6	8,5097808.0	0.2	7,712	6	2,55573			38	37	35
25	8,5126873.7	0.6	8,5097807.8	0.2	7,717	5	2,55573			37	35	32
26	8,5126873.1	0.7	8,5097807.6	0.2	7,722	5	2,55573			4.8	4.7	4.6
27	8,5126872.4	0.6	8,5097807.4	0.2	7,727	5	2,55573			5.1	4.9	4.7
28	8,5126871.8	0.6	8,5097807.2	0.2	7,732	5	2,55573			5.7	5.6	5.3
29	8,5126871.2	0.7	8,5097807.0	0.2	7,737	5	2,55573			6.3	6.2	5.8
$1^{\circ} 30'$	8,5126870.5	0.7	8,5097806.8	0.3	7,7416	48	2,55573			12.7	12.3	11.7
31	8,5126869.8	0.7	8,5097806.5	0.2	7,7464	48	2,55573			19.0	18.5	17.5
32	8,5126869.2	0.6	8,5097806.3	0.2	7,7512	47	2,55573			25.3	24.7	23.3
33	8,5126868.5	0.7	8,5097806.1	0.2	7,7559	47	2,55573			31.7	30.8	29.2
34	8,5126867.8	0.7	8,5097805.9	0.3	7,7605	46	2,55573				26.7	23.3
35	8,5126867.1	0.7	8,5097805.6	0.2	7,7651	43	2,55573					
36	8,5126866.4	0.7	8,5097805.4	0.2	7,7696	45	2,55573					
37	8,5126865.7	0.7	8,5097805.2	0.3	7,7741	45	2,55573					
38	8,5126865.0	0.8	8,5097804.9	0.2	7,7786	45	2,55573					
39	8,5126864.2	0.7	8,5097804.7	0.3	7,7830	44	2,55573					
$1^{\circ} 40'$	8,5126863.5	0.7	8,5097804.4	0.2	7,7873	43	2,55573					
41	8,5126862.8	0.8	8,5097804.2	0.3	7,7917	44	2,55573					
42	8,5126862.0	0.7	8,5097803.9	0.2	7,7959	42	2,55573					
43	8,5126861.3	0.8	8,5097803.7	0.3	7,8002	43	2,55573					
44	8,5126860.5	0.8	8,5097803.4	0.2	7,8044	42	2,55573					
45	8,5126859.7	0.7	8,5097803.2	0.3	7,8085	41	2,55573					
46	8,5126859.0	0.8	8,5097802.9	0.2	7,8126	41	2,55573					
47	8,5126858.2	0.8	8,5097802.7	0.3	7,8167	41	2,55573					
48	8,5126857.4	0.8	8,5097802.4	0.3	7,8207	40	2,55573					
49	8,5126856.6	0.8	8,5097802.1	0.2	7,8247	40	2,55573					
$1^{\circ} 50'$	8,5126855.8	0.8	8,5097801.9	0.3	7,8287	39	2,55573					
51	8,5126855.0	0.8	8,5097801.6	0.3	7,8326	39	2,55573					
52	8,5126854.2	0.9	8,5097801.3	0.3	7,8365	39	2,55573					
53	8,5126853.3	0.8	8,5097801.0	0.2	7,8404	39	2,55573					
54	8,5126852.5	0.8	8,5097800.8	0.3	7,8442	38	2,55573					
55	8,5126851.7	0.9	8,5097800.5	0.3	7,8480	38	2,55573					
56	8,5126850.8	0.9	8,5097800.2	0.3	7,8517	37	2,55573					
57	8,5126849.9	0.8	8,5097799.9	0.3	7,8554	37	2,55573					
58	8,5126849.1	0.9	8,5097799.6	0.3	7,8591	37	2,55573					
59	8,5126848.2	0.9	8,5097799.3	0.3	7,8628	37	2,55573					
$2^{\circ} 0'$	8,5126847.3	0.9	8,5097799.0	0.3	7,8664	36	2,55573					

Achter deze logarithmen moet worden gevoegd: — 10.

Bij het interpoleeren van log [I] en log [II] wordt het decimaalpunt in de evenredige delen één cijfer naar de linkerhand verplaatst.

log [1] = 5,23078 — 10  
 log 2 [1] = 5,532 — 10  
 log [2] = 8,300 — 10  
 log [3] = 4,38744 — 10  
 log [4] = 4,38454 — 10.

## TAFEL IIIa.

 $\varphi$  van  $2^\circ 0'$  tot  $3^\circ 0'$ .

$\varphi$	log [I]	A	log [II]	A	log [III]	A	log [IV]	Evenredige deelen.				
								36	35	34	33	32
$2^\circ 0'$	8,5126847.3	—	8,5097799.0	—	7,8664	+	2,55573					
1	8,5126846.4	0.9	8,5097798.7	0.3	7,8700	36	2,55573	6''	3.6	3.5	3.4	3.3
2	8,5126845.6	0.8	8,5097798.4	0.3	7,8736	36	2,55573	7	4.2	4.1	4.0	3.9
3	8,5126844.7	0.9	8,5097798.1	0.3	7,8771	35	2,55573	8	4.8	4.7	4.5	4.4
4	8,5126843.7	0.9	8,5097797.8	0.3	7,8806	35	2,55573	9	5.4	5.3	5.1	5.0
5	8,5126842.8	0.9	8,5097797.5	0.3	7,8841	35	2,55573	10	6.0	5.8	5.7	5.5
6	8,5126841.9	0.9	8,5097797.2	0.3	7,8876	35	2,55573	20	12.0	11.7	11.3	11.0
7	8,5126841.0	1.0	8,5097796.9	0.3	7,8910	34	2,55573	30	18.0	17.5	17.0	16.5
8	8,5126840.0	0.9	8,5097796.6	0.3	7,8944	34	2,55573	40	24.0	23.3	22.7	22.0
9	8,5126839.1	1.0	8,5097796.3	0.3	7,8978	34	2,55573	50	30.0	29.2	28.3	27.5
$2^\circ 10'$	8,5126838.1	0.9	8,5097796.0	0.3	7,9011	33	2,55573					
11	8,5126837.2	1.0	8,5097795.7	0.4	7,9044	33	2,55573	31	30	29	28	27
12	8,5126836.2	1.0	8,5097795.3	0.3	7,9077	33	2,55573	6''	3.1	3.0	2.9	2.8
13	8,5126835.2	0.9	8,5097795.0	0.3	7,9110	33	2,55573	7	3.6	3.5	3.4	3.3
14	8,5126834.3	1.0	8,5097794.7	0.3	7,9143	33	2,55573	8	4.1	4.0	3.9	3.7
15	8,5126833.3	1.0	8,5097794.4	0.4	7,9175	32	2,55573	9	4.7	4.5	4.4	4.2
16	8,5126832.3	1.0	8,5097794.0	0.3	7,9207	32	2,55573	10	5.2	5.0	4.8	4.7
17	8,5126831.3	1.0	8,5097793.7	0.3	7,9238	31	2,55572	20	10.3	10.0	9.7	9.3
18	8,5126830.3	1.1	8,5097793.4	0.4	7,9270	32	2,55572	30	15.5	15.0	14.5	14.0
19	8,5126829.2	1.0	8,5097793.0	0.3	7,9301	31	2,55572	40	20.7	20.0	19.3	18.7
$2^\circ 20'$	8,5126828.2	1.0	8,5097792.7	0.4	7,9332	31	2,55572	50	25.8	25.0	24.2	23.3
21	8,5126827.2	1.1	8,5097792.3	0.3	7,9363	31	2,55572					
22	8,5126826.1	1.0	8,5097792.0	0.3	7,9394	31	2,55572	26	25	12	11	10
23	8,5126825.1	1.1	8,5097791.6	0.4	7,9424	30	2,55572	6''	2.6	2.5	1.2	1.1
24	8,5126824.0	1.0	8,5097791.3	0.4	7,9454	30	2,55572	7	3.0	2.9	1.4	1.2
25	8,5126823.0	1.1	8,5097790.9	0.3	7,9484	30	2,55572	8	3.5	3.3	1.6	1.3
26	8,5126821.9	1.1	8,5097790.6	0.4	7,9514	30	2,55572	9	3.9	3.8	1.8	1.5
27	8,5126820.8	1.0	8,5097790.2	0.4	7,9544	29	2,55572	10	4.3	4.2	2.0	1.8
28	8,5126819.8	1.1	8,5097789.8	0.3	7,9573	29	2,55572	20	8.7	8.3	4.0	3.7
29	8,5126818.7	1.1	8,5097789.5	0.4	7,9602	29	2,55572	30	13.0	12.5	6.0	5.5
$2^\circ 30'$	8,5126817.6	1.1	8,5097789.1	0.4	7,9631	29	2,55572	40	17.3	16.7	8.0	7.3
31	8,5126816.5	1.2	8,5097788.8	0.3	7,9660	29	2,55572	50	21.7	20.8	10.0	9.2
32	8,5126815.3	1.1	8,5097788.4	0.4	7,9689	29	2,55572					
33	8,5126814.2	1.1	8,5097788.0	0.4	7,9717	28	2,55572	9	0.9	0.8	0.5	0.3
34	8,5126813.1	1.1	8,5097787.6	0.4	7,9745	28	2,55572	7	1.1	0.9	0.6	0.4
35	8,5126812.0	1.2	8,5097787.3	0.4	7,9773	28	2,55572	8	1.2	1.1	0.7	0.4
36	8,5126810.8	1.2	8,5097786.9	0.4	7,9801	28	2,55572	9	1.4	1.2	0.8	0.5
37	8,5126809.7	1.1	8,5097786.5	0.4	7,9829	27	2,55572	10	1.5	1.3	0.8	0.5
38	8,5126808.5	1.2	8,5097786.1	0.4	7,9856	27	2,55572	20	3.0	2.7	1.7	1.0
39	8,5126807.3	1.1	8,5097785.7	0.4	7,9884	28	2,55572	30	4.5	4.0	2.5	1.5
$2^\circ 40'$	8,5126806.2	1.1	8,5097785.3	0.4	7,9911	27	2,55572	40	6.0	5.3	3.3	2.7
41	8,5126805.0	1.2	8,5097784.9	0.4	7,9938	27	2,55572	50	7.5	6.7	4.2	3.3
42	8,5126803.8	1.2	8,5097784.5	0.4	7,9965	27	2,55572					
43	8,5126802.6	1.2	8,5097784.1	0.4	7,9991	26	2,55572	20	3.0	2.7	1.7	1.0
44	8,5126801.4	1.2	8,5097783.7	0.4	8,0018	27	2,55572	30	4.5	4.0	2.5	1.5
45	8,5126800.2	1.2	8,5097783.3	0.4	8,0044	26	2,55572	40	6.0	5.3	3.3	2.0
46	8,5126799.0	1.2	8,5097782.9	0.4	8,0070	26	2,55572	50	7.5	6.7	4.2	3.3
47	8,5126797.8	1.3	8,5097782.5	0.4	8,0096	26	2,55572					
48	8,5126796.5	1.3	8,5097782.1	0.4	8,0122	26	2,55572	20	3.0	2.7	1.7	1.0
49	8,5126795.3	1.2	8,5097781.7	0.4	8,0148	26	2,55572	30	4.5	4.0	2.5	2.0
$2^\circ 50'$	8,5126794.1	1.3	8,5097781.3	0.4	8,0173	25	2,55572	40	6.0	5.3	3.3	2.5
51	8,5126792.8	1.3	8,5097780.9	0.5	8,0199	26	2,55572	50	7.5	6.7	4.2	3.3
52	8,5126791.5	1.3	8,5097780.4	0.4	8,0224	25	2,55572					
53	8,5126790.3	1.2	8,5097780.0	0.4	8,0249	25	2,55572	20	3.0	2.7	1.7	1.0
54	8,5126789.0	1.3	8,5097779.6	0.4	8,0274	25	2,55572	30	4.5	4.0	2.5	2.0
55	8,5126787.7	1.3	8,5097779.2	0.5	8,0299	24	2,55572	40	6.0	5.3	3.3	2.5
56	8,5126786.4	1.3	8,5097778.7	0.4	8,0323	25	2,55572	50	7.5	6.7	4.2	3.3
57	8,5126785.1	1.3	8,5097778.3	0.4	8,0348	25	2,55572					
58	8,5126783.8	1.3	8,5097777.9	0.5	8,0372	24	2,55572	20	3.0	2.7	1.7	1.0
59	8,5126782.5	1.3	8,5097777.4	0.4	8,0397	25	2,55572	30	4.5	4.0	2.5	2.0
$3^\circ 0'$	8,5126781.2	1.3	8,5097777.0	0.4	8,0421	24	2,55571					

Achter deze logarithmen moet worden gevoegd: — 10.

Bij het interpoleeren van  $\log [1]$  en  $\log [2]$  wordt het decimaalpunt in de evenredige deelen één cijfer naar de linkerhand verplaatst.

$$\log [1] = 5,23078 - 10$$

$$\log 2 [1] = 5,532 - 10$$

$$\log [2] = 8,300 - 10$$

$$\log [3] = 4,38744 - 10$$

$$\log [4] = 4,38454 - 10$$

$\varphi$	log [I]	$A$	log [II]	$A$	log [III]	$A$	log [IV]	Evenredige deelen.					
								24	23	22	21	20	
$3^{\circ} 0'$	8,5126781.2	—	8,5097777.0	—	8,0421	+	2,55571						
1	8,5126779.9	1.3	8,5097776.6	0.4	8,0445	24	2,55571						
2	8,5126778.5	1.4	8,5097776.1	0.5	8,0468	23	2,55571	6''	2.4	2.3	2.2	2.1	2.0
3	8,5126777.2	1.3	8,5097775.7	0.4	8,0492	24	2,55571	7	2.8	2.7	2.6	2.5	2.3
4	8,5126775.8	1.4	8,5097775.2	0.5	8,0516	24	2,55571	8	3.2	3.1	2.9	2.8	2.7
5	8,5126774.5	1.3	8,5097774.8	0.4	8,0539	23	2,55571	9	3.6	3.5	3.3	3.2	3.0
6	8,5126773.1	1.4	8,5097774.3	0.5	8,0563	24	2,55571	10	4.0	3.8	3.7	3.5	3.3
7	8,5126771.8	1.3	8,5097773.9	0.4	8,0586	23	2,55571	20	8.0	7.7	7.3	7.0	6.7
8	8,5126770.4	1.4	8,5097773.4	0.5	8,0609	23	2,55571	30	12.0	11.5	11.0	10.5	10.0
9	8,5126769.0	1.4	8,5097772.9	0.5	8,0632	23	2,55571	40	16.0	15.3	14.7	14.0	13.3
$3^{\circ} 10'$	8,5126767.6	1.4	8,5097772.5	0.4	8,0655	23	2,55571	50	20.0	19.2	18.3	17.5	16.7
11	8,5126766.2	1.4	8,5097772.0	0.5	8,0677	22	2,55571		19	18	17	16	15
12	8,5126764.8	1.4	8,5097771.5	0.5	8,0700	23	2,55571						
13	8,5126763.4	1.4	8,5097771.1	0.4	8,0722	22	2,55571	6''	1.9	1.8	1.7	1.6	1.5
14	8,5126762.0	1.4	8,5097770.6	0.5	8,0745	23	2,55571	7	2.2	2.1	2.0	1.9	1.8
15	8,5126760.5	1.5	8,5097770.1	0.5	8,0767	22	2,55571	8	2.5	2.4	2.3	2.1	2.0
16	8,5126759.1	1.4	8,5097769.6	0.5	8,0789	22	2,55571	9	2.9	2.7	2.6	2.4	2.3
17	8,5126757.7	1.4	8,5097769.2	0.4	8,0811	22	2,55571	10	3.2	3.0	2.8	2.7	2.5
18	8,5126756.2	1.5	8,5097768.7	0.5	8,0833	22	2,55571	20	6.3	6.0	5.7	5.3	5.0
19	8,5126754.8	1.4	8,5097768.2	0.5	8,0855	21	2,55571	30	9.5	9.0	8.5	8.0	7.5
$3^{\circ} 20'$	8,5126753.3	1.5	8,5097767.7	0.5	8,0876	22	2,55571	40	12.7	12.0	11.3	10.7	10.0
21	8,5126751.8	1.5	8,5097767.2	0.5	8,0898	21	2,55571	50	15.8	15.0	14.2	13.3	12.5
22	8,5126750.3	1.5	8,5097766.7	0.5	8,0919	22	2,55571						
23	8,5126748.9	1.4	8,5097766.2	0.5	8,0941	22	2,55571		14	13	6	5	4
24	8,5126747.4	1.5	8,5097765.7	0.5	8,0962	21	2,55571						
25	8,5126745.9	1.5	8,5097765.2	0.5	8,0983	21	2,55571	6''	1.4	1.3	0.6	0.5	0.4
26	8,5126744.4	1.5	8,5097764.7	0.5	8,1004	21	2,55571	7	1.6	1.5	0.7	0.6	0.5
27	8,5126742.8	1.6	8,5097764.2	0.5	8,1025	21	2,55571	8	1.9	1.7	0.8	0.7	0.5
28	8,5126741.3	1.5	8,5097763.7	0.5	8,1046	21	2,55571	9	2.1	2.0	0.9	0.8	0.6
29	8,5126739.8	1.5	8,5097763.2	0.5	8,1067	20	2,55571	10	2.3	2.2	1.0	0.8	0.7
$3^{\circ} 30'$	8,5126738.2	1.6	8,5097762.7	0.5	8,1087	21	2,55571	20	4.7	4.3	2.0	1.7	1.3
31	8,5126736.7	1.5	8,5097762.2	0.6	8,1108	20	2,55571	30	7.0	6.5	3.0	2.5	2.0
32	8,5126735.1	1.6	8,5097761.6	0.6	8,1128	21	2,55571	40	9.3	8.7	4.0	3.3	2.7
33	8,5126733.6	1.5	8,5097761.1	0.5	8,1149	20	2,55571	50	11.7	10.8	5.0	4.2	3.3
34	8,5126732.0	1.6	8,5097760.6	0.5	8,1169	20	2,55570						
35	8,5126730.4	1.5	8,5097760.1	0.5	8,1189	20	2,55570						
36	8,5126728.9	1.6	8,5097759.6	0.6	8,1209	20	2,55570						
37	8,5126727.3	1.6	8,5097759.0	0.5	8,1229	20	2,55570						
38	8,5126725.7	1.6	8,5097758.5	0.5	8,1249	20	2,55570						
39	8,5126724.1	1.6	8,5097758.0	0.6	8,1269	19	2,55570						
$3^{\circ} 40'$	8,5126722.5	1.6	8,5097757.4	0.5	8,1288	19	2,55570						
41	8,5126720.8	1.7	8,5097756.9	0.6	8,1308	19	2,55570						
42	8,5126719.2	1.6	8,5097756.3	0.5	8,1327	20	2,55570						
43	8,5126717.6	1.7	8,5097755.8	0.6	8,1347	19	2,55570						
44	8,5126715.9	1.6	8,5097755.2	0.5	8,1366	19	2,55570						
45	8,5126714.3	1.7	8,5097754.7	0.6	8,1385	19	2,55570						
46	8,5126712.6	1.6	8,5097754.1	0.5	8,1404	19	2,55570						
47	8,5126711.0	1.7	8,5097753.6	0.6	8,1423	19	2,55570						
48	8,5126709.3	1.7	8,5097753.0	0.5	8,1442	19	2,55570						
49	8,5126707.6	1.6	8,5097752.5	0.6	8,1461	19	2,55570						
$3^{\circ} 50'$	8,5126706.0	1.7	8,5097751.9	0.5	8,1480	19	2,55570						
51	8,5126704.3	1.7	8,5097751.4	0.6	8,1499	19	2,55570						
52	8,5126702.6	1.7	8,5097750.8	0.6	8,1518	18	2,55570						
53	8,5126700.9	1.8	8,5097750.2	0.6	8,1536	19	2,55570						
54	8,5126699.1	1.7	8,5097749.6	0.5	8,1555	18	2,55570						
55	8,5126697.4	1.7	8,5097749.1	0.6	8,1573	18	2,55570						
56	8,5126695.7	1.7	8,5097748.5	0.6	8,1591	19	2,55570						
57	8,5126694.0	1.8	8,5097747.9	0.6	8,1610	18	2,55570						
58	8,5126692.2	1.7	8,5097747.3	0.5	8,1628	18	2,55570						
59	8,5126690.5	1.8	8,5097746.8	0.6	8,1646	18	2,55570						
$4^{\circ} 0'$	8,5126688.7	1.8	8,5097746.2	0.6	8,1664	18	2,55570						

Achter deze logarithmen moet worden gevoegd: — 10.

$$\begin{aligned}\log [1] &= 5,23078 - 10 \\ \log 2 [1] &= 5,532 - 10 \\ \log [2] &= 8,300 - 10 \\ \log [3] &= 4,38744 - 10 \\ \log [4] &= 4,38454 - 10.\end{aligned}$$

## TAFEL IIIa.

 $\varphi$  van 4° 0' tot 5° 0'.

$\varphi$	log [I]	A	log [II]	A	log [III]	A	log [IV]	Evenredige deelen.								
4° 0'	8,5126688.7	—	8,5097746.2	—	8,1664	18	2,55570			22	21	20	19	18		
1	8,5126687.0	1.7	8,5097745.6	0.6	8,1682	18	2,55570			6''	2.2	2.1	2.0	1.9	1.8	
2	8,5126685.2	1.8	8,5097745.0	0.6	8,1700	17	2,55570			7	2.6	2.5	2.3	2.2	2.1	
3	8,5126683.4	1.8	8,5097744.4	0.6	8,1717	18	2,55570			8	2.9	2.8	2.7	2.5	2.4	
4	8,5126681.6	1.8	8,5097743.8	0.6	8,1735	18	2,55569			9	3.3	3.2	3.0	2.9	2.7	
5	8,5126679.8	1.8	8,5097743.2	0.6	8,1753	17	2,55569			10	3.7	3.5	3.3	3.2	3.0	
6	8,5126678.0	1.8	8,5097742.6	0.6	8,1770	18	2,55569			20	7.3	7.0	6.7	6.3	6.0	
7	8,5126676.2	1.8	8,5097742.0	0.6	8,1788	17	2,55569			30	11.0	10.5	10.0	9.5	9.0	
8	8,5126674.4	1.8	8,5097741.4	0.6	8,1803	17	2,55569			40	14.7	14.0	13.3	12.7	12.0	
9	8,5126672.6	1.8	8,5097740.8	0.6	8,1823	18	2,55569			50	18.3	17.5	16.7	15.8	15.0	
4° 10'	8,5126670.7	1.9	8,5097740.2	0.6	8,1840	17	2,55569				17	16	15	14	8	
11	8,5126668.9	1.8	8,5097739.6	0.6	8,1857	17	2,55569				6''	1.7	1.6	1.5	1.4	0.8
12	8,5126667.1	1.9	8,5097739.0	0.7	8,1874	17	2,55569				7	2.0	1.9	1.8	1.6	0.9
13	8,5126665.2	1.8	8,5097738.3	0.6	8,1891	17	2,55569				8	2.3	2.1	2.0	1.9	1.1
14	8,5126663.4	1.9	8,5097737.7	0.6	8,1908	17	2,55569				9	2.6	2.4	2.3	2.1	1.2
15	8,5126661.5	1.9	8,5097737.1	0.6	8,1925	17	2,55569				10	2.8	2.7	2.5	2.3	1.3
16	8,5126659.6	1.9	8,5097736.5	0.7	8,1942	17	2,55569				20	5.7	5.3	5.0	4.7	2.7
17	8,5126657.7	1.8	8,5097735.8	0.6	8,1959	17	2,55569				30	8.5	8.0	7.5	7.0	4.0
18	8,5126655.9	1.9	8,5097735.2	0.6	8,1976	16	2,55569				40	11.3	10.7	10.0	9.3	5.3
19	8,5126654.0	1.9	8,5097734.6	0.7	8,1992	17	2,55569				50	14.2	13.3	12.5	11.7	6.7
4° 20'	8,5126652.1	1.9	8,5097733.9	0.7	8,2009	17	2,55569					7	6			
21	8,5126650.1	2.0	8,5097733.3	0.6	8,2026	16	2,55569					6''	0.7	0.6		
22	8,5126648.2	1.9	8,5097732.7	0.6	8,2042	16	2,55569					7	0.8	0.7		
23	8,5126646.3	1.9	8,5097732.0	0.7	8,2058	16	2,55569					8	0.9	0.8		
24	8,5126644.4	2.0	8,5097731.4	0.6	8,2075	17	2,55569					9	1.1	0.9		
25	8,5126642.4	1.9	8,5097730.7	0.7	8,2091	16	2,55569					10	1.2	1.0		
26	8,5126640.5	2.0	8,5097730.1	0.6	8,2107	17	2,55569					20	2.3	2.0		
27	8,5126638.5	2.0	8,5097729.4	0.7	8,2124	15	2,55569					30	3.5	3.0		
28	8,5126636.6	1.9	8,5097728.8	0.6	8,2140	16	2,55569					40	4.7	4.0		
29	8,5126634.6	2.0	8,5097728.1	0.7	8,2156	16	2,55569					50	5.8	5.0		
4° 30'	8,5126632.6	2.0	8,5097727.5	0.7	8,2172	16	2,55569									
31	8,5126630.6	1.9	8,5097726.8	0.6	8,2188	16	2,55568									
32	8,5126628.7	1.9	8,5097726.2	0.6	8,2203	15	2,55568									
33	8,5126626.7	2.0	8,5097725.5	0.7	8,2219	16	2,55568									
34	8,5126624.7	2.1	8,5097724.8	0.7	8,2235	16	2,55568									
35	8,5126622.6	2.0	8,5097724.1	0.7	8,2251	16	2,55568									
36	8,5126620.6	2.0	8,5097723.5	0.6	8,2266	15	2,55568									
37	8,5126618.6	2.0	8,5097722.8	0.7	8,2282	16	2,55568									
38	8,5126616.6	2.0	8,5097722.1	0.7	8,2297	16	2,55568									
39	8,5126614.5	2.1	8,5097721.4	0.7	8,2313	15	2,55568									
4° 40'	8,5126612.5	2.0	8,5097720.8	0.6	8,2328	15	2,55568									
41	8,5126610.4	2.1	8,5097720.1	0.7	8,2344	16	2,55568									
42	8,5126608.4	2.0	8,5097719.4	0.7	8,2359	15	2,55568									
43	8,5126606.3	2.1	8,5097718.7	0.7	8,2374	15	2,55568									
44	8,5126604.2	2.1	8,5097718.0	0.7	8,2389	15	2,55568									
45	8,5126602.1	2.1	8,5097717.3	0.7	8,2404	15	2,55568									
46	8,5126600.0	2.1	8,5097716.6	0.7	8,2419	15	2,55568									
47	8,5126597.9	2.1	8,5097715.9	0.7	8,2434	15	2,55568									
48	8,5126595.8	2.1	8,5097715.2	0.7	8,2449	15	2,55568									
49	8,5126593.7	2.1	8,5097714.5	0.7	8,2464	15	2,55568									
4° 50'	8,5126591.6	2.1	8,5097713.8	0.7	8,2479	15	2,55568									
51	8,5126589.5	2.2	8,5097713.1	0.7	8,2494	15	2,55568									
52	8,5126587.3	2.1	8,5097712.4	0.7	8,2509	14	2,55568									
53	8,5126585.2	2.1	8,5097711.7	0.8	8,2523	15	2,55568									
54	8,5126583.1	2.2	8,5097710.9	0.7	8,2538	15	2,55568									
55	8,5126580.9	2.2	8,5097710.2	0.7	8,2553	14	2,55567									
56	8,5126578.7	2.1	8,5097709.5	0.7	8,2567	15	2,55567									
57	8,5126576.6	2.2	8,5097708.8	0.7	8,2582	14	2,55567									
58	8,5126574.4	2.2	8,5097708.1	0.8	8,2596	15	2,55567									
59	8,5126572.2	2.2	8,5097707.3	0.7	8,2611	14	2,55567									
5° 0'	8,5126570.0	2.2	8,5097706.6	0.7	8,2625	14	2,55567									

Achter deze logarithmen moet worden gevoegd: — 10.

$\log [1] = 5,23078 - 10$

$\log 2 [1] = 5,532 - 10$

$\log [2] = 8,300 - 10$

$\log [3] = 4,38744 - 10$

$\log [4] = 4,38454 - 10$

Bij het interpoleeren van  $\log [1]$  en  $\log [2]$  wordt het decimaalpunt in de evenredige deelen één cijfer naar de linkerhand verplaatst.

$\varphi$	log [I]	$\Delta$	log [II]	$\Delta$	log [III]	$\Delta$	log [IV]	Evenredige deelen.					
								27	26	25	24	23	
$5^{\circ} 0'$	8,5126570,0	—	8,5097706,6	—	8,2625	14	2,55567						
1	8,5126567,8	2,2	8,5097705,9	0,7	8,2639	15	2,55567						
2	8,5126565,6	2,2	8,5097705,1	0,7	8,2654	14	2,55567	6''	2,7	2,6	2,5	2,4	2,3
3	8,5126563,4	2,2	8,5097704,4	0,7	8,2668	14	2,55567	7	3,2	3,0	2,9	2,8	2,7
4	8,5126561,2	2,2	8,5097703,7	0,8	8,2682	14	2,55567	8	3,6	3,5	3,3	3,2	3,1
5	8,5126558,9	2,2	8,5097702,9	0,7	8,2696	14	2,55567	9	4,1	3,9	3,8	3,6	3,5
6	8,5126556,7	2,2	8,5097702,2	0,8	8,2710	14	2,55567	10	4,5	4,3	4,2	4,0	3,8
7	8,5126554,5	2,2	8,5097701,4	0,7	8,2724	14	2,55567	20	9,0	8,7	8,3	8,0	7,7
8	8,5126552,2	2,3	8,5097700,7	0,8	8,2738	14	2,55567	30	13,5	13,0	12,5	12,0	11,5
9	8,5126549,9	2,3	8,5097699,9	—	8,2752	14	2,55567	40	18,0	17,3	16,7	16,0	15,3
$5^{\circ} 10'$	8,5126547,7	2,2	8,5097699,2	0,7	8,2766	14	2,55567	50	22,5	21,7	20,8	20,0	19,2
11	8,5126545,4	2,3	8,5097698,4	0,8	8,2780	14	2,55567						
12	8,5126543,1	2,3	8,5097697,6	—	8,2794	14	2,55567						
13	8,5126540,8	2,3	8,5097696,9	0,7	8,2807	13	2,55567						
14	8,5126538,5	2,3	8,5097696,1	0,8	8,2821	14	2,55567	6''	2,2	1,5	1,4	1,3	1,2
15	8,5126536,2	2,3	8,5097695,3	—	8,2835	13	2,55567	7	2,6	1,8	1,6	1,5	1,4
16	8,5126533,9	2,3	8,5097694,6	0,7	8,2848	13	2,55567	8	2,9	2,0	1,9	1,7	1,6
17	8,5126531,6	2,3	8,5097693,8	0,8	8,2862	14	2,55566	9	3,3	2,3	2,1	2,0	1,8
18	8,5126529,3	2,3	8,5097693,0	—	8,2875	13	2,55566	10	3,7	2,5	2,3	2,2	2,0
19	8,5126527,0	2,3	8,5097692,3	0,7	8,2889	14	2,55566	20	7,3	5,0	4,7	4,3	4,0
$5^{\circ} 20'$	8,5126524,6	2,4	8,5097691,5	0,8	8,2902	14	2,55566	30	11,0	7,5	7,0	6,5	6,0
21	8,5126522,3	2,3	8,5097690,7	0,8	8,2916	13	2,55566	40	14,7	10,0	9,3	8,7	8,0
22	8,5126519,9	2,4	8,5097689,9	—	8,2929	13	2,55566	50	18,3	12,5	11,7	10,8	10,0
23	8,5126517,6	2,3	8,5097689,1	0,8	8,2942	13	2,55566						
24	8,5126515,2	2,4	8,5097688,3	0,8	8,2956	14	2,55566						
25	8,5126512,8	2,4	8,5097687,5	0,8	8,2969	13	2,55566	6''	0,9	0,8	0,7		
26	8,5126510,5	2,3	8,5097686,7	0,7	8,2982	13	2,55566	7	1,1	0,9	0,8		
27	8,5126508,1	2,4	8,5097686,0	—	8,2995	13	2,55566	8	1,2	1,1	0,9		
28	8,5126505,7	2,4	8,5097685,2	0,8	8,3008	13	2,55566	9	1,4	1,2	1,1		
29	8,5126503,3	2,4	8,5097684,4	0,8	8,3021	13	2,55566	10	1,5	1,3	1,2		
$5^{\circ} 30'$	8,5126500,9	2,4	8,5097683,6	0,9	8,3034	13	2,55566	20	3,0	2,7	2,3		
31	8,5126498,4	2,5	8,5097682,7	0,8	8,3047	13	2,55566	30	4,5	4,0	3,5		
32	8,5126496,0	2,4	8,5097681,9	0,8	8,3060	13	2,55566	40	6,0	5,3	4,7		
33	8,5126493,6	2,4	8,5097681,1	0,8	8,3073	13	2,55566	50	7,5	6,7	5,8		
34	8,5126491,1	2,5	8,5097680,3	0,8	8,3086	13	2,55566						
35	8,5126488,7	2,4	8,5097679,5	0,8	8,3099	13	2,55566						
36	8,5126486,2	2,5	8,5097678,7	0,8	8,3112	12	2,55566						
37	8,5126483,8	2,4	8,5097677,9	0,9	8,3124	12	2,55566						
38	8,5126481,3	2,5	8,5097677,0	0,8	8,3137	13	2,55565						
39	8,5126478,8	2,5	8,5097676,2	0,8	8,3150	13	2,55565						
$5^{\circ} 40'$	8,5126476,4	2,4	8,5097675,4	0,8	8,3162	12	2,55565						
41	8,5126473,9	2,5	8,5097674,6	0,9	8,3175	12	2,55565						
42	8,5126471,4	2,5	8,5097673,7	0,8	8,3187	12	2,55565						
43	8,5126468,9	2,5	8,5097672,9	0,8	8,3200	12	2,55565						
44	8,5126466,4	2,6	8,5097672,1	0,9	8,3212	12	2,55565						
45	8,5126463,8	2,5	8,5097671,2	0,8	8,3225	12	2,55565						
46	8,5126461,3	2,5	8,5097670,4	0,9	8,3237	13	2,55565						
47	8,5126458,8	2,6	8,5097669,5	0,8	8,3250	12	2,55565						
48	8,5126456,2	2,5	8,5097668,7	0,9	8,3262	12	2,55565						
49	8,5126453,7	2,6	8,5097667,8	0,8	8,3274	12	2,55565						
$5^{\circ} 50'$	8,5126451,1	2,5	8,5097667,0	0,9	8,3286	13	2,55565						
51	8,5126448,6	2,6	8,5097666,1	0,8	8,3299	12	2,55565						
52	8,5126446,0	2,6	8,5097665,3	0,9	8,3311	12	2,55565						
53	8,5126443,4	2,5	8,5097664,4	0,9	8,3323	12	2,55565						
54	8,5126440,9	2,6	8,5097663,5	0,8	8,3335	12	2,55565						
55	8,5126438,3	2,6	8,5097662,7	0,9	8,3347	12	2,55565						
56	8,5126435,7	2,6	8,5097661,8	0,8	8,3359	12	2,55565						
57	8,5126433,1	2,6	8,5097661,0	0,9	8,3371	12	2,55565						
58	8,5126430,5	2,7	8,5097660,1	0,9	8,3383	12	2,55564						
59	8,5126427,8	2,6	8,5097659,2	0,9	8,3395	12	2,55564						
$6^{\circ} 0'$	8,5126425,2		8,5097658,3		8,3407		2,55564						

Achter deze logarithmen moet worden gevogd: — 10.

Bij het interpoleeren van log [II] en log [III] wordt het decimaalpunt in de evenredige deelen één cijfer naar de linkerhand verplaatst.

$$\log [1] = 5,23078 - 10$$

$$\log 2 [1] = 5,532 - 10$$

$$\log [2] = 8,300 - 10$$

$$\log [3] = 4,38744 - 10$$

$$\log [4] = 4,38154 - 10$$

## T A F E L IIIb.

 $\varphi$  van  $0^\circ 0' 15''$  tot  $0^\circ 10' 0''$ .

$\varphi$	log[III]	$A$	$\varphi$	log[III]	$A$									
$0' 15''$	5,19	+	$2' 0''$	6,09	+	$4' 0''$	6,39	+	$6' 0''$	6,566	+	$8' 0''$	6,691	+
20	5,31	12	10	6,12	3	10	6,41	2	10	6,578	12	10	6,700	9
25	5,41	10	20	6,16	4	20	6,42	1	20	6,589	11	20	6,708	8
30	5,49	8	30	6,19	3	30	6,44	2	30	6,600	11	30	6,717	9
40	5,61	12	40	6,21	2	40	6,46	1	40	6,611	11	40	6,725	9
50	5,71	10	50	6,24	3	50	6,47	50	6,622	50	6,734	8		
$1' 0''$	5,79	6	$3' 0''$	6,26		$5' 0''$	6,487	2	$7' 0''$	6,633	10	$9' 0''$	6,742	8
10	5,85	6	10	6,29	3	10	6,501	14	10	6,643	10	10	6,750	8
20	5,91	6	20	6,31	2	20	6,515	14	20	6,653	10	20	6,758	
30	5,96	5	30	6,33	2	30	6,528	13	30	6,663	10	30	6,765	7
40	6,01	5	40	6,35	2	40	6,541	13	40	6,672	9	40	6,773	8
50	6,05	4	50	6,37	2	50	6,554	12	50	6,682	10	50	6,780	7
$2' 0''$	6,09	4	$4' 0''$	6,39		$6' 0''$	6,566		$8' 0''$	6,691	9	$10' 0''$	6,788	

Achter deze logarithmen moet worden gevoegd: — 10.

## Teekens der berekende grootheden.

$A_{1,2}$	$0^\circ$	$90^\circ$	$180^\circ$	$270^\circ$
	90	180	270	360
$b$	+	—	—	+
$c$	+	+	—	—
$t$	+	+	—	—
$\lambda$	+	+	—	—
$t'$	+	—	+	—
(1)	+	—	—	+

$b'$ , (2), (3), (4), (5) en (6) zijn altijd *positief*.

Men kan verwaarlozen:

- (1) als  $\log b_0 < 0,358$
- (2) als  $\log S \sin A_{1,2} < 3,072$
- (3) als  $\log b_0 < 1,734$
- (4) als  $\log b_0 < 2,584$
- (5) als  $\log t_0 < 1,734$
- (6) als  $\log \lambda_0 < 2,234$

NB. Het staatje aangevende de teekens der berekende grootheden geldt slechts wanneer  $\varphi'$  *positief* is. In de enkele gevallen, dat  $\varphi'$  *negatief* wordt gevonden, verandert echter alleen het teeken van  $t$  en is  $b'$  altijd *negatief*.

## C.

1. Formules voor de berekening van de lengte  
en het azimut eener driehoeks zijde uit de geographische lengten  
en breedten van hare eindpunten.

(Zie Figuur 5a, 5b, 5c en 5d.)

- Gegeven:  $\varphi_2$  de geographische breedte van het punt  $P_2$ , dat het verft van den aequator is gelegen, zoowel noordelijk als zuidelijk positief genomen;  
 $\varphi_1$  de geographische breedte van het punt  $P_1$ , dat het dichtst bij den aequator is gelegen, positief genomen als het punt zich bevindt aan *dezelfde zijde* van den aequator als het punt  $P_2$ , negatief als het zich bevindt aan de *tegenovergestelde zijde* van den aequator;  
 $l_2$  de geographische lengte van het punt  $P_2$ , zoowel oostelijk als westelijk positief genomen;  
 $l_1$  de geographische lengte van het punt  $P_1$ , zoowel oostelijk als westelijk positief genomen.

- Gevraagd:  $S$  de lengte van de driehoeks zijde  $P_1 P_2$ ;  
 $A_{1,2}$  het azimut van de driehoeks zijde  $P_1 P_2$  in het punt  $P_1$ ;  
 $A_{2,1}$  het azimut van de driehoeks zijde  $P_2 P_1$  in het punt  $P_2$ .

Noemt men:

$$\text{de gemiddelde breedte } \varphi_m = \frac{\varphi_1 + \varphi_2}{2},$$

$$\text{het breedteverschil } \beta = \varphi_2 - \varphi_1,$$

het lengteverschil, steeds positief genomen,

$\lambda = \pm (l_2 - l_1)$  wanneer de punten  $P_1$  en  $P_2$  beiden oostelijke of beiden westelijke lengte hebben,

$\lambda = l_2 + l_1$  wanneer het punt  $P_2$  oostelijke en het punt  $P_1$  westelijke lengte heeft,

de meridiaanconvergentie,  $\alpha$  en

het gemiddelde azimut, dat steeds is gelegen tusschen  $0^\circ$  en  $90^\circ$ ,  $A_m$ , dan is:

$$\log \alpha = \log \lambda \sin \varphi_m \sec \frac{1}{2} \beta + [5] \lambda^2 \cos^2 \varphi_m$$

$$\log S \sin A_m = \log [V] \lambda \cos \varphi_m - [6] \lambda^2 \sin^2 \varphi_m + [6] \beta^2 + [VII] \beta^2$$

$$\log S \cos A_m = \log [VI] \beta \cos \frac{1}{2} \lambda + [7] \lambda^2 \cos^2 \varphi_m + [VIII] \beta^2,$$

Verder heeft men:

a. Het punt  $P_2$  ligt oostelijk van  $P_1$  en

i<sup>o</sup>. ten Noorden van den aequator (zie Figuur 5a):

$$A_{1,2} = A_m - \frac{1}{2} \alpha$$

$$A_{2,1} = 180^\circ + A_m + \frac{1}{2} \alpha$$

2<sup>o</sup>. ten *Zuiden* van den aequator (zie Figuur 5c):

$$\begin{aligned} A_{1 \cdot 2} &= 180^\circ - A_m + \frac{1}{2} \alpha \\ A_{2 \cdot 1} &= 360^\circ - A_m - \frac{1}{2} \alpha \end{aligned}$$

b. Het punt P<sub>2</sub> ligt *westelijk* van P<sub>1</sub> en

1<sup>o</sup>. ten *Noorden* van den aequator (zie Figuur 5b):

$$\begin{aligned} A_{1 \cdot 2} &= 360^\circ - A_m + \frac{1}{2} \alpha \\ A_{2 \cdot 1} &= 180^\circ - A_m - \frac{1}{2} \alpha \end{aligned}$$

2<sup>o</sup>. ten *Zuiden* van den aequator (zie Figuur 5d):

$$\begin{aligned} A_{1 \cdot 2} &= 180^\circ + A_m - \frac{1}{2} \alpha \\ A_{2 \cdot 1} &= A_m + \frac{1}{2} \alpha \end{aligned}$$

In deze formules betrekken de coefficiënten tusschen [], wanneer men de correctietermen der logarithmen uitdrukt in eenheden van de *zevende* decimaal:

$$\begin{aligned} [V] &= N_m \text{ boog } 1'' \\ [VI] &= R_m \text{ boog } 1'' \\ [VII] &= \frac{1}{2} M e^2 10^7 \text{ boog}^2 1'' \cos 2q_m. \end{aligned}$$

De logarithmen dezer grootheden voor de verschillende waarden van  $\varphi$  zijn te vinden in *Tafel IV* en allen te nemen met het argument  $q_m$ ; log [V] en log [VI] vindt men in die tafel in *acht*, en log [VII] in *drie* decimalen voor de waarden van  $\varphi$  van  $0^\circ$  tot  $6^\circ$ , opklimmende van minuut tot minuut.

Verder is:

$$\begin{array}{ll} [5] = \frac{1}{2} M 10^7 \text{ boog}^2 1'' & \log [5] = 4,9298 - 10 \\ [6] = \frac{1}{2} M 10^7 \text{ boog}^2 1'' & \log [6] = 4,6287 - 10 \\ [7] = \frac{1}{2} M \left( 1 - 6 \frac{e^2}{1 - e^2} \right) 10^7 \text{ boog}^2 1'' & \log [7] = 4,6109 - 10. \end{array}$$

Voor waarden van  $S$  tot 100000 M. zijn deze formulæ toe te passen bij het gebruik van logarithmen met *acht* decimalen als de geographische lengten en breedten zijn gegeven tot in *vier* decimalen der secunden, en men het azimut wil berekenen tot in *drie* decimalen der secunden.

Streng genomen is de tweede correctieterm in de formule voor  $\log S \sin A_m$  niet [6]  $\beta^2$ , maar

$$\frac{1}{2} M \left( 1 - 6 \frac{e^2}{1 - e^2} \sin^2 q_m \right) 10^7 \text{ boog}^2 1''. \beta^2.$$

De maximumfout, die men begaat door in de plaats hiervan te bezigen  $\beta^2$  vermenigvuldigd met de constante waarde [6], hetgeen alleen juist is voor  $\varphi = 0^\circ$ , is voor  $\varphi = 6^\circ$  en  $S = 100000$  M.:

0.02 eenheden van de *zevende* decimaal van  $\log S \sin A_m$ .

Verder is de eerste correctieterm in de formule voor  $\log S \cos A_m$  eigenlijk niet [7]  $\lambda^2 \cos^2 \varphi_m$ , maar:

$$\frac{1}{2\pi} M \left( 1 - 6 \frac{\epsilon^2}{1-\epsilon^2} \cos^2 \varphi_m \right) 10^7 \text{ boog}^2 1'' \cdot \lambda^2 \cos^2 \varphi_m.$$

De maximumfout die men begaat door in de plaats hiervan te bezigen  $\lambda^2 \cos^2 \varphi_m$  vermenigvuldigd met de constante waarde [7], hetgeen alleen juist is voor  $\varphi = 0^\circ$ , is voor  $\varphi = 6^\circ$  en  $S = 100000$  M. eveneens:

0,02 eenheden van de zevende decimaal van  $\log S \cos A_m$ .

De gang der berekening is als volgt (zie de bijgevoegde voorbeelden):

$\varphi_2$ ,  $\varphi_1$ ,  $l_2$  en  $l_1$  worden in het schema ingevuld;

$\beta$ ,  $\frac{1}{2}\beta$ ,  $\varphi_m$ ,  $\lambda$  en  $\frac{1}{2}\lambda$  worden berekend;

$\log \lambda$ ,  $\log \sin \varphi_m$ ,  $\log \cos \varphi_m$ ,  $\log \sec \frac{1}{2}\beta$  en  $\log \cos \frac{1}{2}\lambda$  worden in de logarithmentafel opgezocht, in de hoofdkolom ingevuld en met afronding tot op het vereischte aantal decimalen in de kolom voor de correctietermen overgenomen;

$\log [V]$ ,  $\log [VI]$  en  $\log [VII]$  worden met het argument  $\varphi_m$  in *Tafel IV* opgezocht en ingevuld;

de correctietermen (1) tot en met (5) worden berekend en in de hoofdkolom ingevuld;

$\log \alpha$ ,  $\log S \sin A_m$  en  $\log S \cos A_m$  worden berekend, de beide laatste grootheden aan het benedencinde der kolom overgeschreven, door aftrekking wordt  $\log \tan A_m$  gevonden;

de waarden van  $\alpha$  en van  $A_m$  worden in de logarithmentafel opgezocht en op de aangegeven plaatsen ingevuld;

$\frac{1}{2}\alpha$  wordt ingevuld en  $A_{1,2}$  en  $A_{2,1}$  worden berekend;

$\log \sin A_m$  en  $\log \cos A_m$  worden in de logarithmentafel opgezocht, ingevuld respectievelijk onder  $\log S \sin A_m$  en  $\log S \cos A_m$ , door aftrekking wordt tweemaal  $\log S$  gevonden, die op de aangewezen plaats wordt overgeschreven.

Alle berekende grootheden hebben steeds het *positieve* teeken.

Men kan verwaarlozen:

- (1) als  $\log \lambda < 1,885$
- (2) als  $\log \lambda < 3,016$
- (3) als  $\log \beta < 2,035$
- (4) als  $\log \lambda < 2,044$
- (5) als  $\log \beta < 2,884$

2. Formules voor het berekenen van de verandering  
van het azimut eener driehoeks zijde ten gevolge van een  
geringe verschuiving harer eindpunten.

Gegeven:  $\varphi_2$  de geographische breedte van het punt  $P_2$ , dat op den grootsten afstand van den evenaar is gelegen, zoowel noordelijk als zuidelijk positief genomen;  
 $\varphi_1$  de geographische breedte van het punt  $P_1$ , dat op den kleinste afstand van den evenaar is gelegen, positief genomen als het punt  $P_1$  zich bevindt aan dezelfde zijde van den aequator als het punt  $P_2$ , negatief als het punt  $P_1$  zich bevindt aan de tegenovergestelde zijde van den aequator;  
 $\lambda$  het lengteverschil der beide punten  $P_1$  en  $P_2$ , steeds positief genomen;  
 $A_m$  het gemiddeld azimut der driehoeks zijde  $P_1 P_2$ .

Gevraagd:  $\Delta A_{1 \cdot 2}$  de verandering van het azimut der driehoeks zijde  $P_1 P_2$  in het punt  $P_1$ ;  
 $\Delta A_{2 \cdot 1}$  de verandering van het azimut der driehoeks zijde  $P_2 P_1$  in het punt  $P_2$ .

De verschuivingen der punten worden voorgesteld door:

- $\Delta \varphi_1, \Delta \varphi_2$  in de richting van den meridiaan, in noordelijke richting positief, in zuidelijke richting negatief genomen;
- $\Delta l_1, \Delta l_2$  in de richting van de parallel, in oostelijke richting positief, in westelijke richting negatief genomen.

Noemt men:

$$\begin{aligned} \text{het breedteverschil} \quad \beta &= \varphi_2 - \varphi_1 \\ \text{de gemiddelde breedte} \quad \varphi_m &= \frac{\varphi_2 + \varphi_1}{2} \end{aligned}$$

en stelt men:

$$A = \frac{\sin A_m \cos A_m}{\lambda \text{ boog } 1''}$$

$$B = \frac{\sin A_m \cos A_m}{\beta \text{ boog } 1''}$$

$$a = \frac{1}{2} \sin \varphi_m$$

$$b = \frac{1}{2} \frac{\sin \varphi_m}{\cos \varphi_m} \sin A_m \cos A_m$$

$$\log \frac{1}{\text{boog } 1''} = 5,31443 \quad \log \frac{1}{2} = 9,69897 - 10$$

dan heeft men:

- a. het punt  $P_2$  ligt oostelijk van  $P_1$  en

1°. ten Noorden van den aequator:

$$\Delta A_{1 \cdot 2} = -(A - a) \Delta l_1 + (A - a) \Delta l_2 + (B - b) \Delta \varphi_1 - (B + b) \Delta \varphi_2$$

$$\Delta A_{2 \cdot 1} = -(A + a) \Delta l_1 + (A + a) \Delta l_2 + (B - b) \Delta \varphi_1 - (B + b) \Delta \varphi_2$$

z<sup>o</sup>. ten Zuiden van den aequator:

$$\Delta A_{1 \cdot 2} = + (A - a) \Delta l_1 - (A - a) \Delta l_2 + (B - b) \Delta \varphi_1 - (B + b) \Delta \varphi_2$$

$$\Delta A_{2 \cdot 1} = + (A + a) \Delta l_1 - (A + a) \Delta l_2 + (B - b) \Delta \varphi_1 - (B + b) \Delta \varphi_2$$

b. het punt P<sub>2</sub> ligt westelijk van P<sub>1</sub> en

z<sup>o</sup>. ten Noorden van den aequator:

$$\Delta A_{1 \cdot 2} = - (A - a) \Delta l_1 + (A - a) \Delta l_2 - (B - b) \Delta \varphi_1 + (B + b) \Delta \varphi_2$$

$$\Delta A_{2 \cdot 1} = - (A + a) \Delta l_1 + (A + a) \Delta l_2 - (B - b) \Delta \varphi_1 + (B + b) \Delta \varphi_2$$

z<sup>o</sup>. ten Zuiden van den aequator:

$$\Delta A_{1 \cdot 2} = + (A - a) \Delta l_1 - (A - a) \Delta l_2 - (B - b) \Delta \varphi_1 + (B + b) \Delta \varphi_2$$

$$\Delta A_{2 \cdot 1} = + (A + a) \Delta l_1 - (A + a) \Delta l_2 - (B - b) \Delta \varphi_1 + (B + b) \Delta \varphi_2$$


---

Verandert slechts één der beide cindpunten van plaats, dan moet men in de formules de  $\Delta l$  en  $\Delta \varphi$  van het punt dat niet van plaats verandert = 0 stellen.

Ligt één punt op het noordelijk, één op het zuidelijk halffrond, dan moeten de formules worden toegepast voor het halffrond van het punt, dat op den grootsten afstand van den aequator is gelegen.

Alle logarithmen, voor de berekening der coefficienten  $A$ ,  $B$ ,  $a$  en  $b$  noodig, zijn reeds bij de oplossing van het vraagstuk 1 opgezocht; de berekening wordt daarom het gemakkelijkst in hetzelfde schema uitgevoerd.

## a. Noordelijke

1 2 3 4

$P_2$ (grootste breedte)	<i>Siboga</i>	<i>Dolok Dsaoed</i>	<i>Dolok Dsaoed</i>	
$P_1$ (kleinste breedte)	<i>Dolok Loeboe Raja</i>	<i>Dolok Loeboe Raja</i>	<i>Siboga</i>	
$\varphi_2$	$1^{\circ}45'32'',407 N.$	$1^{\circ}54'10'',385 N.$	$1^{\circ}54'10'',385 N.$	
$\varphi_1$	$1^{\circ}32'16'',831 N.$	$1^{\circ}32'16'',831 N.$	$1^{\circ}45'32'',407 N.$	
$\beta$	$13'15'',576$	$21'53'',554$	$8'37'',978$	
$\frac{1}{2}\beta$	$6'37'',788$	$10'56'',777$	$4'18'',989$	
$\varphi_m$	$1^{\circ}38'54'',619 N.$	$1^{\circ}43'13'',608 N.$	$1^{\circ}49'51'',396 N.$	
$I_2$	$1^{\circ}32'28'',477 W.$	$1^{\circ}12'7'',026 W.$	$1^{\circ}12'7'',026 W.$	
$I_1$	$1^{\circ}10'4'',298 W.$	$1^{\circ}10'4'',298 W.$	$1^{\circ}32'28'',477 W.$	
$\lambda$	$22'24'',179$	$2'2'',728$	$20'21'',451$	
$\frac{1}{2}\lambda$	$11'12'',090$	$1'1'',364$	$10'10'',726$	
log $S$	4,6830089.6	4,6076727.9	4,6123774.1	
$P_2 \stackrel{O}{W}$ van $P_1 \stackrel{+}{A_m}$	360°	360°	360°	360°
$P_2 \stackrel{O}{W}$ van $P_1 \stackrel{+}{\frac{1}{2}\alpha}$	$-59^{\circ}32'15'',347$	$-5^{\circ}22'15'',563$	$+67^{\circ}8'48'',516$	
$A_{1-2}$	$+19',335$	$+1',843$	$-19',513$	
	$300^{\circ}28'3'',99$	$354^{\circ}37'46'',28$	$67^{\circ}8'29'',00$	
$P_2 \stackrel{O}{W}$ van $P_1 \stackrel{+}{A_m}$	180°	180°	180°	180°
$P_2 \stackrel{O}{W}$ van $P_1 \stackrel{+}{\frac{1}{2}\alpha}$	$-59^{\circ}32'15'',347$	$-5^{\circ}22'15'',563$	$+67^{\circ}8'48'',518$	
$A_{2-1}$	$-19',335$	$-1',843$	$+19',513$	
	$120^{\circ}27'25'',32$	$174^{\circ}37'42'',59$	$247^{\circ}9'8'',03$	
log $\lambda$	3,1284570.9	2,0889436.5	3,0868760.6	
log sin $\varphi_m$	8,4589078.1	8,4774533.4	8,5044783.6	
log sec $\frac{1}{2}\beta$	8.1	21.9	3.3	
+ (1)	+ 15.4	+ 0.1	+ 12.7	
log $a$	1,5873672.5	0,5663991.9	1,5913560.2	
$\alpha$	38'',669	3'',685	39'',026	
Arg. $\varphi_m$	1,4902195.3	1,4902196.4	1,4902198.1	
log [V]	3,1284570.9	2,0889436.5	3,0868760.6	
log $\lambda$	9,9998202.0	9,9998041.9	9,9997781.7	
log cos $\varphi_m$	— 0.01	—	— 0.01	
— (2)	—	—	—	
+ (3)	+ 2.69	+ 7.34	+ 1.14	
+ (5)	+ 0.05	+ 0.15	—	
log $S \sin A_m$	4,6184970.9	3,5789682.3	4,5768741.5	
log sin $A_m$	9,9354881.3	8,9712954.4	9,9644967.5	
log $S$	4,6830089.6	4,6076727.9	4,6123774.0	
Arg. $\varphi_m$	1,4873135.7	1,4873138.9	1,4873144.1	
log [VI]	2,9006816.7	3,1184479.2	2,7143113.1	
log $\beta$	9,9999977.1	9,9999999.7	9,9999981.2	
log cos $\frac{1}{2}\lambda$	—	—	+ 6.09	
+ (4)	+ 7.37	+ 0.06	—	
+ (5)	+ 0.05	+ 0.15	—	
log $S \cos A_m$	4,3879936.9	4,6057618.0	4,2016244.5	
log cos $A_m$	9,7049847.3	9,9980890.2	9,5892470.4	
log $S$	4,6830089.6	4,6076727.8	4,6123774.1	
log $S \sin A_m$	4,6184970.9	3,5789682.3	4,5768741.5	
log $S \cos A_m$	4,3879936.9	4,6057618.0	4,2016244.5	
log tang $A_m$	0,2305034.0	8,9732064.3	0,3752497.0	

## ELDEN.

## Breedte.

	I Siboga westelijk van D. LoeboeRaja	2 D. Dsaoed westelijk van D. LoeboeRaja	3 D. Dsaoed oostelijk van Siboga	4	Aanmerkingen.
log $\frac{r}{\text{boog } r''}$	5,31443	5,31443	5,31443	5,31443	
log sin $A_m$	9,93549	8,97130	9,96450		
log cos $A_m$	9,70498	9,99809	9,58925		
C. log $\lambda$	6,87154	7,91105	6,91312		
C. log $\beta$	7,09932	6,88155	7,28569		
log $A$	1,82644	2,19487	1,78130		
log $B$	2,05422	1,16537	2,15387		
log $\frac{1}{2}$	9,6990	9,6990	9,6990	9,6990	
log sin $\varphi_m$	8,4589	8,4775	8,5045		
log $a$	8,1579	8,1765	8,2035		
C. log cos $\varphi_m$	2	2	2		
log sin $A_m$	9,9355	9,9713	9,9645		
log cos $A_m$	9,7050	9,9981	9,5892		
log $b$	6,7986	8,1461	7,7574		
$A$	67,06	156,64	60,44		
$a$	0,01	0,02	0,02		
$A + a$	67,07	156,66	60,46		
$A - a$	67,05	156,62	60,42		
$B$	113,30	14,63	142,52		
$b$	—	0,01	0,01		
$B + b$	113,30	14,64	142,53		
$B - b$	113,30	14,62	142,51		
$\Delta A_{1'2} = \begin{cases} -(A-a) \\ +(A-a) \\ +(B-b) \\ \mp(B+b) \end{cases}$	$\begin{cases} -67,05 \\ +67,05 \\ -113,30 \\ +113,30 \end{cases}$	$\begin{cases} -156,62 \\ +156,62 \\ -14,62 \\ +14,64 \end{cases}$	$\begin{cases} -60,42 \\ +60,42 \\ +142,51 \\ -142,53 \end{cases}$		$\times \Delta l_1$ $\times \Delta l_2$ $\times \Delta \varphi_1$ $\times \Delta \varphi_2$
$\Delta A_{2'1} = \begin{cases} -(A+a) \\ +(A+a) \\ \pm(B-b) \\ \mp(B+b) \end{cases}$	$\begin{cases} -67,07 \\ +67,07 \\ -113,30 \\ +113,30 \end{cases}$	$\begin{cases} -156,66 \\ +156,66 \\ -14,62 \\ +14,64 \end{cases}$	$\begin{cases} -60,46 \\ +60,46 \\ +142,51 \\ -142,53 \end{cases}$		$\times \Delta l_1$ $\times \Delta l_2$ $\times \Delta \varphi_1$ $\times \Delta \varphi_2$
log [5]	4,9298	4,9298	4,9298	4,9298	
$z \log \lambda$	6,2569	4,1779	6,1738		
$z \log \cos \varphi_m$	9,9996	9,9996	9,9996		
log (1)	1,1863	9,1073	1,1034		
log [6]	4,6287	4,6287	4,6287	4,6287	
$z \log \lambda$	6,2569	—	6,1738		
$z \log \sin \varphi_m$	6,9178	—	7,0090		
log (2)	7,8034	—	7,8115		
log [6]	4,6287	4,6287	4,6287	4,6287	
$z \log \beta$	5,8014	6,2369	5,4286		
log (3)	0,4301	0,8656	0,0573		
log [7]	4,6109	4,6109	4,6109	4,6109	
$z \log \lambda$	6,2569	4,1779	6,1738		
$z \log \cos \varphi_m$	9,9996	9,9996	9,9996		
log (4)	0,8674	8,7884	0,7843		
Arg. $\varphi_m$	log [VII]	2,929	2,929		
	$z \log \beta$	5,801	6,237		
	log (5)	8,730	9,166	—	

## b. Zuidelijke

1 2 3 4

$P_2$ (grootste breedte)	<i>Indrapoera</i>	<i>Boekit Gedang</i>	<i>Indrapoera</i>	<i>Boekit Pace</i>
$P_1$ (kleinste breedte)	<i>Boekit Gedang</i>	<i>Piek v. Indrapoera</i>	<i>Piek v. Indrapoera</i>	<i>Goenoeng Ophir</i>
$\varphi_2$	$2^{\circ} 2' 15'' , 638 Z$	$1^{\circ} 55' 18'' , 374 Z$	$2^{\circ} 2' 15'' , 638 Z$	$0^{\circ} 12' 18'' , 674 Z$
$\varphi_1$	$1^{\circ} 55 18 , 374 Z$	$1^{\circ} 36 27 , 186 Z$	$1^{\circ} 36 27 , 186 Z$	$0^{\circ} 426 , 678 N$
$\beta$	$6' 57'' , 264$	$18' 51'' , 188$	$25' 48'' , 452$	$16' 45'' , 352$
$\frac{1}{2}\beta$	$3' 28 , 632$	$9' 25 , 594$	$12' 54 , 226$	$8' 22 , 676$
$\varphi_m$	$1^{\circ} 58 47 , 006 Z$	$1^{\circ} 45 52 , 780 Z$	$1^{\circ} 49 21 , 412 Z$	$0^{\circ} 3 55 , 998 Z$
$I_2$	$0^{\circ} 32' 17'' , 394 O$	$1^{\circ} 8' 16'' , 358 O$	$0^{\circ} 32' 17'' , 394 O$	$0^{\circ} 2' 3'' , 765 O$
$I_1$	$1^{\circ} 8 16 , 358 O$	$1^{\circ} 0 26 , 165 O$	$1^{\circ} 0 26 , 165 O$	$0^{\circ} 19 48 , 383 W$
$\lambda$	$35' 58'' , 964$	$7' 50'' , 193$	$28' 8'' , 771$	$0^{\circ} 21' 52'' , 148$
$\frac{1}{2}\lambda$	$17 59 , 482$	$3 55 , 097$	$14 4 , 386$	$10 56 , 074$
$\log S$	4,83207474.4	4,5758561.2	4,8488421.9	4,7074239.6
$P_2 \stackrel{O}{W}$ van $P_1 \stackrel{-}{A_m}$	180°	180°	180°	180°
$+ 79^{\circ} 7' 34'' , 432$	$- 22^{\circ} 41' 50'' , 609$	$+ 47^{\circ} 39' 31'' , 100$	$- 52^{\circ} 43' 34'' , 625$	
$P_2 \stackrel{O}{W}$ van $P_1 \stackrel{+}{\frac{1}{2}\alpha}$	$- 37 , 292$	$+ 7 , 240$	$- 26 , 856$	$+ 0 , 751$
$A_{1-2}$	$259^{\circ} 6' 57'' , 14$	$157^{\circ} 18' 16'' , 63$	$227^{\circ} 39' 4'' , 24$	$127^{\circ} 16' 26'' , 13$
$P_2 \stackrel{O}{W}$ van $P_1 \stackrel{-}{A_m}$	360°	360°	360°	360°
$+ 79^{\circ} 7' 34'' , 432$	$- 22^{\circ} 41' 50'' , 609$	$+ 47^{\circ} 39' 31'' , 100$	$- 52^{\circ} 43' 34'' , 625$	
$P_2 \stackrel{O}{W}$ van $P_1 \stackrel{+}{\frac{1}{2}\alpha}$	$+ 37 , 292$	$- 7 , 240$	$+ 26 , 856$	$- 0 , 751$
$A_{2-1}$	$79^{\circ} 8' 11'' , 72$	$337^{\circ} 18' 2'' , 15$	$47^{\circ} 39' 57'' , 96$	$307^{\circ} 16' 24'' , 62$
$\log \lambda$	3,3342453.9	2,6722761.6	3,2275707.8	3,1179828.2
$\log \sin \varphi_m$	8,5383952.5	8,4884700.1	8,5024989.4	7,0584831.3
$\log \sec \frac{1}{2}\beta$	2.5	16.4	30.8	13.0
$(1)$	$+ 39.6$	$- 1.9$	$+ 24.2$	$+ 14.6$
$\log \alpha$	1,8726448.5	1,1607480.0	1,7300752.2	0,1764687.1
$\alpha$	$74'' , 584$	$14'' , 479$	$53'' , 713$	$1'' , 501$
Arg. $\varphi_m$	1,4902200.6	1,4902197.1	1,4902198.0	1,4902183.3
$\log \lambda$	3,3342453.9	2,6722761.6	3,2275707.8	3,1179828.2
$\log \cos \varphi_m$	9,9997407.0	9,9997940.0	9,9997802.4	9,9999997.4
$(2)$	$- 0.02$	$-$	$- 0.01$	$- 0.00$
$(3)$	$+ 0.74$	$+ 5.44$	$+ 10.20$	$+ 4.30$
$(5)$	$-$	$+ 0.11$	$+ 0.21$	$+ 0.09$
$\log S \sin A_m$	4,8242062.2	4,1622904.3	4,7175718.6	4,6082013.3
$\log \sin A_m$	9,9921314.7	9,5864342.9	9,8687296.8	9,9007773.6
$\log S$	4,8320747.5	4,5758561.4	4,8488421.8	4,7074239.7
Arg. $\varphi_m$	1,4873151.6	1,4873140.9	1,4873143.7	1,4873099.8
$\log \beta$	2,6204109.4	3,0535347.7	3,1898977.3	3,0023181.3
$\log \cos \frac{1}{2}\lambda$	9,9999940.3	9,9999997.4	9,9999996.5	9,9999978.0
$(4)$	$+ 19.01$	$+ 0.90$	$+ 11.63$	$+ 7.02$
$(5)$	$-$	$+ 0.11$	$+ 0.21$	$+ 0.09$
$\log S \cos A_m$	4,1077220.3	4,5408487.0	4,6772096.3	4,4896266.2
$\log \cos A_m$	9,2756473.0	9,9649925.9	9,8283674.3	9,7822026.7
$\log S$	4,8320747.3	4,5758561.1	4,8488422.0	4,7074239.5
$\log S \sin A_m$	4,8242062.2	4,1622903.9	4,7175718.6	4,6082013.3
$\log S \cos A_m$	4,1077220.3	4,5408486.6	4,6772096.3	4,4896266.2
$\log \tan A_m$	0,7164841.9	9,6214417.3	0,0403622.3	0,1185747.1

## Breedte.

I      2      3      4

	<i>Indrapoera</i> westelijk van <i>B. Gedang</i>	<i>B. Gedang</i> oostelijk van <i>Pickv. Indrap.</i>	<i>Indrapoera</i> westelijk van <i>Pickv. Indrap.</i>	<i>B. Paoe</i> oostelijk van <i>G. Ophir</i>	Aanmerkingen.
log $\frac{1}{\text{boog } \Gamma''}$	5,31443	5,31443	5,31443	5,31443	
log sin $A_m$	9,99213	9,58643	9,86873	9,90078	
log cos $A_m$	9,27565	9,96499	9,82367	9,78220	
C. log $\lambda$	6,66575	7,32772	6,77243	6,88202	
C. log $\beta$	7,37959	6,94647	6,81010	6,99768	
log $A$	1,24796	2,19357	1,77926	1,87943	
log $B$	1,96180	1,81232	1,81693	1,99509	
log $\lambda$	9,6990	9,6990	9,6990	9,6990	
log sin $\varphi_m$	8,5384	8,4885	8,5025	7,0585	
log $a$	8,2374	8,0875	8,2015	6,7575	
C. log cos $\varphi_m$	3	2	2	—	
log sin $A_m$	9,9921	9,5864	9,8687	9,9008	
log cos $A_m$	9,2756	9,9650	9,8237	9,7822	
log $b$	7,5054	7,6391	7,8941	6,4405	
$A$	18,11	156,16	60,15	75,76	
$a$	0,03	0,01	0,02	—	
$A + a$	18,14	156,17	60,17	75,76	
$A - a$	18,08	156,15	60,13	75,76	
$B$	91,58	64,91	65,60	98,88	
$b$	—	—	0,01	—	
$B + b$	91,58	64,91	65,61	98,88	
$B - b$	91,58	64,91	65,59	98,88	
$\Delta A_{1,2} =$	$\begin{cases} +(A-a) \\ -(A-a) \\ \pm(B-b) \\ \mp(B+b) \end{cases}$	$\begin{cases} +18,08 \\ -18,08 \\ -91,58 \\ +91,58 \end{cases}$	$\begin{cases} +156,15 \\ -156,15 \\ +64,91 \\ -64,91 \end{cases}$	$\begin{cases} +60,13 \\ -60,13 \\ -65,59 \\ +65,61 \end{cases}$	$\begin{cases} +75,76 \\ -75,76 \\ +98,88 \\ -98,88 \end{cases}$
$\Delta A_{2,1} =$	$\begin{cases} +(A+a) \\ -(A+a) \\ \pm(B-b) \\ \mp(B+b) \end{cases}$	$\begin{cases} +18,14 \\ -18,14 \\ -91,58 \\ +91,58 \end{cases}$	$\begin{cases} +156,17 \\ -156,17 \\ +64,91 \\ -64,91 \end{cases}$	$\begin{cases} +60,17 \\ -60,17 \\ -65,59 \\ +65,61 \end{cases}$	$\begin{cases} +75,76 \\ -75,76 \\ +98,88 \\ -98,88 \end{cases}$
log [5]	4,9298	4,9298	4,9298	4,9298	
$z \log \lambda$	6,6685	5,3445	6,4551	6,2360	
$z \log \cos \varphi_m$	9,9995	9,9996	9,9996	9,9999	
log (1)	1,5978	0,2739	1,3845	1,1657	
log [6]	4,6287	4,6287	4,6287	4,6287	
$z \log \lambda$	6,6685	—	6,4551	6,2360	
$z \log \sin \varphi_m$	7,0768	—	7,0050	4,1170	
log (2)	8,3740	—	8,0888	4,9817	
log [6]	4,6287	4,6287	4,6287	4,6287	
$z \log \beta$	5,2408	6,1071	6,3798	6,0046	
log (3)	9,8695	0,7358	1,0085	0,6333	
log [7]	4,6109	4,6109	4,6109	4,6109	
$z \log \lambda$	6,6685	5,3445	6,4551	6,2360	
$z \log \cos \varphi_m$	9,9995	9,9996	9,9996	9,9999	
log (4)	1,2789	9,9550	1,0656	0,8468	
Arg. $\varphi_m$	log [VII]	2,929	2,929	2,930	
	$z \log \beta$	6,107	6,380	6,005	
	log (5)	—	9,036	8,935	

Voor de berekening van  $\Delta A_{1,2}$  en  $\Delta A_{2,1}$  zijn de bovenste teekens te nemen wanneer  $P_2$  oostelijk van  $P_1$ , de onderste teekens wanneer  $P_2$  westelijk van  $P_1$  is gelegen.

 $\times \Delta l_1$  $\times \Delta l_2$  $\times \Delta \varphi_1$  $\times \Delta \varphi_2$  $\times \Delta l_1$  $\times \Delta l_2$  $\times \Delta \varphi_1$  $\times \Delta \varphi_2$

## T A F E L IV.

 $\phi$  van  $0^\circ 0'$  tot  $1^\circ 0'$ .

$\varphi$	log [V]	A	log [VI]	A	log [VII]	Evenredige deelen.
						0.5 0.4 0.3
$0^\circ 0'$	1,4902183.3	+	1,4873099.7	+	2,930	
1	1,4902183.3	0.0	1,4873099.7	0.0	2,930	
2	1,4902183.3	0.0	1,4873099.7	0.0	2,930	6'' 0.05 0.04 0.03
3	1,4902183.3	0.0	1,4873099.7	0.1	2,930	7 0.06 0.05 0.04
4	1,4902183.3	0.0	1,4873099.8	0.0	2,930	8 0.07 0.05 0.04
5	1,4902183.3	0.0	1,4873099.8	0.0	2,930	9 0.08 0.06 0.05
6	1,4902183.3	0.1	1,4873099.8	0.1	2,930	10 0.08 0.07 0.05
7	1,4902183.4	0.0	1,4873099.9	0.0	2,930	20 0.17 0.13 0.10
8	1,4902183.4	0.0	1,4873099.9	0.1	2,930	30 0.25 0.20 0.15
9	1,4902183.4	0.0	1,4873100.0	0.1	2,930	40 0.33 0.27 0.20
$0^\circ 10'$	1,4902183.4	0.0	1,4873100.1	0.1	2,930	50 0.42 0.33 0.25
11	1,4902183.5	0.1	1,4873100.2	0.0	2,930	
12	1,4902183.5	0.0	1,4873100.2	0.1	2,930	log 15 = 4.9298 - 10
13	1,4902183.5	0.0	1,4873100.3	0.1	2,930	log 16 = 4.6287 - 10
14	1,4902183.5	0.1	1,4873100.4	0.1	2,930	log 17 = 4.6199 - 10
15	1,4902183.6	0.0	1,4873100.5	0.2	2,930	
16	1,4902183.6	0.1	1,4873100.7	0.1	2,930	
17	1,4902183.7	0.0	1,4873100.8	0.1	2,930	
18	1,4902183.7	0.0	1,4873100.9	0.1	2,930	
19	1,4902183.7	0.1	1,4873101.0	0.2	2,930	
$0^\circ 20'$	1,4902183.8	0.0	1,4873101.2	0.1	2,930	
21	1,4902183.8	0.1	1,4873101.3	0.2	2,930	
22	1,4902183.9	0.1	1,4873101.5	0.2	2,930	
23	1,4902184.0	0.0	1,4873101.7	0.1	2,930	
24	1,4902184.0	0.1	1,4873101.8	0.2	2,930	
25	1,4902184.1	0.0	1,4873102.0	0.2	2,930	
26	1,4902184.1	0.1	1,4873102.2	0.2	2,930	
27	1,4902184.2	0.1	1,4873102.4	0.2	2,930	
28	1,4902184.3	0.0	1,4873102.6	0.2	2,930	
29	1,4902184.3	0.1	1,4873102.8	0.2	2,930	
$0^\circ 30'$	1,4902184.4	0.1	1,4873103.0	0.2	2,930	
31	1,4902184.5	0.1	1,4873103.2	0.3	2,930	
32	1,4902184.6	0.0	1,4873103.5	0.2	2,930	
33	1,4902184.6	0.1	1,4873103.7	0.3	2,930	
34	1,4902184.7	0.1	1,4873104.0	0.2	2,930	
35	1,4902184.8	0.1	1,4873104.2	0.3	2,930	
36	1,4902184.9	0.1	1,4873104.5	0.2	2,930	
37	1,4902185.0	0.1	1,4873104.7	0.3	2,930	
38	1,4902185.1	0.1	1,4873105.0	0.3	2,930	
39	1,4902185.2	0.1	1,4873105.3	0.3	2,930	
$0^\circ 40'$	1,4902185.3	0.1	1,4873105.6	0.3	2,930	
41	1,4902185.4	0.1	1,4873105.9	0.3	2,930	
42	1,4902185.5	0.1	1,4873106.2	0.3	2,930	
43	1,4902185.6	0.1	1,4873106.5	0.3	2,930	
44	1,4902185.7	0.1	1,4873106.8	0.4	2,930	
45	1,4902185.8	0.1	1,4873107.2	0.3	2,930	
46	1,4902185.9	0.1	1,4873107.5	0.3	2,930	
47	1,4902186.0	0.1	1,4873107.8	0.4	2,930	
48	1,4902186.1	0.1	1,4873108.2	0.3	2,930	
49	1,4902186.2	0.1	1,4873108.5	0.3	2,930	
$0^\circ 50'$	1,4902186.4	0.2	1,4873108.9	0.4	2,930	
51	1,4902186.5	0.1	1,4873109.3	0.4	2,930	
52	1,4902186.6	0.1	1,4873109.7	0.3	2,930	
53	1,4902186.7	0.1	1,4873110.0	0.4	2,930	
54	1,4902186.9	0.2	1,4873110.4	0.4	2,930	
55	1,4902187.0	0.2	1,4873110.8	0.4	2,930	
56	1,4902187.2	0.1	1,4873111.2	0.5	2,930	
57	1,4902187.3	0.1	1,4873111.7	0.4	2,930	
58	1,4902187.4	0.2	1,4873112.1	0.4	2,930	
59	1,4902187.6	0.1	1,4873112.5	0.5	2,930	
$1^\circ 0'$	1,4902187.7	0.1	1,4873113.0	0.5	2,930	

Achter log [VII] moet worden gevoegd: — 10.

$q$	log [V]	$A$	log [VI]	$A$	log [VII]	Evenredige deelen.
$1^{\circ} 0'$	1,4902187.7	+	1,4873113.0	+	2,930	<b>0.9 0.8 0.7</b>
1	1,4902187.9	0.2	1,4873113.4	0.4	2,930	6'' 0.09 0.08 0.07
2	1,4902188.0	0.1	1,4873113.9	0.5	2,930	7 0.11 0.09 0.08
3	1,4902188.2	0.2	1,4873114.3	0.4	2,930	8 0.12 0.11 0.09
4	1,4902188.3	0.2	1,4873114.8	0.5	2,930	9 0.14 0.12 0.11
5	1,4902188.5	0.1	1,4873115.3	0.4	2,930	10 0.15 0.13 0.12
6	1,4902188.6	0.2	1,4873115.7	0.5	2,930	20 0.30 0.27 0.23
7	1,4902188.8	0.2	1,4873116.2	0.5	2,930	30 0.45 0.40 0.35
8	1,4902189.0	0.1	1,4873116.7	0.5	2,930	40 0.60 0.53 0.47
9	1,4902189.1	0.2	1,4873117.2	0.5	2,930	50 0.75 0.67 0.58
$1^{\circ} 10'$	1,4902189.3	0.2	1,4873117.7	0.6	2,930	<b>0.6 0.5 0.4</b>
11	1,4902189.5	0.2	1,4873118.3	0.5	2,930	6'' 0.06 0.05 0.04
12	1,4902189.7	0.2	1,4873118.8	0.5	2,930	7 0.07 0.06 0.05
13	1,4902189.8	0.1	1,4873119.3	0.5	2,930	8 0.08 0.07 0.05
14	1,4902190.0	0.2	1,4873119.9	0.6	2,930	9 0.09 0.08 0.06
15	1,4902190.2	0.2	1,4873120.4	0.6	2,930	10 0.10 0.08 0.07
16	1,4902190.4	0.2	1,4873121.0	0.5	2,930	20 0.20 0.17 0.13
17	1,4902190.6	0.2	1,4873121.5	0.6	2,930	30 0.30 0.25 0.20
18	1,4902190.8	0.2	1,4873122.1	0.6	2,930	40 0.40 0.33 0.27
19	1,4902191.0	0.2	1,4873122.7	0.6	2,930	50 0.50 0.42 0.33
$1^{\circ} 20'$	1,4902191.2	0.2	1,4873123.3	0.5	2,930	<b>0.3</b>
21	1,4902191.3	0.1	1,4873123.8	0.6	2,930	6'' 0.03
22	1,4902191.5	0.2	1,4873124.4	0.6	2,930	7 0.04
23	1,4902191.8	0.3	1,4873125.0	0.6	2,930	8 0.04
24	1,4902192.0	0.2	1,4873125.7	0.7	2,930	9 0.05
25	1,4902192.2	0.2	1,4873126.3	0.6	2,930	10 0.05
26	1,4902192.4	0.2	1,4873126.9	0.7	2,930	20 0.10
27	1,4902192.6	0.2	1,4873127.6	0.6	2,930	30 0.15
28	1,4902192.8	0.2	1,4873128.2	0.6	2,930	40 0.20
29	1,4902193.0	0.2	1,4873128.8	0.7	2,930	50 0.25
$1^{\circ} 30'$	1,4902193.2	0.2	1,4873129.5	0.7	2,930	$\log [5] = 4,9298 - 10$
31	1,4902193.5	0.3	1,4873130.2	0.6	2,930	$\log [6] = 4,6287 - 10$
32	1,4902193.7	0.2	1,4873130.8	0.7	2,930	$\log [7] = 4,6109 - 10$
33	1,4902193.9	0.2	1,4873131.5	0.7	2,930	
34	1,4902194.1	0.3	1,4873132.2	0.7	2,930	
35	1,4902194.4	0.2	1,4873132.9	0.7	2,930	
36	1,4902194.6	0.2	1,4873133.6	0.7	2,929	
37	1,4902194.8	0.2	1,4873134.3	0.7	2,929	
38	1,4902195.1	0.3	1,4873135.0	0.7	2,929	
39	1,4902195.3	0.2	1,4873135.8	0.8	2,929	
$1^{\circ} 40'$	1,4902195.6	0.2	1,4873136.5	0.7	2,929	
41	1,4902195.8	0.3	1,4873137.2	0.8	2,929	
42	1,4902196.1	0.2	1,4873138.0	0.7	2,929	
43	1,4902196.3	0.3	1,4873138.7	0.8	2,929	
44	1,4902196.6	0.2	1,4873139.5	0.8	2,929	
45	1,4902196.8	0.3	1,4873140.3	0.7	2,929	
46	1,4902197.1	0.2	1,4873141.0	0.8	2,929	
47	1,4902197.3	0.3	1,4873141.8	0.8	2,929	
48	1,4902197.6	0.3	1,4873142.6	0.8	2,929	
49	1,4902197.9	0.2	1,4873143.4	0.8	2,929	
$1^{\circ} 50'$	1,4902198.1	0.2	1,4873144.2	0.8	2,929	
51	1,4902198.4	0.3	1,4873145.0	0.8	2,929	
52	1,4902198.7	0.3	1,4873145.8	0.9	2,929	
53	1,4902199.0	0.2	1,4873146.7	0.8	2,929	
54	1,4902199.2	0.3	1,4873147.5	0.8	2,929	
55	1,4902199.5	0.3	1,4873148.3	0.9	2,929	
56	1,4902199.8	0.3	1,4873149.2	0.9	2,929	
57	1,4902200.1	0.3	1,4873150.1	0.8	2,929	
58	1,4902200.4	0.3	1,4873150.9	0.9	2,929	
59	1,4902200.7	0.3	1,4873151.8	0.9	2,929	
$2^{\circ} 0'$	1,4902201.0	0.3	1,4873152.7	0.9	2,929	

Achter log [VII] moet worden gevoegd: — 10.

## TAFEL IV.

 $\varphi$  van  $2^{\circ}0'$  tot  $3^{\circ}0'$ .

$\varphi$	log [V]	A	log [VI]	A	log [VII]	Evenredige deelen.
						1.3 1.2 1.1
$2^{\circ} 0'$	1,4902201.0	+	1,4873152.7	+	2,929	
1	1,4902201.3	0.3	1,4873153.6	0.9	2,929	6'' 0.13 0.12 0.11
2	1,4902201.6	0.3	1,4873154.4	0.8	2,929	7 0.15 0.14 0.13
3	1,4902201.9	0.3	1,4873155.3	0.9	2,929	8 0.17 0.16 0.15
4	1,4902202.2	0.3	1,4873156.3	0.9	2,929	9 0.20 0.18 0.17
5	1,4902202.5	0.3	1,4873157.2	0.9	2,929	10 0.22 0.20 0.18
6	1,4902202.8	0.3	1,4873158.1	0.9	2,929	20 0.43 0.40 0.37
7	1,4902203.1	0.3	1,4873159.0	1.0	2,929	30 0.65 0.60 0.55
8	1,4902203.4	0.3	1,4873160.0	0.9	2,929	40 0.87 0.80 0.73
9	1,4902203.7	0.3	1,4873160.9	1.0	2,929	50 1.08 1.00 0.92
$2^{\circ} 10'$	1,4902204.0	0.3	1,4873161.9	0.9	2,929	
11	1,4902204.3	0.3	1,4873162.8	1.0	2,929	1.0 0.9 0.8
12	1,4902204.7	0.4	1,4873163.8	1.0	2,929	6'' 0.10 0.09 0.08
13	1,4902205.0	0.3	1,4873164.8	0.9	2,929	7 0.12 0.11 0.09
14	1,4902205.3	0.3	1,4873165.7	1.0	2,929	8 0.13 0.12 0.11
15	1,4902205.6	0.4	1,4873166.7	1.0	2,929	9 0.15 0.14 0.12
16	1,4902206.0	0.3	1,4873167.7	1.0	2,929	10 0.17 0.15 0.13
17	1,4902206.3	0.3	1,4873168.7	1.0	2,929	20 0.33 0.30 0.27
18	1,4902206.6	0.4	1,4873169.7	1.1	2,929	30 0.50 0.45 0.40
19	1,4902207.0	0.3	1,4873170.8	1.0	2,929	40 0.67 0.60 0.53
$2^{\circ} 20'$	1,4902207.3	0.4	1,4873171.8	1.0	2,929	50 0.83 0.75 0.67
21	1,4902207.7	0.3	1,4873172.8	1.1	2,929	
22	1,4902208.0	0.4	1,4873173.9	1.0	2,929	0.5 0.4 0.3
23	1,4902208.4	0.3	1,4873174.9	1.1	2,929	
24	1,4902208.7	0.4	1,4873176.0	1.0	2,929	
25	1,4902209.1	0.3	1,4873177.0	1.1	2,929	6'' 0.05 0.04 0.03
26	1,4902209.4	0.4	1,4873178.1	1.1	2,929	7 0.06 0.05 0.04
27	1,4902209.8	0.4	1,4873179.2	1.0	2,929	8 0.07 0.05 0.04
28	1,4902210.2	0.3	1,4873180.2	1.1	2,929	9 0.08 0.06 0.05
29	1,4902210.5	0.4	1,4873181.3	1.1	2,929	10 0.08 0.07 0.05
$2^{\circ} 30'$	1,4902210.9	0.3	1,4873182.4	1.1	2,929	
31	1,4902211.2	0.4	1,4873183.5	1.2	2,928	20 0.17 0.13 0.10
32	1,4902211.6	0.4	1,4873184.7	1.1	2,928	30 0.25 0.20 0.15
33	1,4902212.0	0.4	1,4873185.8	1.1	2,928	40 0.33 0.27 0.20
34	1,4902212.4	0.3	1,4873186.9	1.1	2,928	50 0.42 0.33 0.25
35	1,4902212.7	0.4	1,4873188.0	1.2	2,928	
36	1,4902213.1	0.4	1,4873189.2	1.1	2,928	log [5] = 4.9298 - 10
37	1,4902213.5	0.4	1,4873190.3	1.2	2,928	log [6] = 4.6287 - 10
38	1,4902213.9	0.4	1,4873191.5	1.2	2,928	log [7] = 4.6109 - 10
39	1,4902214.3	0.4	1,4873192.7	1.2	2,928	
$2^{\circ} 40'$	1,4902214.7	0.4	1,4873193.8	1.1	2,928	
41	1,4902215.1	0.4	1,4873195.0	1.2	2,928	
42	1,4902215.5	0.4	1,4873196.2	1.2	2,928	
43	1,4902215.9	0.4	1,4873197.4	1.2	2,928	
44	1,4902216.3	0.4	1,4873198.6	1.2	2,928	
45	1,4902216.7	0.4	1,4873199.8	1.2	2,928	
46	1,4902217.1	0.4	1,4873201.0	1.2	2,928	
47	1,4902217.5	0.4	1,4873202.2	1.3	2,928	
48	1,4902217.9	0.4	1,4873203.5	1.2	2,928	
49	1,4902218.3	0.4	1,4873204.7	1.2	2,928	
$2^{\circ} 50'$	1,4902218.7	0.4	1,4873205.9	1.3	2,928	
51	1,4902219.1	0.5	1,4873207.2	1.3	2,928	
52	1,4902219.6	0.4	1,4873208.5	1.2	2,928	
53	1,4902220.0	0.4	1,4873209.7	1.3	2,928	
54	1,4902220.4	0.4	1,4873211.0	1.3	2,928	
55	1,4902220.8	0.5	1,4873212.3	1.3	2,928	
56	1,4902221.3	0.4	1,4873213.6	1.3	2,928	
57	1,4902221.7	0.4	1,4873214.9	1.3	2,928	
58	1,4902222.1	0.5	1,4873216.2	1.3	2,928	
59	1,4902222.6	0.4	1,4873217.5	1.3	2,928	
$3^{\circ} 0'$	1,4902223.0	0.4	1,4873218.8	1.3	2,928	

Achter log [VII] moet worden gevoegd: — 10.

$\varphi$	log [V]	A	log [VI]	A	log [VII]	Evenredige deelen.
$3^{\circ} 0'$	1,4902223.0	+	1,4873218.8	+	2,928	1.8 1.7 1.6
1	1,4902223.4	0.4	1,4873220.1	1.3	2,928	
2	1,4902223.9	0.5	1,4873221.5	1.4	2,928	6'' 0.18 0.17 0.16
3	1,4902224.3	0.4	1,4873222.8	1.3	2,928	7 0.21 0.20 0.19
4	1,4902224.8	0.5	1,4873224.2	1.4	2,928	8 0.24 0.23 0.21
5	1,4902225.2	0.4	1,4873225.5	1.3	2,928	9 0.27 0.26 0.24
6	1,4902225.7	0.5	1,4873226.9	1.4	2,928	10 0.30 0.28 0.27
7	1,4902226.1	0.4	1,4873228.2	1.3	2,928	20 0.60 0.57 0.53
8	1,4902226.6	0.5	1,4873229.6	1.4	2,928	30 0.90 0.85 0.80
9	1,4902227.1	0.4	1,4873231.0	1.4	2,928	40 1.20 1.13 1.07
						50 1.50 1.42 1.33
$3^{\circ} 10'$	1,4902227.5	0.5	1,4873232.4	1.4	2,928	1.5 1.4 1.3
11	1,4902228.0	0.5	1,4873233.8	1.4	2,927	
12	1,4902228.5	0.5	1,4873235.2	1.4	2,927	
13	1,4902228.9	0.4	1,4873236.6	1.4	2,927	6'' 0.15 0.14 0.13
14	1,4902229.4	0.5	1,4873238.0	1.4	2,927	7 0.18 0.16 0.15
15	1,4902229.9	0.5	1,4873239.5	1.4	2,927	8 0.20 0.19 0.17
16	1,4902230.4	0.4	1,4873240.9	1.4	2,927	9 0.23 0.21 0.20
17	1,4902230.8	0.5	1,4873242.3	1.5	2,927	10 0.25 0.23 0.22
18	1,4902231.3	0.5	1,4873243.8	1.4	2,927	20 0.50 0.47 0.43
19	1,4902231.8	0.5	1,4873245.2	1.5	2,927	30 0.75 0.70 0.65
						40 1.00 0.93 0.87
						50 1.25 1.17 1.08
$3^{\circ} 20'$	1,4902232.3	0.5	1,4873246.7	1.5	2,927	0.6 0.5 0.4
21	1,4902232.8	0.5	1,4873248.2	1.5	2,927	
22	1,4902233.3	0.5	1,4873249.7	1.5	2,927	
23	1,4902233.8	0.5	1,4873251.1	1.4	2,927	
24	1,4902234.3	0.5	1,4873252.6	1.5	2,927	
25	1,4902234.8	0.5	1,4873254.1	1.5	2,927	6'' 0.06 0.05 0.04
26	1,4902235.3	0.5	1,4873255.6	1.6	2,927	7 0.07 0.06 0.05
27	1,4902235.8	0.5	1,4873257.2	1.5	2,927	8 0.08 0.07 0.05
28	1,4902236.3	0.5	1,4873258.7	1.5	2,927	9 0.09 0.08 0.06
29	1,4902236.8	0.5	1,4873260.2	1.6	2,927	10 0.10 0.08 0.07
						20 0.20 0.17 0.13
$3^{\circ} 30'$	1,4902237.3	0.5	1,4873261.8	1.5	2,927	30 0.30 0.25 0.20
31	1,4902237.8	0.6	1,4873263.3	1.6	2,927	40 0.40 0.33 0.27
32	1,4902238.4	0.5	1,4873264.9	1.5	2,927	50 0.50 0.42 0.33
33	1,4902238.9	0.5	1,4873266.4	1.6	2,927	
34	1,4902239.4	0.5	1,4873268.0	1.6	2,927	
35	1,4902239.9	0.5	1,4873269.6	1.5	2,927	
36	1,4902240.4	0.6	1,4873271.1	1.6	2,927	
37	1,4902241.0	0.5	1,4873272.7	1.6	2,927	
38	1,4902241.5	0.5	1,4873274.3	1.6	2,927	
39	1,4902242.0	0.6	1,4873275.9	1.6	2,927	
$3^{\circ} 40'$	1,4902242.6	0.5	1,4873277.5	1.7	2,927	
41	1,4902243.1	0.6	1,4873279.2	1.6	2,927	
42	1,4902243.7	0.5	1,4873280.8	1.6	2,927	
43	1,4902244.2	0.6	1,4873282.4	1.7	2,926	
44	1,4902244.8	0.5	1,4873284.1	1.6	2,926	
45	1,4902245.3	0.6	1,4873285.7	1.7	2,926	
46	1,4902245.9	0.5	1,4873287.4	1.6	2,926	
47	1,4902246.4	0.6	1,4873289.0	1.7	2,926	
48	1,4902247.0	0.5	1,4873290.7	1.7	2,926	
49	1,4902247.5	0.6	1,4873292.4	1.6	2,926	
$3^{\circ} 50'$	1,4902248.1	0.5	1,4873294.0	1.7	2,926	
51	1,4902248.6	0.6	1,4873295.7	1.7	2,926	
52	1,4902249.2	0.6	1,4873297.4	1.7	2,926	
53	1,4902249.8	0.6	1,4873299.1	1.8	2,926	
54	1,4902250.4	0.5	1,4873300.9	1.7	2,926	
55	1,4902250.9	0.6	1,4873302.6	1.7	2,926	
56	1,4902251.5	0.6	1,4873304.3	1.7	2,926	
57	1,4902252.1	0.6	1,4873306.0	1.8	2,926	
58	1,4902252.7	0.5	1,4873307.8	1.7	2,926	
59	1,4902253.2	0.6	1,4873309.5	1.8	2,926	
$4^{\circ} 0'$	1,4902253.8		1,4873311.3		2,926	

Achter log [VII] moet worden gevoegd: — 10.

$\log [5] = 4,9298 - 10$

$\log [6] = 4,6287 - 10$

$\log [7] = 4,6109 - 10$

## TAFEL IV.

 $\varphi$  van  $4^{\circ} 0'$  tot  $5^{\circ} 0'$ .

$\varphi$	log [V]	A	log [VI]	A	log [VII]	Evenredige deelen.
$4^{\circ} 0'$	1,4902253.8	+	1,4873311.3	+	2,926	
1	1,4902254.4	0.6	1,4873313.0	1.7	2,926	
2	1,4902255.0	0.6	1,4873314.8	1.8	2,926	
3	1,4902255.6	0.6	1,4873316.6	1.8	2,926	
4	1,4902256.2	0.6	1,4873318.4	1.8	2,926	
5	1,4902256.8	0.6	1,4873320.2	1.8	2,926	6'' 0.22 0.21 0.20
6	1,4902257.4	0.6	1,4873322.0	1.8	2,926	7 0.26 0.25 0.23
7	1,4902258.0	0.6	1,4873323.8	1.8	2,926	8 0.29 0.28 0.27
8	1,4902258.6	0.6	1,4873325.6	1.8	2,926	9 0.33 0.32 0.30
9	1,4902259.2	0.6	1,4873327.4	1.8	2,926	10 0.37 0.35 0.33
$4^{\circ} 10'$	1,4902259.8	0.6	1,4873329.3	1.8	2,926	20 0.73 0.70 0.67
11	1,4902260.4	0.6	1,4873331.1	1.8	2,926	30 1.10 1.05 1.00
12	1,4902261.0	0.7	1,4873332.9	1.9	2,925	40 1.47 1.40 1.33
13	1,4902261.7	0.6	1,4873334.8	1.8	2,925	50 1.83 1.75 1.67
14	1,4902262.3	0.6	1,4873336.6	1.9	2,925	
15	1,4902262.9	0.6	1,4873338.5	1.9	2,925	6'' 0.19 0.18 0.17
16	1,4902263.5	0.7	1,4873340.4	1.9	2,925	7 0.22 0.21 0.20
17	1,4902264.2	0.6	1,4873342.3	1.8	2,925	8 0.25 0.24 0.23
18	1,4902264.8	0.6	1,4873344.1	1.9	2,925	9 0.29 0.27 0.26
19	1,4902265.4	0.7	1,4873346.0	1.9	2,925	10 0.32 0.30 0.28
$4^{\circ} 20'$	1,4902266.1	0.6	1,4873347.9	2.0	2,925	20 0.63 0.60 0.57
21	1,4902266.7	0.6	1,4873349.9	1.9	2,925	30 0.95 0.90 0.85
22	1,4902267.3	0.7	1,4873351.8	1.9	2,925	40 1.27 1.20 1.13
23	1,4902268.0	0.6	1,4873353.7	1.9	2,925	50 1.58 1.50 1.42
24	1,4902268.6	0.7	1,4873355.6	2.0	2,925	
25	1,4902269.3	0.6	1,4873357.6	1.9	2,925	0.8 0.7 0.6
26	1,4902269.9	0.7	1,4873359.5	2.0	2,925	6'' 0.08 0.07 0.06
27	1,4902270.6	0.6	1,4873361.5	1.9	2,925	7 0.09 0.08 0.07
28	1,4902271.2	0.7	1,4873363.4	2.0	2,925	8 0.11 0.09 0.08
29	1,4902271.9	0.6	1,4873365.4	2.0	2,925	9 0.12 0.11 0.09
$4^{\circ} 30'$	1,4902272.5	0.7	1,4873367.4	2.0	2,925	10 0.13 0.12 0.10
31	1,4902273.2	0.6	1,4873369.4	1.9	2,925	
32	1,4902273.8	0.7	1,4873371.3	2.0	2,925	20 0.27 0.23 0.20
33	1,4902274.5	0.7	1,4873373.3	2.0	2,925	30 0.40 0.35 0.30
34	1,4902275.2	0.7	1,4873375.3	2.0	2,925	40 0.53 0.47 0.40
35	1,4902275.9	0.6	1,4873377.4	2.1	2,925	50 0.67 0.58 0.50
36	1,4902276.5	0.7	1,4873379.4	2.0	2,925	
37	1,4902277.2	0.7	1,4873381.4	2.0	2,925	log [5] = 4.9208 - 10
38	1,4902277.9	0.7	1,4873383.4	2.0	2,924	log [6] = 4.6287 - 10
39	1,4902278.6	0.7	1,4873385.5	2.1	2,924	log [7] = 4.6109 - 16
$4^{\circ} 40'$	1,4902279.2	0.7	1,4873387.5	2.0	2,924	
41	1,4902279.9	0.7	1,4873389.6	2.1	2,924	
42	1,4902280.6	0.7	1,4873391.6	2.0	2,924	
43	1,4902281.3	0.7	1,4873393.7	2.1	2,924	
44	1,4902282.0	0.7	1,4873395.8	2.1	2,924	
45	1,4902282.7	0.7	1,4873397.9	2.1	2,924	
46	1,4902283.4	0.7	1,4873400.0	2.1	2,924	
47	1,4902284.1	0.7	1,4873402.1	2.1	2,924	
48	1,4902284.8	0.7	1,4873404.2	2.1	2,924	
49	1,4902285.5	0.7	1,4873406.3	2.1	2,924	
$4^{\circ} 50'$	1,4902286.2	0.7	1,4873408.4	2.1	2,924	
51	1,4902286.9	0.7	1,4873410.5	2.2	2,924	
52	1,4902287.6	0.7	1,4873412.7	2.1	2,924	
53	1,4902288.3	0.8	1,4873414.8	2.1	2,924	
54	1,4902289.1	0.7	1,4873416.9	2.1	2,924	
55	1,4902289.8	0.7	1,4873419.1	2.2	2,924	
56	1,4902290.5	0.7	1,4873421.3	2.1	2,924	
57	1,4902291.2	0.7	1,4873423.4	2.2	2,924	
58	1,4902291.9	0.8	1,4873425.6	2.2	2,924	
59	1,4902292.7	0.7	1,4873427.8	2.2	2,924	
$5^{\circ} 0'$	1,4902293.4	0.7	1,4873430.0	2.2	2,924	

Achter log [VII] moet worden gevoegd: — 10.

$\varphi$	log [V]	A	log [VI]	A	log [VII]	Evenredige deelen.
$5^{\circ} 0'$	1,4902293.4	+	1,4873430.0	+	2,924	2.7   2.6   2.5
1	1,4902294.1	0.7	1,4873432.2	2.2	2,923	6''   0.27   0.26   0.25
2	1,4902294.9	0.8	1,4873434.4	2.2	2,923	7   0.32   0.30   0.29
3	1,4902295.6	0.7	1,4873436.6	2.2	2,923	8   0.36   0.35   0.33
4	1,4902296.3	0.7	1,4873438.8	2.2	2,923	9   0.41   0.39   0.38
5	1,4902297.1	0.8	1,4873441.1	2.3	2,923	10   0.45   0.43   0.42
6	1,4902297.8	0.7	1,4873443.3	2.2	2,923	20   0.90   0.87   0.83
7	1,4902298.6	0.8	1,4873445.5	2.2	2,923	30   1.35   1.30   1.25
8	1,4902299.3	0.7	1,4873447.8	2.3	2,923	40   1.80   1.73   1.67
9	1,4902300.1	0.8	1,4873450.1	2.3	2,923	50   2.25   2.17   2.08
$5^{\circ} 10'$	1,4902300.8	0.7	1,4873452.3	2.2	2,923	2.4   2.3   2.2
11	1,4902301.6	0.8	1,4873454.6	2.3	2,923	6''   0.24   0.23   0.22
12	1,4902302.4	0.8	1,4873456.9	2.3	2,923	7   0.28   0.27   0.26
13	1,4902303.1	0.7	1,4873459.2	2.3	2,923	8   0.32   0.31   0.29
14	1,4902303.9	0.8	1,4873461.5	2.3	2,923	9   0.36   0.35   0.33
15	1,4902304.7	0.7	1,4873463.8	2.3	2,923	10   0.40   0.38   0.37
16	1,4902305.4	0.8	1,4873466.1	2.3	2,923	20   0.80   0.77   0.73
17	1,4902306.2	0.8	1,4873468.4	2.3	2,923	30   1.20   1.15   1.10
18	1,4902307.0	0.7	1,4873470.7	2.3	2,923	40   1.60   1.53   1.47
19	1,4902307.7	0.8	1,4873473.0	2.4	2,923	50   2.00   1.92   1.83
$5^{\circ} 20'$	1,4902308.5	0.8	1,4873475.4	2.4	2,923	0.9   0.8   0.7
21	1,4902309.3	0.8	1,4873477.7	2.3	2,923	6''   0.09   0.08   0.07
22	1,4902310.1	0.8	1,4873480.1	2.4	2,922	7   0.11   0.09   0.08
23	1,4902310.9	0.8	1,4873482.4	2.3	2,922	8   0.12   0.11   0.09
24	1,4902311.7	0.8	1,4873484.8	2.4	2,922	9   0.14   0.12   0.11
25	1,4902312.5	0.8	1,4873487.2	2.4	2,922	10   0.15   0.13   0.12
26	1,4902313.3	0.7	1,4873489.5	2.3	2,922	20   0.30   0.27   0.23
27	1,4902314.0	0.8	1,4873491.9	2.4	2,922	30   0.45   0.40   0.35
28	1,4902314.8	0.8	1,4873494.3	2.4	2,922	40   0.60   0.53   0.47
29	1,4902315.6	0.8	1,4873496.7	2.4	2,922	50   0.75   0.67   0.58
$5^{\circ} 30'$	1,4902316.4	0.9	1,4873499.1	2.4	2,922	log [5] = 4.9298 — 10
31	1,4902317.3	0.8	1,4873501.6	2.5	2,922	log [6] = 4.6287 — 10
32	1,4902318.1	0.8	1,4873504.0	2.4	2,922	log [7] = 4.6109 — 10
33	1,4902318.9	0.8	1,4873506.4	2.4	2,922	
34	1,4902319.7	0.8	1,4873508.9	2.5	2,922	
35	1,4902320.5	0.8	1,4873511.3	2.4	2,922	
36	1,4902321.3	0.8	1,4873513.8	2.5	2,922	
37	1,4902322.1	0.9	1,4873516.2	2.4	2,922	
38	1,4902323.0	0.8	1,4873518.7	2.5	2,922	
39	1,4902323.8	0.8	1,4873521.2	2.5	2,922	
$5^{\circ} 40'$	1,4902324.6	0.8	1,4873523.6	2.4	2,922	
41	1,4902325.4	0.9	1,4873526.1	2.5	2,922	
42	1,4902326.3	0.8	1,4873528.6	2.5	2,922	
43	1,4902327.1	0.8	1,4873531.1	2.5	2,921	
44	1,4902327.9	0.9	1,4873533.6	2.5	2,921	
45	1,4902328.8	0.9	1,4873536.2	2.6	2,921	
46	1,4902329.6	0.8	1,4873538.7	2.5	2,921	
47	1,4902330.5	0.9	1,4873541.2	2.5	2,921	
48	1,4902331.3	0.8	1,4873543.8	2.6	2,921	
49	1,4902332.2	0.9	1,4873546.3	2.5	2,921	
$5^{\circ} 50'$	1,4902333.0	0.9	1,4873548.9	2.6	2,921	
51	1,4902333.9	0.8	1,4873551.4	2.6	2,921	
52	1,4902334.7	0.9	1,4873554.0	2.6	2,921	
53	1,4902335.6	0.9	1,4873556.6	2.6	2,921	
54	1,4902336.5	0.8	1,4873559.1	2.5	2,921	
55	1,4902337.3	0.9	1,4873561.7	2.6	2,921	
56	1,4902338.2	0.8	1,4873564.3	2.6	2,921	
57	1,4902339.0	0.9	1,4873566.9	2.6	2,921	
58	1,4902339.9	0.9	1,4873569.5	2.6	2,921	
59	1,4902340.8	0.9	1,4873572.2	2.7	2,921	
$6^{\circ} 0'$	1,4902341.7	0.9	1,4873574.8	2.6	2,921	

Achter log [VII] moet worden gevoegd: — 10.

## IV.

DE CONFORME OVERBRENGING  
EN DE BEREKENINGEN IN HET PLATTE VLAK.

---

## A.

Formules voor de conforme overbrenging van het  
driehoeksnet in het platte vlak door middel van de projectie  
van Mercator.

In het platte vlak worden de parallellelen en meridianen voorgesteld door loodrecht op elkander staande rechte lijnen; de ligging van een punt  $P'$ , overeenkomende met een punt  $P$  op het oppervlak der ellipsoïde wordt in de projectie gegeven door rechthoekige coördinaten  $X$  en  $Y$ ; de projectie van den evenaar is de *as der abscissen*, die van den eersten meridiaan de *as der ordinaten*.

Voor punten met *oostelijke lengte* is  $X$  positief.

» » » *westelijke lengte* » »  $X$  negatief.

» » » *noordelijke breedte* »  $Y$  positief.

» » » *zuidelijke breedte* » »  $Y$  negatief.

Zijn  $X_1, Y_1$  de coördinaten van het punt  $P'_1$  en

$X_2, Y_2$  » » » » »  $P'_2$ ,

dan is:  $\xi_{1 \cdot 2} = X_2 - X_1$        $\xi_{2 \cdot 1} = X_1 - X_2$

$\eta_{1 \cdot 2} = Y_2 - Y_1$        $\eta_{2 \cdot 1} = Y_1 - Y_2$ ,

zoodat dus:  $\xi_{1 \cdot 2} = - \xi_{2 \cdot 1}$        $\eta_{1 \cdot 2} = - \eta_{2 \cdot 1}$ .

## 1.

Berekening van de coördinaten van een punt in de projectie uit  
de geographische lengte en breedte van datzelfde punt op  
het aardoppervlak. (Zie Voorbeeld 1.)

Gegeven: 1 de geographische lengte van het punt  $P$  op het aard-  
oppervlak, oostelijk positief, westelijk negatief genomen;  
φ de geographische breedte van het punt  $P$  op het aard-  
oppervlak, noordelijk positief, zuidelijk negatief genomen.

Gevraagd:  $X, Y$  de coördinaten van het punt  $P'$  in de projectie.

Drukt men  $l$  en  $\varphi$  uit in secunden, dan is:

$$X = a \text{ boog } l'' \cdot l$$

$$Y = A_1 \varphi + A_3 \varphi^3 + A_5 \varphi^5 + A_7 \varphi^7 + \dots$$

waarin:

$$A_1 = a(1 - e^2) \text{ boog } l''$$

$$A_3 = \frac{1}{2} a(1 + e^2 - 2e^4) \text{ boog } l''$$

$$A_5 = \frac{1}{120} a(5 - e^2 + 20e^4 - 24e^6) \text{ boog } l''$$

$$A_7 = \frac{1}{5040} a(61 + e^2 - 182e^4 + 840e^6 - 720e^8) \text{ boog } l''$$

of in getallenwaarden:

$$a \text{ boog } l'' = 30,918493906 \text{ M.}$$

$$A_1 = 30,712132373 \text{ M.}$$

$$\log A_3 = 0,0860673,9 - 10$$

$$\log A_5 = 8,851803 - 30$$

$$\log A_7 = 7,6866 - 40.$$

De waarden van  $X$  tot in centimeters zijn opgegeven in *Tafel Va* voor de waarden van  $l$  van  $0^\circ$  tot  $6^\circ$ , opklimmende van minuut tot minuut. Het verschil is overal constant 1855,11 M., enkele gevallen waar het tenegevolge van de afronding 1855,10 M. bedraagt buiten rekening latende, en dus voor  $l''$  30,9185 M. De evenredige deelen kunnen worden genomen uit het volgende tafeltje:

6''	185,511
7	216,430
8	247,348
9	278,267
10	309,185
20	618,370
30	927,555
40	1236,740
50	1545,925

of met behulp van logarithmen worden berekend,

$$\log \text{verschil voor } l'' = 1,490218.$$

De waarden van  $Y$  tot in centimeters zijn opgegeven in *Tafel Vb* voor de waarden van  $\varphi$  van  $0^\circ$  tot  $6^\circ$ , opklimmende van minuut tot minuut. Het verschil bedraagt 1842,73 M. bij  $\varphi = 0^\circ$  en 1852,98 M. bij  $\varphi = 6^\circ$ . Daar het niet wel mogelijk was volledige interpolatietafels bij te voegen zijn deze achterwege gelaten, doch is telkens de logarithmus van het verschil voor  $l''$  tot in zes decimalen opgegeven. Met behulp hiervan worden de evenredige deelen gemakkelijk bepaald.

Van  $\varphi = 4^\circ$  af zijn tevens de tweede verschillen opgegeven, welke, wanneer men de grootste nauwkeurigheid verlangt, niet kunnen worden verwaarloosd; de invloed van het tweede verschil, welke waarde hier steeds van de evenredige deelen moet worden afgetrokken, is in afzonderlijke tafeltjes opgegeven.

## 2.

*Berekening van de geographische lengte en breedte van een punt op het aardoppervlak uit de coördinaten van dat punt in de projectie. (Zie Voorbeeld 7.)*

Gegeven:  $X, Y$  de coördinaten van het punt  $P'$  in de projectie.

Gevraagd:  $l$  de geographische lengte van het punt  $P$  op het aardoppervlak;  
 $\varphi$  de geographische breedte van het punt  $P$  op het aardoppervlak.

Voor  $X$  positief is de lengte  $l$  oostelijk.

»  $X$  negatief » » »  $l$  westelijk.

»  $Y$  positief » » breedte  $\varphi$  noordelijk.

»  $Y$  negatief » » »  $\varphi$  zuidelijk.

Drukt men  $l$  en  $\varphi$  uit in secunden, dan is:

$$l = \frac{1}{a \text{ boog } 1''} X$$

waarin:

$$\varphi = B_1 Y - B_3 Y^3 + B_5 Y^5 - B_7 Y^7 + \dots$$

$$B_1 = \frac{1}{a(1-e^2) \text{ boog } 1''}$$

$$B_3 = \frac{1}{6 a^3 (1-e^2)^3 \text{ boog } 1''} (1 + 2 e^2)$$

$$B_5 = \frac{1}{120 a^5 (1-e^2)^5 \text{ boog } 1''} (5 + 36 e^2 + 16 e^4)$$

$$B_7 = \frac{1}{5040 a^7 (1-e^2)^7 \text{ boog } 1''} (61 + 958 e^2 + 1448 e^4 + 272 e^6)$$

of in getallenwaarden:

$$\frac{1}{a \text{ boog } 1''} = 0'',03234310193$$

$$B_1 = 0,032356042231$$

$$\log B_3 = 4,13682750 - 20$$

$$\log B_5 = 9,945982 - 40$$

$$\log B_7 = 5,8289 - 50.$$

De waarden van  $l$  tot in drie decimalen der secunden zijn opgegeven in *Tafel Vc* voor de waarden van  $X$  van 0 tot 668000 M. (668 K.M.), telkens opklimmende met 1000 M. Het verschil is constant  $32,343$ ,

enkele gevallen waarin het tenegevolge van de afronding  $32,^{\prime\prime}344$  bedraagt buiten rekening latende. De evenredige deelen kunnen worden ontleend uit het volgende tafeltje, waarbij de Kilometer als éénheid is genomen:

0,1 K.M.	3,2343
0,2	6,4686
0,3	9,7029
0,4	12,9372
0,5	16,1715
0,6	19,4058
0,7	22,6401
0,8	25,8744
0,9	29,1087

of door middel van logarithmen worden berekend,

$$\log \text{verschil voor } 1 \text{ K.M.} = 1,50978.$$

De waarden van  $\varphi$  tot in drie decimalen der secunden voor de waarden van  $Y$  van 0 tot 665000 M. (665 K.M.), telkens opklimmende met 1000 M. zijn opgegeven in *Tafel Vd.* Het verschil neemt af van  $32,^{\prime\prime}560$  bij  $Y = 0$  M. tot  $32,^{\prime\prime}379$  bij  $Y = 665000$  M. De evenredige deelen moeten met behulp van logarithmen worden berekend, waartoe in de tafel telkens de logarithmus van het verschil tot in vijf decimalen is opgegeven.

### 3.

*Berekening van de lengte en het azimut eenen driehoekszijde in de projectie uit de lengte en het azimut dier driehoekszijde op het aardoppervlak, benevens van de coördinaten van haar tweede uiteinde in de projectie.*

a. Het azimut der driehoekszijde in beide uiteinden is gegeven. (Zie Voorbeeld 2a.)

Gegeven:  $S_{1,2}$  de lengte der zijde  $P_1 P_2$  op het aardoppervlak;

$A_{1,2}$  het azimut der zijde  $P_1 P_2$  op het aardoppervlak in het punt  $P_1$ ;

$A_{2,1}$  het azimut der zijde  $P_2 P_1$  op het aardoppervlak in het punt  $P_2$ ;

$X_1, Y_1$  de coördinaten van het punt  $P'_1$  in de projectie.

Gevraagd:  $s'_{1,2}$  de lengte der zijde  $P'_1 P'_2$  in de projectie;

$A'_{1,2}$  het azimut der zijde  $P'_1 P'_2$  in de projectie in het punt  $P'_1$ ;

$X_2, Y_2$  de coördinaten van het punt  $P'_2$  in de projectie.

$$\begin{aligned}
 A_m &= \frac{1}{2} (A_{1 \cdot 2} + A_{2 \cdot 1} - 180^\circ) \\
 (\xi_{1 \cdot 2}) &= m S_{1 \cdot 2} \sin A_m \quad (\eta_{1 \cdot 2}) = m S_{1 \cdot 2} \cos A_m \quad m \text{ Arg. } Y_1 \\
 (\xi_{1 \cdot 2}) \text{ en } (\eta_{1 \cdot 2}) &\text{ zijn benaderde waarden van } \xi_{1 \cdot 2} \text{ en } \eta_{1 \cdot 2} \\
 Y_m &= Y_1 + \frac{1}{2} (\eta_{1 \cdot 2}) \\
 \log s_{1 \cdot 2} &= \log m S_{1 \cdot 2} + [1] (\eta_{1 \cdot 2})^2 \quad m \text{ Arg. } Y_m \\
 A'_{1 \cdot 2} &= A_m - [2] (\xi_{1 \cdot 2}) (\eta_{1 \cdot 2}) \\
 \xi_{1 \cdot 2} &= s_{1 \cdot 2} \sin A'_{1 \cdot 2} \quad \eta_{1 \cdot 2} = s_{1 \cdot 2} \cos A'_{1 \cdot 2} \\
 X_2 &= X_1 + \xi_{1 \cdot 2} \\
 Y_2 &= Y_1 + \eta_{1 \cdot 2}.
 \end{aligned}$$

In deze formules is:

$$\begin{aligned}
 [1] &= \frac{M}{2 \alpha^2} \\
 [2] &= \frac{1 + 3q}{12 \alpha^2 \text{ boog } 1''} \quad q = \frac{e^2}{1 - e^2}
 \end{aligned}$$

of in getallenwaarden:

$$\begin{aligned}
 \log [1] &= 1,6483 - 10 \\
 \log [2] &= 0,6346 - 10 \\
 \log q &= 7,8273 - 10,
 \end{aligned}$$

Verder is:

$$\log m = C_2 Y^2 - C_4 Y^4 + C_6 Y^6 - C_8 Y^8 + \dots$$

waarin:

$$\begin{aligned}
 C_2 &= \frac{M}{2 \alpha^2 (1 - e^2)} \\
 C_4 &= \frac{M}{12 \alpha^4 (1 - e^2)^3} (1 + e^2) \\
 C_6 &= \frac{M}{90 \alpha^6 (1 - e^2)^5} (2 + 7e^2 + 2e^4) \\
 C_8 &= \frac{M}{2520 \alpha^8 (1 - e^2)^7} (17 + 129e^2 + 129e^4 + 17e^6)
 \end{aligned}$$

of in getallenwaarden:

$$\begin{aligned}
 \log C_2 &= 5,73037575 - 20 \\
 \log C_4 &= 1,351643 - 30 \\
 \log C_6 &= 7,1813 - 50 \\
 \log C_8 &= 3,072 - 60.
 \end{aligned}$$

Bij de berekening van  $(\xi_{1 \cdot 2})$  en  $(\eta_{1 \cdot 2})$  moet  $m$  eigenlijk worden genomen voor de waarde  $Y_m$ ; daar  $(\eta_{1 \cdot 2})$  nog onbekend is neemt men voorlopig  $Y_1$ ; bij de berekening van  $\log s_{1 \cdot 2}$  neemt men  $m$  voor de waarde  $Y_m$ .

De coëfficient  $m$  draagt den naam van de *vergrooting*.

De waarden van  $\log m$  tot in acht decimalen zijn opgegeven in *Tafel Vd* voor de waarden van  $Y$  van 0 tot 665000 M. (665 K.M.), opklimmende met 1000 M. Bij de interpolatie moeten de evenredige deelen door vermenigvuldiging worden bepaald.

Voor het overbrengen van secundaire zijden zijn logarithmen met zeven decimalen voldoende; bij de afronding worden dan de cijfers 5, 4, 3, 2, 1, 0 eenvoudig weggelaten; is het laatste cijfer een groote 5 (5), of wel 6, 7, 8 of 9 dan wordt het voorlaatste cijfer eene eenheid vergroot. Voor de op zeven decimalen afgeronde waarden van  $m$  zijn interpolatietafels bijgevoegd.

b. Het azimut der driehoeksziede in slechts één uiteinde is gegeven. (Zie Voorbeeld 2b.)

Gegeven:  $S_{1 \cdot 2}$  de lengte der zijde  $P_1 P_2$  op het aardoppervlak;

$A_{1 \cdot 2}$  het azimut der zijde  $P_1 P_2$  op het aardoppervlak in het punt  $P_1$ ;

$X_1, Y_1$  de coördinaten van het punt  $P'_1$  in de projectie.

Gevraagd:  $s_{1 \cdot 2}$  de lengte der zijde  $P'_1 P'_2$  in de projectie;

$A'_{1 \cdot 2}$  het azimut der zijde  $P'_1 P'_2$  in de projectie in het punt  $P'_1$ ;

$X_2, Y_2$  de coördinaten van het punt  $P'_2$  in de projectie.

$$(\xi_{1 \cdot 2}) = m S_{1 \cdot 2} \sin A_{1 \cdot 2} \quad (\eta_{1 \cdot 2}) = m S_{1 \cdot 2} \cos A_{1 \cdot 2} \quad m \text{ Arg. } Y_1$$

$(\xi_{1 \cdot 2})$  en  $(\eta_{1 \cdot 2})$  zijn benaderde waarden van  $\xi_{1 \cdot 2}$  en  $\eta_{1 \cdot 2}$

$$Y_m = Y_1 + \frac{1}{2} (\eta_{1 \cdot 2})$$

$$\log s_{1 \cdot 2} = \log m S_{1 \cdot 2} + [1] (\eta_{1 \cdot 2})^2 \quad m \text{ Arg. } Y_m$$

$$\psi_{1 \cdot 2} = H(\xi_{1 \cdot 2}) - [2] (\xi_{1 \cdot 2}) (\eta_{1 \cdot 2}) \quad \frac{H}{Y} \text{ Arg. } Y_m$$

$$A'_{1 \cdot 2} = A_{1 \cdot 2} + \psi_{1 \cdot 2}$$

$$\xi_{1 \cdot 2} = s_{1 \cdot 2} \sin A'_{1 \cdot 2} \quad \eta_{1 \cdot 2} = s_{1 \cdot 2} \cos A'_{1 \cdot 2}$$

$$X_2 = X_1 + \xi_{1 \cdot 2}$$

$$Y_2 = Y_1 + \eta_{1 \cdot 2}.$$

Behalve de boven reeds opgegeven waarden heeft men hierin:

$$H = \frac{\sin \varphi}{2 a \text{ boog } 1''}$$

te nemen voor de waarde van  $\varphi$  behorende bij  $Y_m$ .

Daar de waarde van  $H$  zeer sterk verandert zijn in *Tafel Vd* opgegeven de waarden van  $\log \frac{H}{Y}$  in *vijf* decimalen voor de waarden van  $Y$  van 0 tot 665000 M. (665 K.M.), telkens opklimmende met 1000 M. Die waarden zijn berekend door toepassing van de formule:

$$\log \frac{H}{Y} = D - D_2 Y^2 + D_4 Y^4 - D_6 Y^6 + \dots$$

waarin:

$$D = \log \frac{1}{2 a^2 (1 - e^2) \text{ boog } 1''}$$

$$D_2 = \frac{M(1 + e^2)}{3 a^2 (1 - e^2)^2}$$

$$D_4 = \frac{M(7 + 32 e^2 + 7 e^4)}{90 a^3 (1 - e^2)^4}$$

$$D_6 = \frac{M(62 + 699 e^2 + 699 e^4 + 62 e^6)}{2835 a^6 (1 - e^2)^6}$$

of in getallenwaarden:

$$D = 1,49701657 - 10$$

$$\log D_2 = 5,5600082 - 20$$

$$\log D_4 = 1,3348 - 30$$

$$\log D_6 = 7,199 - 50.$$

Voor de berekening van  $H$  uit  $\frac{H}{Y}$  moet het tecken van  $Y$  behoorlijk in rekening worden gebracht, voor zuidelijke breedten vindt men dus  $H$  negatief.

Voor het overbrengen van secundaire zijden is  $\log \frac{H}{Y}$  met vier decimalen voldoende.

In de formules voor  $(\xi_{1,2})$  en  $(\eta_{1,2})$  moet  $m$  eigenlijk worden genomen voor de waarde  $Y_m$ ; daar  $(\eta_{1,2})$  nog onbekend is neemt men voorloopig  $Y_1$ ; in de formule voor  $\log s_{1,2}$  neemt men  $m$  voor de waarde  $Y_m$  en in de formule voor  $\psi_{1,2} H$  eveneens voor de waarde  $Y_m$ .

Vindt men bij de berekening voor  $\eta_{1,2}$  of  $\psi_{1,2}$  zeer groote waarden, dan zullen de verkregen uitkomsten niet scherp zijn; met de gevonden waarden van  $\xi_{1,2}$  en  $\eta_{1,2}$  berekent men in dat geval op nieuw  $Y_m$ ,  $\log s_{1,2}$  en  $\psi_{1,2}$ , terwijl men  $\log m$  opzoekt met het argument  $Y_1 + \frac{1}{2} \eta_{1,2}$ .

#### 4.

*Berekening van de lengte en het azimut eener driehoeks zijde op het aardoppervlak uit de lengte en het azimut dier driehoeks zijde in de projectie. (Zie Voorbeeld 8.)*

Geggeven:  $X_1, Y_1$  de coördinaten van het punt  $P'_1$  in de projectie;  
 $X_2, Y_2$  de coördinaten van het punt  $P'_2$  in de projectie;  
 $s_{1,2}$  de lengte der zijde  $P'_1 P'_2$  in de projectie;  
 $A'_{1,2}$  het azimut der zijde  $P'_1 P'_2$  in de projectie in het punt  $P'_1$ ;  
 $A'_{2,1}$  het azimut der zijde  $P'_2 P'_1$  in de projectie in het punt  $P'_2$ .

Gevraagd:  $S_{1,2}$  de lengte der zijde  $P_1 P_2$  op het aardoppervlak;  
 $A_{1,2}$  het azimut der zijde  $P_1 P_2$  op het aardoppervlak in het punt  $P_1$ ;  
 $A_{2,1}$  het azimut der zijde  $P_2 P_1$  op het aardoppervlak in het punt  $P_2$ .

$$\log S_{1 \cdot 2} = \log \frac{s_{1 \cdot 2}}{m} - [1] \eta_{1 \cdot 2}^2$$

$$\begin{aligned}\psi_{1 \cdot 2} &= H\xi_{1 \cdot 2} - [2] \xi_{1 \cdot 2} \eta_{1 \cdot 2} \\ \psi_{2 \cdot 1} &= -H\xi_{1 \cdot 2} - [2] \xi_{1 \cdot 2} \eta_{1 \cdot 2}\end{aligned}$$

$$\begin{aligned}A_{1 \cdot 2} &= A'_{1 \cdot 2} - \psi_{1 \cdot 2} \\ A_{2 \cdot 1} &= A'_{2 \cdot 1} - \psi_{2 \cdot 1},\end{aligned}$$

waarbij  $\frac{H}{Y}$  uit *Tafel Vd* moet worden genomen met het argument  
 $Y_m = \frac{1}{2}(Y_1 + Y_2)$ .

## 5.

*Berekening der correctiën aan te brengen aan de op het aardoppervlak gemeten richtingen of hoeken voor de overbrenging van het driehoeksnet in de projectie.*

(Zie Figuur 3a en 3b.)

De verschillende driehoeken van het driehoeksnet worden achtereenvolgens in de projectie overgebracht.

$P_1 P_2 P_3$  is een driehoek op het aardoppervlak;  $P'_1 P'_2 P'_3$  dezelfde driehoek na overbrenging in de projectie. De zijde  $P_1 P_2$  is reeds in de projectie overgebracht, hetzij rechtstreeks op de hierboven aangegeven wijze, hetzij doordien zij tevens behoort tot een reeds vroeger in de projectie overgebrachten driehoek.

Gegeven:  $X_1, Y_1$  de coördinaten van het punt  $P'_1$ ;

$X_2, Y_2$  de coördinaten van het punt  $P'_2$ ;

$s_{1 \cdot 2}$  de lengte der driehoeks zijde  $P'_1 P'_2$ ;

$A'_{1 \cdot 2}$  het azimut der driehoeks zijde  $P'_1 P'_2$  in het punt  $P'_1$ ;

$A'_{2 \cdot 1}$  het azimut der driehoeks zijde  $P'_2 P'_1$  in het punt  $P'_2$ ;

$B_1, B_2, B_3$  de hoeken van den driehoek  $P_1 P_2 P_3$  op het aardoppervlak, zooals die volgen uit de gemeten richtingen of door directe meting zijn gevonden.

Gevraagd: de correctiën aan te brengen aan de gemeten richtingen of aan de gemeten hoeken voor de overbrenging van den driehoek in de projectie.

Grootheden tusschen haakjes stellen benaderde waarden voor.

a. Berekening van benaderde coördinaten van het derde hoekpunt van een driehoek. (Zie Voorbeeld 3a.)

$$(A'_{1 \cdot 3}) = A'_{1 \cdot 2} \pm B_1$$

$$s_{1 \cdot 3} = s_{1 \cdot 2} \frac{\sin B_2}{\sin B_3}$$

$$(\xi_{1 \cdot 3}) = s_{1 \cdot 3} \sin (A'_{1 \cdot 3}) \quad (\eta_{1 \cdot 3}) = s_{1 \cdot 3} \cos (A'_{1 \cdot 3})$$

$$(X_3) = X_1 + (\xi_{1 \cdot 3}) \quad (Y_3) = Y_1 + (\eta_{1 \cdot 3}).$$

Voor de berekening dezer coördinaten kan men ook uitgaan van het azimut  $A'_{2 \cdot 1}$ , den hoek  $B_2$  en de coördinaten  $X_2$ ,  $Y_2$  van het punt  $P'_2$ .

b. Berekening der *correctiën*, aan te brengen aan de azimuts der zijden van een driehoek op het aardoppervlak voor de overbrenging in de projectie. (Zie Voorbeeld 3b.)

Is

- $\psi_{1 \cdot 2}$  de correctie van het azimut  $A_{1 \cdot 2}$
- $\psi_{2 \cdot 1}$  de correctie van het azimut  $A_{2 \cdot 1}$
- $\psi_{1 \cdot 3}$  de correctie van het azimut  $A_{1 \cdot 3}$
- $\psi_{3 \cdot 1}$  de correctie van het azimut  $A_{3 \cdot 1}$
- $\psi_{2 \cdot 3}$  de correctie van het azimut  $A_{2 \cdot 3}$
- $\psi_{3 \cdot 2}$  de correctie van het azimut  $A_{3 \cdot 2}$

dan is:

$$\begin{array}{ll} \psi_{1 \cdot 2} = H \xi_{1 \cdot 2} - [2] \xi_{1 \cdot 2} \eta_{1 \cdot 2} & \left\{ \begin{array}{l} H \\ Y \end{array} \right. \text{ argument } \frac{1}{2} (Y_1 + Y_2) \\ \psi_{2 \cdot 1} = -H \xi_{1 \cdot 2} - [2] \xi_{1 \cdot 2} \eta_{1 \cdot 2} & \left\{ \begin{array}{l} H \\ Y \end{array} \right. \text{ argument } \frac{1}{2} (Y_1 + Y_2) \\ \psi_{1 \cdot 3} = H (\xi_{1 \cdot 3}) - [2] (\xi_{1 \cdot 3}) (\eta_{1 \cdot 3}) & \left\{ \begin{array}{l} H \\ Y \end{array} \right. \text{ argument } \frac{1}{2} (Y_1 + Y_3) \\ \psi_{3 \cdot 1} = -H (\xi_{1 \cdot 3}) - [2] (\xi_{1 \cdot 3}) (\eta_{1 \cdot 3}) & \left\{ \begin{array}{l} H \\ Y \end{array} \right. \text{ argument } \frac{1}{2} (Y_1 + Y_3) \\ \psi_{2 \cdot 3} = H (\xi_{2 \cdot 3}) - [2] (\xi_{2 \cdot 3}) (\eta_{2 \cdot 3}) & \left\{ \begin{array}{l} H \\ Y \end{array} \right. \text{ argument } \frac{1}{2} (Y_2 + Y_3) \\ \psi_{3 \cdot 2} = -H (\xi_{2 \cdot 3}) - [2] (\xi_{2 \cdot 3}) (\eta_{2 \cdot 3}) & \left\{ \begin{array}{l} H \\ Y \end{array} \right. \text{ argument } \frac{1}{2} (Y_2 + Y_3) \end{array}$$

Zijn de waarden van  $\psi_{1 \cdot 2}$  en  $\psi_{2 \cdot 1}$  reeds bekend, dan vervalt de berekening daarvan.

c. Berekening der *correctiën*, aan te brengen aan de gemeten richtingen of hoeken.

a. Men heeft richtingen gemeten. (Zie Voorbeeld 3c, a.)

- Station  $P_1$ : richting  $P_2$ , correctie  $\psi_{1 \cdot 2}$   
richting  $P_3$ , correctie  $\psi_{1 \cdot 3}$
- Station  $P_2$ : richting  $P_1$ , correctie  $\psi_{2 \cdot 1}$   
richting  $P_3$ , correctie  $\psi_{2 \cdot 3}$
- Station  $P_3$ : richting  $P_1$ , correctie  $\psi_{3 \cdot 1}$   
richting  $P_2$ , correctie  $\psi_{3 \cdot 2}$

Door optelling van deze correctiën bij de gemeten richtingen vindt men de richtingen in de projectie.

Behoort de *nulrichting* tot het net, dan moet ook aan deze de correctie worden aangebracht; wil men ze dan in de projectie wedervorm tot *nulrichting* maken, dan moet van alle richtingen de correctie van de *nulrichting* worden afgetrokken.

b. Men heeft hoeken gemeten. (Zie Voorbeeld 3c, b.)

Telt men een hooch steeds van het eene been *rechtsomgaande* naar het andere been, en is de correctie aan te brengen aan de richting van het rechtsche been  $R$ , van het linksche been  $L$ , dan is de correctie aan te brengen aan den gemeten hooch:

$$R - L.$$

Telt men dus den hoek in  $P_1$  van  $P_2$  naar  $P_3$   
den hoek in  $P_2$  van  $P_3$  naar  $P_1$   
den hoek in  $P_3$  van  $P_1$  naar  $P_2$   
dan is de correctie van hoek  $P_2 P_1 P_3$ :  $\psi_{1 \cdot 3} - \psi_{1 \cdot 2}$   
van hoek  $P_3 P_2 P_1$ :  $\psi_{2 \cdot 1} - \psi_{2 \cdot 3}$   
van hoek  $P_1 P_3 P_2$ :  $\psi_{3 \cdot 2} - \psi_{3 \cdot 1}$ .

Door optelling van deze correctiën bij de door meting gevonden hoeken, vindt men de hoeken in de projectie.

---

## B.

### Formules voor de berekeningen in het platte vlak.

#### 1.

Berekening der driehoeken. (Zie Figuur 3b en Voorbeeld 4.)

Gegeven:  $s_{1 \cdot 2}$  de lengte der driehoeksziege  $P'_1 P'_2$ ;  
 $B'_1, B'_2, B'_3$  de hoeken van den driehoek  $P'_1 P'_2 P'_3$ .

Gevraagd:  $s_{1 \cdot 3}$  de lengte der driehoeksziege  $P'_1 P'_3$ ;  
 $s_{2 \cdot 3}$  de lengte der driehoeksziege  $P'_2 P'_3$ .

$$M' = \frac{s_{1 \cdot 2}}{\sin B'_3}$$

$$s_{1 \cdot 3} = M' \sin B'_2 \quad s_{2 \cdot 3} = M' \sin B'_1.$$

#### 2.

Berekening van de coördinaten der hoekpunten en van de azimuts der zijden van het driehoeksnet. (Zie Voorbeeld 5.)

Gegeven:  $X_1, Y_1$  de coördinaten van het punt  $P'_1$ ;  
 $s_{1 \cdot 2}$  de lengte der driehoeksziege  $P'_1 P'_2$ ;  
 $A'_{1 \cdot 2}$  het azimut dcr driehoeksziege  $P'_1 P'_2$  in het punt  $P'_1$ ;  
 $B'_{1 \cdot 2 \cdot 3}$  de hoek tuschen de driehoeksziegen  $P'_2 P'_1$  en  $P'_2 P'_3$   
in het punt  $P'_2$ , geteld van  $P'_1$  rechtsomgaande  
naar  $P'_3$ .

Gevraagd:  $X_2, Y_2$  de coördinaten van het punt  $P'_2$ ;  
 $A'_{2 \cdot 1}$  het azimut der driehoeksziege  $P'_2 P'_1$  in het punt  $P'_2$ ;  
 $A'_{2 \cdot 3}$  het azimut der driehoeksziege  $P'_2 P'_3$  in het punt  $P'_2$ .

$$\xi_{1 \cdot 2} = s_{1 \cdot 2} \sin A'_{1 \cdot 2} \quad \eta_{1 \cdot 2} = s_{1 \cdot 2} \cos A'_{1 \cdot 2}$$

$$X_2 = X_1 + \xi_{1 \cdot 2} \quad Y_2 = Y_1 + \eta_{1 \cdot 2}$$

$$A'_{2 \cdot 1} = A'_{1 \cdot 2} \pm 180^\circ$$

$$A'_{2 \cdot 3} = A'_{1 \cdot 2} \pm 180^\circ + B'_{1 \cdot 2 \cdot 3}.$$

## 3.

a. Berekening van de lengte en het azimut eener driehoeks zijde uit de coördinaten van hare eindpunten. (Zie Voorbeeld 6.)

Gegeven:  $X_1, Y_1$  de coördinaten van het punt  $P'_1$ ;  
 $X_2, Y_2$  de coördinaten van het punt  $P'_2$ .

Gevraagd:  $s_{1 \cdot 2}$  de lengte der driehoeks zijde  $P'_1 P'_2$ ;  
 $A'_{1 \cdot 2}$  het azimut der driehoeks zijde  $P'_1 P'_2$  in het punt  $P'_1$ ;  
 $A'_{2 \cdot 1}$  het azimut der driehoeks zijde  $P'_2 P'_1$  in het punt  $P'_2$ .

$$\xi_{1 \cdot 2} = X_2 - X_1 \quad \eta_{1 \cdot 2} = Y_2 - Y_1$$

$$\tan A'_{1 \cdot 2} = \frac{\xi_{1 \cdot 2}}{\eta_{1 \cdot 2}} \begin{cases} \xi_{1 \cdot 2} +, \eta_{1 \cdot 2} + & \text{eerste kwadrant.} \\ \xi_{1 \cdot 2} +, \eta_{1 \cdot 2} - & \text{tweede } \\ \xi_{1 \cdot 2} -, \eta_{1 \cdot 2} - & \text{derde } \\ \xi_{1 \cdot 2} -, \eta_{1 \cdot 2} + & \text{vierde } \end{cases}$$

$$A'_{2 \cdot 1} = A'_{1 \cdot 2} \pm 180^\circ$$

$$s_{1 \cdot 2} = \frac{\xi_{1 \cdot 2}}{\sin A'_{1 \cdot 2}} = \frac{\eta_{1 \cdot 2}}{\cos A'_{1 \cdot 2}}.$$

b. Berekening van de verandering van het azimut eener driehoeks zijde ten gevolge van een geringe verschuiving van hare eindpunten.

(Zie Voorbeeld 6.)

Gegeven:  $X_1, Y_1$  de coördinaten van het punt  $P'_1$ ;  
 $X_2, Y_2$  de coördinaten van het punt  $P'_2$ ;  
 $A'_{1 \cdot 2}$  het azimut der zijde  $P'_1 P'_2$  in het punt  $P'_1$ ;  
 $A'_{2 \cdot 1}$  het azimut der zijde  $P'_2 P'_1$  in het punt  $P'_2$ ;  
 $\Delta X_1, \Delta X_2$  de verandering der abscissen van de punten  $P'_1$  en  $P'_2$ , in oostelijke richting positief, in westelijke negatief genomen;  
 $\Delta Y_1, \Delta Y_2$  de verandering der ordinaten van de punten  $P'_1$  en  $P'_2$ , in noordelijke richting positief, in zuidelijke negatief genomen.

Gevraagd:  $\Delta A'$  de verandering der azimuts  $A'_{1 \cdot 2}$  en  $A'_{2 \cdot 1}$ .

$$\xi_{1 \cdot 2} = X_2 - X_1 \quad \eta_{1 \cdot 2} = Y_2 - Y_1$$

$$A = \frac{\sin A'_{1 \cdot 2} \cos A'_{1 \cdot 2}}{\xi_{1 \cdot 2} \text{ boog } r''} = \frac{\eta_{1 \cdot 2}}{s^2_{1 \cdot 2} \text{ boog } r''} \quad B = \frac{\sin A'_{1 \cdot 2} \cos A'_{1 \cdot 2}}{\eta_{1 \cdot 2} \text{ boog } r''} = \frac{\xi_{1 \cdot 2}}{s^2_{1 \cdot 2} \text{ boog } r''}$$

$$\Delta A' = -\Delta \Delta X_1 + \Delta \Delta X_2 + B \Delta Y_1 - B \Delta Y_2.$$

Na de verschuiving zijn de azimuts:

$$A'_{1 \cdot 2} + \Delta A' \text{ en } A'_{2 \cdot 1} + \Delta A'.$$

Verandert slechts één der punten van plaats, dan moet men in de formule de  $\Delta X$  en  $\Delta Y$  van het punt dat niet van plaats verandert gelijk aan nul stellen.

### V O O R B E E L D E N.

1. Berekening van de coördinaten van een punt in de projectie uit de geographische lengte en breedte op het aardoppervlak. (*A*, 1, bldz. 58.)

Punt:	<i>Siboga</i>	<i>Indrapoera</i>
<i>l</i>	$1^{\circ}32'28'',477\ W$	$0^{\circ}32'17'',394\ O$
<i>φ</i>	$1^{\circ}45'32'',407\ N$	$2^{\circ}215',638\ Z$
$\log \Delta_x 1''$	1,490218 1,454494 2,944712 170670,09 880,46	1,490218 1,240399 2,730617 59363,31 537,80
<i>X</i>	— 171550,55	+ 59901,31
$\log \Delta_y 1''$	1,487515 1,510639 2,998154 193516,93 995,76	1,487591 1,194181 2,681772 224860,64 480,59
<i>Y</i>	+ 194512,69	— 225341,23

2. Berekening van de lengte en het azimut einer driehoeksijde in de projectie uit de lengte en het azimut dier driehoeksijde op het aardoppervlak, benevens van de coördinaten van het tweede eindpunt in de projectie.

- a. Het azimut der driehoeksijde in beide uiteinden is gegeven. (*A*, 3a, bldz. 61.)

Driehoeksijde: $\begin{cases} P'_1 \\ P'_2 \end{cases}$	<i>Siboga</i> <i>Dolok Loeboe Raja</i>	<i>Indrapoera</i> <i>Boekit Gedang</i>
$X_1$	— 171550,55	+ 59901,31
$Y_1$	+ 194512,69	— 225341,23
$\log S_{1 \cdot 2}$	4,6830089,6	4,8320748,1
$A_{1 \cdot 2}$	$120^{\circ}27'25'',32$	$79^{\circ}8'11'',72$
$A_{2 \cdot 1}$	300 28 3 ,99	259 6 57 ,14
$A_m$	$120^{\circ}27'44'',655$	$79^{\circ}7'34'',430$
$\log S_{1 \cdot 2}$	4,68301	4,83207
Arg. $Y_1$	0,00020	0,00027
$\log \sin A_m$	9,93549	9,99213
$\log \cos A_m$	9,70498 n	9,27565
$\log (\xi_{1 \cdot 2})$	4,61870	4,82447
$\log (\eta_{1 \cdot 2})$	4,38819 n	4,10799
$\frac{1}{2}(\eta_{1 \cdot 2})$	— 24445	+ 12823
$\frac{1}{2}(\xi_{1 \cdot 2})$	— 12223	+ 6412
$V_m = Y_1 + \frac{1}{2}(\eta_{1 \cdot 2})$	+ 182290	— 218929
$\log [1]$	1,6483	1,6483
$z \log (\eta_{1 \cdot 2})$	8,7764	8,2160
$\log [1] (x_{1 \cdot 2})^2$	0,4247	9,8643
Arg. $V_m$	4,6830089,6	4,8320748,1
$\log m$	0,0001785,9	0,0002575,7
$+ [1] (x_{1 \cdot 2})^2$	+ 2,7	+ 0,7
$\log s_{1 \cdot 2}$	4,6831878,2	4,8323324,5
$\log [2]$	0,6346	0,6346
$\log (\xi_{1 \cdot 2})$	4,6187	4,8245
$\log (\eta_{1 \cdot 2})$	4,3882 n	4,1080
$\log [2] (\xi_{1 \cdot 2}) (x_{1 \cdot 2})$	9,6415 n	9,5671
$A_m$	$120^{\circ}27'44'',655$	$79^{\circ}7'34'',430$
$- [2] (\xi_{1 \cdot 2}) (x_{1 \cdot 2})$	+ 0 ,438	— 0 ,369
$A'_{1 \cdot 2}$	$120^{\circ}27'45'',09$	$79^{\circ}7'34'',06$

Voor de berekening der coördinaten van het tweede eindpunt zie Voorbeeld 2b.

b. Het azimut der driehoeksijde in slechts één uiteinde is gegeven. ( $A$ ,  $3b$ , blz. 63.)

Driehoeksijde: $\{P'_1$ $P'_2\}$	Siboga Dolok Loeboe Raja	Indrapoera Boekit Gedang
$X_1$	— 171550,55	+ 59901,31
$Y_1$	+ 194512,69	— 225341,23
$\log S_{1 \cdot 2}$	4,6830089,6	4,8320748,1
$A_{1 \cdot 2}$	120°27'25",32	79° 8'11",72
Arg. $Y_1$	$\log S_{1 \cdot 2}$ $\log m$ $\log \sin A_{1 \cdot 2}$ $\log \cos A_{1 \cdot 2}$ $\log (\xi_{1 \cdot 2})$ $\log (z_{1 \cdot 2})$	4,68301 0,00020 9,93551 9,70491 n 4,61872 4,38812 n
$Y_m = Y_1 + \frac{1}{2}(\gamma_{1 \cdot 2})$	$\left(\begin{array}{l} z_{1 \cdot 2} \\ \frac{1}{2}(\gamma_{1 \cdot 2}) \end{array}\right)$ + 182292	- 24441 - 12221 + 182292
Arg. $Y_m$	$\log [1]$ $z \log (z_{1 \cdot 2})$ $\log [1] (z_{1 \cdot 2})^2$ $\log S_{1 \cdot 2}$ $\log m$ + [1] $(z_{1 \cdot 2})^2$ $\log s_{1 \cdot 2}$	1,6483 8,7762 0,4245 4,6830089,6 0,0001785,9 - 2,7 4,6831878,2
Arg. $Y_m$	$\log \frac{H}{Y}$ $\log Y_m$ $\log (\xi_{1 \cdot 2})$ $\log H (\xi_{1 \cdot 2})$ $\log [2]$ $\log (\xi_{1 \cdot 2})$ $\log (z_{1 \cdot 2})$ $\log [2] (\xi_{1 \cdot 2}) (z_{1 \cdot 2})$ + $H (\xi_{1 \cdot 2})$ - [2] $(\xi_{1 \cdot 2}) (z_{1 \cdot 2})$ $\psi_{1 \cdot 2}$ - [2] $- H (\xi_{1 \cdot 2})$ - [2] $(\xi_{1 \cdot 2}) (z_{1 \cdot 2})$ *) $\psi_{2 \cdot 1}$ $A_{1 \cdot 2}$ + $\psi_{1 \cdot 2}$ $A'_{1 \cdot 2}$	1,40690 5,26077 4,61872 1,28639 0,6346 4,6187 4,3881 n 9,6414 n + 19",337 + 0,438 + 19",775 - 19",337 + 0,438 - 18",899 120°27'25",32 + 19,77 120°27'45",09
		1,6483 8,7762 9,8635 4,8320748,1 0,0002575,9 + 0,7 4,8323324,7 1,40684 5,34032 n 4,82448 1,57164 n 0,6346 4,8245 4,1076 9,5667 - 37",294 - 0,369 - 37",663 + 37",294 - 0,369 + 36",925 79° 8'11",72 - 37,66 79° 7'34",06

\*) De waarde van  $\psi_{2 \cdot 1}$  is tevens berekend, omdat deze noodig is bij de berekening der correctien, aan te brengen aan de op het aardoppervlak gemeten richtingen of hoeken voor de overbrenging van een driehoek in de projectie. (Zie Voorbeeld 3c.)

Tweede eindpunt: $P'_2$	Dolok Loeboe Raja	Boekit Gedang
$\log s_{1 \cdot 2}$	4,6831878.2	4,8323324.7
$\log \sin A'_{1 \cdot 2}$	9,9354875.9	9,9921313.2
$\log \cos A'_{1 \cdot 2}$	9,7049863.0 n	9,2756512.9
$\log \xi_{1 \cdot 2}$	4,6186754.1	4,8244637.9
$\log \eta_{1 \cdot 2}$	4,3881741.2 n	4,1079837.6
$X_1$	— 171550,55	+ 59901,31
$\xi_{1 \cdot 2}$	+ 41559,99	+ 66751,93
$X_2$	— 129990,56	+ 126653,24
$Y_1$	+ 194512,69	— 225341,23
$\eta_{1 \cdot 2}$	— 24444,10	+ 12822,83
$Y_2$	+ 170068,59	— 212518,40

3. Berekening der correctiën aan te brengen aan de op het aardoppervlak gemeten richtingen of hoeken voor de overbrenging van het driehoeksnet in de projectie.

a. Berekening van benaderde coördinaten van het derde hoekpunt van elken driehoek. (A, 5a, bldz. 65.)

Driehoek: $\begin{cases} P'_1 \\ P'_2 \\ P'_3 \end{cases}$	Siboga Dolok Loeboe Raja Dolok Dsaoed		Indrapoera Boekit Gedang Piek v. Indrapoera
Te berekenen punt: $P'_3$	Dolok Dsaoed		Piek v. Indrapoera
Gegeven zijde: $s_{1 \cdot 2}$	Siboga-Dol.L.Raja		Indrap.-B. Gedang
Hoeken op het aardoppervlak:	$B_1$ 53° 18' 56" $B_2$ 54 9 42 $B_3$ 72 31 25		31° 28' 14" 78 11 5 70 20 48
$A'_{1 \cdot 2}$	120° 27' 45"		79° 7' 34"
$B_1$	— 53 18 56		— 31 28 14
$(A'_{1 \cdot 3})$	67° 8' 49"		47° 39' 20"
$\log s_{1 \cdot 2}$	4,68319		4,83233
$\log \sin B_3$	9,97947		9,97393
$\log \sin B_2$	4,70372		4,85840
$\log s_{1 \cdot 3}$	9,90884		9,99070
$\log \sin (A'_{1 \cdot 3})$	4,61256		4,84910
$\log \cos (A'_{1 \cdot 3})$	9,96450		9,86871
$\log (\xi_{1 \cdot 3})$	9,58924		9,82839
$\log (\eta_{1 \cdot 3})$	4,57706		4,71781
	4,20180		4,67749
$X_1$	— 171551		+ 59901
$(\xi_{1 \cdot 3})$	+ 37763		+ 52217
$(X_3)$	— 133788		+ 112118
$Y_1$	+ 194513		— 225341
$(\eta_{1 \cdot 3})$	+ 15915		+ 47587
$(Y_3)$	+ 210428		— 177754

b. Berekening van de correctiën, aan te brengen aan de azimuts der zijden van een driehoek op het aardoppervlak voor de overbrenging in de projectie. (A, 5b, blz. 66.)

Driehoek: $\begin{Bmatrix} P'_1 \\ P'_2 \\ P'_3 \end{Bmatrix}$	Siboga Dolok Loeboe Raja Dolok Dsaoed		Indrapoera Boekit Gedang Piek v. Indrapoera
Driehoeksijde: $\begin{Bmatrix} P'_3 \\ P'_1 \end{Bmatrix}$	Dolok Dsaoed Siboga		Piek v. Indrapoera Indrapoera
(X <sub>3</sub> )	— 133788		+ 112118
X <sub>1</sub>	— 171551		+ 59901
(ξ <sub>1·3</sub> )	+ 37763		+ 52217
(Y <sub>2</sub> )	+ 210428		— 177754
Y <sub>1</sub>	+ 194513		— 225341
(η <sub>1·3</sub> )	+ 15915		+ 47587
$\frac{1}{2}(Y_1 + Y_3)$	+ 202471		— 201547
Arg. $\frac{1}{2}(Y_1 + Y_3) \log \frac{H}{Y}$	1,40687		1,40687
$\log \frac{1}{2}(Y_1 + Y_3)$	5,30636		5,30438 n
$\log(\xi_{1·3})$	4,57706		4,71781
$\log H(\xi_{1·3})$	1,29029		1,42906 n
$\log [2]$	0,6346	0,6346	0,6346
$\log(\xi_{1·3})$	4,5771		4,7178
$\log(\eta_{1·3})$	4,2018		4,6775
$\log [2](\xi_{1·3})(\eta_{1·3})$	9,4135		0,0299
+ H( $\xi_{1·3}$ )	+ 19'',511		— 26'',857
— [2] ( $\xi_{1·3}$ ) ( $\eta_{1·3}$ )	— 0 ,259		— 1 ,072
ψ <sub>1·3</sub>	+ 19'',252		— 27'',929
— H( $\xi_{1·3}$ )	— 19'',511		+ 26'',857
— [2] ( $\xi_{1·3}$ ) ( $\eta_{1·3}$ )	— 0 ,259		— 1 ,072
ψ <sub>3·1</sub>	— 19'',770		+ 25'',785
Driehoeksijde: $\begin{Bmatrix} P'_3 \\ P'_2 \end{Bmatrix}$	Dolok Dsaoed Dolok Loeboe Raja		Piek v. Indrapoera Boekit Gedang
(X <sub>3</sub> )	— 133788		+ 112118
X <sub>2</sub>	— 129991		+ 126653
(ξ <sub>2·3</sub> )	— 3797		— 14535
(Y <sub>2</sub> )	+ 210428		— 177754
Y <sub>2</sub>	+ 170069		— 212518
(η <sub>2·3</sub> )	+ 40359		+ 34764
$\frac{1}{2}(Y_2 + Y_3)$	+ 190249		— 195136
Arg. $\frac{1}{2}(Y_2 + Y_3) \log \frac{H}{Y}$	1,40689		1,40688
$\log \frac{1}{2}(Y_2 + Y_3)$	5,27933		5,29034 n
$\log(\xi_{2·3})$	3,57944 n		4,16242 n
$\log H(\xi_{2·3})$	0,26566 n		0,85964
$\log [2]$	0,6346	0,6346	0,6346
$\log(\xi_{2·3})$	3,5794 n		4,1624 n
$\log(\eta_{2·3})$	4,6059		4,5411
$\log [2](\xi_{2·3})(\eta_{2·3})$	8,8199 n		9,3381 n
+ H( $\xi_{2·3}$ )	— 1'',844		+ 7'',238
— [2] ( $\xi_{2·3}$ ) ( $\eta_{2·3}$ )	+ 0 ,066		+ 0 ,218
ψ <sub>2·3</sub>	— 1'',778		+ 7'',456
— H( $\xi_{2·3}$ )	+ 1'',844		— 7'',238
— [2] ( $\xi_{2·3}$ ) ( $\eta_{2·3}$ )	+ 0 ,066		+ 0 ,218
ψ <sub>3·2</sub>	+ 1'',910		— 7'',020

cα. Berekening der correctiën aan te brengen aan de gemeten richtingen. (A, 5c, α, bldz. 66.)

Stations	Richtingen	Richtingen op het aardoppervlak	Correctiën der azimuts	Richtingen in de projectie	Richtingen herleid tot de nulrichting
Siboga	Dolok Dsaoed Dol. L. Raja	0° 0' 0" 53 18 56 ,31	+ 19",252 + 19 ,775	0° 0' 19",252 53 19 15 ,085	0° 0' 0" 53 18 56 ,83
Dol. Loeboe Raja	Siboga Dolok Dsaoed	0° 0' 0" 54 9 42 ,29	- 18",899 - 1 ,778	359° 59' 41",101 54 9 40 ,512	0° 0' 0" 54 9 59 ,41
Dolok Dsaoed	Dol. L. Raja Siboga	0° 0' 0" 72 31 25 ,44	+ 1",910 - 19 ,770	0° 0' 1",910 72 31 5 ,670	0° 0' 0" 72 31 3 ,76

cβ. Berekening der correctiën aan te brengen aan de gemeten hoeken. (A, 5c, β, bldz. 66.)

Stations	Hoeken	Hoeken op het aardoppervlak	Correctiën der azimuts		Correctiën der hoeken	Hoeken in de projectie
			L	R		
Indrapoera	Piek v. Indr.-B. Ged.	31° 28' 13",77	- 27",929	- 37",663	- 9",73	31° 28' 4",04
Boekit Gedang	Indr.-Piek v. Indr.	78° 11' 5",01	+ 36",925	+ 7",456	- 29",47	78° 10' 35",55
Piek v. Indrap. B. Gedang-Indrap.	Indrap. B. Gedang-Indrap.	70° 20' 47",61	- 7",020	+ 25",785	+ 32",80	70° 21' 20",41

4. Driehoeksberekening in de projectie. (B, 1, bldz. 67.)

Hoekpunten	Hoeken $B'$	log sin $B'$	log s (overstaande zijden)	Lengten der overstaande zijden. Meters
Siboga	53° 18' 56",83	9,9041420.1	4,6078680.2	40538,53
Dolok Loeboe Raja	54 9 59 ,41	9,9088717.8	4,6125977.9	40982,43
Dolok Dsaoed	72 31 3 ,76	9,9794618.1	4,6831878.2	48215,63
	180° 0' 0",00	4,7037260.1	= log M'	
			= log M'	
Indrapoera	31° 28' 4",04	9,7176864.2	4,5760613.0	37675,70
Boekit Gedang	78 10 35 ,55	9,9906866.6	4,8490615.4	70641,77
Piek van Indrapoera	70 21 20 ,41	9,9739575.9	4,8323324.7	67972,38
	180° 0' 0",00	4,8583748.8	= log M'	

5. Berekening van de azimuts der zijden en van de coördinaten der hoekpunten van het driehoeksnet in de projectie. (B, 2, blz. 67.)

Driehoeks- zijden	Berekening der azimuts	Berekening der coördinaten				Hoekpunten
				X Y	— 171550,55 + 194512,69	Siboga
Siboga Dolok L. Raja	A' 120° 27' 45",09	log s log sin A' log cos A'	4,6831878,2 9,9354875,9 9,7049863,0 n	ξ η	+ 41559,99 — 24444,10	Dolok Loeboe Raja
	180°	log ξ log η	4,6186754,1 4,3881741,2 n	X Y	— 129990,56 + 170068,59	
	B' 54 9 59 ,41					
Dolok L. Raja Dolok Dsaoed	A' 354° 37' 44",50	log s log sin A' log cos A'	4,6078680,2 8,9712940,3 n 9,9980890,3	ξ η	— 3794,57 + 40360,55	Dolok Dsaoed
	180°	log ξ log η	3,57916205, n 4,6059570,5	X Y	— 133785,13 + 210429,14	
	B'					
	A' 180°	log s log sin A' log cos A'		ξ η		Indrapoera
	B'	log ξ log η		X Y		
	A'					
	180°					
Indrapoera Boekil Gedang	B'	log s log sin A' log cos A'		ξ η		Boekit Gedang
		log ξ log η		X Y	+ 59901,31 — 225341,23	
	A'					
	180°					
Boekit Gedang Piekv. Indrap.	B' 79° 7' 34",06	log s log sin A' log cos A'	4,8323324,7 9,9921313,2 9,2756512,9	ξ η	+ 66751,93 + 12822,83	Boekit Gedang
	180°	log ξ log η	4,8244637,9 4,1079837,6	X Y	+ 126653,24 — 212518,40	
	B' 78 10 35 ,55					
Boekit Gedang Piekv. Indrap.	A' 337° 18' 9",61	log s log sin A' log cos A'	4,5760613,0 9,5864331,9 n 9,9649927,8	ξ η	— 14537,66 + 34757,95	Piek van Indrapoera
	180°	log ξ log η	4,1624944,9 n 4,5410540,8	X Y	+ 112115,58 — 177760,45	
	B'					

6. Berekening van de lengten en azimuts der driehoekslijden in de projectie uit de coördinaten van hunne eindpunten, en van de veranderingen der azimuts ten gevolge van een geringe verschuiving dier eindpunten. (*B*, *za* en *b*, blz. 68.)

Driehoekslijde: $\begin{cases} P'_1 \\ P'_2 \end{cases}$	<i>Dolok Dsaoed Siboga</i>	<i>Dolok Dsaoed Dolok Loeboe Raja</i>	<i>Piekv. Indrapoera Indrapoera</i>	<i>Piekv. Indrapoera Boekit Gedang</i>
$X_2$	— 133785,13	— 133785,13	+ 112115,58	+ 112115,58
$X_1$	— 171550,55	— 129990,56	+ 59901,31	+ 126653,24
$\xi_{1 \cdot 2}$	+ 37765,42	— 3794,57	+ 52214,27	— 14537,66
$Y_2$	+ 210429,14	— 210429,14	— 177760,45	— 177760,45
$Y_1$	+ 194512,69	+ 170068,59	— 225341,23	— 212518,40
$\eta_{1 \cdot 2}$	+ 15916,45	+ 40360,55	+ 47580,78	+ 34757,95
$\log \xi_{1 \cdot 2}$	4,5770943,1	3,5791625,9 n	4,7177892,1	4,1624945,1 n
$\log \eta_{1 \cdot 2}$	4,2018462,1	4,6059570,9	4,6774315,6	4,5410541,5
$\log \tan A'_{1 \cdot 2}$	0,3752481,0	8,9732055,0 n	0,0403576,5	9,6214403,6 n
$A'_{1 \cdot 2}$	67° 8'48",24	354° 37'44",48	47° 39'30",02	337° 18'9",61
$\log \xi_{1 \cdot 2}$	4,5770943,1	3,5791625,9 n	4,7177892,1	4,1624945,1 n
$\log \sin A'_{1 \cdot 2}$	9,9644965,1	8,9712945,2 n	9,8687276,1	9,5864331,9 n
$\log s_{1 \cdot 2}$	4,6125978,0	4,6078680,7	4,8490616,0	4,5760613,2
$\log \eta_{1 \cdot 2}$	4,2018462,1	4,6059570,9	4,6774315,6	4,5410541,5
$\log \cos A'_{1 \cdot 2}$	9,5892484,2	9,9980890,2	9,8283699,3	9,9649927,8
$\log s_{1 \cdot 2}$	4,6125977,9	4,6078680,7	4,8490616,3	4,5760613,7
$C. \log \text{boog } 1''$	5,31443	5,31443	5,31443	5,31443
$2 \log s_{1 \cdot 2}$	9,22520	9,21574	9,69812	9,15212
Verschil:				
$\log \eta_{1 \cdot 2}$	6,08923	6,09869	5,61631	6,16231
$\log \xi_{1 \cdot 2}$	4,20185	4,60596	4,67743	4,54105
$\log \xi_{1 \cdot 2}$	4,57709	3,57916 n	4,71778	4,16249 n
$\log A$	0,29108	0,70465	0,29374	0,70336
$\log B$	0,66632	9,67785 n	0,33410	0,32480 n
$\Delta A' = \begin{cases} (-\Delta X_1 + \Delta X_2) \times \\ (+\Delta Y_1 - \Delta Y_2) \times \end{cases}$	+ 1,955	+ 5,066	+ 1,967	+ 5,051
	+ 4,638	- 0,476	+ 2,158	- 2,113

7. Berekening van de geographische lengten en breedten der driehoekspunten op het aardoppervlak uit de coördinaten in de projectie.  
(A, 2, bldz. 60.)

Punt:	Dolok Loeboe Raja	Dolok Dsaoed	Piek van Indrapoera	Boekit Gedang
X	— 129990,56	— 133785,13	+ 112115,58	+ 126653,24
Y	+ 170068,59	+ 210429,14	— 177760,45	— 212518,40
log $\Delta_1$	1,50978 9,99588 1,50566 $1^{\circ} 9' 32''$ ,260 $32$ ,038 $l$ $1^{\circ} 10' 5''$ ,298 W	1,50978 9,89494 1,40472 $1^{\circ} 11' 41''$ ,633 25,394 $1^{\circ} 12' 7''$ ,027 W	1,50978 9,96288 0,57266 $1^{\circ} 0' 22''$ ,427 3,738 $1^{\circ} 0' 26''$ ,165 O	1,50978 9,81507 1,32485 $1^{\circ} 7' 55''$ ,231 21,128 $1^{\circ} 8' 16''$ ,359 O
log $\Delta_2$	1,51252 8,83626 0,34878 $1^{\circ} 32' 14''$ ,599 2,232 $g$ $1^{\circ} 32' 16''$ ,831 N	1,51244 9,63259 1,14503 $1^{\circ} 53' 56''$ ,420 13,965 $1^{\circ} 53' 10''$ ,385 N	1,51251 9,88107 1,39358 $1^{\circ} 30' 2''$ ,435 24,750 $1^{\circ} 36' 27''$ ,185 Z	1,51244 9,71467 1,22711 $1^{\circ} 55' 1''$ ,504 16,870 $1^{\circ} 55' 18''$ ,374 Z

8. Berekening van de lengten en azimuts der driehoekslijden op het aardoppervlak uit de lengten en azimuts in de projectie.

(A, 4, bldz. 64.)

Driehoekslijde: $\{P_2$ $P_1\}$	Dolok Dsaoed Siboga	Dolok Dsaoed Dolok Loeboe Raja	Piekv. Indrapoera Indrapoera	Piekv. Indrapoera Boekit Gedang
$Y_3$	+ 210429	+ 210429	— 177760	— 177760
$Y_1$	+ 194513	+ 170069	— 225341	— 212518
$z_{1,2}$	+ 15916	+ 40360	+ 47581	+ 34758
$Y_m = \frac{1}{2}(Y_1 + Y_2)$	+ 202471	+ 190249	— 201551	— 195139
$\log [1]$	1,6483	1,6483	1,6483	1,6483
$2 \log z_{1,2}$	8,4037	9,2119	9,3549	9,0821
$\log [1] z_{1,2}$	0,0520	0,8602	1,0032	0,7304
$\log S_{1,2}$	$4,6125977 \cdot 9$	$4,6078680 \cdot 2$	$4,8490615 \cdot 4$	$4,5760613 \cdot 0$
$\text{Arg. } Y_m$	$— \log m$ $— [1] z_{1,2}^2$	$— 2203,1$ $— 1,1$	$— 1945,2$ $— 7,2$	$— 2183,1$ $— 10,1$
	$4,6123773 \cdot 7$	$4,6076727 \cdot 8$	$4,8488422,2$	$4,5758561,2$
$A'_{1,2}$	$67^{\circ} 8' 48''$ ,26	$354^{\circ} 37' 44''$ ,50	$47^{\circ} 39' 30''$ ,02	$337^{\circ} 18' 9''$ ,61
$*) - \psi_{1,2}$	$- 19,25$	$+ 1,78$	$+ 27,93$	$- 7,46$
$A_{1,2}$	$67^{\circ} 8' 29''$ ,01	$354^{\circ} 37' 46''$ ,28	$47^{\circ} 39' 57''$ ,95	$337^{\circ} 18' 2''$ ,15
$A'_{2,1}$	$247^{\circ} 8' 48''$ ,26	$174^{\circ} 37' 44''$ ,50	$227^{\circ} 39' 30''$ ,02	$157^{\circ} 18' 9''$ ,61
$*) - \psi_{2,1}$	$+ 19,77$	$- 1,91$	$- 25,79$	$+ 7,02$
$A_{2,1}$	$247^{\circ} 9' 8''$ ,03	$174^{\circ} 37' 42''$ ,59	$227^{\circ} 39' 4''$ ,23	$157^{\circ} 18' 16''$ ,63

\* Zie voorbeeld 3<sup>b</sup>, bldz. 72.

$\ell$	X Meters	$\ell$	X Meters	$\ell$	X Meters
$0^\circ 0'$	—	$1^\circ 0'$	111306,58	$2^\circ 0'$	222613,16
1	1855,11	1	113161,69	1	224468,27
2	3710,22	2	115016,80	2	226323,38
3	5565,33	3	116871,91	3	228178,49
4	7420,44	4	118727,02	4	230033,59
5	9275,55	5	120582,13	5	231888,70
6	11130,66	6	122437,24	6	233743,81
7	12985,77	7	124292,35	7	235598,92
8	14840,88	8	126147,46	8	237454,93
9	16695,99	9	128002,56	9	239309,14
$0^\circ 10'$	18551,10	$1^\circ 10'$	129857,67	$2^\circ 10'$	241164,25
11	20406,21	11	131712,78	11	243019,36
12	22261,32	12	133567,89	12	244874,47
13	24116,43	13	135423,00	13	246729,58
14	25971,53	14	137278,11	14	248584,69
15	27826,64	15	139133,22	15	250439,80
16	29681,75	16	140988,33	16	252294,91
17	31536,86	17	142843,44	17	254150,02
18	33391,97	18	144698,55	18	256005,13
19	35247,08	19	146553,66	19	257860,24
$0^\circ 20'$	37102,19	$1^\circ 20'$	148408,77	$2^\circ 20'$	259715,35
21	38957,30	21	150263,88	21	261570,46
22	40812,41	22	152118,99	22	263425,57
23	42667,52	23	153974,10	23	265280,68
24	44522,63	24	155829,21	24	267135,79
25	46377,74	25	157684,32	25	268990,90
26	48232,85	26	159539,43	26	270846,01
27	50087,96	27	161394,54	27	272701,12
28	51943,07	28	163249,65	28	274556,23
29	53798,18	29	165104,76	29	276411,34
$0^\circ 30'$	55653,29	$1^\circ 30'$	166959,87	$2^\circ 30'$	278266,45
31	57508,40	31	168814,98	31	280121,55
32	59363,51	32	170670,09	32	281976,66
33	61218,62	33	172525,20	33	283831,77
34	63073,73	34	174380,31	34	285686,88
35	64928,84	35	176235,42	35	287541,99
36	66783,95	36	178090,52	36	289397,10
37	68639,06	37	179945,63	37	291252,21
38	70494,17	38	181800,74	38	293107,32
39	72349,28	39	183655,85	39	294962,43
$0^\circ 40'$	74204,39	$1^\circ 40'$	185510,96	$2^\circ 40'$	296817,54
41	76059,50	41	187366,07	41	298672,65
42	77914,60	42	189221,18	42	300527,76
43	79769,71	43	191076,29	43	302382,87
44	81624,82	44	192931,40	44	304237,98
45	83479,93	45	194786,51	45	306093,09
46	85335,04	46	196641,62	46	307918,20
47	87190,15	47	198496,73	47	309803,31
48	89045,26	48	200351,84	48	311658,42
49	90900,37	49	202206,95	49	313513,53
$0^\circ 50'$	92755,48	$1^\circ 50'$	204062,06	$2^\circ 50'$	315368,64
51	94610,59	51	205917,17	51	317223,75
52	96465,70	52	207772,28	52	319078,86
53	98320,81	53	209627,39	53	320933,97
54	100175,92	54	211482,50	54	322789,08
55	102031,03	55	213337,61	55	324644,19
56	103886,14	56	215192,72	56	326499,30
57	105741,25	57	217047,83	57	328354,41
58	107596,36	58	218902,94	58	330209,51
59	109451,47	59	220758,05	59	332064,62
$1^\circ 0'$	111306,58	$2^\circ 0'$	222613,16	$3^\circ 0'$	333919,73

$A_x 1'' = +30,9185$  M. log  $A_x 1'' = 1,490218$ . Voor westelijke lengte is X negatief.

## T A F E L V a.

van  $3^{\circ} 0'$  tot  $6^{\circ} 0'$ .

$\ell$	X Meters	$\ell$	X Meters	$\ell$	X Meters
$3^{\circ} 0'$	333919,73	$4^{\circ} 0'$	445226,31	$5^{\circ} 0'$	556532,89
1	335774,84	1	447081,42	1	558388,00
2	337629,95	2	448936,53	2	560243,11
3	339485,66	3	450791,64	3	562098,22
4	341340,17	4	452646,75	4	563953,33
5	343195,28	5	454501,86	5	565808,44
6	345050,39	6	456356,97	6	567603,55
7	346905,50	7	458212,08	7	569518,66
8	348760,61	8	460067,19	8	571373,77
9	350615,72	9	461922,30	9	573228,88
$3^{\circ} 10'$	352470,83	$4^{\circ} 10'$	463777,41	$5^{\circ} 10'$	575083,99
11	354325,94	11	465632,52	11	576939,10
12	356181,05	12	467487,63	12	578794,21
13	358036,16	13	469342,74	13	580649,32
14	359891,27	14	471197,85	14	582504,43
15	361746,38	15	473052,96	15	584359,53
16	363601,49	16	474908,07	16	586214,64
17	365456,60	17	476763,18	17	588069,75
18	367311,71	18	478618,29	18	589924,86
19	369166,82	19	480473,40	19	591779,97
$3^{\circ} 20'$	371021,93	$4^{\circ} 20'$	482328,50	$5^{\circ} 20'$	593635,08
21	372877,04	21	484183,61	21	595490,19
22	374732,15	22	486038,72	22	597345,30
23	376587,26	23	487893,83	23	599200,41
24	378442,37	24	489748,94	24	601055,52
25	380297,48	25	491604,05	25	602910,63
26	382152,58	26	493459,16	26	604765,74
27	384007,69	27	495314,27	27	606620,85
28	385862,80	28	497169,38	28	608475,96
29	387717,91	29	499024,49	29	610331,07
$3^{\circ} 30'$	389573,02	$4^{\circ} 30'$	500879,60	$5^{\circ} 30'$	612186,18
31	391428,13	31	502734,71	31	614041,29
32	393283,24	32	504589,82	32	615896,40
33	395138,35	33	506444,93	33	617751,51
34	396993,46	34	508300,04	34	619606,62
35	398848,57	35	510155,15	35	621461,73
36	400703,68	36	512010,26	36	623316,84
37	402558,79	37	513865,37	37	625171,95
38	404413,90	38	515720,48	38	627027,06
39	406269,01	39	517575,59	39	628882,17
$3^{\circ} 40'$	408124,12	$4^{\circ} 40'$	519430,70	$5^{\circ} 40'$	630737,28
41	409979,23	41	521285,81	41	632592,39
42	411834,34	42	523140,92	42	634447,49
43	413689,45	43	524996,03	43	636302,60
44	415544,56	44	526851,14	44	638157,71
45	417399,67	45	528706,25	45	640012,82
46	419254,78	46	530561,36	46	641867,93
47	421109,89	47	532416,47	47	643723,04
48	422965,00	48	534271,57	48	645578,15
49	424820,11	49	536126,68	49	647433,26
$3^{\circ} 50'$	426675,22	$4^{\circ} 50'$	537981,79	$5^{\circ} 50'$	649288,37
51	428530,33	51	539836,90	51	651143,48
52	430385,44	52	541692,01	52	652998,59
53	432240,54	53	543547,12	53	654853,70
54	434095,65	54	545402,23	54	656708,81
55	435950,76	55	547257,34	55	658563,92
56	437805,87	56	549112,45	56	660419,03
57	439660,98	57	550967,56	57	662274,14
58	441516,09	58	552822,67	58	664129,25
59	443371,20	59	554677,78	59	665984,36
$4^{\circ} 0'$	445226,31	$5^{\circ} 0'$	556532,89	$6^{\circ} 0'$	667839,47

 $A_x 1'' = + 30,9185$  M. log  $A_x 1'' = 1,490218$ . Voor westelijke lengte is X negatief.

$\varphi$	$Y$ Meters	$\log Ay 1''$	$\varphi$	$Y$ Meters	$\log Ay 1''$
$0^{\circ} 0'$	—		$1^{\circ} 0'$	110569,36	1,487379
1	1842,73	1,487310	1	112412,38	1,487381
2	3685,46	1,487308	2	114255,41	1,487383
3	5528,18	1,487310	3	116098,45	1,487383
4	7370,91	1,487310	4	117941,49	1,487388
5	9213,64	1,487310	5	119784,55	1,487391
6	11056,37	1,487310	6	121627,62	1,487391
7	12899,10	1,487313	7	123470,69	1,487395
8	14741,84	1,487310	8	125313,78	1,487398
9	16584,57	1,487313	9	127156,88	1,487400
$0^{\circ} 10'$	18427,31	1,487310	$1^{\circ} 10'$	128999,99	1,487402
11	20270,04	1,487313	11	130843,11	1,487405
12	22112,78	1,487313	12	132686,24	1,487409
13	23955,52	1,487313	13	134529,39	1,487409
14	25798,26	1,487315	14	136372,54	1,487414
15	27641,01	1,487313	15	138215,71	1,487416
16	29483,75	1,487315	16	140058,89	1,487419
17	31326,50	1,487318	17	141902,08	1,487421
18	33169,26	1,487315	18	143745,28	1,487424
19	35012,01	1,487318	19	145588,49	1,487428
$0^{\circ} 20'$	36854,77	1,487318	$1^{\circ} 20'$	147431,72	1,487431
21	38697,53	1,487320	21	149274,96	1,487433
22	40540,30	1,487318	22	151118,21	1,487438
23	42383,06	1,487320	23	152961,48	1,487440
24	44225,83	1,487322	24	154804,76	1,487442
25	46068,61	1,487322	25	156648,05	1,487447
26	47911,39	1,487322	26	158491,36	1,487447
27	49754,17	1,487325	27	160334,67	1,487454
28	51596,96	1,487325	28	162178,01	1,487454
29	53439,75	1,487327	29	164021,35	1,487461
$0^{\circ} 30'$	55282,55	1,487327	$1^{\circ} 30'$	165864,72	1,487461
31	57125,35	1,487329	31	167708,09	1,487466
32	58968,16	1,487329	32	169551,48	1,487468
33	60810,97	1,487332	33	171394,88	1,487473
34	62653,79	1,487332	34	173238,30	1,487478
35	64496,61	1,487332	35	175081,74	1,487478
36	66339,43	1,487336	36	176925,18	1,487485
37	68182,27	1,487336	37	178768,65	1,487487
38	70025,11	1,487336	38	180612,13	1,487489
39	71867,95	1,487339	39	182455,62	1,487494
$0^{\circ} 40'$	73710,80	1,487341	$1^{\circ} 40'$	184299,13	1,487499
41	75553,66	1,487341	41	186142,66	1,487501
42	77396,52	1,487346	42	187986,20	1,487506
43	79239,40	1,487343	43	189829,76	1,487511
44	81082,27	1,487348	44	191673,34	1,487513
45	82925,16	1,487348	45	193516,93	1,487515
46	84768,05	1,487351	46	195360,53	1,487522
47	86610,95	1,487351	47	197204,16	1,487525
48	88453,85	1,487355	48	199047,80	1,487530
49	90296,77	1,487355	49	200891,46	1,487532
$0^{\circ} 50'$	92139,69	1,487358	$1^{\circ} 50'$	202735,13	1,487539
51	93982,62	1,487360	51	204578,83	1,487541
52	95825,56	1,487360	52	206422,54	1,487546
53	97668,50	1,487365	53	208266,27	1,487548
54	99511,46	1,487365	54	210110,01	1,487555
55	101354,42	1,487367	55	211953,78	1,487558
56	103197,39	1,487369	56	213797,56	1,487563
57	105040,37	1,487372	57	215641,36	1,487567
58	106883,36	1,487374	58	217485,18	1,487572
59	108726,36	1,487374	59	219329,02	1,487574
$1^{\circ} 0'$	110569,36	1,487374	$2^{\circ} 0'$	221172,87	

Voor zuidelijke breedte is  $Y$  negatief.

## TAFEL Vb.

 $\varphi$  van  $2^{\circ} 0'$  tot  $4^{\circ} 0'$ .

$\varphi$	$Y$ Meters	$\log A_y 1''$	$\varphi$	$Y$ Meters	$\log A_y 1''$
$2^{\circ} 0'$	221172,87	1,487581	$3^{\circ} 0'$	331844,72	1,487916
1	223016,75	1,487584	1	333690,02	1,487923
2	224860,64	1,487591	2	335535,35	1,487932
3	226704,56	1,487593	3	337380,72	1,487937
4	228548,49	1,487598	4	339226,11	1,487944
5	230392,44	1,487605	5	341071,53	1,487951
6	232236,42	1,487607	6	342916,98	1,487958
7	234080,41	1,487612	7	344762,46	1,487965
8	235924,42	1,487619	8	346607,97	1,487970
9	237768,46	1,487621	9	348453,50	1,487979
$2^{\circ} 10'$	239612,51	1,487626	$3^{\circ} 10'$	350299,07	1,487986
11	241456,58	1,487633	11	352144,67	1,487993
12	243300,68	1,487636	12	353990,30	1,488000
13	245144,79	1,487643	13	355835,96	1,488007
14	246988,93	1,487647	14	357681,65	1,488015
15	248833,09	1,487652	15	359527,37	1,488022
16	250677,27	1,487657	16	361373,12	1,488029
17	252521,47	1,487661	17	363218,90	1,488038
18	254365,69	1,487668	18	365064,72	1,488043
19	256209,94	1,487671	19	366910,56	1,488052
$2^{\circ} 20'$	258054,20	1,487678	$3^{\circ} 20'$	368756,44	1,488059
21	259898,49	1,487683	21	370602,35	1,488066
22	261742,80	1,487690	22	372448,29	1,488073
23	263587,14	1,487692	23	374294,26	1,488080
24	265431,49	1,487699	24	376140,26	1,488090
25	267275,87	1,487704	25	377986,30	1,488097
26	269120,27	1,487711	26	379832,37	1,488104
27	270964,70	1,487713	27	381678,47	1,488113
28	272809,14	1,487723	28	383524,61	1,488118
29	274653,62	1,487725	29	385370,77	1,488130
$2^{\circ} 30'$	276498,11	1,487732	$3^{\circ} 30'$	387216,98	1,488134
31	278342,63	1,487737	31	389063,21	1,488144
32	280187,17	1,487744	32	390909,48	1,488151
33	282031,74	1,487749	33	392755,78	1,488158
34	283876,33	1,487756	34	394602,11	1,488167
35	285720,95	1,487760	35	396448,48	1,488175
36	287565,59	1,487765	36	398294,88	1,488184
37	289410,25	1,487772	37	400141,32	1,488191
38	291254,94	1,487777	38	401987,79	1,488200
39	293099,65	1,487784	39	403834,30	1,488207
$2^{\circ} 40'$	294944,39	1,487791	$3^{\circ} 40'$	405680,84	1,488217
41	296789,16	1,487796	41	407527,12	1,488224
42	298633,95	1,487803	42	409374,03	1,488231
43	300478,77	1,487807	43	411220,67	1,488240
44	302323,61	1,487812	44	413067,35	1,488250
45	304168,47	1,487822	45	414914,07	1,488257
46	306013,37	1,487826	46	416760,82	1,488266
47	307858,29	1,487833	47	418607,61	1,488273
48	309703,24	1,487838	48	420454,43	1,488283
49	311548,21	1,487845	49	422301,29	1,488292
$2^{\circ} 50'$	313393,21	1,487852	$3^{\circ} 50'$	424148,19	1,488299
51	315238,24	1,487857	51	425995,12	1,488309
52	317083,29	1,487864	52	427842,09	1,488318
53	318928,37	1,487871	53	429689,10	1,488327
54	320773,48	1,487878	54	431536,15	1,488334
55	322618,62	1,487883	55	433383,23	1,488341
56	324463,78	1,487890	56	435230,34	1,488353
57	326308,97	1,487897	57	437077,50	1,488360
58	328154,19	1,487904	58	438924,69	1,488370
59	329999,44	1,487911	59	440771,92	1,488379
$3^{\circ} 0'$	331844,72		$4^{\circ} 0'$	442619,19	

Voor zuidelijke breedte is  $Y$  negatief.

$\varphi$	$Y$ Meters	$\log A_y \text{ } 1''$	$A_2$	$\varphi$	$Y$ Meters	$\log A_y \text{ } 1''$	$A_2$	Correctien voor de tweede verschillen
$4^{\circ} 0'$	442619,19	1,488388		$5^{\circ} 0'$	553530,75	1,488995		3
1	444466,50	1,488396	3	1	555380,64	1,489004	4	
2	446313,84	1,488407	5	2	557230,57	1,489016	5	
3	448161,23	1,488414	3	3	559080,55	1,489027	5	$2''$ — $58''$
4	450008,65	1,488424	4	4	560930,58	1,489039	5	7 0,1 53
5	451856,11	1,488433	4	5	562780,66	1,489049	4	
6	453703,61	1,488443	4	6	564630,78	1,489063	6	13 0,2 47
7	455551,15	1,488452	4	7	566480,96	1,489072	4	$22$ 0,3 38
8	457398,73	1,488459	3	8	568331,18	1,489084	5	5 0,4 30
9	459246,34	1,488459	5	9	570181,45	1,489096	5	
$4^{\circ} 10'$	461094,00	1,488471	4	$5^{\circ} 10'$	572031,77	1,489107	5	4
11	462941,70	1,488480	3	11	573882,14	1,489119	5	
12	464789,43	1,488487	5	12	575732,56	1,489131	5	
13	466637,21	1,488499	3	13	577583,03	1,489143	5	$2''$ — $58''$
14	468485,92	1,488502	5	14	579433,55	1,489154	5	7 0,1 55
15	470332,88	1,488527	4	15	581284,12	1,489166	5	
16	472180,78	1,488537	4	16	583134,74	1,489178	5	9 0,2 51
17	474028,72	1,488544	3	17	584985,41	1,489189	5	$14$ 0,3 46
18	475876,69	1,488555	5	18	586836,13	1,489201	5	
19	477724,71	1,488565	4	19	588686,90	1,489213	5	$21$ 0,4 39
$4^{\circ} 20'$	479572,77	1,488577	5	$5^{\circ} 20'$	590537,72	1,489225	5	
21	481420,88	1,488584	3	21	592388,59	1,489239	6	$30$ 0,5 30
22	483269,02	1,488593	4	22	594239,52	1,489248	6	5
23	485117,20	1,488605	5	23	596090,49	1,489262	5	
24	486965,43	1,488614	4	24	597941,52	1,489274	5	5
25	488813,70	1,488624	4	25	599792,60	1,489286	5	
26	490662,01	1,488633	4	26	601643,73	1,489297	5	$1''$ 0,1 59''
27	492510,36	1,488645	5	27	603494,91	1,489309	6	4 0,2 56
28	494358,76	1,488654	4	28	605346,14	1,489323	4	
29	496207,20	1,488664	4	29	607197,43	1,489333	4	7 0,3 53
$4^{\circ} 30'$	498055,68	1,488673	4	$5^{\circ} 30'$	609048,76	1,489349	7	
31	499904,20	1,488685	5	31	610900,16	1,489358	4	$10$ 0,4 50
32	501752,77	1,488694	4	32	612751,60	1,489370	5	$14$ 0,5 46
33	503601,38	1,488703	4	33	614603,09	1,489384	6	$20$ 0,6 40
34	505450,93	1,488715	5	34	616454,64	1,489398	6	$30$ 0,7 30
35	507298,73	1,488725	4	35	618306,25	1,489408	4	
36	509147,47	1,488734	4	36	620157,90	1,489422	5	
37	510996,25	1,488746	5	37	622009,61	1,489433	6	6
38	512845,08	1,488755	4	38	623861,37	1,489447	6	
39	514693,95	1,488767	5	39	625713,19	1,489459	5	
$4^{\circ} 40'$	516542,87	1,488776	4	$5^{\circ} 40'$	627565,06	1,489473	5	$1''$ 0,1 59''
41	518391,83	1,488786	4	41	629416,99	1,489485	5	4 0,2 56
42	520240,83	1,488797	5	42	631268,97	1,489497	6	
43	522089,88	1,488809	5	43	633121,00	1,489511	6	$0,3$ 54
44	523938,98	1,488819	4	44	634973,09	1,489523	5	$8$ 0,4 52
45	525788,12	1,488830	5	45	636835,23	1,489537	6	$13$ 0,4 49
46	527637,31	1,488840	4	46	638677,43	1,489548	5	$15$ 0,5 45
47	529486,54	1,488849	4	47	640529,68	1,489562	6	$0,6$ 41
48	531335,81	1,488863	6	48	642381,99	1,489574	6	$19$ 0,7 30
49	533185,14	1,488873	4	49	644234,35	1,489588	6	
$4^{\circ} 50'$	53503451	1,488882	4	$5^{\circ} 50'$	646086,77	1,489602	6	
51	536883,92	1,488894	5	51	647939,25	1,489614	5	
52	538733,38	1,488905	5	52	649791,78	1,489628	6	
53	540582,89	1,488915	4	53	651644,37	1,489640	5	
54	542432,44	1,488927	5	54	653497,01	1,489654	6	
55	544282,04	1,488938	5	55	655349,71	1,489668	6	
56	546131,69	1,488950	5	56	657202,47	1,489680	5	
57	547981,39	1,488959	4	57	659055,28	1,489694	6	
58	549831,13	1,488971	5	58	660908,15	1,489708	5	
59	551680,92	1,488981	4	59	662761,08	1,489719	5	
$5^{\circ} 0'$	553530,75	6	$6^{\circ} 0'$	664614,06	6			

Voor zuidelijke breedte is  $Y$  negatief.

## TAFEL Vc.

X van 0 tot 240 K.M.

X K.M.	<i>t</i>	X K.M.	<i>t</i>	X K.M.	<i>t</i>	X K.M.	<i>t</i>
0	0° 0' 0''	60	0° 32' 20'', 586	120	1° 4' 41'', 172	180	1° 37' 1'', 758
1	0 32 ,343	61	0 32 52 ,929	121	1 5 13 ,515	181	1 37 34 ,101
2	0 1 4 ,686	62	0 33 25 ,272	122	1 5 45 ,858	182	1 38 6 ,445
3	0 1 37 ,029	63	0 33 57 ,615	123	1 6 18 ,202	183	1 38 38 ,788
4	0 2 9 ,372	64	0 34 29 ,959	124	1 6 50 ,545	184	1 39 11 ,131
5	0 2 41 ,716	65	0 35 2 ,302	125	1 7 22 ,888	185	1 39 43 ,474
6	0 3 14 ,059	66	0 35 34 ,645	126	1 7 55 ,231	186	1 40 15 ,817
7	0 3 46 ,402	67	0 36 6 ,988	127	1 8 27 ,574	187	1 40 48 ,160
8	0 4 18 ,745	68	0 36 39 ,331	128	1 8 59 ,917	188	1 41 20 ,503
9	0 4 51 ,088	69	0 37 11 ,674	129	1 9 32 ,260	189	1 41 52 ,846
10	0 5 23 ,431	70	0 37 44 ,017	130	1 10 4 ,603	190	1 42 25 ,189
11	0 5 55 ,774	71	0 38 16 ,360	131	1 10 36 ,946	191	1 42 57 ,532
12	0 6 28 ,117	72	0 38 48 ,703	132	1 11 9 ,289	192	1 43 29 ,876
13	0 7 0 ,460	73	0 39 21 ,046	133	1 11 41 ,633	193	1 44 2 ,219
14	0 7 32 ,803	74	0 39 53 ,390	134	1 12 13 ,976	194	1 44 34 ,562
15	0 8 5 ,147	75	0 40 25 ,733	135	1 12 46 ,319	195	1 45 6 ,905
16	0 8 37 ,490	76	0 40 58 ,076	136	1 13 18 ,662	196	1 45 39 ,248
17	0 9 9 ,833	77	0 41 30 ,419	137	1 13 51 ,005	197	1 46 11 ,591
18	0 9 42 ,176	78	0 42 2 ,762	138	1 14 23 ,348	198	1 46 43 ,934
19	0 10 14 ,519	79	0 42 35 ,105	139	1 14 55 ,691	199	1 47 16 ,277
20	0 10 46 ,862	80	0 43 7 ,448	140	1 15 28 ,034	200	1 47 48 ,620
21	0 11 19 ,205	81	0 43 39 ,791	141	1 16 0 ,377	201	1 48 20 ,963
22	0 11 51 ,548	82	0 44 12 ,134	142	1 16 32 ,720	202	1 48 53 ,307
23	0 12 23 ,891	83	0 44 44 ,477	143	1 17 5 ,064	203	1 49 25 ,650
24	0 12 56 ,234	84	0 45 16 ,821	144	1 17 37 ,407	204	1 49 57 ,993
25	0 13 28 ,578	85	0 45 49 ,164	145	1 18 9 ,750	205	1 50 30 ,336
26	0 14 0 ,921	86	0 46 21 ,507	146	1 18 42 ,093	206	1 51 2 ,679
27	0 14 33 ,264	87	0 46 53 ,850	147	1 19 14 ,436	207	1 51 35 ,022
28	0 15 5 ,607	88	0 47 26 ,193	148	1 19 46 ,779	208	1 52 7 ,365
29	0 15 37 ,950	89	0 47 58 ,536	149	1 20 19 ,122	209	1 52 39 ,708
30	0 16 10 ,293	90	0 48 30 ,879	150	1 20 51 ,465	210	1 53 12 ,051
31	0 16 42 ,636	91	0 49 3 ,222	151	1 21 23 ,808	211	1 53 44 ,395
32	0 17 14 ,979	92	0 49 35 ,565	152	1 21 56 ,151	212	1 54 16 ,738
33	0 17 47 ,322	93	0 50 7 ,908	153	1 22 28 ,495	213	1 54 49 ,081
34	0 18 19 ,665	94	0 50 40 ,252	154	1 23 0 ,838	214	1 55 21 ,424
35	0 18 52 ,009	95	0 51 12 ,595	155	1 23 33 ,181	215	1 55 53 ,767
36	0 19 24 ,352	96	0 51 44 ,938	156	1 24 5 ,524	216	1 56 26 ,110
37	0 19 56 ,695	97	0 52 17 ,281	157	1 24 37 ,867	217	1 56 58 ,453
38	0 20 29 ,038	98	0 52 49 ,624	158	1 25 10 ,210	218	1 57 30 ,796
39	0 21 1 ,381	99	0 53 21 ,967	159	1 25 42 ,553	219	1 58 3 ,139
40	0 21 33 ,724	100	0 53 54 ,310	160	1 26 14 ,896	220	1 58 35 ,482
41	0 22 6 ,067	101	0 54 26 ,653	161	1 26 47 ,239	221	1 59 7 ,826
42	0 22 38 ,410	102	0 54 58 ,996	162	1 27 19 ,583	222	1 59 40 ,169
43	0 23 10 ,753	103	0 55 31 ,339	163	1 27 51 ,926	223	2 0 12 ,512
44	0 23 43 ,096	104	0 56 3 ,683	164	1 28 24 ,269	224	2 0 44 ,855
45	0 24 15 ,440	105	0 56 36 ,026	165	1 28 56 ,612	225	2 1 17 ,198
46	0 24 47 ,783	106	0 57 8 ,369	166	1 29 28 ,955	226	2 1 49 ,541
47	0 25 20 ,126	107	0 57 40 ,712	167	1 30 1 ,298	227	2 2 21 ,884
48	0 25 52 ,469	108	0 58 13 ,055	168	1 30 33 ,641	228	2 2 54 ,227
49	0 26 24 ,812	109	0 58 45 ,398	169	1 31 5 ,984	229	2 3 26 ,570
50	0 26 57 ,155	110	0 59 17 ,741	170	1 31 38 ,327	230	2 3 58 ,913
51	0 27 29 ,498	111	0 59 50 ,084	171	1 32 10 ,670	231	2 4 31 ,257
52	0 28 1 ,841	112	1 0 22 ,427	172	1 32 43 ,014	232	2 5 3 ,600
53	0 28 34 ,184	113	1 0 54 ,771	173	1 33 15 ,357	233	2 5 35 ,943
54	0 29 6 ,528	114	1 1 27 ,114	174	1 33 47 ,700	234	2 6 8 ,286
55	0 29 38 ,871	115	1 1 59 ,457	175	1 34 20 ,043	235	2 6 40 ,629
56	0 30 11 ,214	116	1 2 31 ,800	176	1 34 52 ,386	236	2 7 12 ,972
57	0 30 43 ,557	117	1 3 4 ,143	177	1 35 24 ,729	237	2 7 45 ,315
58	0 31 15 ,900	118	1 3 36 ,486	178	1 35 57 ,072	238	2 8 17 ,658
59	0 31 48 ,243	119	1 4 8 ,829	179	1 36 29 ,415	239	2 8 50 ,001
60	0° 32' 20'', 586	120	1° 4' 41'', 172	180	1° 37' 1'', 758	240	2° 9' 22'', 344

 $A_t = 32'', 343 \log A_t = 1,50978$ . Voor  $X$  negatief is de lengte westelijk.

X K.M.	<i>l</i>	X K.M.	<i>l</i>	X K.M.	<i>l</i>	X K.M.	<i>l</i>
240	2° 9' 22", 344	300	2° 41' 42", 931	360	3° 14' 3", 517	420	3° 46' 24", 103
241	2 9 54 ,688	301	2 42 15 ,274	361	3 14 35 ,860	421	3 46 56 ,446
242	2 10 27 ,031	302	2 42 47 ,617	362	3 15 8 ,203	422	3 47 28 ,789
243	2 10 59 ,374	303	2 43 19 ,960	363	3 15 40 ,546	423	3 48 1 ,132
244	2 11 31 ,717	304	2 43 52 ,303	364	3 16 12 ,889	424	3 48 33 ,475
245	2 12 4 ,060	305	2 44 24 ,646	365	3 16 45 ,232	425	3 49 5 ,818
246	2 12 36 ,403	306	2 44 56 ,989	366	3 17 17 ,575	426	3 49 38 ,161
247	2 13 8 ,746	307	2 45 29 ,332	367	3 17 49 ,918	427	3 50 10 ,505
248	2 13 41 ,089	308	2 46 1 ,675	368	3 18 22 ,262	428	3 50 42 ,848
249	2 14 13 ,432	309	2 46 34 ,019	369	3 18 54 ,605	429	3 51 15 ,191
250	2 14 45 ,775	310	2 47 6 ,362	370	3 19 26 ,948	430	3 51 47 ,534
251	2 15 18 ,119	311	2 47 38 ,705	371	3 19 59 ,291	431	3 52 19 ,877
252	2 15 50 ,462	312	2 48 11 ,048	372	3 20 31 ,634	432	3 52 52 ,220
253	2 16 22 ,805	313	2 48 43 ,391	373	3 21 3 ,977	433	3 53 24 ,563
254	2 16 55 ,148	314	2 49 15 ,734	374	3 21 36 ,320	434	3 53 56 ,906
255	2 17 27 ,491	315	2 49 48 ,977	375	3 22 8 ,663	435	3 54 29 ,249
256	2 17 59 ,834	316	2 50 20 ,420	376	3 22 41 ,006	436	3 55 1 ,592
257	2 18 32 ,177	317	2 50 52 ,763	377	3 23 13 ,349	437	3 55 33 ,936
258	2 19 4 ,520	318	2 51 25 ,106	378	3 23 45 ,693	438	3 56 6 ,279
259	2 19 36 ,863	319	2 51 57 ,450	379	3 24 18 ,036	439	3 56 38 ,622
260	2 20 9 ,207	320	2 52 29 ,793	380	3 24 50 ,379	440	3 57 10 ,965
261	2 20 41 ,550	321	2 53 2 ,136	381	3 25 22 ,722	441	3 57 43 ,308
262	2 21 13 ,893	322	2 53 34 ,479	382	3 25 55 ,065	442	3 58 15 ,651
263	2 21 46 ,236	323	2 54 6 ,822	383	3 26 27 ,408	443	3 58 47 ,994
264	2 22 18 ,579	324	2 54 39 ,165	384	3 26 59 ,751	444	3 59 20 ,337
265	2 22 50 ,922	325	2 55 11 ,508	385	3 27 32 ,094	445	3 59 52 ,680
266	2 23 23 ,265	326	2 55 43 ,851	386	3 28 4 ,437	446	4 0 25 ,023
267	2 23 55 ,608	327	2 56 16 ,194	387	3 28 36 ,780	447	4 0 57 ,367
268	2 24 27 ,951	328	2 56 48 ,537	388	3 29 9 ,124	448	4 1 29 ,710
269	2 25 0 ,294	329	2 57 20 ,881	389	3 29 41 ,467	449	4 2 2 ,053
270	2 25 32 ,638	330	2 57 53 ,224	390	3 30 13 ,810	450	4 2 34 ,396
271	2 26 4 ,981	331	2 58 25 ,567	391	3 30 46 ,153	451	4 3 6 ,739
272	2 26 37 ,324	332	2 58 57 ,910	392	3 31 18 ,499	452	4 3 39 ,082
273	2 27 9 ,667	333	2 59 30 ,253	393	3 31 50 ,839	453	4 4 11 ,425
274	2 27 42 ,010	334	3 0 2 ,596	394	3 32 23 ,182	454	4 4 43 ,768
275	2 28 14 ,353	335	3 0 34 ,939	395	3 32 55 ,525	455	4 5 16 ,111
276	2 28 46 ,696	336	3 1 7 ,282	396	3 33 27 ,868	456	4 5 48 ,454
277	2 29 19 ,039	337	3 1 39 ,625	397	3 34 0 ,211	457	4 6 20 ,798
278	2 29 51 ,382	338	3 2 11 ,968	398	3 34 32 ,555	458	4 6 53 ,141
279	2 30 23 ,725	339	3 2 44 ,312	399	3 35 4 ,898	459	4 7 25 ,484
280	2 30 56 ,069	340	3 3 16 ,655	400	3 35 37 ,241	460	4 7 57 ,827
281	2 31 28 ,412	341	3 3 48 ,998	401	3 36 9 ,584	461	4 8 30 ,170
282	2 32 0 ,755	342	3 4 21 ,341	402	3 36 41 ,927	462	4 9 2 ,513
283	2 32 33 ,098	343	3 4 53 ,684	403	3 37 14 ,270	463	4 9 34 ,856
284	2 33 5 ,441	344	3 5 26 ,027	404	3 37 46 ,613	464	4 10 7 ,199
285	2 33 37 ,784	345	3 5 58 ,370	405	3 38 18 ,956	465	4 10 39 ,542
286	2 34 10 ,127	346	3 6 30 ,713	406	3 38 51 ,299	466	4 11 11 ,886
287	2 34 42 ,470	347	3 7 3 ,056	407	3 39 23 ,642	467	4 11 44 ,229
288	2 35 14 ,813	348	3 7 35 ,399	408	3 39 55 ,986	468	4 12 16 ,572
289	2 35 47 ,156	349	3 8 7 ,743	409	3 40 28 ,329	469	4 12 48 ,915
290	2 36 19 ,500	350	3 8 40 ,086	410	3 41 0 ,672	470	4 13 21 ,258
291	2 36 51 ,843	351	3 9 12 ,429	411	3 41 33 ,015	471	4 13 53 ,601
292	2 37 24 ,186	352	3 9 44 ,772	412	3 42 5 ,358	472	4 14 25 ,944
293	2 37 56 ,529	353	3 10 17 ,115	413	3 42 37 ,701	473	4 14 58 ,287
294	2 38 28 ,872	354	3 10 49 ,458	414	3 43 10 ,044	474	4 15 30 ,630
295	2 39 1 ,215	355	3 11 21 ,801	415	2 43 42 ,387	475	4 16 2 ,973
296	2 39 33 ,558	356	3 11 54 ,144	416	3 44 14 ,730	476	4 16 35 ,317
297	2 40 5 ,901	357	3 12 26 ,487	417	3 44 47 ,074	477	4 17 7 ,660
298	2 40 38 ,244	358	3 12 58 ,830	418	3 45 19 ,417	478	4 17 40 ,003
299	2 41 10 ,587	359	3 13 31 ,174	419	3 45 51 ,760	479	4 18 12 ,346
300	2° 41' 42", 931	360	3° 14' 3", 517	420	3° 46' 24", 103	480	4° 18' 44", 689

$A_l = 32'', 343 \log A_l = 1,50978$ . Voor  $X$  negatief is de lengte westelijk.

## T A F E L Vc.

X van 480 tot 668 K.M.

X K.M.	<i>l</i>	X K.M.	<i>l</i>	X K.M.	<i>l</i>	X K.M.	<i>l</i>
<b>480</b>	$4^{\circ}18'44''$ ,589	<b>530</b>	$4^{\circ}45'41''$ ,844	<b>580</b>	$5^{\circ}12'38''$ ,999	<b>630</b>	$5^{\circ}39'36''$ ,154
481	4 19 17 ,032	531	4 46 14 ,187	581	5 13 11 ,342	631	5 40 8 ,497
482	4 19 49 ,375	532	4 46 46 ,530	582	5 13 43 ,685	632	5 40 40 ,840
483	4 20 21 ,718	533	4 47 18 ,873	583	5 14 16 ,028	633	5 41 13 ,184
484	4 20 54 ,061	534	4 47 51 ,216	584	5 14 48 ,372	634	5 41 45 ,527
485	4 21 26 ,404	535	4 48 23 ,560	585	5 15 20 ,715	635	5 42 17 ,870
486	4 21 58 ,748	536	4 48 55 ,903	586	5 15 53 ,058	636	5 42 50 ,213
487	4 22 31 ,091	537	4 49 28 ,246	587	5 16 25 ,401	637	5 43 22 ,556
488	4 23 3 ,434	538	4 50 0 ,589	588	5 16 57 ,744	638	5 43 54 ,899
489	4 23 35 ,777	539	4 50 32 ,932	589	5 17 30 ,087	639	5 44 27 ,242
<b>490</b>	4 24 8 ,120	<b>540</b>	4 51 5 ,275	<b>590</b>	5 18 2 ,430	<b>640</b>	5 44 59 ,585
491	4 24 40 ,463	541	4 51 37 ,618	591	5 18 34 ,773	641	5 45 31 ,928
492	4 25 12 ,806	542	4 52 9 ,961	592	5 19 7 ,116	642	5 46 4 ,271
493	4 25 45 ,149	543	4 52 42 ,304	593	5 19 39 ,459	643	5 46 36 ,615
494	4 26 17 ,492	544	4 53 14 ,647	594	5 20 11 ,803	644	5 47 8 ,958
495	4 26 49 ,835	545	4 53 46 ,991	595	5 20 44 ,146	645	5 47 41 ,301
496	4 27 22 ,179	546	4 54 19 ,334	596	5 21 16 ,489	646	5 48 13 ,644
497	4 27 54 ,522	547	4 54 51 ,677	597	5 21 48 ,832	647	5 48 45 ,987
498	4 28 26 ,865	548	4 55 24 ,020	598	5 22 21 ,175	648	5 49 18 ,330
499	4 28 59 ,208	549	4 55 56 ,363	599	5 22 53 ,518	649	5 49 50 ,673
<b>500</b>	4 29 31 ,551	<b>550</b>	4 56 28 ,706	<b>600</b>	5 23 25 ,861	<b>650</b>	5 50 23 ,016
501	4 30 3 ,894	551	4 57 1 ,049	601	5 23 58 ,204	651	5 50 55 ,359
502	4 30 36 ,237	552	4 57 33 ,392	602	5 24 30 ,547	652	5 51 27 ,702
503	4 31 8 ,580	553	4 58 5 ,735	603	5 25 2 ,890	653	5 52 0 ,046
504	4 31 40 ,923	554	4 58 38 ,078	604	5 25 35 ,234	654	5 52 32 ,389
505	4 32 13 ,266	555	4 59 10 ,422	605	5 26 7 ,577	655	5 53 4 ,732
506	4 32 45 ,610	556	4 59 42 ,765	606	5 26 39 ,920	656	5 53 37 ,075
507	4 33 17 ,953	557	5 0 15 ,108	607	5 27 12 ,263	657	5 54 9 ,418
508	4 33 50 ,296	558	5 0 47 ,451	608	5 27 44 ,606	658	5 54 41 ,761
509	4 34 22 ,639	559	5 1 19 ,794	609	5 28 16 ,949	659	5 55 14 ,104
<b>510</b>	4 34 54 ,982	<b>560</b>	5 1 52 ,137	<b>610</b>	5 28 49 ,292	<b>660</b>	5 55 46 ,447
511	4 35 27 ,325	561	5 2 24 ,480	611	5 29 21 ,635	661	5 56 18 ,790
512	4 35 59 ,668	562	5 2 56 ,823	612	5 29 53 ,978	662	5 56 51 ,133
513	4 36 32 ,011	563	5 3 29 ,166	613	5 30 26 ,321	663	5 57 23 ,477
514	4 37 4 ,354	564	5 4 1 ,509	614	5 30 58 ,665	664	5 57 55 ,820
515	4 37 36 ,697	565	5 4 33 ,853	615	5 31 31 ,008	665	5 58 28 ,163
516	4 38 9 ,041	566	5 5 6 ,196	616	5 32 3 ,351	666	5 59 0 ,506
517	4 38 41 ,384	567	5 5 38 ,539	617	5 32 35 ,694	667	5 59 32 ,849
518	4 39 13 ,727	568	5 6 10 ,882	618	5 33 8 ,037		
519	4 39 46 ,070	569	5 6 43 ,225	619	5 33 40 ,380		
<b>520</b>	4 40 18 ,413	<b>570</b>	5 7 15 ,568	<b>620</b>	5 34 12 ,723		
521	4 40 50 ,756	571	5 7 47 ,911	621	5 34 45 ,066		
522	4 41 23 ,099	572	5 8 20 ,254	622	5 35 17 ,409		
523	4 41 55 ,442	573	5 8 52 ,597	623	5 35 49 ,753		
524	4 42 27 ,785	574	5 9 24 ,941	624	5 36 22 ,096		
525	4 43 0 ,129	575	5 9 57 ,284	625	5 36 54 ,439		
526	4 43 32 ,472	576	5 10 29 ,627	626	5 37 26 ,782		
527	4 44 4 ,815	577	5 11 1 ,970	627	5 37 59 ,125		
528	4 44 37 ,158	578	5 11 34 ,313	628	5 38 31 ,468		
529	4 45 9 ,501	579	5 12 6 ,656	629	5 39 3 ,811		
<b>530</b>	$4^{\circ}45'41''$ ,844	<b>580</b>	$5^{\circ}12'38''$ ,999	<b>630</b>	$5^{\circ}39'36''$ ,154		

$A\ell = 32'',343$  log  $A\ell = 1,50978$ . Voor  $X$  negatief is de lengte westelijker.

<i>Y</i> K.M.	$\varphi$	$\log A_p$	$\log m$	$A$	$\log \frac{H}{Y}$	Evenredige deelen.	2	3
0	0° 0' 0''	1,51268	0,0000000.0	+	1,40702			
1	0 032 ,560	1,51270	0.1	0.1	1,40702	1	0.2	0.3
2	0 1 5 ,121	1,51268	0.2	0.1	1,40702	2	0.4	0.6
3	0 1 37 ,681	1,51270	0.5	0.3	1,40702	3	0.6	0.9
4	0 2 10 ,242	1,51268	0.9	0.4	1,40702	4	0.8	1.2
5	0 2 42 ,802	1,51270	0,0000001.3	0.4	1,40702	5	1.0	1.5
6	0 3 15 ,363	1,51268	1.9	0.6	1,40702	6	1.2	1.8
7	0 3 47 ,923	1,51268	2.6	0.7	1,40702	7	1.4	2.1
8	0 4 20 ,183	1,51270	3.4	0.8	1,40702	8	1.6	2.4
9	0 4 53 ,044	1,51268	4.4	1.0	1,40702	9	1.8	2.7
10	0 5 25 ,604	1,51268	0,0000005.4	1.1	1,40702			
11	0 5 58 ,164	1,51268	06.5	1.2	1,40702	4		5
12	0 6 30 ,725	1,51270	07.7	1.4	1,40702			
13	0 7 3 ,285	1,51268	09.1	1.4	1,40702	1	0.4	0.5
14	0 7 35 ,846	1,51270	10.5	1.4	1,40702	2	0.8	1.0
15	0 8 8 ,406	1,51268	0,0000012.1	1.6	1,40702	3	1.2	1.5
16	0 8 40 ,966	1,51268	13.8	1.7	1,40702	4	1.6	2.0
17	0 9 13 ,527	1,51270	15.5	1.7	1,40702	5	2.0	2.5
18	0 9 46 ,087	1,51268	17.4	1.9	1,40702	6	2.4	3.0
19	0 10 18 ,647	1,51268	19.4	2.0	1,40702	7	2.8	3.5
20	0 10 51 ,207	1,51268	0,0000021.5	2.1	1,40702	8	3.2	4.0
21	0 11 23 ,768	1,51270	23.7	2.2	1,40701	9	3.6	4.5
22	0 11 56 ,328	1,51268	26.0	2.3	1,40701			
23	0 12 28 ,888	1,51268	28.4	2.4	1,40701	6		
24	0 13 1 ,448	1,51268	31.0	2.6	1,40701			
25	0 13 34 ,008	1,51270	0,0000033.6	2.7	1,40701	1	0.6	
26	0 14 6 ,569	1,51268	36.3	2.9	1,40701	2	1.2	
27	0 14 39 ,129	1,51268	39.2	2.9	1,40701	3	1.8	
28	0 15 11 ,689	1,51268	42.1	3.1	1,40701	4	2.4	
29	0 15 44 ,249	1,51268	45.2	3.2	1,40701	5	3.0	
30	0 16 16 ,809	1,51268	0,0000048.4	3.2	1,40701	6	3.6	
31	0 16 49 ,369	1,51268	51.7	3.3	1,40701	7	4.2	
32	0 17 21 ,929	1,51268	55.0	3.3	1,40701	8	4.8	
33	0 17 54 ,489	1,51268	58.5	3.5	1,40701	9	5.4	
34	0 18 27 ,049	1,51268	62.1	3.6	1,40701			
35	0 18 59 ,609	1,51268	0,0000065.8	3.7	1,40701	log [x] = 1,6483 - 10		
36	0 19 32 ,169	1,51268	69.7	3.9	1,40701	log [y] = 0,6346 - 10		
37	0 20 4 ,729	1,51268	73.6	3.9	1,40701			
38	0 20 37 ,289	1,51267	77.6	4.0	1,40701			
39	0 21 9 ,848	1,51268	81.8	4.2	1,40701			
40	0 21 42 ,408	1,51268	0,0000086.0	4.2	1,40701			
41	0 22 14 ,968	1,51258	90.4	4.4	1,40701			
42	0 22 47 ,528	1,51267	94.8	4.4	1,40701			
43	0 23 20 ,087	1,51268	99.4	4.6	1,40701			
44	0 23 52 ,647	1,51268	104.1	4.7	1,40701			
45	0 24 25 ,207	1,51267	0,0000108.8	4.7	1,40701			
46	0 24 57 ,766	1,51268	113.7	4.9	1,40701			
47	0 25 30 ,326	1,51268	118.7	5.0	1,40701			
48	0 26 2 ,885	1,51267	123.8	5.1	1,40701			
49	0 26 35 ,445	1,51268	129.1	5.3	1,40701			
50	0 27 8 ,004	1,51267	0,0000134.4	5.3	1,40701			
51	0 27 40 ,563	1,51268	139.8	5.4	1,40701			
52	0 28 13 ,123	1,51267	145.3	5.5	1,40701			
53	0 28 45 ,682	1,51267	151.0	5.7	1,40701			
54	0 29 18 ,241	1,51267	156.7	5.7	1,40701			
55	0 29 50 ,800	1,51268	0,0000162.6	5.9	1,40701			
56	0 30 23 ,360	1,51267	168.6	6.0	1,40701			
57	0 30 55 ,919	1,51267	174.6	6.0	1,40700			
58	0 31 28 ,478	1,51267	180.8	6.2	1,40700			
59	0 32 1 ,037	1,51267	187.1	6.3	1,40700			
60	0°32'33'',596	1,51267	0,0000193.5	6.4	1,40700			

Achter  $\log \frac{H}{Y}$  moet worden gevoegd: — 10. Voor *Y* negatief is de breedte zuidelijk.

<i>Y</i> K.M.	<i>q</i>	$\log A_q$	$\log m$	<i>A</i>	$\log \frac{H}{Y}$	Evenredige deelen.	6	7
60	○ 32' 33" ,596	1,51267	0,0000193.5	+	1,40700			
61	○ 33 6 ,155	1,51267	200.0	6.5	1,40700	1	0.6	0.7
62	○ 33 38 ,714	1,51266	206.6	6.6	1,40700	2	1.2	1.4
63	○ 34 11 ,272	1,51267	213.3	6.7	1,40700	3	1.8	2.1
64	○ 34 43 ,831	1,51267	220.2	6.9	1,40700	4	2.4	2.8
65	○ 35 16 ,390	1,51266	0,0000227.1	7.0	1,40700	5	3.0	3.5
66	○ 35 48 ,948	1,51267	234.1	7.2	1,40700	6	3.6	4.2
67	○ 36 21 ,507	1,51267	241.3	7.2	1,40700	7	4.2	4.9
68	○ 36 54 ,066	1,51266	248.5	7.4	1,40700	8	4.8	5.6
69	○ 37 26 ,624	1,51267	255.9	7.5	1,40700	9	5.4	6.3
70	○ 37 59 ,183	1,51266	0,0000263.4	7.5	1,40700			
71	○ 38 31 ,741	1,51266	270.9	7.7	1,40700	8		9
72	○ 39 4 ,299	1,51267	278.6	7.8	1,40700			
73	○ 39 36 ,858	1,51266	286.4	7.9	1,40700	1	0.8	0.9
74	○ 40 9 ,416	1,51266	294.3	8.0	1,40700	2	1.6	1.8
75	○ 40 41 ,974	1,51266	0,0000302.3	8.2	1,40700	3	2.4	2.7
76	○ 41 14 ,532	1,51266	310.5	8.2	1,40700	4	3.2	3.6
77	○ 41 47 ,090	1,51266	318.7	8.3	1,40699	5	4.0	4.5
78	○ 42 19 ,648	1,51266	327.0	8.4	1,40699	6	4.8	5.4
79	○ 42 52 ,206	1,51266	335.4	8.6	1,40699	7	5.6	6.3
80	○ 43 24 ,764	1,51264	0,0000344.0	8.6	1,40699	8	6.4	7.2
81	○ 43 57 ,321	1,51266	352.6	8.8	1,40699	9	7.2	8.1
82	○ 44 29 ,879	1,51266	361.4	8.9	1,40699			
83	○ 45 2 ,437	1,51264	370.3	8.9	1,40699	10		11
84	○ 45 34 ,994	1,51266	379.2	9.1	1,40699			
85	○ 46 7 ,552	1,51264	0,0000388.3	9.2	1,40699	1	1.0	1.1
86	○ 46 40 ,109	1,51266	397.5	9.3	1,40699	2	2.0	2.2
87	○ 47 12 ,667	1,51264	406.8	9.4	1,40699	3	3.0	3.3
88	○ 47 45 ,224	1,51264	416.2	9.5	1,40699	4	4.0	4.4
89	○ 48 17 ,781	1,51264	425.7	9.7	1,40699	5	5.0	5.5
90	○ 48 50 ,338	1,51264	0,0000435.4	9.7	1,40699	6	6.0	6.6
91	○ 49 22 ,895	1,51264	445.1	9.8	1,40699	7	7.0	7.7
92	○ 49 55 ,452	1,51264	454.9	10.0	1,40699	8	8.0	8.8
93	○ 50 28 ,009	1,51264	464.9	10.0	1,40699	9	9.0	9.9
94	○ 51 0 ,566	1,51264	474.9	10.2	1,40698			
95	○ 51 33 ,123	1,51263	0,0000485.1	10.2	1,40698	12		13
96	○ 52 5 ,679	1,51264	495.3	10.4	1,40698			
97	○ 52 38 ,236	1,51263	505.7	10.5	1,40698	1	1.2	1.3
98	○ 53 10 ,792	1,51264	516.2	10.6	1,40698	2	2.4	2.6
99	○ 53 43 ,349	1,51263	526.8	10.7	1,40698	3	3.6	3.9
100	○ 54 15 ,905	1,51263	0,0000537.5	10.8	1,40698	4	4.8	5.2
101	○ 54 48 ,461	1,51263	548.3	10.9	1,40698	5	6.0	6.5
102	○ 55 21 ,018	1,51264	559.2	11.0	1,40698	6	7.2	7.8
103	○ 55 53 ,574	1,51263	570.2	11.1	1,40698	7	8.4	9.1
104	○ 56 26 ,130	1,51263	581.3	11.3	1,40698	8	9.6	10.4
105	○ 56 58 ,686	1,51263	0,0000592.6	11.3	1,40698	9	10.8	11.7
106	○ 57 31 ,242	1,51262	603.9	11.5	1,40698			
107	○ 58 3 ,797	1,51263	615.4	11.5	1,40697	log [1] = 1,6483 - 10		
108	○ 58 36 ,353	1,51263	626.9	11.7	1,40697	log [2] = 0,6346 - 10		
109	○ 59 8 ,909	1,51262	638.6	11.7	1,40697			
110	○ 59 41 ,464	1,51262	0,0000650.3	11.9	1,40697			
111	I 0 14 ,019	1,51263	662.2	12.0	1,40697			
112	I 0 46 ,575	1,51262	674.2	12.1	1,40697			
113	I 1 19 ,130	1,51262	686.3	12.2	1,40697			
114	I 1 51 ,685	1,51262	698.5	12.3	1,40697			
115	I 2 24 ,240	1,51262	0,0000710.8	12.4	1,40697			
116	I 2 56 ,795	1,51262	723.2	12.5	1,40697			
117	I 3 29 ,350	1,51262	735.7	12.7	1,40697			
118	I 4 1 ,905	1,51260	748.4	12.7	1,40697			
119	I 4 34 ,459	1,51262	761.1	12.8	1,40697			
120	I° 5' 7",014		0,0000773.9		1,40696			

Achter  $\log \frac{H}{Y}$  moet worden gevoegd: — 10. Voor *Y* negatief is de breedte zuidelijk.

<i>Y</i> K.M.	<i>q</i>	$\log A_q$	$\log m$	<i>A</i>	$\log \frac{H}{Y}$	Evenredige deelen.		
							13	14
120	1° 5' 7",014	1,51260	0,0000773,9	—	1,40696			
121	1 5 39 ,568	1,51262	786,9	13,0	1,40696			
122	1 6 12 ,123	1,51260	800,0	13,1	1,40696	1	1,3	1,4
123	1 6 44 ,677	1,51260	813,2	13,2	1,40696	2	2,6	2,8
124	1 7 17 ,231	1,51260	826,4	13,2	1,40696	3	3,9	4,2
125	1 7 49 ,785	1,51260	0,0000839,8	13,4	1,40696	4	5,2	5,6
126	1 8 22 ,339	1,51260	853,3	13,5	1,40696	5	6,5	7,0
127	1 8 54 ,893	1,51260	866,9	13,6	1,40696	6	7,8	8,4
128	1 9 27 ,447	1,51259	880,6	13,7	1,40696	7	9,1	9,8
129	1 10 0 ,000	1,51259	894,4	13,8	1,40696	8	10,4	11,2
130	1 10 32 ,554	1,51260	0,0000908,3	13,9	1,40696	9	11,7	12,6
131	1 11 5 ,107	1,51259	922,3	14,0	1,40695			
132	1 11 37 ,661	1,51260	936,5	14,2	1,40695		15	16
133	1 12 10 ,214	1,51259	950,7	14,2	1,40695			
134	1 12 42 ,767	1,51259	965,1	14,4	1,40695	1	1,5	1,6
135	1 13 15 ,320	1,51259	0,0000979,5	14,4	1,40695	2	3,0	3,2
136	1 13 47 ,873	1,51259	994,1	14,6	1,40695	3	4,5	4,8
137	1 14 20 ,426	1,51258	1008,8	14,7	1,40695	4	6,0	6,4
138	1 14 52 ,978	1,51259	1023,5	14,7	1,40695	5	7,5	8,0
139	1 15 25 ,531	1,51259	1038,4	14,9	1,40695	6	9,0	9,6
140	1 15 58 ,083	1,51258	0,0001053,4	15,0	1,40695	7	10,5	11,2
141	1 16 30 ,635	1,51258	1068,5	15,1	1,40694	8	12,0	12,8
142	1 17 3 ,188	1,51259	1083,7	15,2	1,40694	9	13,5	14,4
143	1 17 35 ,740	1,51258	1099,0	15,3	1,40694			
144	1 18 8 ,292	1,51258	1114,5	15,5	1,40694		17	18
145	1 18 40 ,844	1,51256	0,0001130,0	15,5	1,40694			
146	1 19 13 ,395	1,51258	1145,6	15,6	1,40694	1	1,7	1,8
147	1 19 45 ,947	1,51256	1161,4	15,8	1,40694	2	3,4	3,6
148	1 20 18 ,498	1,51256	1177,2	15,8	1,40694	3	5,1	5,4
149	1 20 51 ,050	1,51258	1193,2	16,0	1,40694	4	6,8	7,2
150	1 21 23 ,601	1,51256	0,0001209,3	16,1	1,40693	5	8,5	9,0
151	1 21 56 ,752	1,51256	1225,4	16,1	1,40693	6	10,2	10,8
152	1 22 28 ,703	1,51256	1241,7	16,3	1,40693	7	11,9	12,6
153	1 23 1 ,254	1,51256	1258,1	16,4	1,40693	8	13,6	14,4
154	1 23 33 ,805	1,51255	1274,6	16,5	1,40693	9	15,3	16,2
155	1 24 6 ,355	1,51256	0,0001291,2	16,6	1,40693			
156	1 24 38 ,906	1,51255	1307,9	16,7	1,40693		19	
157	1 25 11 ,456	1,51255	1324,7	16,8	1,40693			
158	1 25 44 ,006	1,51255	1341,7	17,0	1,40693	1	1,9	
159	1 26 16 ,556	1,51255	1358,7	17,0	1,40692	2	3,8	
160	1 26 49 ,106	1,51255	0,0001375,8	17,1	1,40692	3	5,7	
161	1 27 21 ,656	1,51255	1393,1	17,3	1,40692	4	7,6	
162	1 27 54 ,206	1,51255	1410,5	17,4	1,40692	5	9,5	
163	1 28 26 ,755	1,51254	1427,9	17,4	1,40692	6	11,4	
164	1 28 59 ,305	1,51255	1445,5	17,6	1,40692	7	13,3	
165	1 29 31 ,854	1,51254	0,0001463,2	17,7	1,40692	8	15,2	
166	1 30 4 ,403	1,51254	1481,0	17,8	1,40692	9	17,1	
167	1 30 36 ,952	1,51254	1498,9	17,9	1,40692			
168	1 31 9 ,501	1,51254	1516,9	18,0	1,40691			
169	1 31 42 ,050	1,51254	1535,0	18,1	1,40691			
170	1 32 14 ,599	1,51252	0,0001553,2	18,2	1,40691			
171	1 32 47 ,147	1,51252	1571,5	18,3	1,40691			
172	1 33 19 ,695	1,51254	1589,9	18,4	1,40691			
173	1 33 52 ,244	1,51252	1608,5	18,6	1,40691			
174	1 34 24 ,792	1,51252	1627,1	18,8	1,40691			
175	1 34 57 ,340	1,51251	0,0001645,9	18,8	1,40691			
176	1 35 29 ,887	1,51252	1664,7	19,0	1,40690			
177	1 36 2 ,435	1,51251	1683,7	19,1	1,40690			
178	1 36 34 ,982	1,51252	1702,8	19,2	1,40690			
179	1 37 7 ,530	1,51251	1722,0	19,3	1,40690			
180	1° 37' 40",077	1,51251	0,0001741,3	19,3	1,40690			

Achter  $\log \frac{H}{Y}$  moet worden gevoegd: — 10. Voor *Y* negatief is de breedte zuidelijk.

$$\log [1] = 1,6483 - 10$$

$$\log [2] = 0,6346 - 10$$

<i>Y K.M.</i>	<i>q</i>	$\log \Delta_q$	$\log m$	$\Delta$	$\log \frac{H}{Y}$	Evenredige deelcn.	<b>19</b>	<b>20</b>
180	1 37' 40",077	1,51251	0,0001741.3	+	1,40690			
181	1 38 12 ,624	1,51251	1760.7	19.4	1,40690			
182	1 38 45 ,171	1,51251	1780.2	19.5	1,40690	1	1.9	2.0
183	1 39 17 ,718	1,51251	1799.8	19.6	1,40689	2	3.8	4.0
184	1 39 50 ,264	1,51250	1819.5	19.7	1,40689	3	5.7	6.0
185	1 40 22 ,811	1,51251	0,0001839.3	19.8	1,40689	4	7.6	8.0
186	1 40 55 ,357	1,51250	1859.3	20.0	1,40689	5	9.5	10.0
187	1 41 27 ,903	1,51250	1879.3	20.0	1,40689	6	11.4	12.0
188	1 42 0 ,449	1,51250	1899.4	20.1	1,40689	7	13.3	14.0
189	1 42 32 ,995	1,51250	1919.7	20.3	1,40689	8	15.2	16.0
190	1 43 5 ,541	1,51248	0,0001940.1	20.4	1,40689	9	17.1	18.0
191	1 43 38 ,086	1,51248	1960.5	20.4	1,40688			
192	1 44 10 ,631	1,51248	1981.1	20.6	1,40688			
193	1 44 43 ,177	1,51250	2001.8	20.7	1,40688			
194	1 45 15 ,722	1,51248	2022.6	20.8	1,40688	1	2.1	2.2
195	1 45 48 ,267	1,51247	0,0002043.5	20.9	1,40688	2	4.2	4.4
196	1 46 20 ,811	1,51248	2064.5	21.0	1,40688	3	6.3	6.6
197	1 46 53 ,356	1,51248	2085.6	21.1	1,40688	4	8.4	8.8
198	1 47 25 ,900	1,51247	2106.9	21.3	1,40687	5	10.5	11.0
199	1 47 58 ,444	1,51247	2128.2	21.3	1,40687	6	12.6	13.2
200	1 48 30 ,988	1,51247	0,0002149.6	21.4	1,40687	7	14.7	15.4
201	1 49 3 ,532	1,51247	2171.2	21.6	1,40687	8	16.8	17.6
202	1 49 36 ,976	1,51247	2192.8	21.6	1,40687	9	18.9	19.8
203	1 50 8 ,620	1,51247	2214.6	21.8	1,40687			
204	1 50 41 ,163	1,51246	2236.5	21.9	1,40687			
205	1 51 13 ,706	1,51246	0,0002258.4	21.9	1,40686			
206	1 51 46 ,249	1,51246	2280.5	22.1	1,40686	1	2.3	2.4
207	1 52 18 ,792	1,51246	2302.7	22.2	1,40686	2	4.6	4.8
208	1 52 51 ,335	1,51246	2325.0	22.3	1,40686	3	6.9	7.2
209	1 53 23 ,878	1,51246	2347.4	22.4	1,40686	4	9.2	9.6
210	1 53 56 ,420	1,51244	0,0002369.9	22.5	1,40686	5	11.5	12.0
211	1 54 28 ,962	1,51244	2392.5	22.6	1,40686	6	13.8	14.4
212	1 55 1 ,504	1,51244	2415.3	22.8	1,40685	7	16.1	16.8
213	1 55 34 ,946	1,51244	2438.1	22.8	1,40685	8	18.4	19.2
214	1 56 6 ,588	1,51244	2461.0	22.9	1,40685	9	20.7	21.6
215	1 56 39 ,129	1,51243	0,0002484.1	23.1	1,40685			
216	1 57 11 ,671	1,51244	2507.3	23.2	1,40685			
217	1 57 44 ,212	1,51243	2530.5	23.2	1,40685	1	2.5	2.6
218	1 58 16 ,753	1,51243	2553.9	23.4	1,40684	2	5.0	5.2
219	1 58 49 ,294	1,51243	2577.4	23.5	1,40684	3	7.5	7.8
220	1 59 21 ,834	1,51243	0,0002601.0	23.6	1,40684	4	10.0	10.4
221	1 59 54 ,375	1,51243	2624.7	23.7	1,40684	5	12.5	13.0
222	2 0 26 ,915	1,51242	2648.5	23.8	1,40684	6	15.0	15.6
223	2 0 59 ,455	1,51242	2672.4	23.9	1,40684	7	17.5	18.2
224	2 1 31 ,995	1,51242	2696.4	24.0	1,40683	8	20.0	20.8
225	2 2 4 ,535	1,51240	0,0002720.5	24.1	1,40683	9	22.5	23.4
226	2 2 37 ,974	1,51242	2744.7	24.2	1,40683			
227	2 3 9 ,614	1,51240	2769.1	24.4	1,40683			
228	2 3 42 ,153	1,51240	2793.5	24.4	1,40683			
229	2 4 14 ,692	1,51240	2818.1	24.6	1,40683			
230	2 4 47 ,230	1,51239	0,0002842.7	24.6	1,40682			
231	2 5 19 ,769	1,51240	2867.5	24.8	1,40682			
232	2 5 52 ,307	1,51239	2892.4	24.9	1,40682			
233	2 6 24 ,846	1,51240	2917.4	25.0	1,40682			
234	2 6 57 ,384	1,51238	2942.4	25.2	1,40682			
235	2 7 29 ,921	1,51239	0,0002967.6	25.3	1,40682			
236	2 8 2 ,459	1,51239	2992.9	25.5	1,40681			
237	2 8 34 ,997	1,51238	3018.4	25.5	1,40681			
238	2 9 7 ,534	1,51238	3043.9	25.6	1,40681			
239	2 9 40 ,071	1,51238	3069.5	25.7	1,40681			
240	2° 10' 12",608	1,51238	0,0003095.2	25.7	1,40681			

Achter  $\log \frac{H}{Y}$  moet worden gevoegd: — ro. Voor *Y* negatief is de breedte zuidelijk.

$$\log [1] = 1,6483 - 10$$

$$\log [2] = 0,6346 - 10$$

<i>Y K.M.</i>	<i>q</i>	$\log A_q$	$\log m$	<i>A</i>	$\log \frac{H}{Y}$	Evenredige deelen.	
240	2° 10' 12", 608	1,51236	0,0003095.2	+ 25.9	1,40681	26	27
241	2 10 45 ,144	1,51238	3121.1	25.9	1,40681		
242	2 11 17 ,681	1,51236	3147.0	26.1	1,40680	1 2.6	2.7
243	2 11 50 ,217	1,51236	3173.1	26.1	1,40680	2 5.2	5.4
244	2 12 22 ,753	1,51236	3199.2	26.1	1,40680	3 7.8	8.1
245	2 12 55 ,289	1,51236	0,0003225.5	26.3	1,40680	4 10.4	10.8
246	2 13 27 ,825	1,51236	3251.9	26.4	1,40680	5 13.0	13.5
247	2 14 0 ,360	1,51235	3278.4	26.5	1,40680	6 15.6	16.2
248	2 14 32 ,895	1,51235	3305.0	26.6	1,40679	7 18.2	18.9
249	2 15 5 ,430	1,51235	3331.7	26.7	1,40679	8 20.8	21.6
250	2 15 37 ,965	1,51235	0,0003358.5	26.8	1,40679	9 23.4	24.3
251	2 16 10 ,500	1,51235	3385.4	26.9	1,40679		
252	2 16 43 ,034	1,51234	3412.4	27.0	1,40679	28	29
253	2 17 15 ,569	1,51235	3439.5	27.1	1,40678		
254	2 17 48 ,103	1,51234	3466.8	27.2	1,40678	1 2.8	2.9
255	2 18 20 ,636	1,51232	0,0003494.1	27.3	1,40678	2 5.6	5.8
256	2 18 53 ,170	1,51234	3521.6	27.4	1,40678	3 8.4	8.7
257	2 19 25 ,703	1,51232	3549.1	27.5	1,40678	4 11.2	11.6
258	2 19 58 ,237	1,51234	3576.8	27.6	1,40677	5 14.0	14.5
259	2 20 30 ,770	1,51232	3604.6	27.7	1,40677	6 16.8	17.4
260	2 21 3 ,302	1,51231	0,0003632.5	27.8	1,40677	7 19.6	20.3
261	2 21 35 ,835	1,51232	3660.4	27.9	1,40677	8 22.4	23.2
262	2 22 8 ,367	1,51231	3688.5	28.0	1,40677	9 25.2	26.1
263	2 22 40 ,899	1,51231	3716.7	28.1	1,40677		
264	2 23 13 ,431	1,51231	3745.0	28.2	1,40677	30	31
265	2 23 45 ,963	1,51230	0,0003773.5	28.3	1,40676		
266	2 24 18 ,494	1,51231	3802.0	28.4	1,40676	1 3.0	3.1
267	2 24 51 ,026	1,51230	3830.6	28.5	1,40676	2 6.0	6.2
268	2 25 23 ,557	1,51228	3859.4	28.6	1,40676	3 9.0	9.3
269	2 25 56 ,087	1,51228	3888.2	28.7	1,40675	4 12.0	12.4
270	2 26 28 ,618	1,51230	0,0003917.2	28.8	1,40675	5 15.0	15.5
271	2 27 1 ,148	1,51228	3946.2	28.9	1,40675	6 18.0	18.6
272	2 27 33 ,679	1,51230	3975.4	29.0	1,40675	7 21.0	21.7
273	2 28 6 ,208	1,51227	4004.7	29.1	1,40675	8 24.0	24.8
274	2 28 38 ,738	1,51228	4034.0	29.2	1,40674	9 27.0	27.9
275	2 29 11 ,268	1,51227	0,0004063.5	29.3	1,40674		
276	2 29 43 ,797	1,51227	4093.1	29.4	1,40674	32	
277	2 30 16 ,326	1,51227	4122.8	29.5	1,40674		
278	2 30 48 ,855	1,51226	4152.6	29.6	1,40674	1 3.2	
279	2 31 21 ,383	1,51226	4182.6	29.7	1,40674	2 6.4	
280	2 31 53 ,912	1,51226	0,0004212.6	29.8	1,40674	3 9.6	
281	2 32 26 ,440	1,51226	4242.7	29.9	1,40673	4 12.8	
282	2 32 58 ,968	1,51224	4273.0	30.0	1,40673	5 16.0	
283	2 33 31 ,495	1,51226	4303.3	30.1	1,40673	6 19.2	
284	2 34 1 ,023	1,51224	4333.8	30.2	1,40672	7 22.4	
285	2 34 36 ,550	1,51224	0,0004364.3	30.3	1,40672	8 25.6	
286	2 35 9 ,077	1,51223	4395.0	30.4	1,40672	9 28.8	
287	2 35 41 ,603	1,51224	4425.8	30.5	1,40672		
288	2 36 14 ,130	1,51223	4456.7	30.6	1,40672	log [1] = 1,6483 - 10	
289	2 36 46 ,656	1,51223	4487.7	30.7	1,40671	log [2] = 0,6346 - 10	
290	2 37 19 ,182	1,51223	0,0004518.8	31.1	1,40671		
291	2 37 51 ,708	1,51222	4550.0	31.2	1,40671		
292	2 38 24 ,233	1,51223	4581.3	31.3	1,40671		
293	2 38 56 ,759	1,51222	4612.7	31.4	1,40670		
294	2 39 29 ,284	1,51222	4644.2	31.5	1,40670		
295	2 40 1 ,809	1,51220	0,0004675.9	31.6	1,40670		
296	2 40 34 ,333	1,51220	4707.6	31.7	1,40670		
297	2 41 6 ,857	1,51222	4739.5	31.8	1,40670		
298	2 41 39 ,382	1,51219	4771.4	31.9	1,40669		
299	2 42 11 ,905	1,51220	4803.5	32.0	1,40669		
300	2° 42' 44", 429		0,0004835.7	32.2	1,40669		

Achter  $\log \frac{H}{Y}$  moet worden gevoegd: — 10. Voor *Y negatief* is de breedte *zuidelijk*.

## T A F E L V d.

Y van 300 tot 360 K.M.

<i>Y</i> K.M.	<i>q</i>	$\log A_q$	$\log m$	<i>A</i>	$\log \frac{H}{Y}$	Evenredige deelen.	
						32	33
<b>300</b>	$2^{\circ} 42' 44'' ,429$	1,51219	0,00048355.7	—	1,40669		
301	$2^{\circ} 43 16 ,952$	1,51219	4867.9	32.2	1,40669		
302	$2^{\circ} 43 49 ,475$	1,51219	4900.3	32.4	1,40669	1	3.2
303	$2^{\circ} 44 21 ,998$	1,51219	4932.8	32.5	1,40668	2	6.4
304	$2^{\circ} 44 54 ,521$	1,51219	4965.4	32.6	1,40668	3	9.6
305	$2^{\circ} 45 27 ,043$	1,51218	0,0004998.1	32.7	1,40668	4	12.8
306	$2^{\circ} 45 59 ,565$	1,51218	5030.9	32.8	1,40668	5	16.0
307	$2^{\circ} 46 32 ,087$	1,51218	5063.9	33.0	1,40667	6	19.2
308	$2^{\circ} 47 4 ,609$	1,51218	5096.9	33.0	1,40667	7	22.4
309	$2^{\circ} 47 37 ,130$	1,51216	5130.0	33.1	1,40667	8	25.6
		1,51216		33.3		9	28.8
<b>310</b>	$2^{\circ} 48 9 ,651$	1,51216	0,0005163.3	33.3	1,40667		
311	$2^{\circ} 48 42 ,172$	1,51215	5196.6	33.3	1,40667		
312	$2^{\circ} 49 14 ,692$	1,51215	5230.1	33.5	1,40666		
313	$2^{\circ} 49 47 ,213$	1,51215	5263.7	33.6	1,40666		
314	$2^{\circ} 50 19 ,733$	1,51215	5297.3	33.6	1,40666	1	3.4
		1,51214	0,0005331.1	33.8	1,40666	2	6.8
315	$2^{\circ} 50 52 ,253$	1,51214	5365.0	33.9	1,40665	3	10.2
316	$2^{\circ} 51 24 ,772$	1,51214	5399.0	34.0	1,40665	4	13.6
317	$2^{\circ} 51 57 ,291$	1,51215	5433.1	34.1	1,40665	5	17.0
318	$2^{\circ} 52 29 ,811$	1,51212	5467.3	34.2	1,40665	6	20.4
319	$2^{\circ} 53 2 ,329$	1,51214	0,0005501.6	34.3	1,40664	7	23.8
		1,51212	5536.0	34.4	1,40664	8	27.2
<b>320</b>	$2^{\circ} 53 34 ,848$	1,51212	5570.6	34.6	1,40664	9	30.6
321	$2^{\circ} 54 7 ,366$	1,51212	5605.2	34.6	1,40664		
322	$2^{\circ} 54 39 ,884$	1,51211	5639.9	34.7	1,40664		
323	$2^{\circ} 55 12 ,402$	1,51211	0,0005674.8	34.9	1,40663		
324	$2^{\circ} 55 44 ,919$	1,51211	5709.8	35.0	1,40663	1	3.6
		1,51211	5744.8	35.0	1,40663	2	7.2
325	$2^{\circ} 56 17 ,436$	1,51210	5780.0	35.2	1,40663	3	10.8
326	$2^{\circ} 56 49 ,953$	1,51210	5815.3	35.3	1,40663	4	14.4
327	$2^{\circ} 57 22 ,470$	1,51210	0,0005850.7	35.4	1,40662	5	18.0
328	$2^{\circ} 57 54 ,986$	1,51210	5886.2	35.5	1,40662	6	21.6
329	$2^{\circ} 58 27 ,502$	1,51210	5921.8	35.6	1,40662	7	25.2
		1,51208	5957.5	35.7	1,40662	8	28.8
<b>330</b>	$2^{\circ} 59 0 ,018$	1,51208	5993.3	35.8	1,40662	9	32.4
331	$2^{\circ} 59 32 ,534$	1,51207	0,0006029.2	35.9	1,40661		
332	$3^{\circ} 0 5 ,049$	1,51208	6065.3	36.1	1,40661		
333	$3^{\circ} 0 37 ,564$	1,51207	6101.4	36.1	1,40660	1	3.8
334	$3^{\circ} 1 10 ,079$	1,51206	6137.6	36.2	1,40660	2	7.6
		1,51207	6174.0	36.4	1,40660	3	11.4
335	$3^{\circ} 1 42 ,593$	1,51206	0,0006210.5	36.5	1,40660	4	15.2
336	$3^{\circ} 2 15 ,108$	1,51204	6247.0	36.5	1,40659	5	19.0
337	$3^{\circ} 2 47 ,622$	1,51206	6283.7	36.7	1,40659	6	22.8
338	$3^{\circ} 3 20 ,135$	1,51204	6320.5	36.8	1,40659	7	26.6
339	$3^{\circ} 3 52 ,649$	1,51204	6357.4	36.9	1,40659	8	30.4
		1,51204	0,0006394.4	37.0	1,40658	9	34.2
<b>340</b>	$3^{\circ} 4 25 ,162$	1,51203	6431.5	37.1	1,40658		
341	$3^{\circ} 4 57 ,674$	1,51203	6468.7	37.2	1,40658		
342	$3^{\circ} 5 30 ,187$	1,51203	6506.0	37.3	1,40658		
343	$3^{\circ} 6 2 ,699$	1,51203	6543.4	37.4	1,40657		
344	$3^{\circ} 6 35 ,211$	1,51202	0,0006581.0	37.6	1,40657		
		1,51202	6618.6	37.6	1,40657		
345	$3^{\circ} 7 7 7 ,723$	1,51202	6656.4	37.8	1,40657		
346	$3^{\circ} 7 40 ,234$	1,51200	6694.2	37.8	1,40656		
347	$3^{\circ} 8 12 ,745$	1,51200	6732.2	38.0	1,40656		
348	$3^{\circ} 8 45 ,256$	1,51200	0,0006770.2	38.0	1,40656		
349	$3^{\circ} 9 17 ,767$	1,51200	6808.4	38.2	1,40656		
<b>350</b>	$3^{\circ} 9 50 ,277$	1,51202	6846.7	38.3	1,40656		
351	$3^{\circ} 10 22 ,787$	1,51202	6885.1	38.4	1,40655		
352	$3^{\circ} 10 55 ,297$	1,51200	6923.6	38.5	1,40655		
353	$3^{\circ} 11 27 ,806$	1,51200	0,0006962.2	38.6	1,40655		
354	$3^{\circ} 12 0 ,315$	1,51198					
355	$3^{\circ} 12 32 ,824$						
356	$3^{\circ} 13 5 ,333$						
357	$3^{\circ} 13 37 ,841$						
358	$3^{\circ} 14 10 ,349$						
359	$3^{\circ} 14 42 ,857$						
<b>360</b>	$3^{\circ} 15 15 '' ,364$						

Achter  $\log \frac{H}{Y}$  moet worden gevogd: — 10. Voor *Y* negatief is de breedte zuidelijk.

$\log [x] = 1,6483 - 10$   
 $\log [y] = 0,6346 - 10$

<i>Y</i> K.M.	<i>Φ</i>	$\log A_\varphi$	$\log m$	<i>A</i>	$\log \frac{H}{Y}$	Evenredige deelen.
360	3°15'15",364	1,51198	0,0006962.2	+	1,40655	
361	3 15 47 ,871	1,51198	7000.9		1,40654	
362	3 16 20 ,378	1,51196	7039.7	38.8	1,40654	1 3.9 4.0
363	3 16 52 ,884	1,51196	7078.6	38.9	1,40654	2 7.8 8.0
364	3 17 23 ,390	1,51196	7117.7	39.1	1,40654	3 11.7 12.0
365	3 17 57 ,896	1,51196	0,0007156.8	39.1	1,40653	4 15.6 16.0
366	3 18 30 ,402	1,51195	7196.1	39.3	1,40653	5 19.5 20.0
367	3 19 2 ,907	1,51195	7235.4	39.3	1,40653	6 23.4 24.0
368	3 19 35 ,412	1,51195	7274.9	39.5	1,40653	7 27.3 28.0
369	3 20 7 ,917	1,51194	7314.4	39.5	1,40652	8 31.2 32.0
370	3 20 40 ,421	1,51194	0,0007354.1	39.7	1,40652	9 35.1 36.0
371	3 21 12 ,925	1,51194	7393.9	39.8	1,40652	
372	3 21 45 ,429	1,51194	7433.8	39.9	1,40651	
373	3 22 17 ,933	1,51194	7473.8	40.0	1,40651	
374	3 22 50 ,436	1,51192	7513.9	40.1	1,40651	1 4.1 4.2
375	3 23 22 ,939	1,51191	0,0007554.1	40.2	1,40651	2 8.2 8.4
376	3 23 55 ,441	1,51191	7594.4	40.3	1,40650	3 12.3 12.6
377	3 24 27 ,943	1,51191	7634.8	40.4	1,40650	4 16.4 16.8
378	3 25 0 ,445	1,51191	7675.4	40.6	1,40650	5 20.5 21.0
379	3 25 32 ,947	1,51191	7716.0	40.6	1,40650	6 24.6 25.2
380	3 26 5 ,448	1,51190	0,0007736.8	40.8	1,40649	7 28.7 29.4
381	3 26 37 ,949	1,51190	7797.6	40.8	1,40649	8 32.8 33.6
382	3 27 10 ,450	1,51188	7838.6	41.0	1,40649	9 36.9 37.8
383	3 27 42 ,950	1,51188	7879.7	41.1	1,40648	
384	3 28 15 ,450	1,51188	7920.8	41.1	1,40648	
385	3 28 47 ,950	1,51187	0,0007962.1	41.3	1,40648	
386	3 29 20 ,449	1,51187	8003.5	41.4	1,40648	1 4.3 4.4
387	3 29 52 ,949	1,51186	8045.0	41.5	1,40647	2 8.6 8.8
388	3 30 25 ,447	1,51186	8086.6	41.6	1,40647	3 12.9 13.2
389	3 30 57 ,946	1,51186	8128.3	41.7	1,40647	4 17.2 17.6
390	3 31 30 ,444	1,51186	0,0008170.1	41.8	1,40646	5 21.5 22.0
391	3 32 2 ,942	1,51184	8212.1	42.0	1,40646	6 25.8 26.4
392	3 32 35 ,439	1,51184	8254.1	42.0	1,40646	7 30.1 30.8
393	3 33 7 ,936	1,51184	8296.2	42.1	1,40646	8 34.4 35.2
394	3 33 40 ,433	1,51184	8338.5	42.3	1,40645	9 38.7 39.6
395	3 34 12 ,930	1,51183	0,0008380.8	42.3	1,40645	
396	3 34 45 ,426	1,51183	8423.3	42.5	1,40645	
397	3 35 17 ,922	1,51183	8465.9	42.6	1,40644	
398	3 35 50 ,418	1,51182	8508.5	42.6	1,40644	1 4.5 4.6
399	3 36 22 ,913	1,51182	8551.3	42.8	1,40644	2 9.0 9.2
400	3 36 55 ,408	1,51182	0,0008594.2	42.9	1,40644	3 13.5 13.8
401	3 37 27 ,902	1,51182	8637.2	43.0	1,40643	4 18.0 18.4
402	3 38 0 ,397	1,51180	8680.3	43.1	1,40643	5 22.5 23.0
403	3 38 32 ,891	1,51179	8723.5	43.2	1,40643	6 27.0 27.6
404	3 39 5 ,384	1,51179	8766.8	43.3	1,40642	7 31.5 32.2
405	3 39 37 ,877	1,51179	0,0008810.2	43.4	1,40642	8 36.0 36.8
406	3 40 10 ,370	1,51179	8853.8	43.6	1,40642	9 40.5 41.4
407	3 40 42 ,863	1,51178	8897.4	43.6	1,40642	log [1] = 1,6183 - 10
408	3 41 15 ,355	1,51178	8941.2	43.8	1,40641	log [2] = 0,6346 - 10
409	3 41 47 ,847	1,51178	8985.0	43.8	1,40641	
410	3 42 20 ,339	1,51176	0,0009029.0	44.0	1,40641	
411	3 42 52 ,830	1,51176	9073.0	44.0	1,40640	
412	3 43 25 ,321	1,51176	9117.2	44.2	1,40640	
413	3 43 57 ,812	1,51175	9161.5	44.3	1,40640	
414	3 44 30 ,302	1,51175	9205.9	44.4	1,40639	
415	3 45 2 ,792	1,51174	0,0009250.4	44.5	1,40639	
416	3 45 35 ,281	1,51174	9295.0	44.6	1,40639	
417	3 46 7 ,771	1,51174	9339.7	44.7	1,40639	
418	3 46 40 ,260	1,51172	9384.5	44.8	1,40638	
419	3 47 12 ,748	1,51172	9429.4	44.9	1,40638	
420	3°47'45",236	1,51172	0,0009474.5	45.1	1,40638	

Achter  $\log \frac{H}{Y}$  moet worden gevoegd — 10. Voor *Y* negatief is de breedte zuidelijk.

## TAFEL Vd.

*Y van 420 tot 480 K.M.*

<i>Y</i> K.M.	<i>φ</i>	$\log A_\varphi$	$\log m$	<i>A</i>	$\log \frac{H}{Y}$	Evenredige declen.	
						45	46
<b>420</b>	3° 47' 45", 236	1,511172	0,00094744-5	+ 45.1	1,40638		
421	3 48 17 ,724	1,511172	9519.6	45.2	1,40637	1	4.5 4.6
422	3 48 50 ,212	1,511171	9564.8	45.4	1,40637	2	9.0 9.2
423	3 49 22 ,699	1,511171	9610.2	45.4	1,40637	3	13.5 13.8
424	3 49 55 ,186	1,511170	9655.6	45.6	1,40636	4	18.0 18.4
425	3 50 27 ,672	1,511170	0,0009701.2	45.7	1,40636	5	22.5 23.0
426	3 51 0 ,158	1,511170	9746.9	45.8	1,40636	6	27.0 27.6
427	3 51 32 ,644	1,511170	9792.7	45.8	1,40636	7	31.5 32.2
428	3 52 5 ,130	1,511168	9838.5	46.0	1,40635	8	36.0 36.8
429	3 52 37 ,615	1,511167	9884.5	46.1	1,40635	9	40.5 41.4
<b>430</b>	3 53 10 ,099	1,511168	0,0009930.6		1,40635		
431	3 53 42 ,584	1,511167	09976.8	46.2	1,40634		
432	3 54 15 ,068	1,511167	10023.2	46.4	1,40634	1	4.7 4.8
433	3 54 47 ,552	1,511166	10069.6	46.4	1,40634	2	9.4 9.6
434	3 55 20 ,035	1,511166	10116.1	46.5	1,40633	3	14.1 14.4
435	3 55 52 ,518	1,511164	0,0010162.7	46.8	1,40633	4	18.8 19.2
436	3 56 25 ,000	1,511166	10209.5	46.8	1,40633	5	23.5 24.0
437	3 56 57 ,483	1,511164	10256.3	47.0	1,40632	6	28.2 28.8
438	3 57 29 ,965	1,511163	10303.3	47.1	1,40632		
439	3 58 2 ,446	1,511163	10350.4	47.1	1,40632	7	32.9 33.6
<b>440</b>	3 58 34 ,927	1,511163	0,0010397.5	47.1	1,40631	8	37.6 38.4
441	3 59 7 ,408	1,511163	10444.8	47.3	1,40631	9	42.3 43.2
442	3 59 39 ,889	1,511162	10492.2	47.4	1,40631		
443	4 0 12 ,369	1,511160	10539.7	47.5	1,40630		
444	4 0 44 ,848	1,511162	10587.3	47.6	1,40630	1	4.9 5.0
445	4 1 17 ,328	1,511160	0,0010635.0	47.7	1,40630	2	9.8 10.0
446	4 1 49 ,807	1,511159	10682.8	47.8	1,40630	3	14.7 15.0
447	4 2 22 ,285	1,511160	10730.7	47.9	1,40629	4	19.6 20.0
448	4 2 54 ,764	1,511159	10778.7	48.0	1,40629	5	24.5 25.0
449	4 3 27 ,242	1,511158	10826.9	48.2	1,40629	6	29.4 30.0
<b>450</b>	4 3 59 ,719	1,511158	0,0010875.1	48.4	1,40628	7	34.3 35.0
451	4 4 32 ,196	1,511158	10923.5	48.4	1,40628	8	39.2 40.0
452	4 5 4 ,673	1,511158	10971.9	48.6	1,40627	9	44.1 45.0
453	4 5 37 ,150	1,511156	11020.5	48.6	1,40627		
454	4 6 9 ,626	1,511155	11069.1	48.8	1,40627		
455	4 6 42 ,101	1,511156	0,0011117.9	48.9	1,40627		
456	4 7 14 ,577	1,511155	11166.8	49.0	1,40626	1	5.1 5.2
457	4 7 47 ,052	1,511155	11215.8	49.1	1,40626	2	10.2 10.4
458	4 8 19 ,526	1,511154	11264.9	49.2	1,40626	3	15.3 15.6
459	4 8 52 ,000	1,511154	11314.1	49.3	1,40625	4	20.4 20.8
<b>460</b>	4 9 24 ,474	1,511154	0,0011363.4	49.4	1,40625	5	25.5 26.0
461	4 9 56 ,948	1,511154	11412.8	49.5	1,40624	6	30.6 31.2
462	4 10 29 ,421	1,511152	11462.3	49.6	1,40624	7	35.7 36.4
463	4 11 1 ,893	1,511151	11511.9	49.8	1,40624	8	40.8 41.6
464	4 11 34 ,366	1,511151	11561.7	49.8	1,40623	9	45.9 46.8
465	4 12 6 ,838	1,511150	0,0011611.5	50.0	1,40623		
466	4 12 39 ,309	1,511150	11661.5	50.0	1,40623		
467	4 13 11 ,780	1,511150	11711.5	50.2	1,40623		
468	4 13 44 ,251	1,511148	11761.7	50.3	1,40622		
469	4 14 16 ,721	1,511148	11812.0	50.4	1,40622		
<b>470</b>	4 14 49 ,191	1,511148	0,0011862.4	50.4	1,40622		
471	4 15 21 ,661	1,511147	11912.8	50.6	1,40621		
472	4 15 54 ,130	1,511147	11963.4	50.7	1,40621		
473	4 16 26 ,599	1,511147	12014.1	50.8	1,40621		
474	4 16 59 ,068	1,511146	12064.9	50.9	1,40620		
475	4 17 31 ,536	1,511144	0,0012115.8	51.1	1,40620		
476	4 18 4 ,003	1,511146	12166.9	51.1	1,40619		
477	4 18 36 ,471	1,511144	12218.0	51.2	1,40619		
478	4 19 8 ,938	1,511143	12269.2	51.4	1,40619		
479	4 19 41 ,404	1,511143	12320.6	51.4	1,40618		
<b>480</b>	4° 20' 13", 870	1,511143	0,0012372.0	51.4	1,40618		

Achter  $\log \frac{H}{Y}$  moet worden gevoegd: — 10. Voor *Y* negatief is de breedte zuidelijk.

$$\log [1] = 1,6183 - 10 \\ \log [2] = 0,6346 - 10$$

<i>Y</i> K.M.	<i>φ</i>	$\log A_\phi$	$\log m$	<i>A</i>	$\log \frac{H}{Y}$	Evenredige deelen.
480	4° 20' 13",870	I,51143	0,0012372.0	+ 51.6	I,40618	51 52
481	4 20 46 ,336	I,51142	12423.6	51.6	I,40618	
482	4 21 18 ,801	I,51142	12475.2	51.8	I,40617	1 5.1 5.2
483	4 21 51 ,266	I,51142	12527.0	51.9	I,40617	2 10.2 10.4
484	4 22 23 ,731	I,51140	12578.9	52.0	I,40617	3 15.3 15.6
485	4 22 56 ,195	I,51140	0,0012630.9	52.0	I,40616	4 20.4 20.8
486	4 23 28 ,659	I,51139	12682.9	52.2	I,40616	5 25.5 26.0
487	4 24 1 ,122	I,51139	12735.1	52.3	I,40616	6 30.6 31.2
488	4 24 33 ,585	I,51139	12787.4	52.4	I,40615	7 35.7 36.4
489	4 25 6 ,048	I,51138	12839.8	52.6	I,40615	8 40.8 41.6
490	4 25 38 ,510	I,51138	0,0012892.4	52.6	I,40615	9 45.9 46.8
491	4 26 10 ,972	I,51136	12945.0	52.7		
492	4 26 43 ,433	I,51136	12997.7	52.8	I,40614	53 54
493	4 27 15 ,894	I,51136	13050.0	53.0	I,40614	
494	4 27 48 ,355	I,51135	13103.5	53.0	I,40613	1 5.3 5.4
495	4 28 20 ,815	I,51135	0,0013156.5	53.0	I,40613	2 10.6 10.8
496	4 28 53 ,275	I,51134	13209.7	53.2	I,40612	3 15.9 16.2
497	4 29 25 ,734	I,51134	13263.0	53.3	I,40612	4 21.2 21.6
498	4 29 58 ,193	I,51134	13316.3	53.3	I,40612	5 26.5 27.0
499	4 30 30 ,651	I,51132	13369.8	53.5	I,40611	6 31.8 32.4
500	4 31 3 ,109	I,51132	0,0013423.4	53.6	I,40611	7 37.1 37.8
501	4 31 35 ,567	I,51132	13477.1	53.7	I,40611	8 42.4 43.2
502	4 32 8 ,025	I,51129	13530.9	53.8	I,40610	9 47.7 48.6
503	4 32 40 ,481	I,51131	13584.8	53.9	I,40610	55 56
504	4 33 12 ,938	I,51129	13638.8	54.0	I,40610	
505	4 33 45 ,394	I,51129	0,0013692.9	54.1	I,40609	1 5.5 5.6
506	4 34 17 ,850	I,51128	13747.1	54.2	I,40609	2 11.0 11.2
507	4 34 50 ,305	I,51128	13801.5	54.4	I,40608	3 16.5 16.8
508	4 35 22 ,760	I,51127	13855.9	54.4	I,40608	4 22.0 22.4
509	4 35 55 ,214	I,51127	13910.5	54.6	I,40608	5 27.5 28.0
510	4 36 27 ,668	I,51127	0,0013965.1	54.6	I,40607	6 33.0 33.6
511	4 37 0 ,122	I,51127	14019.9	54.8	I,40607	7 38.5 39.2
512	4 37 32 ,575	I,51125	14074.7	54.8	I,40607	8 44.0 44.8
513	4 38 5 ,028	I,51125	14129.7	55.0	I,40606	9 49.5 50.4
514	4 38 37 ,480	I,51124	14184.8	55.1	I,40606	
515	4 39 9 ,932	I,51123	0,0014240.0	55.2	I,40605	57 58
516	4 39 42 ,383	I,51123	14295.3	55.3	I,40605	
517	4 40 14 ,834	I,51123	14350.7	55.4	I,40605	1 5.7 5.8
518	4 40 47 ,285	I,51121	14406.2	55.5	I,40604	2 11.4 11.6
519	4 41 19 ,735	I,51121	14461.8	55.6	I,40604	3 17.1 17.4
520	4 41 52 ,185	I,51120	0,0014517.5	55.7	I,40604	4 22.8 23.2
521	4 42 24 ,634	I,51120	14573.3	55.8	I,40603	5 28.5 29.0
522	4 42 57 ,083	I,51120	14629.3	56.0	I,40603	6 34.2 34.8
523	4 43 29 ,532	I,51119	14685.3	56.0	I,40602	7 39.9 40.6
524	4 44 1 ,980	I,51119	14741.5	56.2	I,40602	8 45.6 46.4
525	4 44 34 ,428	I,51117	0,0014797.7	56.2	I,40602	9 51.3 52.2
526	4 45 6 ,875	I,51117	14854.1	56.4	I,40601	
527	4 45 39 ,322	I,51117	14910.5	56.4	I,40601	log [r] = 1,6483 - 10
528	4 46 11 ,768	I,51116	14967.1	56.6	I,40601	log [e] = 0,6346 - 10
529	4 46 44 ,214	I,51116	15023.8	56.7	I,40600	
530	4 47 16 ,659	I,51115	0,0015080.6	56.8	I,40600	
531	4 47 49 ,105	I,51116	15137.5	56.9	I,40599	
532	4 48 21 ,549	I,51113	15194.5	57.0	I,40599	
533	4 48 53 ,993	I,51113	15251.6	57.1	I,40599	
534	4 49 26 ,437	I,51113	15308.8	57.2	I,40598	
535	4 49 58 ,881	I,51113	0,0015366.1	57.3	I,40598	
536	4 50 31 ,323	I,51112	15423.6	57.5	I,40598	
537	4 51 3 ,766	I,51111	15481.1	57.5	I,40597	
538	4 51 36 ,208	I,51109	15538.7	57.6	I,40597	
539	4 52 8 ,649	I,51111	15596.5	57.8	I,40596	
540	4° 52' 41",091	I,51111	0,0015654.3	57.8	I,40596	

Achter  $\log \frac{H}{Y}$  moet worden gevoegd: — 10. Voor *Y* negatief is de breedte zuidelijk.

## T A F E L V d.

 $\gamma$  van 540 tot 600 K.M.

$\gamma$ K.M.	$\psi$	$\log A_\psi$	$\log m$	$A$	$\log \frac{H}{Y}$	Evenredige declen.	58	59
540	4° 52' 41", 091	1,51108	0,0015654-3	1	1,40596			
541	4 53 13 ,531	1,51109	15712.3	58.0	1,40596	1	5.8	5.9
542	4 53 45 ,972	1,51107	15770.4	58.1	1,40595	2	11.6	11.8
543	4 54 18 ,411	1,51108	15828.5	58.1	1,40595	3	17.4	17.7
544	4 54 50 ,851	1,51107	15866.8	58.3	1,40594	4	23.2	23.6
545	4 55 23 ,290	1,51105	0,0015945-2	58.5	1,40594	5	29.0	29.5
546	4 55 55 ,728	1,51105	16003.7	58.6	1,40594	6	34.8	35.4
547	4 56 28 ,166	1,51105	16062.3	58.7	1,40593	7	40.6	41.3
548	4 57 0 ,604	1,51104	16121.0	58.8	1,40593	8	46.4	47.2
549	4 57 33 ,041	1,51104	16179.8	59.0	1,40592	9	52.2	53.1
550	4 58 5 ,478	1,51103	0,0016238.8	59.0	1,40592			
551	4 58 37 ,914	1,51103	16297.8	59.1	1,40592		60	61
552	4 59 10 ,350	1,51101	16356.9	59.3	1,40591	1	6.0	6.1
553	4 59 42 ,785	1,51101	16416.2	59.3	1,40591	2	12.0	12.2
554	5 0 15 ,220	1,51100	16475.5	59.3	1,40590	3	18.0	18.3
555	5 0 47 ,654	1,51100	0,0016535.0	59.5	1,40590	4	24.0	24.4
556	5 1 20 ,988	1,51100	16594.5	59.7	1,40590	5	30.0	30.5
557	5 1 52 ,522	1,51099	16654.2	59.8	1,40589	6	36.0	36.6
558	5 2 24 ,955	1,51099	16714.0	59.8	1,40589	7	42.0	42.7
559	5 2 57 ,388	1,51099	16773.8	60.0	1,40588	8	48.0	48.8
560	5 3 29 ,820	1,51096	0,0016833.8	60.1	1,40588	9	54.0	54.9
561	5 4 2 ,251	1,51097	16893.9	60.2	1,40588			
562	5 4 34 ,683	1,51095	16954.1	60.3	1,40587		62	63
563	5 5 7 ,113	1,51096	17014.4	60.5	1,40587			
564	5 5 39 ,544	1,51095	17074.9	60.5	1,40586			
565	5 6 11 ,974	1,51093	0,0017135.4	60.6	1,40586	1	6.2	6.3
566	5 6 44 ,403	1,51093	17196.0	60.7	1,40586	2	12.4	12.6
567	5 7 16 ,832	1,51092	17256.7	60.9	1,40585	3	18.6	18.9
568	5 7 49 ,260	1,51092	17317.6	60.9	1,40585	4	24.8	25.2
569	5 8 21 ,688	1,51092	17378.5	61.1	1,40584	5	31.0	31.5
570	5 8 54 ,116	1,51091	0,0017439.6	61.2	1,40584	6	37.2	37.8
571	5 9 26 ,543	1,51091	17500.8	61.2	1,40583	7	43.4	44.1
572	5 9 58 ,970	1,51089	17562.0	61.4	1,40583	8	49.6	50.4
573	5 10 31 ,396	1,51089	17623.4	61.5	1,40583	9	55.8	56.7
574	5 11 3 ,822	1,51088	17684.9	61.6	1,40582			
575	5 11 36 ,247	1,51088	0,0017746.5	61.7	1,40582		64	65
576	5 12 8 ,672	1,51087	17808.2	61.8	1,40581			
577	5 12 41 ,096	1,51087	17870.0	61.9	1,40581	1	6.4	6.5
578	5 13 13 ,520	1,51085	17931.9	62.0	1,40581	2	12.8	13.0
579	5 13 45 ,943	1,51085	17993.9	62.1	1,40580	3	19.2	19.5
580	5 14 18 ,366	1,51084	0,0018056.0	62.2	1,40580	4	25.6	26.0
581	5 14 50 ,788	1,51084	18118.2	62.2	1,40579	5	32.0	32.5
582	5 15 23 ,210	1,51084	18180.6	62.4	1,40579	6	38.4	39.0
583	5 15 55 ,632	1,51084	18243.0	62.4	1,40578	7	44.8	45.5
584	5 16 28 ,053	1,51083	18305.6	62.6	1,40578	8	51.2	52.0
585	5 17 0 ,473	1,51081	0,0018368.2	62.8	1,40578	9	57.6	58.5
586	5 17 32 ,893	1,51081	18431.0	62.9	1,40577			
587	5 18 5 ,313	1,51081	18493.9	62.9	1,40577			
588	5 18 37 ,732	1,51080	18556.8	62.9	1,40576			
589	5 19 10 ,150	1,51079	18619.9	63.1	1,40576			
590	5 19 42 ,568	1,51079	0,0018683.1	63.2	1,40576			
591	5 20 14 ,986	1,51079	18746.4	63.3	1,40575			
592	5 20 47 ,403	1,51077	18809.8	63.4	1,40575			
593	5 21 19 ,820	1,51077	18873.3	63.5	1,40574			
594	5 21 52 ,236	1,51076	18936.9	63.6	1,40574			
595	5 22 24 ,651	1,51075	0,0019000.6	63.7	1,40573			
596	5 22 57 ,067	1,51076	19064.5	63.9	1,40573			
597	5 23 29 ,481	1,51073	19128.4	63.9	1,40573			
598	5 24 1 ,896	1,51075	19192.4	64.0	1,40572			
599	5 24 34 ,309	1,51072	19256.6	64.2	1,40572			
600	5° 25' 6", 723	1,51073	0,0019320.8	64.2	1,40571			

Achter  $\log \frac{H}{Y}$  moet worden gevoegd: — ro. Voor  $Y$  negatief is de breedte zuidelijk.

$$\log [1] = 1,6483 - 10$$

$$\log [2] = 0,6346 - 10$$

<i>Y</i> K.M.	$\varphi$	$\log A_\varphi$	$\log m$	<i>A</i>	$\log \frac{H}{Y}$	Evenredige deelen.	<b>64</b>	<b>65</b>
<b>600</b>	5° 25' 6", 723	1,51071	0,0010320.8	+	1,40571			
601	5 25 39 ,135	1,51072	19385.2	64.4	1,40571			
602	5 26 11 ,548	1,51069	19449.7	64.5	1,40570	1	6.4	6.5
603	5 26 43 ,959	1,51071	19514.2	64.5	1,40570	2	12.8	13.0
604	5 27 16 ,371	1,51068	19578.9	64.7	1,40569	3	19.2	19.5
605	5 27 48 ,781	1,51069	0,0019643.7	64.9	1,40569	4	25.6	26.0
606	5 28 21 ,192	1,51068	19708.6	65.0	1,40569	5	32.0	32.5
607	5 28 53 ,602	1,51067	19773.6	65.1	1,40568	6	38.4	39.0
608	5 29 26 ,011	1,51067	19838.7	65.2	1,40568	7	44.8	45.5
609	5 29 58 ,420	1,51065	19903.9	65.3	1,40567	8	51.2	52.0
610	5 30 30 ,828	1,51065	0,0019969.2	65.4	1,40567	9	57.6	58.5
611	5 31 3 ,236	1,51064	20034.6	65.6	1,40566			
612	5 31 35 ,643	1,51064	20100.2	65.6	1,40566			
613	5 32 8 ,050	1,51063	20165.8	65.8	1,40566			
614	5 32 40 ,456	1,51063	20231.6	65.8	1,40565	1	6.6	6.7
615	5 33 12 ,862	1,51061	0,0020297.4	66.0	1,40565	2	13.2	13.4
616	5 33 45 ,267	1,51061	20363.4	66.0	1,40564	3	19.8	20.1
617	5 34 17 ,672	1,51060	20429.4	66.2	1,40564	4	26.4	26.8
618	5 34 50 ,076	1,51060	20495.6	66.3	1,40563	5	33.0	33.5
619	5 35 22 ,480	1,51060	20561.9	66.3	1,40563	6	39.6	40.2
620	5 35 54 ,884	1,51057	0,0020628.3	66.4	1,40562	7	46.2	46.9
621	5 36 27 ,286	1,51057	20694.7	66.4	1,40562	8	52.8	53.6
622	5 36 59 ,689	1,51059	20761.3	66.6	1,40561	9	59.4	60.3
623	5 37 32 ,090	1,51056	20828.0	66.7	1,40561			
624	5 38 4 ,492	1,51057	20894.8	66.8	1,40561			
625	5 38 36 ,892	1,51055	0,0020961.8	67.0	1,40560	1	6.8	6.9
626	5 39 9 ,293	1,51056	21028.8	67.0	1,40560	2	13.6	13.8
627	5 39 41 ,692	1,51053	21095.9	67.1	1,40559	3	20.4	20.7
628	5 40 14 ,092	1,51055	21163.1	67.2	1,40559	4	27.2	27.6
629	5 40 46 ,490	1,51052	21230.5	67.4	1,40558	5	34.0	34.5
630	5 41 18 ,889	1,51053	0,0021297.9	67.6	1,40558	6	40.8	41.4
631	5 41 51 ,286	1,51050	21365.5	67.6	1,40557	7	47.6	48.3
632	5 42 23 ,683	1,51050	21433.2	67.7	1,40557	8	54.4	55.2
633	5 42 56 ,080	1,51050	21500.9	67.7	1,40556	9	61.2	62.1
634	5 43 28 ,476	1,51049	21568.8	67.9	1,40556			
635	5 44 0 ,872	1,51049	0,0021636.8	68.0	1,40556			
636	5 44 33 ,267	1,51048	21704.9	68.1	1,40555			
637	5 45 5 ,662	1,51048	21773.0	68.1	1,40555	1	7.0	7.1
638	5 45 38 ,056	1,51046	21841.4	68.4	1,40554	2	14.0	14.2
639	5 46 10 ,449	1,51045	21909.8	68.4	1,40554	3	21.0	21.3
640	5 46 42 ,842	1,51045	0,0021978.3	68.5	1,40553	4	28.0	28.4
641	5 47 15 ,235	1,51045	22046.9	68.6	1,40553	5	35.0	35.5
642	5 47 47 ,627	1,51044	22115.6	68.7	1,40552	6	42.0	42.6
643	5 48 20 ,018	1,51042	22184.4	68.8	1,40552	7	49.0	49.7
644	5 48 52 ,409	1,51042	22253.4	69.0	1,40551	8	56.0	56.8
645	5 49 24 ,800	1,51040	0,0022322.4	69.2	1,40551	9	63.0	63.9
646	5 49 57 ,189	1,51041	22391.6	69.2	1,40550			
647	5 50 29 ,579	1,51040	22460.8	69.4	1,40550			
648	5 51 1 ,968	1,51038	22530.2	69.4	1,40550			
649	5 51 34 ,356	1,51038	22599.7	69.5	1,40549			
650	5 52 6 ,744	1,51037	0,0022669.2	69.5	1,40549			
651	5 52 39 ,131	1,51037	22738.9	69.7	1,40548			
652	5 53 11 ,518	1,51037	22808.7	69.8	1,40548			
653	5 53 43 ,904	1,51036	22878.6	69.9	1,40547			
654	5 54 16 ,290	1,51036	22948.6	70.0	1,40547			
655	5 54 48 ,675	1,51034	0,0023018.7	70.1	1,40546			
656	5 55 21 ,059	1,51033	23088.9	70.2	1,40546			
657	5 55 53 ,443	1,51033	23159.2	70.3	1,40545			
658	5 56 25 ,827	1,51033	23229.7	70.5	1,40545			
659	5 56 58 ,210	1,51032	23300.2	70.5	1,40544			
660	5° 57' 30" ,592	1,51030	0,0023370.8	70.6	1,40544			

Achter  $\log \frac{H}{Y}$  moet worden gevoegd: — 10. Voor *Y* negatief is de breedte zuidelijk.

$$\log [1] = 1,6483 - 10$$

$$\log [2] = -0,6346 - 10$$

## T A F E L V d.

 $Y$  van 660 tot 665 K.M.

$Y$ K.M.	$\varphi$	$\log A_2$	$\log m$	$A$	$\log \frac{H}{Y}$	Evenredige deelen.	
660	5° 57' 30", 592		0,0023370.8	+	1,40544		
661	5 58 2 ,974	1,51030	23441.6	70.8	1,40543	1	7.1
662	5 58 35 ,356	1,51030	23512.4	70.8	1,40543	2	14.2
663	5 59 7 ,736	1,51028	23583.4	71.0	1,40542	3	21.3
664	5 59 40 ,117	1,51029	23654.5	71.1	1,40542	4	28.4
665	6° 0' 12", 496	1,51026	0,0023725.6		1,40541	5	35.5
						6	42.6
						7	49.7
						8	56.8
						9	63.9

$$\log [1] = 1,6483 - 10$$

$$\log [2] = 0,6346 - 10$$

Achter  $\log \frac{H}{Y}$  moet worden gevoegd: — 10. Voor  $Y$  negatief is de breedte zuidelijk.

## T A F E L V e.

$\varphi$	$m$	$\varphi$	$m$	$\varphi$	$m$
0° 0'	1,000000	2° 0'	1,000605	4° 0'	1,002426
10	1,000004	10	1,000711	10	1,002632
20	1,000017	20	1,000824	20	1,002848
30	1,000038	30	1,000946	30	1,003072
40	1,000067	40	1,001077	40	1,003304
50	1,000105	50	1,001216	50	1,003545
1° 0'	1,000151	3° 0'	1,001363	5° 0'	1,003794
10	1,000206	10	1,001519	10	1,004052
20	1,000269	20	1,001683	20	1,004319
30	1,000340	30	1,001856	30	1,004594
40	1,000420	40	1,002038	40	1,004878
50	1,000509	50	1,002227	50	1,005171
2° 0'	1,000605	4° 0'	1,002426	6° 0'	1,005472

## V.

## DE POLYEDERPROJECTIE.

## A.

Formules voor de berekening van den vorm en de afmetingen  
van de verschillende bladen der kaart.

(Zie Voorbeeld 1.)

Op elk blad der kaart wordt voorgesteld een gedeelte van het aardoppervlak, begrepen tusschen twee parallellen en twee meridianen; de bladen hebben den vorm van gelijkbeenige trapeziums, welker langste evenwijdige zijde naar den aequator is toegekeerd, met uitzondering van de bladen, waarvan het centrale punt op den aequator zelven is gelegen; deze hebben den vorm van rechthoeken.

De overbrenging geschiedt door middel van een kegelvormige projectie, boven en onderrand der bladen zijn dus streng genomen cirkelbogen; het verschil tusschen die cirkelbogen en de daarvoor in de plaats gestelde rechte lijnen is echter zoo gering, dat het niet in aanmerking komt.

Gegeven:  $\varphi_0$  de *geographische breedte* van het centrale punt van het blad, zoowel noordelijk als zuidelijk *positief* genomen;  
 $\lambda_1$  de *halve afstand der meridianen* en  
 $\beta_1$  de *halve afstand der parallellen*, tusschen welke het deel van het aardoppervlak is besloten, dat op de kaart moet worden voorgesteld, beiden uitgedrukt in *secunden*.

Gevraagd:  $b'$  de *halve lengte der kortste evenwijdige zijde*;  
 $b''$  de *halve lengte der langste evenwijdige zijde*;  
 $h'$  de *afstand van de kortste evenwijdige zijde tot aan het centrale punt*;  
 $h''$  de *afstand van de langste evenwijdige zijde tot aan het centrale punt*;  
 $p$  de *pijl* van de cirkelbogen, die streng genomen boven en onderrand zouden moeten vormen;  
alles uitgedrukt in *Meters*.

$$\begin{aligned} b' &= [A] \lambda_1 - [C] \beta_1 \lambda_1 \\ b'' &= [A] \lambda_1 + [C] \beta_1 \lambda_1 \\ h' &= [B] \beta_1 + [D] \lambda_1^2 \\ h'' &= [B] \beta_1 - [D] \lambda_1^2 \\ \phi &= [D] \lambda_1^2. \end{aligned}$$

In deze formules heeft men:

$$\begin{aligned} [A] &= N_0 \cos \varphi_0 \text{ boog } \tau'' \\ [B] &= R_0 \text{ boog } \tau'' \\ [C] &= R_0 \sin \varphi_0 \text{ boog}^2 \tau'' \\ [D] &= \frac{1}{4} N_0 \sin^2 \varphi_0 \text{ boog}^2 \tau''. \end{aligned}$$

$N_0$  is de normaal en  $R_0$  de meridiaan-kromtestraal voor de breedte  $\varphi_0$ .

Voor deze berekening is het voldoende te nemen  $\log [A]$  en  $\log [B]$  met *vijf*,  $\log [C]$  en  $\log [D]$  met *drie* decimalen. In *Tafel VIa* vindt men  $\log [A]$  en  $\log [B]$  tot in *acht*,  $\log [C]$  en  $\log [D]$  tot in *vijf* decimalen voor de waarden van  $\varphi_0$  van  $0^\circ$  tot  $6^\circ$ , telkens opklimmende met 5 minuten; deze logarithmen moeten dus tot het vercischte aantal decimalen worden afgerond. De grootheid [B] komt overeen met [VI] in *Tafel IV* (Afdeeling III).

Voor bladen ten noorden van den aequator is dus:

- de hoogte  $h' + h''$ ,
- de lengte van den bovenrand  $\pm b'$ ,
- de lengte van den benedenrand  $\pm b''$

en voor bladen ten zuiden van den aequator:

- de hoogte  $h' + h''$ ,
- de lengte van den bovenrand  $\pm b''$ ,
- de lengte van den benedenrand  $\pm b'$ .

De gevonden waarden moeten worden verkleind volgens de schaal van de kaart.

## B.

### Formules voor de berekening van de coördinaten der punten van het driehoeksnet op een blad der kaart uit hunne geographische lengten en breedten.

(Zie Voorbeeld 2.)

Als coördinaatassen worden aangenomen de projectie van den meridiaan van het centrale punt van het blad als *Y*-as, de loodlijn daarop in het centrale punt als *X*-as; de *ordinaten* worden in noordelijke, de *abscissen* in oostelijke richting *positief* geteld.

Ingeval het *tertiaire* driehoeksnet in de kaartprojectie wordt berekend, waarbij het, ten gevolge van de nabijheid van het centrale punt,

in het algemeen niet noodig is voor de overbrenging correctiën aan te brengen aan de op het aardoppervlak gemeten richtingen of hoochen, moeten de coördinaten der *primaire* en *secundaire* punten tot in centimeters nauwkeurig worden berekend \*).

Gegeven:  $\varphi_0$  de *geographische breedte* van het centrale punt van het blad, zoowel noordelijk als zuidelijk *positief* genomen;  
 $l_0$  de *geographische lengte* van het centrale punt van het blad, oostelijk *positief*, westelijk *negatief* genomen;  
 $\varphi$  de *geographische breedte*, en  
 $l$  de *geographische lengte* van het punt, welks coördinaten moeten worden berekend, wat het teeken betreft op dezelfde wijze behandeld als  $\varphi_0$  en  $l_0$ .

Gevraagd:  $x, y$  de *coördinaten* van het punt op het blad der kaart.

$$\left. \begin{array}{l} \varphi - \varphi_0 = \beta \\ l - l_0 = \lambda \end{array} \right\} \text{uitgedrukt in secunden.}$$

a. Het centrale punt heeft *noordelijke* breedte:

$$\begin{aligned} x &= [A] \lambda - [C] \beta \lambda \\ y &= [B] \beta + [D] \lambda^2 + [1] [D] \beta^2 + [2] \beta^3. \end{aligned}$$

b. Het centrale punt heeft *zuidelijke* breedte:

$$\begin{aligned} x &= [A] \lambda - [C] \beta \lambda \\ y &= -[B] \beta - [D] \lambda^2 - [1] [D] \beta^2 - [2] \beta^3. \end{aligned}$$

In deze formules hebben [A], [B], [C] en [D] dezelfde beteekenis als boven (bldz. 98); de logarithmen van deze grootheden zijn met het vereischte aantal decimalen te vinden in *Tafel VIIa*; verder is:

$$\begin{aligned} [1] &= 3 e^2 (1 - e^2) \\ [2] &= \frac{1}{2} a (1 + e^2 - 2 e^4) \text{ boog}^3 r'', \end{aligned}$$

of in getallenwaarden:

$$\begin{aligned} \log [1] &= 8,299 - 10 \\ \log [2] &= 0,086 - 10. \end{aligned}$$

\*). De correctie aan te brengen aan het azijnut bij de overbrenging van een driehoeks zijde van het aardoppervlak op een blad der kaart, bedraagt voor een gemiddelde ordinat van 37000 M. en een afstand van 10000 M. hoogstens 1 seconde.

Zij wordt gevonden door middel van de formule:

$$\psi = D y_m (x_2 - x_1),$$

waarin:

$$y_m = \frac{1}{2} (y_2 + y_1),$$

$$D = \frac{r}{2 a^2 (1 - e^2) \text{ boog}^3 r''}, \quad \log D = 1,4070 - 10 \text{ (zie bldz. 63).}$$

terwijl  $x_1, y_1$  en  $x_2, y_2$  de coördinaten zijn van de cindpunten  $P_1$  en  $P_2$  der zijde.

Is  $A_{12}$  het azijnut der zijde op het aardoppervlak in het punt  $P_1$ ,  $A'_{12}$  het azijnut in het punt  $P_2$ , dan heeft men in de projectie:

$$A'_{12} = A_{12} + \psi, \quad A'_{21} = A_{21} - \psi.$$

Bij zeer lange driehoeks zijden kan het noodig zijn deze correctie aan te brengen; men gaat dan op geheel dezelfde wijze te werk als op bldz. 63 is opgegeven voor de overbrenging van het driehoeksnet in een plat vlak door middel van de projectie van MERCATOR.

Voor een maximumwaarde van  $\beta$  en  $\lambda$  gelijk aan  $20'$  geven deze formules  $x$  en  $y$  tot in *centimeters* nauwkeurig; voor waarden van  $\beta$  kleiner dan  $5'$  is de term [2]  $\beta^3$  te verwaarlozen.

Verlangt men de waarde van  $x$  en van  $y$  alleen te kennen met het doel om het punt in tekening te brengen, dan zijn de termen met  $\beta^2$  en  $\beta^3$  altijd te verwaarlozen en is het voldoende log [A] en log [B] te nemen tot in *vijf*, log [C] en log [D] tot in *drie* decimalen. De verkregen waarden zijn dan nog te verkleinen volgens de schaal van de kaart.

### C.

#### Formules voor de berekening van de coördinaten der punten van het driehoeksnet op een blad der kaart uit hunne coördinaten in de conforme projectie (Projectie van Mercator).

(Zie Voorbeeld 3.)

De coördinaatassen op het blad der kaart zijn dezelfde als boven (blz. 98).

Gegeven:  $\varphi_0$  de *geographische breedte* van het centrale punt van het blad, zoowel noordelijk als zuidelijk *positie* genomen;

$X_0, Y_0$  de coördinaten in de projectie van *Mercator* van het centrale punt van het blad;

$X, Y$  de coördinaten in de projectie van *Mercator* van het punt, welks coördinaten op het blad der kaart worden gezocht.

Gevraagd:  $x, y$  de coördinaten van dat punt op het blad der kaart.

$$\begin{cases} X - X_0 = \xi \\ Y - Y_0 = \eta \end{cases} \quad \text{uitgedrukt in Meters.}$$

a. Het centrale punt heeft *noordelijke* breedte:

$$\begin{aligned} x &= \xi - [a] \xi - [b] \xi \eta \\ y &= \eta - [a] \eta + [c] \xi^2 - [c] \eta^2. \end{aligned}$$

b. Het centrale punt heeft *zuidelijke* breedte:

$$\begin{aligned} x &= \xi - [a] \xi + [b] \xi \eta \\ y &= \eta - [a] \eta - [c] \xi^2 + [c] \eta^2. \end{aligned}$$

In deze formules is:

$$\begin{aligned} \log [a] &= \log 2(1 - e^2) \sin^2 \frac{1}{2} \varphi_0 + 3M \frac{e^2}{1 - e^2} \sin^2 \frac{1}{2} \varphi_0 \\ [b] &= \frac{N_0 \sin 2 \varphi_0}{2 \alpha^2} \\ [c] &= \pm [b] \end{aligned}$$

$$\log_2 (1 - e^2) = 0,2981216$$

$$\log_3 M \frac{e^2}{1 - e^2} = 7,9422 - 10$$

$$\log \frac{1}{2 \alpha^2} = 6,089683 - 10.$$

De waarden van  $\log [a]$  tot in *zes*, van  $\log [b]$  en van  $\log [c]$  tot in *vijf* decimalen zijn te vinden in *Tafel VIb* voor de waarden van  $\varphi_0$  van  $0^\circ$  tot  $6^\circ$ , telkens opklimmende met 5 minuten.

Voor een maximumwaarde van  $\xi$  en van  $\eta$  gelijk aan 37000 M. geven de formules  $x$  en  $y$  tot in *centimeters* nauwkeurig.

Verlangt men de waarden van  $x$  en van  $y$  alleen te kennen met het doel om het punt in teekening te brengen, dan is het voldoende  $\log [a]$  te nemen tot in *vier*,  $\log [b]$  en  $\log [c]$  tot in *drie* decimalen. De verkregen waarden zijn dan nog te verkleinen volgens de schaal van de kaart.

## D.

**Formules voor de berekening van de coördinaten van een punt ten opzichte van de assen van een blad der kaart uit de coördinaten van dat punt ten opzichte van de assen van een aangrenzend blad.**

Bij de berekening van het *tertiaire* driehoeksnet kan zich het geval voordoen, dat een punt blijkt te liggen buiten het blad der kaart, op welks assen de voor dat punt berkende coördinaten betrekking hebben; uit de gevonden waarden moeten dan de coördinaten worden afgeleid ten opzichte van de assen van het blad, waarop dat punt werkelijk is gelegen.

Eveneens kan het voorkomen, dat men voor de berekening van het *tertiaire* driehoeksnet de coördinaten noodig heeft van een reeds vroeger vastgelegd *tertiair* punt, dat is gelegen op een aangrenzend blad. Uit de coördinaten van dat punt ten opzichte van de assen van het blad, waarop het werkelijk is gelegen, moeten dan de coördinaten worden afgeleid ten opzichte van de assen van het aangrenzend blad.

Het blad, ten opzichte van welks assen de coördinaten van het punt zijn gegeven, wordt genoemd het *eerste blad*; het blad, ten opzichte van welks assen de coördinaten van het punt worden gezocht, wordt genoemd het *tweede blad*.

Gegeven:  $\varphi_0$  de geographische breedte van het centrale punt van het eerste blad, zoowel noordelijk als zuidelijk positief genomen;  
 $l_0$  de geographische lengte van het centrale punt van het eerste blad, oostelijk positief, westelijk negatief genomen;  
 $\varphi'_0$  de geographische breedte en  
 $l'_0$  de geographische lengte van het centrale punt van het tweede blad, wat het teeken betreft evenzoo behandeld als  $\varphi_0$  en  $l_0$ ;  
 $x, y$  de coördinaten van een punt ten opzichte van de assen van het eerste blad.

Gevraagd:  $x', y'$  de coördinaten van datzelfde punt, ten opzichte van de assen van het tweede blad.

$$\begin{aligned} \varphi_0 - \varphi'_0 &= \beta_0 \\ l_0 - l'_0 &= \lambda_0 \end{aligned} \quad \text{uitgedrukt in secunden.}$$

Noemt men  $P, Q$  de coördinaten van het centrale punt van het eerste blad ten opzichte van de assen van het tweede blad, dan heeft men:

a. De beide bladen sluiten met oost- en westrand tegen elkaar.

1. De breedte  $\varphi'_0$  is noordelijk:

$$\begin{aligned} P &= [A] \lambda_0 \\ Q &= [D] \lambda_0^2 \\ x' &= P + x - [a] y \\ y' &= Q + y + [a] x \end{aligned}$$

2. De breedte  $\varphi'_0$  is zuidelijk:

$$\begin{aligned} P &= [A] \lambda_0 \\ Q &= -[D] \lambda_0^2 \\ x' &= P + x + [a] y \\ y' &= Q + y - [a] x. \end{aligned}$$

b. De beide bladen sluiten met noord- en zuidrand tegen elkaar.

1. De breedte  $\varphi'_0$  is noordelijk:

$$\begin{aligned} Q &= [B] \beta_0 + [r] [D] \beta_0^2 + [z] \beta_0^3 \\ x' &= x + [f] x + z [x] xy \\ y' &= Q + y + [f] y - [c] x^2 + [r] y^2. \end{aligned}$$

2. De breedte  $\varphi'_0$  is zuidelijk:

$$\begin{aligned} Q &= -[B] \beta_0 - [r] [D] \beta_0^2 - [z] \beta_0^3 \\ x' &= x + [f] x - z [x] xy \\ y' &= Q + y + [f] y + [c] x^2 - [r] y^2. \end{aligned}$$

- c. De beide bladen hebben slechts een enkel hoekpunt gemeen. (Zie Voorbeeld 4a en 4b.)

1. De breedte  $\varphi'_0$  is *noordelijk*:

$$\begin{aligned} P &= [A] \lambda_0 - [C] \beta_0 \lambda_0 \\ Q &= [B] \beta_0 + [D] \lambda_0^2 + [1] [D] \beta_0^2 + [2] \beta_0^3 \\ x' &= P + x - [a] y + [f] x + 2 [c] xy \\ y' &= Q + y + [a] x + [f] y - [r] x^2 + [c] y^2. \end{aligned}$$

2. De breedte  $\varphi'_0$  is *zuidelijk*:

$$\begin{aligned} P &= [A] \lambda_0 - [C] \beta_0 \lambda_0 \\ Q &= -[B] \beta_0 - [D] \lambda_0^2 - [1] [D] \beta_0^2 - [2] \beta_0^3 \\ x' &= P + x + [a] y + [f] x - 2 [c] xy \\ y' &= Q + y - [a] x + [f] y + [c] x^2 - [r] y^2. \end{aligned}$$

Liggen  $\varphi_0$  en  $\varphi'_0$  aan *verschillende zijden* van den *aequator* dan is de breedte  $\varphi_0$  *negatief* te nemen.

In deze formules hebben [A], [B], [C], [D], [1] en [2] dezelfde beteekenis als boven (blz. 98 en 99); de logarithmen der vier eerstgenoemde grootheden zijn te nemen uit *Tafel VIIa* met het argument  $\varphi'_0$ .

Verder is:

$$\begin{aligned} [a] &= \lambda_0 \sin \varphi'_0 \text{ boog } r'' \\ [f] &= \frac{1}{2} (1 - e^2) \beta_0^2 \text{ boog}^2 r'' \\ [r] &= \frac{1}{2} a \beta_0 \text{ boog } r'' \end{aligned}$$

$$\log \frac{1}{2} (1 - e^2) \text{ boog}^2 r'' = 9,0672 - 20$$

$$\log \frac{1}{2} a \beta_0 \text{ boog } r'' = 7,5799 - 20;$$

$\log [a]$  moet men nemen met *vijf*,  $\log [f]$  en  $\log [r]$  met *drie* decimalen; voor een maximumwaarde van  $\lambda_0$  en  $\beta_0$  gelijk aan  $20'$  en van  $x$ ,  $y$ ,  $x'$  en  $y'$  gelijk aan  $37000$  M., vindt men  $x'$  en  $y'$  nog in *centimeters* nauwkeurig.

Bij de toepassing dezer formules moeten  $\beta$  en  $\lambda$  behoorlijk met hun algebraïsch teeken in rekening worden gebracht.

## VOORBEELDEN.

## 1. Berekening der afmetingen van een blad der kaart.

Noordelijke breedte.				Zuidelijke breedte.			
Blad:				Blad:			
Schaal 1 : 80000				Schaal 1 : 40000			
Centraalpunt $\varphi_0 = 1^\circ 40' 0''$ (argument)				Centraalpunt $\varphi_0 = 5^\circ 0' 0''$ (argument)			
$\beta_1 - \lambda_1 = 10' = 600''$				$\beta_1 = \lambda_1 = 5' = 300''$			
$\log[A]$	1,49004	$\log[C]$	4,637	$\log[A]$	1,48857	$\log[C]$	5,113
$\log \lambda_1$	2,77815	$\log \beta_1 \lambda_1$	5,556	$\log \lambda_1$	2,47712	$\log \beta_1 \lambda_1$	4,954
$\log(1)$	4,26819	$\log(3)$	0,193	$\log(1)$	3,96569	$\log(3)$	0,067
$\log[B]$	1,48731	$\log[D]$	4,338	$\log[B]$	1,48734	$\log[D]$	4,813
$\log \beta_1$	2,77815	$2 \log \lambda$	5,556	$\log \beta_1$	2,47712	$2 \log \lambda$	4,954
$\log(2)$	4,26546	$\log(4)$	9,894	$\log(2)$	3,96446	$\log(4)$	9,767
+ (1)	18543	+ (2)	18427	+ (1)	9240	+ (2)	9214
+ (3)	+	+ (4)	+	+ (3)	+	+ (4)	+
$b'$	18541	$h'$	18428	$b'$	9239	$h'$	9215
$b''$	18545	$h''$	18426	$b''$	9241	$h''$	9213
Afmetingen van het blad:				Afmetingen van het blad:			
$b' = 231,8$ mM.	$h' = 230,4$ mM.	$b' = 231,0$ mM.	$h' = 230,4$ mM.	$b'' = 231,8$ mM.	$h'' = 230,3$ mM.	$b'' = 231,0$ mM.	$h'' = 230,3$ mM.
$b'' = 231,8$ mM.	$h'' = 230,3$ mM.			Lengte van den bovenrand	463,6 mM.	Lengte van den bovenrand	462,0 mM.
Lengte van den bovenrand	463,6 mM.	" " benedenrand	463,6 mM.	" " benedenrand	462,0 mM.	" " Hoogte	460,7 mM.
" " benedenrand	463,6 mM.			" " Hoogte	462,0 mM.		
Hoogte	460,7 mM.						

## 2. Berekening der coördinaten van een punt van het driehoeksnet op een blad der kaart uit de geographische lengte en breedte.

## Noordelijke breedte.

## Zuidelijke breedte.

Blad:				Blad:			
Centraalpunt $\varphi_0 = 1^\circ 40' 0'' N$ (argument)				Centraalpunt $\varphi_0 = 2^\circ 0' 0'' Z$ (argument)			
$\lambda_0 = 1^\circ 40' 0'' W$				$\lambda_0 = 0^\circ 32' 30'' O$			
Punt: Siboga.				Punt: Indrapoera.			
$\lambda$	$1^\circ 32' 28'', 477 W$	$\varphi$	$1^\circ 45' 32'', 407$	$\lambda$	$0^\circ 32' 17'', 394 O$	$\varphi$	$2^\circ 0' 15'', 638$
$\lambda_0$	1 40 0	$W$	$\varphi_0$	0 32 30	$O$	$\varphi_0$	2 0 0
$\lambda$	+ 7'31", 523	$\beta$	+ 5'32", 407	$\lambda$	- 12", 606	$\beta$	+ 2'15", 638
	+ 45", 523		+ 332", 407				+ 135", 638
$\log[A]$	1,4900357.9	$\log[C]$	4,63655	$\log[A]$	1,4899554.5	$\log[C]$	4,71571
$\log \lambda$	2,6546798.7	$\log \beta$	2,52167	$\log \lambda$	1,1005773.3 n	$\log \beta$	2,13238
$\log(1)$	4,1447156.6	$\log \lambda$	2,65468	$\log(1)$	2,5905327.8 n	$\log \lambda$	1,10058 n
$\log[B]$	1,4873136.5	$\log(3)$	9,81290	$\log[B]$	1,4873152.7	$\log(3)$	7,94867 n
$\log \beta$	2,5216701.6	$\log[D]$	4,33825	$\log \beta$	2,1323813.7	$\log[D]$	4,41732
$\log(2)$	4,0089838.1	$2 \log \lambda$	5,30936	$\log(2)$	3,6196966.4	$2 \log \lambda$	2,20115
+ (1)	+ 13954,545	$\log(4)$	9,64761	+ (1)	- 389,523	$\log(4)$	6,61847
- (3)	- 0,650	$\log[1]$	8,299	- (3)	+ 0,008	$\log[1]$	8,299
$x$	+ 13953,89	$\log[D]$	4,338	$x$	- 389,51	$\log[D]$	4,417
+ (2)	+ 10209,014	$2 \log \beta$	5,043	+ (2)	- 4165,783	$2 \log \beta$	4,265
+ (4)	+ 0,444	$\log(5)$	7,680	- (4)	- 0,000	$\log(5)$	6,981
+ (5)	+ 0,005	$\log[2]$	0,086	- (5)	- 0,001	$\log[2]$	0,086
+ (6)	+ 0,004	$3 \log \beta$	7,565	- (6)	- 0,000	$3 \log \beta$	6,397
$y$	+ 10209,47	$\log(6)$	7,651	$y$	- 4165,78	$\log(6)$	6,483

3. Berekening der coördinaten van een punt van het driehoeksnet op een blad der kaart uit de coördinaten in de conforme projectie  
(Projectie van Mercator).

## Noordelijke breedte.

Blad:		Blad:	
Centraalpunt $\varphi_0 = 1^{\circ} 40' 0'' N$ (argument)		Centraalpunt $\varphi_0 =$	$N$ (argument)
$\lambda_0 = 1^{\circ} 40' 0'' W$		$\lambda_0 =$	
Punt: Siboga.		Punt:	
$X$	- 171550,56	$X$	
$X_0$	+ 185510,96	$X_0$	
$\xi$	+ 13960,40	$\xi$	
(1)	- 5,867	(1)	
(3)	+ 0,649	(3)	
$x$	+ 13953,88	$x$	
$Y$	+ 194512,69	$Y$	
$Y_0$	+ 184299,13	$Y_0$	
$z$	+ 10213,56	$z$	
(2)	- 4,292	(2)	
(4)	+ 0,444	(4)	
(5)	- 0,238	(5)	
$y$	+ 10209,47	$y$	
$\log[a]$	6,623485	$\log[a]$	
$\log\xi$	4,144898	$\log\xi$	
$\log z$	4,009177	$\log z$	
$\log(1)$	0,768383	$\log(1)$	
$\log(2)$	0,632662	$\log(2)$	
$\log[b]$	1,65884	$\log[b]$	
$\log\xi$	4,14490	$\log\xi$	
$\log z$	4,00918	$\log z$	
$\log(3)$	9,81292	$\log(3)$	
$\log[c]$	1,3578	$\log[c]$	
$2\log\xi$	8,2898	$2\log\xi$	
$2\log z$	8,0184	$2\log z$	
$\log(4)$	9,6476	$\log(4)$	
$\log(5)$	9,3762	$\log(5)$	

## Zuidelijke breedte.

Blad:		Blad:	
Centraalpunt $\varphi_0 = 2^{\circ} 0' 0'' Z$ (argument)		Centraalpunt $\varphi_0 =$	$Z$ (argument)
$\lambda_0 = 0^{\circ} 32' 30'' O$		$\lambda_0 =$	
Punt: Indrapoera.		Punt:	
$X$	+ 59901,31	$X$	
$X_0$	+ 60291,06	$X_0$	
$\xi$	- 389,75	$\xi$	
(1)	+ 0,236	(1)	
(3)	+ 0,009	(3)	
$x$	- 389,51	$x$	
$Y$	- 225341,23	$Y$	
$Y_0$	- 221172,87	$Y_0$	
$z$	- 4168,36	$z$	
(2)	+ 2,522	(2)	
(4)	- 0,004	(4)	
(5)	+ 0,048	(5)	
$y$	- 4165,79	$y$	
$\log[a]$	6,781835	$\log[a]$	
$\log\xi$	2,590786 n	$\log\xi$	
$\log z$	3,619965 n	$\log z$	
$\log(1)$	9,372621 n	$\log(1)$	
$\log(2)$	0,401800 n	$\log(2)$	
$\log[b]$	1,73791	$\log[b]$	
$\log\xi$	2,59079 n	$\log\xi$	
$\log z$	3,62000 n	$\log z$	
$\log(3)$	7,94870	$\log(3)$	
$\log[c]$	1,4369	$\log[c]$	
$2\log\xi$	5,1816	$2\log\xi$	
$2\log z$	7,2400	$2\log z$	
$\log(4)$	6,6185	$\log(4)$	
$\log(5)$	8,6769	$\log(5)$	

4. Berekening der coördinaten van een punt ten opzichte van de assen van een blad der kaart uit de coördinaten van dat punt ten opzichte van de assen van een aangrenzend blad.

a. Noordelijke breedte.

Eerste blad:	Centraalpunt	$\ell_0 = 4^\circ 0' W$	$\varphi_0 = 5^\circ 40' N$
Tweede blad:	"	$\ell'_0 = 4^\circ 20' W$	$\varphi'_0 = 6^\circ 0' N$
$\lambda_0 = +20' = +1200'' \quad \beta_0 = -20' = -1200''$			
Berekening der constanten.			Argument $\varphi'_0 = 6^\circ 0'$
log [A]	1,4878485.2	log [C]	4,685575
log $\lambda_0$	3,0791812.3	log $\beta_0$	3,079181
log (1)	4,5670297.5	log $\lambda_0$	9,019235
log [B]	1,4873574.8	log (3)	6,783991
log $\beta_0$	3,0791812.3 n	log [D]	9,0672
log (2)	4,5665387.1 n	$2 \log \lambda_0$	6,1584
+ (1)	36900,287	log (4)	5,2256
- (3)	+ 22,415	log [1]	
P	+ 36922,702	log [D]	
+ (2)	- 36858,590	$2 \log \beta_0$	
+ (4)	+ 11,220	log (5)	
+ (5)	+ 0,223	log [2]	
+ (6)	- 0,211	$3 \log \beta_0$	
Q	- 36847,358	log (6)	
Punt:			
x	- 20481,36		
y	+ 19887,52		
log [a]	6,78399		
log x	4,31136 n		
log y	4,29858		
log (α)	1,09535 n		
log (β)	1,08257		
log [b]	5,226		
log x	4,311 n		
log y	4,299		
log (γ)	9,537 n		
log (δ)	9,525		
log 2 [c]	0,960 n		
log x	4,311 n		
log y	4,299		
log (ε)	9,570		
log [c]	0,659 n		
$2 \log x$	8,623		
$2 \log y$	8,597		
log (ζ)	9,282 n		
log (η)	9,256 n		
P	+ 36922,702		
+ x	- 20481,36		
- (β)	- 12,094		
+ (γ)	- 0,344		
+ (δ)	+ 0,372		
x'	+ 16429,28		
Q	- 36847,358		
+ y	+ 19887,52		
+ (α)	- 12,455		
+ (δ)	+ 0,335		
- (ε)	+ 0,191		
+ (η)	- 0,180		
y'	- 16971,95		

## b. Zuidelijke breedte.

Eerste blad: Centraalpunt  $\lambda_0 = 1^\circ 20' O$   $\varphi_0 = 3^\circ 0' Z$   
Tweede blad: "  $\lambda'_0 = 1^\circ 40' O$   $\varphi'_0 = 3^\circ 20' Z$   
 $\lambda_0 = -20' = -1200''$   $\beta_0 = -20' = -1200''$

Berekening der constanten. Argument  $\varphi'_0 = 3^\circ 20'$ 

$\log [A]$	1,4894878.5	$\log [C]$	4,93741	$\log \text{boog } r''$	4,685575
$\log \lambda_0$	3,0791812.3 n	$\log \beta_0$	3,07918 n	$\log \lambda_0$	3,079181 n
$\log (r)$	4,5686690.8 n	$\log \lambda_0$	3,07918 n	$\log \sin \varphi'_0$	8,764511
$\log [B]$	1,4873246.7	$\log (3)$	1,09577	$\log [\alpha]$	6,529267 n
$\log \beta_0$	3,0791812.3 n	$\log [D]$	4,63854	$\log^{\frac{1}{2}}(1-\epsilon^2) \text{boog}^2 r''$	9,0672
$\log (z)$	4,5665059.0 n	$2 \log \lambda_0$	6,15836	$2 \log \beta_0$	6,1584
+ (1)	- 37039,836	$\log (4)$	0,79690	$\log [b]$	5,2256
- (3)	- 12,467	$\log [1]$	8,299	$\log \frac{1}{2a} \text{boog}^2 r''$	7,5799
P	- 37052,303	$\log [1]$	4,639	$\log \beta_0$	3,0792 n
- (2)	+ 36855,805	$2 \log \beta_0$	6,158	$\log [c]$	0,6591 n
- (4)	- 6,265	$\log (5)$	9,096	$\log z$	0,3010
- (5)	- 0,124	$\log [z]$	0,086	$\log z [c]$	0,9601 n
- (6)	+ 0,210	$3 \log \beta_0$	9,237 n		
Q	- 36849,626	$\log (6)$	9,323 n		

Punt:					
x	- 24634,12				
y	- 43648,03				
$\log [\alpha]$	6,52927 n				
$\log x$	4,39154 n				
$\log y$	4,63996 n				
$\log (x)$	0,92081 n				
$\log (\beta)$	1,16923				
$\log [b]$	5,226				
$\log x$	4,392				
$\log y$	4,640 n				
$\log (\gamma)$	9,618				
$\log (\delta)$	9,866 n				
$\log z [c]$	0,960 n				
$\log x$	4,392				
$\log y$	4,640 n				
$\log (\epsilon)$	9,992				
$\log [t]$	0,659 n				
$2 \log x$	8,783				
$2 \log y$	9,280				
$\log (\zeta)$	9,442 n				
$\log (\eta)$	9,939 n				
P	- 37052,303				
+ x	+ 24634,12				
+ (ρ)	+ 14,765				
+ (γ)	+ 0,415				
- (ε)	- 0,982				
x'	- 12403,99				
Q	+ 36849,626				
+ y	- 43648,03				
- (z)	+ 8,333				
+ (δ)	- 0,735				
+ (ζ)	- 0,277				
- (η)	+ 0,869				
y'	- 6790,21				

## T A F E L V I a.

 $\varphi$  van  $0^\circ 0'$  tot  $5^\circ 0'$ .

$\varphi$	log [A]	log [B]	log [C]	log [D]
$0^\circ 0'$	1,4902183.3	1,4873099.7	—	
5	1,4902178.7	1,4873099.8	3,33558	3,03746
10	1,4902165.1	1,4873100.1	3,63661	3,33849
15	1,4902142.2	1,4873100.5	3,81270	3,51458
20	1,4902110.3	1,4873101.2	3,93764	3,63951
25	1,4902069.2	1,4873102.0	4,03455	3,73641
30	1,4902019.0	1,4873103.0	4,11373	3,81559
35	1,4901959.7	1,4873104.2	4,18067	3,88253
40	1,4901891.3	1,4873105.6	4,23866	3,94051
45	1,4901813.7	1,4873107.2	4,28981	3,99165
50	1,4901727.0	1,4873108.9	4,33557	4,03740
55	1,4901631.2	1,4873110.8	4,37696	4,07878
$1^\circ 0'$	1,4901526.2	1,4873113.0	4,41474	4,11655
5	1,4901412.1	1,4873115.3	4,44950	4,15130
10	1,4901288.9	1,4873117.7	4,48168	4,18347
15	1,4901156.6	1,4873120.4	4,51164	4,21341
20	1,4901015.1	1,4873123.3	4,53966	4,24142
25	1,4900864.5	1,4873126.3	4,56599	4,26773
30	1,4900704.8	1,4873129.5	4,59081	4,29253
35	1,4900535.9	1,4873132.9	4,61428	4,31599
40	1,4900357.9	1,4873136.5	4,63655	4,33825
45	1,4900170.8	1,4873140.3	4,65774	4,35941
50	1,4899974.5	1,4873144.2	4,67793	4,37959
55	1,4899769.1	1,4873148.3	4,69723	4,39886
$2^\circ 0'$	1,4899554.5	1,4873152.7	4,71571	4,41732
5	1,4899330.9	1,4873157.2	4,73343	4,43502
10	1,4899098.1	1,4873161.9	4,75046	4,45202
15	1,4898856.1	1,4873166.7	4,76684	4,46838
20	1,4898605.0	1,4873171.8	4,78263	4,48414
25	1,4898344.8	1,4873177.0	4,79786	4,49934
30	1,4898075.4	1,4873182.4	4,81257	4,51403
35	1,4897796.9	1,4873188.0	4,82680	4,52824
40	1,4897509.2	1,4873193.8	4,84058	4,54199
45	1,4897212.4	1,4873199.8	4,85394	4,55531
50	1,4896906.4	1,4873205.9	4,86689	4,56823
55	1,4896591.3	1,4873212.3	4,87947	4,58078
$3^\circ 0'$	1,4896267.1	1,4873218.8	4,89170	4,59297
5	1,4895933.7	1,4873225.5	4,90359	4,60483
10	1,4895591.1	1,4873232.4	4,91516	4,61636
15	1,4895239.4	1,4873239.5	4,92643	4,62760
20	1,4894878.5	1,4873246.7	4,93741	4,63854
25	1,4894508.5	1,4873254.1	4,94812	4,64922
30	1,4894129.3	1,4873261.8	4,95858	4,65963
35	1,4893740.9	1,4873269.6	4,96878	4,66980
40	1,4893343.4	1,4873277.5	4,97876	4,67973
45	1,4892936.8	1,4873285.7	4,98850	4,68944
50	1,4892520.9	1,4873294.0	4,99803	4,69893
55	1,4892095.9	1,4873302.6	5,00736	4,70821
$4^\circ 0'$	1,4891661.7	1,4873311.3	5,01649	4,71730
5	1,4891218.4	1,4873320.2	5,02543	4,72619
10	1,4890765.9	1,4873329.3	5,03419	4,73490
15	1,4890304.2	1,4873338.5	5,04278	4,74344
20	1,4889833.3	1,4873347.9	5,05120	4,75181
25	1,4889353.2	1,4873357.6	5,05945	4,76002
30	1,4888864.0	1,4873367.4	5,06756	4,76807
35	1,4888365.6	1,4873377.4	5,07551	4,77598
40	1,4887858.0	1,4873387.5	5,08332	4,78373
45	1,4887341.2	1,4873397.9	5,09099	4,79135
50	1,4886815.2	1,4873408.4	5,09852	4,79884
55	1,4886280.0	1,4873419.1	5,10593	4,80619
$5^\circ 0'$	1,4885735.7	1,4873430.0	5,11321	4,81341

Achter log [C] en log [D] moet worden gevoegd: — 10.  $\log [1] = 8,299$  — 10.  $\log [2] = 0,086$  — 10.

$\varphi$	log [A]	log [B]	log [C]	log [D]
$5^{\circ} 0'$	1,4885735.7	1,4873430.0	5,11321	4,81341
5	1,4885182.1	1,4873441.1	5,12038	4,82052
10	1,4884619.3	1,4873452.3	5,12742	4,82751
15	1,4884047.4	1,4873463.8	5,13435	4,83438
20	1,4883466.2	1,4873475.4	5,14117	4,84114
25	1,4882875.8	1,4873487.2	5,14789	4,84779
30	1,4882276.2	1,4873499.1	5,15450	4,85435
35	1,4881667.5	1,4873511.3	5,16101	4,86079
40	1,4881049.4	1,4873523.6	5,16742	4,86715
45	1,4880422.2	1,4873536.2	5,17374	4,87340
50	1,4879785.7	1,4873548.9	5,17997	4,87957
55	1,4879140.1	1,4873561.7	5,18611	4,88564
$6^{\circ} 0'$	1,4878485.2	1,4873574.8	5,19217	4,89163

Achter log [C] en log [D] moet worden gevoged: — 10. log [1] = 8,299 — 10. log [2] = 0,086 — 10.

T A F E L V I b.

$\varphi$	log [a]	log [b]	log [c]	$\varphi$	log [a]	log [b]	log [c]
$0^{\circ} 0'$	—	—	—	$3^{\circ} 0'$	7,133966	1,91357	1,61254
5	4,021454	0,35805	0,05702	5	7,157759	1,92542	1,62439
10	4,23514	0,65908	0,35805	10	7,180917	1,93696	1,63593
15	4,975696	0,83517	0,53414	15	7,203474	1,94819	1,64716
20	5,225573	0,96010	0,65907	20	7,225459	1,95914	1,65811
25	5,419392	1,05701	0,75598	25	7,246901	1,96981	1,66878
30	5,577754	1,13618	0,83515	30	7,267826	1,98023	1,67919
35	5,711646	1,20312	0,90209	35	7,288258	1,99039	1,68936
40	5,827629	1,26110	0,96007	40	7,308220	2,00032	1,69929
45	5,929933	1,31225	1,01122	45	7,327733	2,01003	1,70900
50	6,021447	1,35799	1,05696	50	7,346817	2,01952	1,71849
55	6,104231	1,39937	1,09834	55	7,365491	2,02880	1,72777
$1^{\circ} 0'$	6,179806	1,43715	1,13612	$4^{\circ} 0'$	7,383771	2,03789	1,73686
5	6,249328	1,47189	1,17086	5	7,401673	2,04678	1,74575
10	6,313696	1,50406	1,20303	10	7,419214	2,05550	1,75447
15	6,373620	1,53401	1,23298	15	7,436407	2,06404	1,76301
20	6,429675	1,56202	1,26099	20	7,453266	2,07241	1,77138
25	6,482331	1,58833	1,28730	25	7,469804	2,08062	1,77959
30	6,531976	1,61313	1,31210	30	7,486032	2,08867	1,78764
35	6,578935	1,63659	1,33556	35	7,501962	2,09657	1,79554
40	6,623485	1,65884	1,35781	40	7,517604	2,10433	1,80330
45	6,665861	1,68000	1,37897	45	7,532970	2,11195	1,81092
50	6,706264	1,70018	1,39915	50	7,548068	2,11943	1,81840
55	6,744872	1,71946	1,41843	55	7,562908	2,12678	1,82575
$2^{\circ} 0'$	6,781835	1,73791	1,43688	$5^{\circ} 0'$	7,577497	2,13401	1,83298
5	6,817289	1,75561	1,45458	5	7,591846	2,14111	1,84008
10	6,851352	1,77261	1,47158	10	7,605961	2,14810	1,84707
15	6,884129	1,78897	1,49794	15	7,619849	2,15497	1,85394
20	6,915714	1,80473	1,50370	20	7,633519	2,16173	1,86070
25	6,946189	1,81994	1,51891	25	7,646977	2,16839	1,86736
30	6,975632	1,83463	1,53360	30	7,660228	2,17494	1,87391
35	7,004108	1,84883	1,54780	35	7,673281	2,18139	1,88036
40	7,031680	1,86258	1,56155	40	7,686139	2,18774	1,88671
45	7,058403	1,87590	1,57487	45	7,698810	2,19400	1,89297
50	7,084329	1,88883	1,58780	50	7,711297	2,20016	1,89913
55	7,109502	1,90137	1,60034	55	7,723608	2,20623	1,90520
$3^{\circ} 0'$	7,133966	1,91357	1,61254	$6^{\circ} 0'$	7,735746	2,21222	1,91119

Achter deze logarithmen moet worden gevoged: — 10.

## A A N H A N G S E L.

---

### Reductiën en Centreeringen.

1. Reductie van de gemeten lengte einer basis tot het oppervlak der zee.

Gegeven:  $L'$  de gemeten lengte der basis in Meters;  
 $H$  de gemiddelde hoogte der basis boven het oppervlak  
der zee;  
 $A_m$  het gemiddelde azimut der basis;  
 $\varphi_m$  het gemiddelde van de geographische breedten der  
eindpunten van de basis.

Gevraagd:  $L$  de lengte der basis herleid tot het oppervlak der zee  
in Meters.

$$L = L' - \frac{H}{R_A} L'$$

waarin:

$$R_A = \frac{N_m}{1 + q \cos^2 \varphi_m \cos^2 A_m} \quad (\text{zie bldz. 10}).$$

$N_m$  is de lengte der normaal voor de breedte  $\varphi_m$  in Meters.

2. Centreering van een gemeten azimut.

$P_1 P_2$  is de lijn, welker azimut in het punt  $P_1$  wordt gevraagd,  $P'_1$  de standplaats van het instrument,  $P_2$  die van het signaal.

Gegeven:  $A'_{1,2}$  het gemeten azimut der lijn  $P'_1 P_2$  in het punt  $P'_1$ ;  
 $A'_0$  het azimut der lijn  $P'_1 P_1$  in het punt  $P'_1$ ;  
 $f$  de afstand van het punt  $P'_1$  tot het punt  $P_1$  in Meters;  
 $S$  de afstand van het punt  $P_1$  tot het punt  $P_2$  in Meters;  
 $\varphi_1$  de geographische breedte van het punt  $P_1$ , noordelijk  
positief, zuidelijk negatief genomen.

Gevraagd:  $A_{1,2}$  het azimut der lijn  $P_1 P_2$  in het punt  $P_1$ .

$$A_{1,2} = A'_{1,2} + \frac{f}{S \text{ boog } 1''} \sin (A'_{1,2} - A'_0) + \frac{f \tan \varphi_1}{N \text{ boog } 1''} \sin A'_0$$

waarin:  $N$ , de lengte der normaal voor de breedte  $\varphi_1$  in Meters.

De afstand  $f$  moet zeer nauwkeurig, de afstand  $S$  kan bij benadering bekend zijn.

3. *Centreering van een gemeten richting.*

$P_1P_2$  is de lijn, welker richting in het punt  $P_1$  wordt gevraagd,  $P'_1$  de standplaats van het instrument,  $P_2$  die van het signaal.

Gegeven:  $f$  de afstand van het punt  $P'_1$  tot het punt  $P_1$  in Meters;  
 $S$  de afstand van het punt  $P_1$  tot het punt  $P_2$  in Meters;  
 $E$  de hoek  $P_1 P'_1 P_2$ , genomen van  $P_1$  rechtsomgaande naar  $P_2$ .

Gevraagd:  $\iota$  de correctie aan te brengen aan de in het punt  $P'_1$  gemeten richting.

$$\iota = + \frac{f}{S \text{ boog } 1''} \sin E.$$

De afstand  $f$  moet zeer nauwkeurig, de afstand  $S$  kan bij benadering bekend zijn.

Behoort de nulrichting tot het net, dan moet ook aan deze de correctie worden aangebracht.

4. *Reductie van een gemeten azimut of van een gemeten richting voor den excentrischen stand van het signaal.*

$P_1P_2$  is de lijn welker azimut of richting in het punt  $P_1$  wordt gevraagd,  $P_1$  de standplaats van het instrument,  $P'_2$  die van het signaal.

Gegeven:  $f'$  de afstand van het punt  $P'_2$  tot het punt  $P_2$  in Meters;  
 $S$  de afstand van het punt  $P_1$  tot het punt  $P_2$  in Meters;  
 $E'$  de hoek  $P_2 P'_2 P_1$  genomen van  $P_2$  rechtsomgaande naar  $P_1$ .

Gevraagd:  $\sigma$  de correctie aan te brengen aan het gemeten azimut of aan de gemeten richting der lijn  $P_1P'_2$  in het punt  $P_1$ .

$$\sigma = + \frac{f'}{S \text{ boog } 1''} \sin E'$$

De afstand  $f'$  moet zeer nauwkeurig, de afstand  $S$  kan bij benadering bekend zijn.

Behoort de nulrichting tot het net, dan moet ook aan deze de correctie worden aangebracht.

5. *Reductie van een gemeten azimut of van een gemeten richting voor de hoogte van het signaal boven het oppervlak der zee.*

$P_1P_2$  is de lijn, welker azimut of richting in het punt  $P$  wordt gevraagd,  $P_1$  de standplaats van het instrument,  $P_2$  die van het signaal.

Gegeven:  $A_m$  het gemiddelde azimut van de lijn  $P_1P_2$ ;

$\varphi_m$  het gemiddelde der geographische breedten van de punten  $P_1$  en  $P_2$ ;

$H$  de hoogte van het punt  $P_2$  boven het oppervlak der zee in Kilometers.

Gevraagd:  $K$  de correctie, aan te brengen aan het gemeten azimut of aan de gemeten richting der lijn  $P_1 P_2$  in het punt  $P_1$ .

$$K = + 0'',108 H \cos^2 \varphi_m \sin 2 A_m.$$

In plaats van  $A_m$  en  $\varphi_m$  kan men met voldoende nauwkeurigheid ook nemen  $A_{1 \cdot 2}$  en  $\varphi_1$ , of  $A_{2 \cdot 1}$  en  $\varphi_2$ , het azimut en de geographische breedte voor één der eindpunten van de lijn  $P_1 P_2$ .

Behoort de nulrichting tot het net, dan moet ook aan deze de correctie worden aangebracht.

#### 6. Centreering en reductiën van een gemeten hoek.

$P_0$  is het hoekpunt; de hoek  $P_1 P_0 P_2$  wordt geteld van  $P_1$  rechtsomgaande naar  $P_2$ ;  $P'_0$  is de standplaats van het instrument;  $P'_1$  en  $P'_2$  zijn de standplaatsen van de signalen.

Zijn de correctiën aan te brengen aan de richting  $P'_0 P'_1$ , (linkerbeen):

$$\iota_1, \sigma_1, z_1,$$

en de correctiën aan te brengen aan de richting  $P'_0 P'_2$  (rechterbeen):

$$\iota_2, \sigma_2, z_2,$$

dan zijn de correctiën aan te brengen aan den gemeten hoek  $P'_1 P'_0 P'_2$ :

$$\begin{aligned} &+ (\iota_2 - \iota_1) \\ &+ (\sigma_2 - \sigma_1) \\ &+ (z_2 - z_1). \end{aligned}$$